



ČÁST D.2

VÝŠKOVÝ SYSTÉM Bpv

SOUŘADNICOVÝ SYSTÉM S-JTSK

Číslo změny:	Obsah změny:	Datum změny:
00	-	-
01	-	-
02	-	-

Objednatel:	 SPRÁVA ŽELEZNIČNÍ DOPRAVNÍ CESTY	Správa železniční dopravní cesty, s.o. Dlážděná 1003/7, 110 00 Praha 1 Stavební správa západ Sokolovská 278/1955, 190 00 Praha 9
-------------	---	---

Generální projektant:	 SUDOP PRAHA	SUDOP PRAHA a.s. Olšanská 1a, 130 00 Praha 3 tel.: +420 267 094 111 fax: +420 224 230 316 e-mail: praha@sudop.cz	Hlavní inženýr projektu: ING. MARTIN VLASÁK Garant profese: ING. MARTIN VLASÁK
-----------------------	--	--	---

Středisko: SUDOP PRAHA a.s., STŘEDISKO - MOSTŮ			
Vedoucí střediska:	Odpovědný projektant SO:	Vypracoval:	Kontroloval:
ING. DANA WANGLER	ING. JAKUB GÖRINGER, Ph.D.	ING. JAKUB GÖRINGER, Ph.D.	ING. TOMÁŠ MARTINEK

Název akce:	Číslo smlouvy:	
REKONSTRUKCE MOSTU V KM 41,791 TRATI TÁBOR - PÍSEK	17 186 209	
	Projektový stupeň: DUSP+PDPS	
Část: INŽENÝRSKÉ OBJEKTY MOSTY, PROPUSTKY A ZDI SO 20-01 ŽELEZNIČNÍ MOST PŘES VD ORLÍK	Datum: 10/2019	
	Číslo části: D.2.1.4	
Název přílohy:	Měřítko:	Počet formátů:
	-	x A4
STATICKÝ VÝPOČET	Číslo přílohy:	014

Obsah

1	Identifikační údaje mostu	5
2	Základní údaje o objektu	6
2.1	Založení	7
2.2	Opěry	7
2.3	Pilíře	7
2.4	Nosná konstrukce	7
2.4.1	Oblouk	7
2.4.2	Trám	7
2.5	Uložení NK	7
2.6	Materiály	7
2.6.1	Beton	8
2.6.2	Betonářská výztuž	8
2.6.3	Předpínací výztuž	8
3	Úvod	9
3.1	Rozsah a účel statického výpočtu	9
3.2	Metodika výpočtu	9
3.3	Použité programové vybavení	9
4	Statický výpočet	10
4.1	Výpočet zatížení	10
4.1.1	Úvod	10
4.1.2	Skupina zatížení G0 – stálé – vlastní tíha	10
4.1.3	Skupina zatěžovacích stavů G1 – ostatní stálé	11
4.1.4	Skupina zatěžovacích stavů W – zatížení větrem	11
4.1.4.1	Zatížení větrem – oblouk	13
4.1.4.2	Zatížení větrem – pilíře	15
4.1.4.3	Zatížení větrem – mostovka	18
4.1.4.4	Zatížení větrem – ostatní směry zatížení	20
4.1.4.5	Zatížení větrem – ztráta aeroelastické stability	20
4.1.5	Skupina zatěžovacích stavů W – zatížení větrem – dynamická odezva	21
4.1.5.1	Ověření součinitele konstrukce $c_s c_d$	21
4.1.5.2	Metoda A – výpočet turbulentní pomoci iFFT	21
4.1.5.3	Metoda B – výpočet turbulentní dle metodika (Nichita et al., 2002)	22
4.1.5.4	Metoda C – výpočet turbulentní pomoci směrodatné odchylky rychlosti větru	23
4.1.5.5	Porovnání jednotlivých metod	24
4.1.5.6	Výpočet hodnoty dynamického zatížení větrem	25
4.1.5.7	Dynamická odezva při výstavbě	25
4.1.6	Skupina zatěžovacích stavů T – zatížení teplotou	25
4.1.7	Skupina zatěžovacích stavů MVL – svislá dopravní zatížení	26
4.1.8	Skupina zatěžovacích stavů R – Zatížení bočním rázem	27
4.1.9	Skupina zatěžovacích stavů B – Zatížení rozjezdovými a brzdnými silami	27
4.1.10	Skupina zat. stavů K – zatížení teplotním rozdílem mezi kolejí a NK	27
4.1.11	Skupina zat. stavů S – účinky nerovnoměrného sedání opěr	28
4.1.12	Rozsah dopravy pro posouzení na únavu	28
4.1.13	Skupina zatěžovacích stavů EQ – Zatížení zemětřesením – mimořádné	28
4.1.14	Zatížení v rámci fází výstavby	28
4.1.14.1	Betonážní vozík	28
4.1.14.2	Skrůž mostovky	29
4.2	Model konstrukce	29

4.2.1	Popis modelu.....	29
4.2.2	Podélná tuhost konstrukce.....	33
4.2.3	Fáze výstavby uvažované modelem.....	33
4.2.3.1	Grafické řešení fází výstavby.....	36
5	Mostovka	46
5.1	Posouzení nosné konstrukce v podélném směru	46
5.1.1	Schéma vedení kabelů.....	46
5.1.2	Vnitřní síly.....	47
5.1.3	Mezní stav použitelnosti – omezení napětí.....	50
5.1.3.1	Časový vývoj materiálových vlastností betonu	50
5.1.3.2	Ověření stanovených požadavků na omezení napětí – lineární dotvarování.....	51
5.1.3.3	Ověření stanovených požadavků na omezení napětí – uvedení do provozu.....	53
5.1.4	Mezní stav únosnosti	56
5.1.4.1	Únosnost M+N+V+T	56
5.2	Návrh uložení mostu	56
5.2.1	Reakce na ložiska	57
5.2.2	Posuny na ložiskách	57
5.2.3	Souhrnná tabulka ložisek	58
5.2.4	Návrh vrubových kloubů.....	59
5.3	Návrh dilatačních závěrů.....	67
6	Oblouk	68
6.1.1	Vnitřní síly.....	68
6.1.2	Mezní stav použitelnosti.....	71
6.1.3	Mezní stav únosnosti	72
6.1.3.1	Únosnost M+N+V+T	72
7	Spodní stavba	74
7.1	Opěry	74
7.1.1	Základy.....	74
7.1.1.1	Základ opěry OP1 – vnitřní síly	74
7.1.1.2	Základ opěry OP2 – vnitřní síly	75
7.1.1.3	Základ opěry OP1 – posouzení	76
7.1.1.4	Základ opěry OP2 – posouzení	80
7.1.2	Dřík opěr.....	84
7.1.3	Závěrná zídka.....	92
7.1.4	Křídla	95
7.1.4.1	Posouzení průřezů křídel OP1	96
7.1.4.2	Posouzení průřezů křídel OP2.....	99
7.1.5	Oblast pod ložisky	114
7.2	Pilíře.....	116
7.2.1	Vnitřní síly.....	116
7.2.1.1	Pilíř P1.....	116
7.2.1.2	Pilíře P2, P11	118
7.2.1.3	Pilíř P10.....	119
7.2.1.4	Pilíře P3, P9	121
7.2.1.5	Stojky P4, P8.....	122
7.2.2	Ověření účinků 2. řádu	124
7.2.3	Návrh výztuže – břehové pilíře.....	129
7.2.4	Návrh výztuže – obloukové stojky.....	130
7.2.5	Základ pilířů	131
8	Založení	134

8.1	Opěry	134
8.2	Pilíře – samostatně stojící	138
8.2.1	Pilíř P1 a P11	138
8.2.2	Pilíř P2 a P10	142
8.3	Pilíře – základ oblouku.....	145
9	Závěr	149
10	Předpisy, normy, použité podklady	150
10.1	Normy	150
10.2	Použitá literatura	150
10.3	Použitý software	151

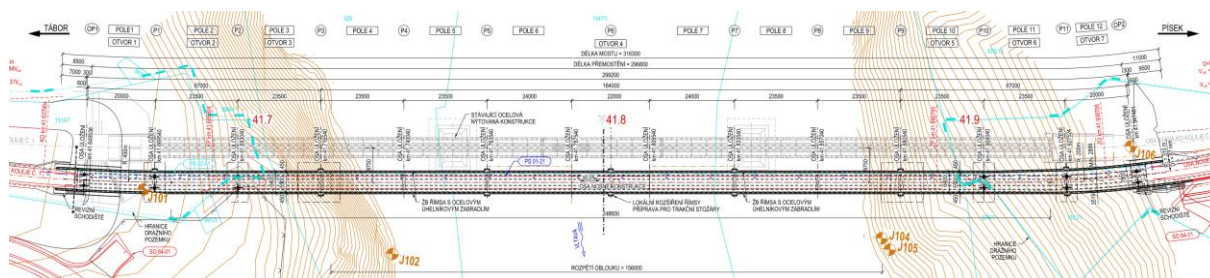
1 Identifikační údaje mostu

Název stavby	Rekonstrukce mostu v km 41,791 trati Tábor - Písek
Objekt č.	SO 20-01 Železniční most přes VD Orlík
Katastrální území	Oslov
Kraj	Jihočeský
Objednatel stavby	Správa železniční dopravní cesty, státní organizace Dlážděná 1003/7, 110 00 Praha 1 - Nové Město IČ: 709 94 234
Projektant	SUDOP PRAHA, a.s.; Olšanská 1a; 130 80 Praha 3 IČ 257 933 49
Zpracovatelský útvar	SUDOP PRAHA, a.s.; středisko 209 – mostů
Hlavní inženýr projektu	Ing. Martin Vlasák, tel: 267 094 462, martin.vlasak@sudop.cz
Odpovědný projektant objektu	Ing. Jakub Göringer, Ph.D., tel: 267 094 128, jakub.goringer@sudop.cz
Stupeň dokumentace	DUSP
Druh přemostované překážky	vodní dílo Orlík

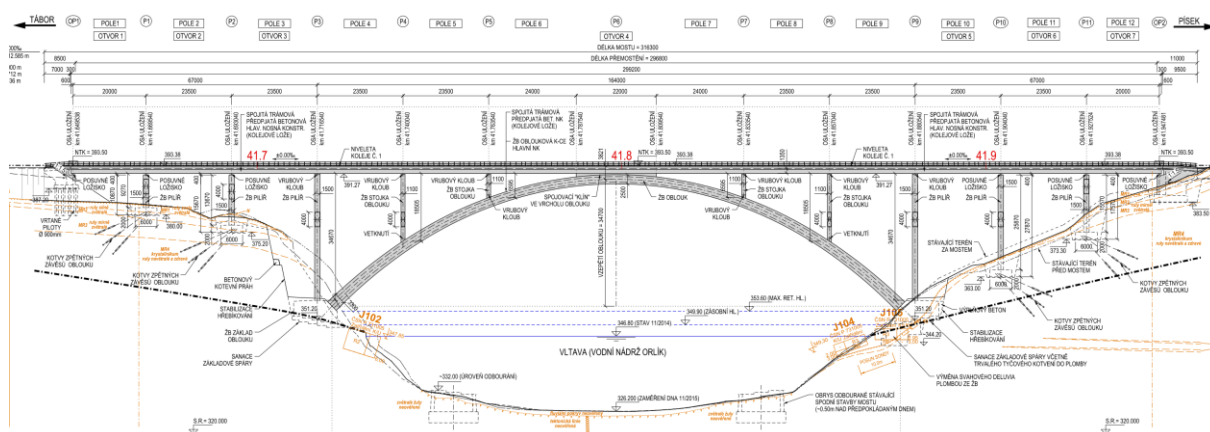
2 Základní údaje o objektu

Jedná se o trvalý mostní objekt, který je tvořen komorovým železobetonovým obloukem o rozpětí 156,0 m a vzezření 34,7 m. Vodorovná nosná konstrukce je tvořena předpjatým dvourámem o 13 polích s rozpětími 20,0 + 11 x 23,5 + 20,0 m. Střední pole, které se nachází nad vrcholem oblouku je po celé délce spojeno s konstrukcí oblouku a je navrženo železobetonové. Výška dvourámové konstrukce je navržena 1,35 m. Uložení nosné konstrukce je v břehových částech realizováno přes kalotová ložiska, v případě pilířů, které jsou součástí obloukové konstrukce je využito vrubových kloubů. Pilíře přímo na oblouku jsou pak řešeny jako kyvné stojky. Založení mostu je navrženo plošné na žulovém podkladu, vyjma opěry OP1, která je s ohledem na její umístění v násypu založena na velkopřůměrových pilotách.

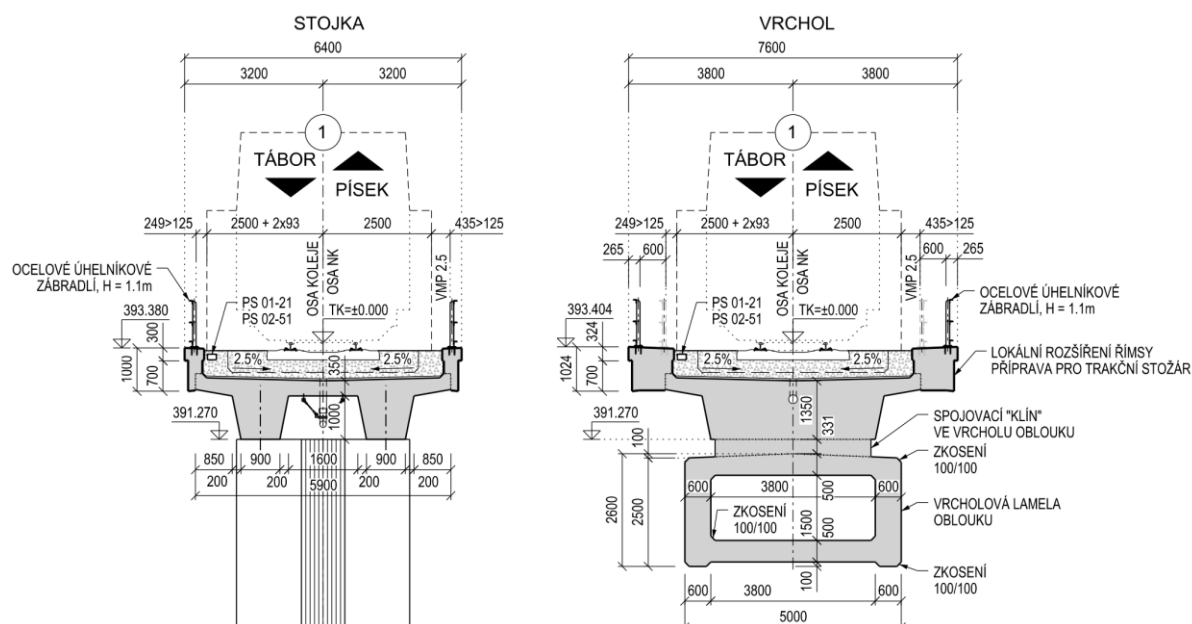
Obrázek 2-1: Nový stav – půdorys



Obrázek 2-2: Nový stav – podélný řez NK



Obrázek 2-3: Nový stav – příčný řez NK



2.1 Založení

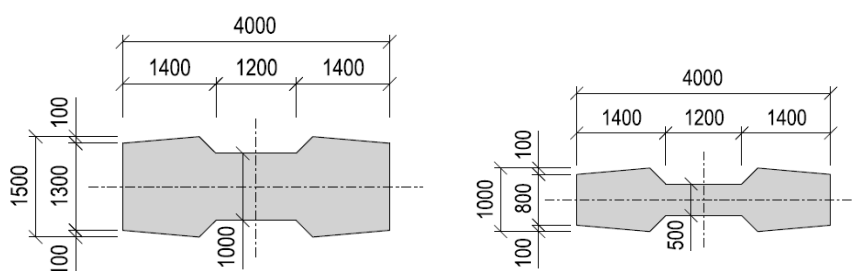
Všechny podpěry, mimo opěry OP1, jsou založeny plošně na základové spáře vyrubané do žulového masivu. Opěra OP1 je založena v násypu a její založení je tedy navrženo hlubinné na vrtaných pilotách vetknutých do žulového masivu.

2.2 Opěry

Opěry jsou tvořeny základovou deskou nasazenou na pilotách, masivním dříkem s úložnými prahy, závěrnou zídou s rovnoběžnými křídly.

2.3 Pilíře

Pilíře jsou tvořeny základovou deskou na podkladním betonu. Základové desky jsou navrženy tl. 1800 - 2000 mm. Dříky pilířů jsou ve tvaru činky s šířkou 4,0 m a délkou dle jejich pozice. Břehové pilíře jsou navrženy masivnějšího průřezu s maximální tloušťkou 1,5 m, kyvné stojky na oblouku jsou navrženy subtilní s maximální tl. 1,0 m.



2.4 Nosná konstrukce

2.4.1 Oblouk

Oblouk je navržen jako komorová, železobetonová konstrukce s proměnnou výškou. Ve vetknutí oblouku do základu je výška komory navržena 3,3 m, ve vrcholu je navržena 2,5 m. S ohledem na zjednodušení provádění je navržena konstantní vnitřní světlá výška 1,5 m. Stěny jsou konstantní tloušťky 600 mm. Rozpětí oblouku je navrženo 156,0 m při vzepětí 34,7 m.

2.4.2 Trám

Vodorovná nosná konstrukce je navržena jako předpjatý dvoutrám o 13 polích s rozpětím 20,0 + 11 x 23,5 + 20,0 m. Střední pole, které je nad vrcholem oblouku a je v celé délce podpíráno je navrženo jako železobetonové. Výška trámu je navržena 1,4 m. Šířka nosné konstrukce činí 5,9 m s vyložením konzol 0,85 m. Mostovka má tloušťku od 350 mm do 370 mm ve vetknutí do trámů, u konzol pak od 300 mm do 400 mm. Mostovka je spádována do středu při sklonu 2,5%. V mostovce jsou umístěny odvodňovače, které svádí vodu z mostu do systému odvodnění.

2.5 Uložení NK

Nosná konstrukce je na břehových pilířích a na opěrách uložena vždy na dvojici kalotových ložisek. S pilíři na oblouku, včetně břehového pilíře oblouku je spojena pomocí vrubových kloubů (elektroizolační provedení).

2.6 Materiály

V následujícím souhrnu jsou uvedeny pouze materiály, které vstupují do jednotlivých posouzení. Doprovodné materiály (beton říms apod.) jsou vynechány.

2.6.1 Beton

Tabulka 2-1: Použité betony

Konstrukční část stavby	Min. třída betonu	Stupeň vlivu prostředí
Základ opěr a pilířů	C30/37	XA2
Dříky opěr, křídla, ZZ	C30/37	XC4, XF3
Dříky pilířů	C35/45	XC4, XF3
Nosná konstrukce – oblouk	C45/55	XC4, XF1
Nosná konstrukce – trám	C35/45	XC4, XF3

2.6.2 Betonářská výztuž

Výztuž je navržena prutová z žebírkové oceli B 500B.

2.6.3 Předpínací výztuž

Podélné předpětí je navrženo z 15-ti lanových kabelů Y1860S7 - 15,7 - A s následujícími parametry:

modul pružnosti 195 GPa (lineární pracovní diagram), koeficient tření v oblouku $\mu = 0,13 \text{ rad}^{-1}$, úhel nepředvídaného zakřivení $0,0075 \text{ rad/m}$, pokluz v kotvě 6 mm, kotevní napětí $\sigma_{p,in} = 1425 \text{ MPa}$ podržení napětí $t=300 \text{ s}$ a následné zakotvení při napínacím napětí.

3 Úvod

3.1 Rozsah a účel statického výpočtu

Tento statický výpočet je nedílnou součástí projektové dokumentace SO 20-01. Statický výpočet je nutno považovat za závazný pro provádění mostního objektu.

Statický výpočet byl zpracován bez znalosti konkrétního zhotovitele SO 20-01. Případné změny, které by vyplynuly z realizační dokumentace zhotovitele, musí být odsouhlaseny odpovědným projektantem objektu a schváleny objednatelem.

Cílem statického výpočtu je posouzení prvků **nosného systému mostu** a jeho detailů v rozsahu dokumentace Projekt stavby.

3.2 Metodika výpočtu

Statický výpočet byl proveden s ohledem na platný soubor norem ČSN a ČSN EN:

- dle metodiky mezních stavů

Ve statickém výpočtu jsou posouzeny tyto mezní stavy:

- mezní stavy únosnosti
 - únosnost průřezů na kombinaci namáhání M+N+V (nosná konstrukce a spodní stavba)
 - únosnost průřezu v příčném směru (nosná konstrukce)
 - únosnost při únavovém zatížení (nosná konstrukce)
 - posouzení podkotevních oblastí
 - posouzení podložiskových oblastí
 - únosnost pilot
- mezní stavy použitelnosti
 - omezení napětí od charakteristického zatížení
 - ověření šířky trhliny pro časté zatížení
 - ověření dekomprese pro kvazistálé zatížení
 - sedání základů
 - ZKROUCENÍ ATD. DLE MIKULÁŠSKÁ /REZONANCE

3.3 Použité programové vybavení

Pro globální analýzu nosné konstrukce včetně spojení s pilíři vrubovými klouby byl využit 3D prutový model v MKP software MIDAS Civil 2019 (v1.1). Pro analýzu detailů – podkotevních oblastí, byl využit MKP SW SCIA Engineer 2008 (v8.1.238). Pro posouzení jednotlivých průřezů byly využity produkty IDEA StatiCa a posudky v tabulkovém procesoru MS Excel. Posouzení založení bylo provedeno v modulech programu GEO5 (Patky, Piloty).

4 Statický výpočet

4.1 Výpočet zatížení

4.1.1 Úvod

Most je navržen na zatížení dopravou dle evropské normy ČSN EN 1991-2 „Zatížení konstrukcí, Část 2: Zatížení dopravou“.

Uvažovaná zatěžovací schémata vycházejí ze zařazení do 3. třídy trati dle kategorizace tratí z hlediska mostů, pro předpjatou nosnou konstrukci je zohledněn požadavek investora na zvýšení klasifikačního součinitele α na hodnotu 1,21:

Oblouk a spodní stavba:

zatěžovací schéma **71** (dle ČSN EN 1991-2) klasifikované součinitelem $\alpha=1,1$ (dle NA k ČSN EN 1991-2), které reprezentuje statický účinek běžné železniční dopravy;

zatěžovací schéma **SW/0** (dle ČSN EN 1991-2) klasifikované součinitelem $\alpha=1,1$ (dle NA k ČSN EN 1991-2), které reprezentuje statický účinek normální železniční dopravy na spojitých mostech;

Nosná konstrukce – trám:

zatěžovací schéma **71** (dle ČSN EN 1991-2) klasifikované součinitelem $\alpha=1,21$ (dle NA k ČSN EN 1991-2), které reprezentuje statický účinek běžné železniční dopravy;

zatěžovací schéma **SW/0** (dle ČSN EN 1991-2) klasifikované součinitelem $\alpha=1,21$ (dle NA k ČSN EN 1991-2), které reprezentuje statický účinek normální železniční dopravy na spojitých mostech;

Dynamické účinky pohyblivého zatížení jsou uvažovány dle ČSN EN 1991-2 čl. 6.4.5 pro standardně udržovanou kolej (tj. dynamický součinitel δ_3). Parciální součinitele zatížení jsou uvažovány dle téže normy. Roznos zatížení šterkovým ložem je uvažován ve sklonu 4:1 dle ČSN EN 1991-2 čl. 6.3.6.3.

Obecná zatížení (tíha materiálů aj.) bylo uvažováno dle ČSN EN 1991-1-1.

Zatížení větrem bylo uvažováno dle ČSN EN 1991-1-4.

Zatížení teplotou bylo uvažováno dle ČSN EN 1991-1-5.

Kombinace zatížení byly použity dle ČSN EN 1990 ed. 2./A2 včetně sestav zatížení.

4.1.2 Skupina zatížení G0 – stálé – vlastní tíha

Zatížení vlastní tíhou je automaticky generováno použitým programem MIDAS Civil. Pro dílčí ověření geometrické správnosti zadaného modelu je zde provedena kontrola generovaného zatížení.

Kontrola generovaného stavu									
Označ.	Popis	b	h	n	A	y	q	L	Celkem - R _z
		[m]	[m]	[ks]	[m ²]	[kN/m ³]	[kN/m]	[m]	[kN]
G0	Deska NK	-	-	1.00	4.40	26.00	114.28	299.20	34191.92
G0	Pilíře 1500	-	-	1.00	5.05	25.00	126.13	132.72	16739.31
G0	Pilíře 1000	-	-	1.00	3.01	25.00	75.13	50.30	3778.79
G0	Spojení 1/2L	0.75	-	2.00	12.90	25.00	-	-	483.75
G0	Oblouk	-	-	-	-	-	-	-	34204.00
Celkem NK									89397.77
Celkem MIDAS									88620.00
Poměr									0.99 OK

4.1.3 Skupina zatěžovacích stavů G1 – ostatní stálé

Uvažovaná zatížení jsou zadávána jejich náhradami (plošnými, liniovými, bodovými), tak aby jejich působení odpovídalo co nejvíce skutečnosti.

V rámci vozovkového souvrství byla zadávána střední hodnota zatížení odpovídající skladbě vozovky. Následně v kombinacích byla zohledněna odchylka $\pm 20\%$ pro zatížení vozovkovým souvrstvím v souladu s čl. 5.2.3 (3) ČSN EN 1991-1-1.

Plošná zatížení				
Označ.	Popis	tl.	γ	q
		[m]	[kN/m ³]	[kN/m ²]
G1	Štěrkové lože	0.56	23.00	12.98
G1	Ochrana izolace 40 mm	0.04	24.00	0.96
G1	Izolace 5 mm	0.01	24.00	0.12

Liniová a bodová zatížení										
Označ.	Popis	\bar{s}	A	γ	Q	q	Q_{m2}	q_{m2}	r	M
		[m]	[m ²]	[kN/m ³]	[kN]	[kN/m]	[kN/m ²]	[kN/m ²]	[m]	[kNm/m]
G1	Římsa levá	-	0.30	25.00	-	7.50	-	-	3.00	22.50
G1	Římsa pravá	-	0.30	25.00	-	7.50	-	-	-3.00	-22.50
G1	Zábradlí levé	-	-	-	-	1.00	-	-	2.98	2.98
G1	Zábradlí pravé	-	-	-	-	1.00	-	-	-2.98	-2.98

4.1.4 Skupina zatěžovacích stavů W – zatížení větrem

S ohledem na rozsah a typ konstrukce je zatížení větrem jedním ze zásadních účinků, které se na konstrukci vyskytují. V rámci posouzení byly řešeny dva přístupy:

- využití ekvivalentního statického zatížení dle ČSN EN 1991-1-4 ed.2, které zohledňuje dynamický účinek větru pomocí zahrnutí turbulencí do maximálního dynamického tlaku (kapitoly 4.1.4.1 – 4.1.4.4),
- využití výpočtu dynamické odezvy na zatížení větrem (kapitola 4.1.5) za pomoci metody
 - A\ generovaného účinku větru za využití výkonové spektrální hustoty v souladu s přílohou B v ČSN EN 1991-1-4 (použití modifikovaného Kaimalova spektra, kde $L_{1u} = 1,7L(z)$) - převod z frekvenční domény spektra do časové domény zatížení pomocí inverzní FFT (Rychlá Fourierova transformace);
 - B\ generovaného účinku větru za využití výkonové spektrální hustoty v souladu s přílohou B v ČSN EN 1991-1-4 (použití modifikovaného Kaimalova spektra, kde $L_{1u} = 1,7L(z)$) – převod do časové domény využitím poznatků z *Large Band Simulation of the Wind Speed for Real-Time Wind Turbine Simulators* (Nichita et al., 2002);
 - C\ náhodně generovaného účinku větru za využití směrodatné odchylky turbulentní složky větru v souladu s kap. 4.4 v ČSN EN 1991-1-4.

Pro řešení odezvy konstrukce na zatížení větrem byly získány doplňující informace vypočtené v aplikaci WAsP Engineering. Jako vstup do modelu byly využity rastry s rozlišením 5 m o velikosti 2x2 km popisující orografii a drsnost povrchu. Přiřazení kategorie drsnosti bylo stanoveno na základě mapové vrstvy CORINE Land Cover. Dalším vstupem byla rychlost větru s dobou návratu 50 let pro 8 směrů získaná statistickým zpracováním průměrných desetiminutových rychlostí větru z profesionální meteorologické stanice Temelín. Data byla poskytnuta ČHMÚ, pobočka Plzeň. Kompletní výstup viz příloha 1.

Rychlosti společně s horizontálními turbulencemi byly vypočteny pro dvě výšky nad terénem – 22,5 m (cca ½ výšky oblouku) a 45,0 m (úroveň mostovky). Vzhledem k orientaci mostního objektu ve směru cca západ – východ byly využity a porovnány výsledné hodnoty pro vítr ze směru J, JV a SZ. Největší účinky větru byly určeny pro severozápadní vítr.

Modelové výpočty požadovaných veličin v lokalitě Červená nad Vltavou		
49°22'53.4"N, 14°15'09.2"E, 349 m n. m., výška 22.5 m, drsnost 0 m		
Směr větru	v_{50} [m/s]	IHT [%]
S	15.2	22.5
SV	7.0	52.4
V	8.1	58.0
JV	19.1	27.6
J	23.7	16.4
JZ	14.3	53.8
Z	12.0	75.0
SZ	21.8	25.2

49°22'53.4"N, 14°15'09.2"E, 349 m n. m., výška 45 m, drsnost 0 m		
Směr větru	v_{50} [m/s]	IHT [%]
S	16.7	21.9
SV	9.0	39.3
V	10.9	42.4
JV	21.5	22.8
J	25.2	18.3
JZ	18.9	36.6
Z	17.1	49.9
SZ	24.2	24.5

Vysvětlivky: v_{50}50letá rychlost větru

IHT.....Intenzita horizontální turbulence

Vypočtené účinky větru pro zadání na konstrukci zohlednily v souladu s normativním výpočtem součinitele sil pro jednotlivé konstrukční části (případně prvky – např. proměnnost součinitele po průřezu oblouku s proměnnou výškou průřezu). Systém výpočtu maximálního dynamického tlaku na konstrukci pro obě výšky viz níže.

Charakteristiky zatížení větrem - ČHMÚ - 22.5 m

výchozí rychlost větru	$v_{b,0}$ =	25.00	m/s	posuzovaná výška	z =	22.50	m
kategorie terénu	kat	I	m/s	z_0 =	0.01	m	z_{min} = 1.00 m

základní rychlost větru v_b = 21.80 m/s

součinitel směru větru c_{dir} = 1.00 -

součinitel ročního období c_{season} = 1.00 -

střední rychlost větru $v_m(z)$ = 21.80 m/s

součinitel drsnosti terénu $c_r(z)$ = 1.00 -

součinitel terénu k_r = 0.17 -

turbulence větru $I_v(z)$ = 0.25 -

souč. turbulence k_l = 1.00 -

souč. orografie c_0 = 1.00 -

maximální dynamický tlak $q_p(z)$ = 820.98 Pa

souč. expozice c_e = 2.76 -

Charakteristiky zatížení větrem - ČHMÚ - 45.0 m

výchozí rychlost větru	$v_{b,0} =$	25.00	m/s	posuzovaná výška	$z =$	45.00	m
kategorie terénu	kat	I	m/s	$z_0 =$	0.01	m	$z_{min} =$ 1.00 m

základní rychlost větru $v_b =$ 24.20 m/s

součinitel směru větru $c_{dir} =$ 1.00 -

součinitel ročního období $c_{season} =$ 1.00 -

střední rychlost větru $v_m(z) =$ 24.20 m/s

součinitel drsnosti terénu $c_r(z) =$ 1.00 -

součinitel terénu $k_r =$ 0.17 -

turbulence větru $I_v(z) =$ 0.25 -

souč. turbulence $k_l =$ 1.00 -

souč. orografie $c_0 =$ 1.00 -

maximální dynamický tlak $q_p(z) =$ 993.76 Pa

souč. expozice $c_e =$ 2.72 -

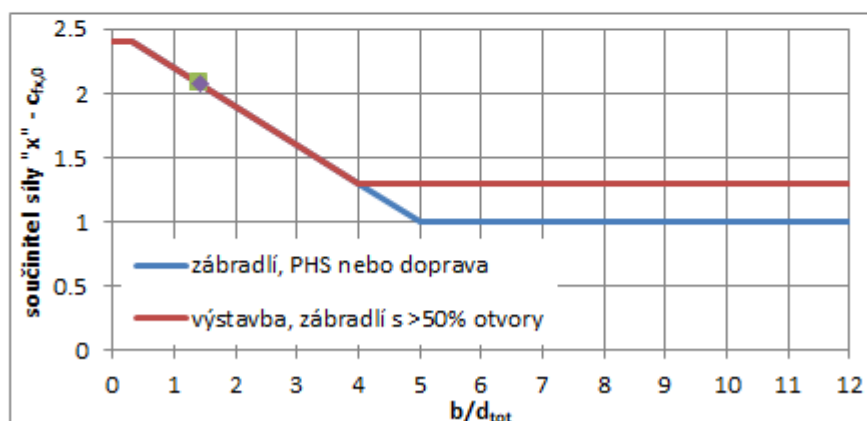
4.1.4.1 Zatížení větrem – oblouk

Účinky větru na oblouk byly řešeny s ohledem na rozměry jednotlivých lamel. Takto bylo určeno zatížení větrem v závislosti na geometrii průřezu. Vzhledem k datům pro dvě výšky a s ohledem na skutečnost, že hodnota zatížení větrem stoupá s výškou nad terénem bylo pro určení konkrétního zatížení na jednotlivé lamely uvažováno s tlakem pro 22,5 m do cca 4. lamely a následně pro ostatní lamely bylo uvažováno s tlakem pro 45,0 m.

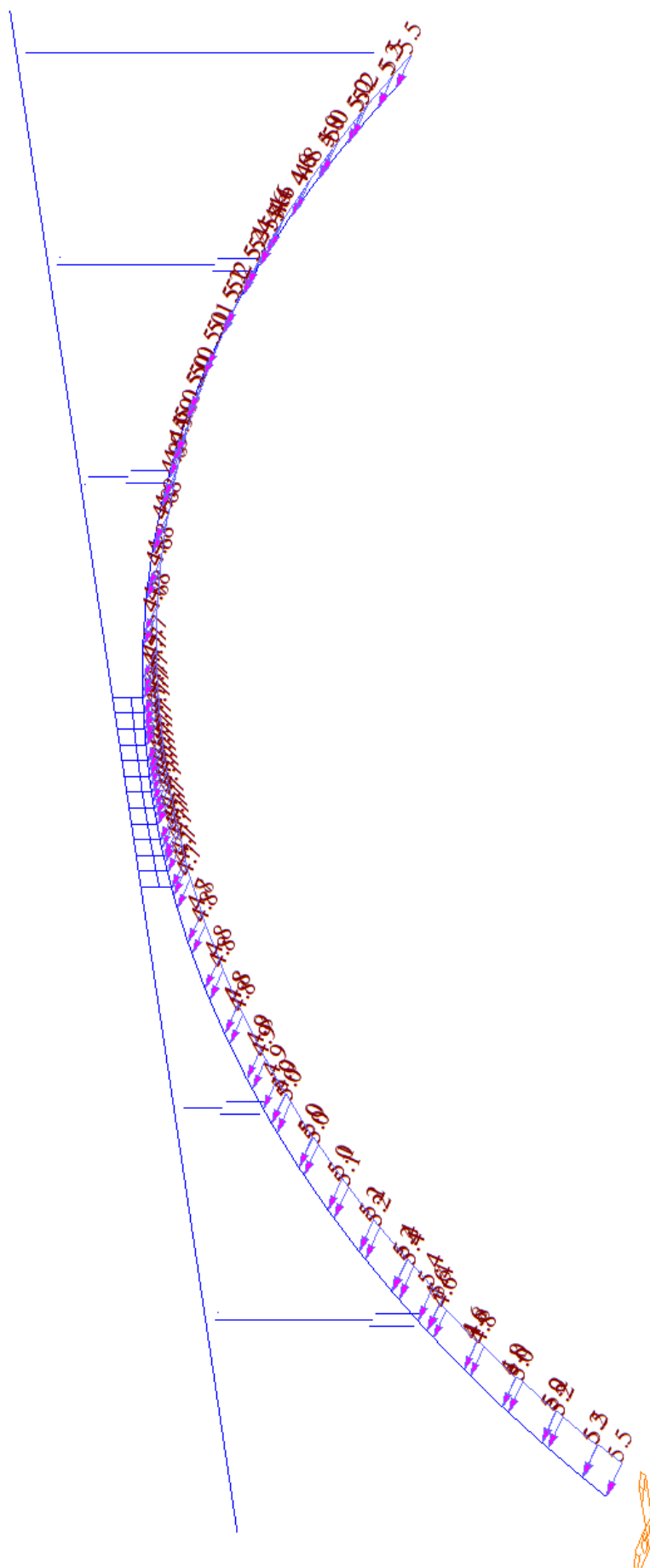
Síly větru podle směrů na NK

Ve směru X

výška konstrukce	$d_{tot} =$	3.30	m	$NK = 2.5-3.3$ m	
šířka konstrukce	$b =$	4.70	m	vyber	
souč. síly pro mosty - x	$c_{fx,0} =$	2.07	-	zábradlí, PHS nebo doprava	
souč. síly pro mosty - x	$c_{fx,0} =$	2.07	-	A výstavba, zábradlí s >50% otvory	
souč. zatížení větrem - x	$C =$	5.73	-		
tlak větru ve směru - x	$q_{px} =$	1701.66	Pa		



Obrázek 4-1: Zatížení větrem – oblouk

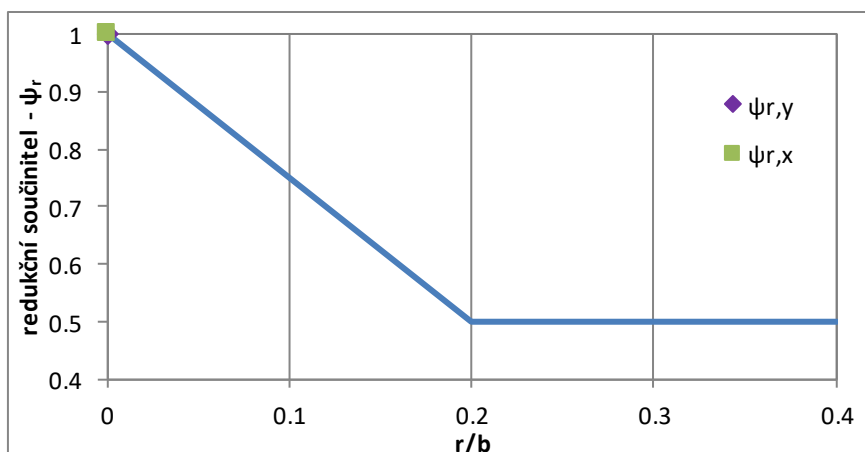
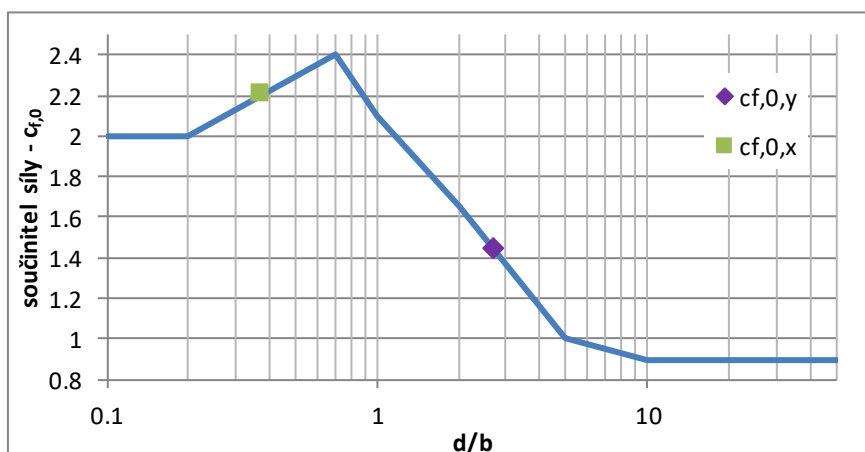


4.1.4.2 Zatížení větrem - pilíře

V rámci pilířů bylo zanedbána rozdílná drsnost terénu mimo vodní hladinu (v souladu s *postupem 1 i 2* v příloze A.2 ČSN EN 1991-1-4 ed.2) a bylo zjednodušeně, na straně bezpečné, uvažováno se stejným maximálním dynamickým tlakem jako pro výšku 45,0 m. Na základě tohoto tlaku bylo určeno zatížení větrem a aplikováno konzervativně na celou výšku pilířů.

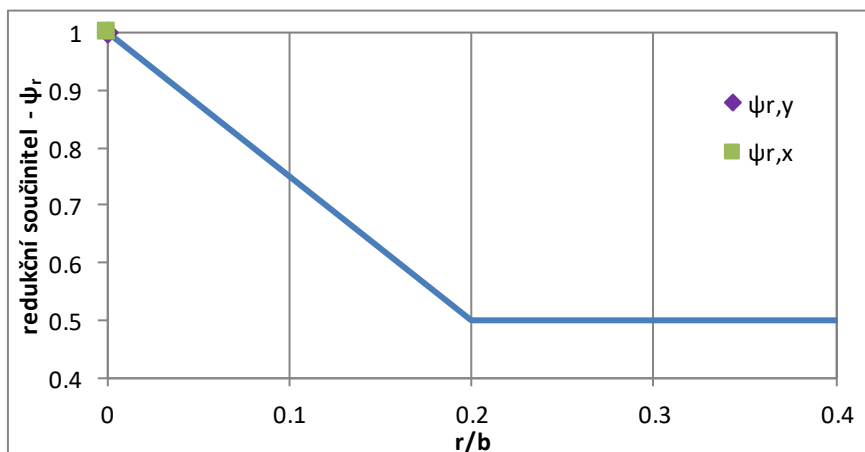
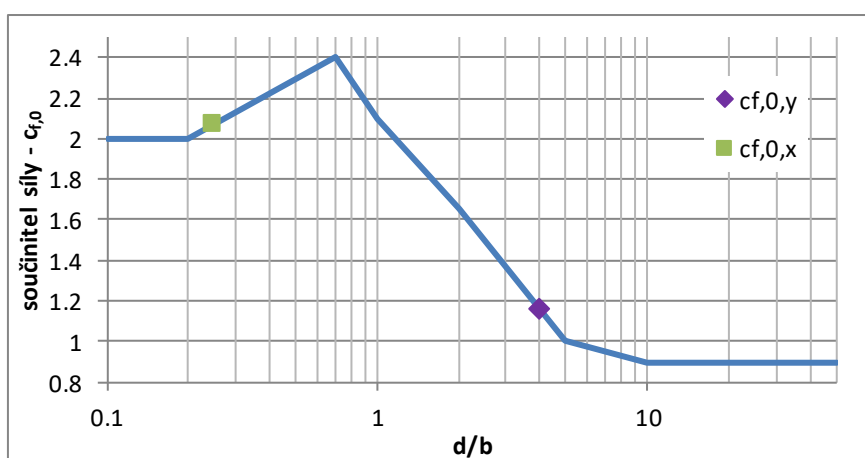
Síly větru na pilíře - obdélníkové průřezy - břehové pilíře

délka ve směru větru	d=	4.00	m	<i>kolmo na most (vážený průměr)</i>
šířka kolmá na směr větru	b=	1.50	m	
poloměr zaoblení rohů	r=	0.00	m	
souč. síly - příč. směr - y	$c_{f,0,y}$ =	1.45	-	<i>uvažuje se kolmo na most</i>
souč. síly - podél. směr - x	$c_{f,0,x}$ =	2.20	-	<i>uvažuje se ve směru mostu</i>
redukční součinitel - y	$\psi_{r,y}$ =	1.00	-	
redukční součinitel - x	$\psi_{r,x}$ =	1.00	-	
souč. koncového efektu	ψ_{λ} =	1.00	-	<i>jde o redukční součinitel (uvažován 1,0)</i>
souč. zatížení větrem - y	C_y =	3.93	-	
souč. zatížení větrem - x	C_x =	5.97	-	
tlak větru ve směru - y	q_{py}=	1436.90	Pa	
tlak větru ve směru - x	q_{px}=	2186.53	Pa	

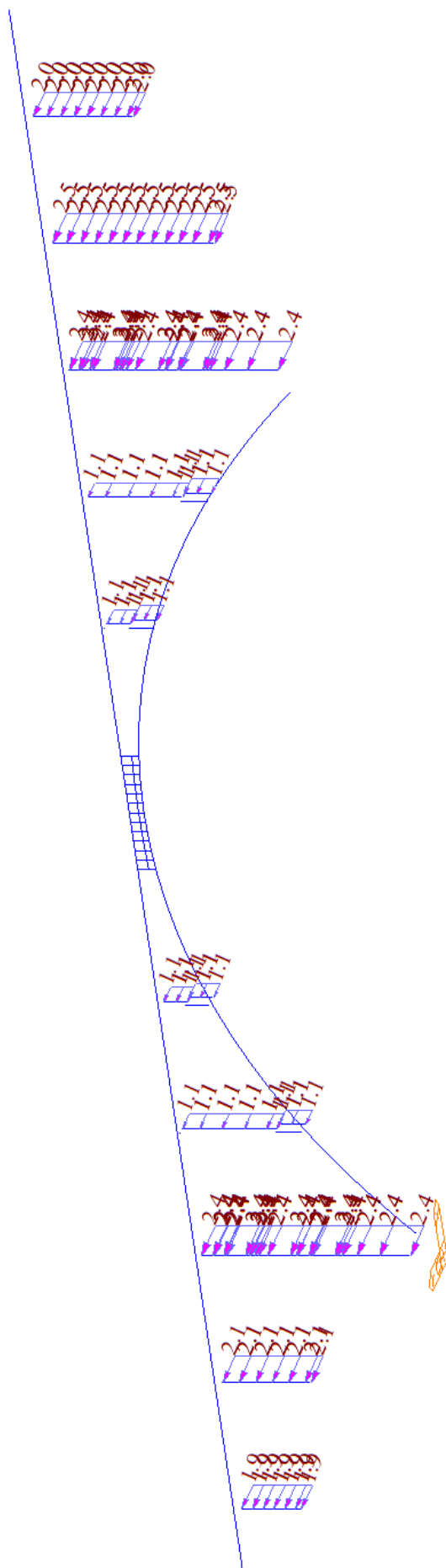


Síly větru na pilíře - obdélníkové průřezy - obloukové stojky

délka ve směru větru	$d=$	4.00	m	<i>kolmo na most (vážený průměr)</i>
šířka kolmá na směr větru	$b=$	1.00	m	
poloměr zaoblení rohů	$r=$	0.00	m	
souč. síly - příč. směr - y	$c_{f,0,y}=$	1.16	-	<i>uvažuje se kolmo na most</i>
souč. síly - podél. směr - x	$c_{f,0,x}=$	2.07	-	<i>uvažuje se ve směru mostu</i>
redukční součinitel - y	$\psi_{r,y}=$	1.00	-	
redukční součinitel - x	$\psi_{r,x}=$	1.00	-	
souč. koncového efektu	$\psi_{\lambda}=$	1.00	-	<i>jde o redukční součinitel (uvažován 1,0)</i>
souč. zatížení větrem - y	$C_y=$	3.14	-	
souč. zatížení větrem - x	$C_x=$	5.62	-	
tlak větru ve směru - y	$q_{py}=$	1151.06	Pa	
tlak větru ve směru - x	$q_{px}=$	2058.16	Pa	



Obrázek 4-2: Zatížení větrem – pilíře



4.1.4.3 Zatížení větrem – mostovka

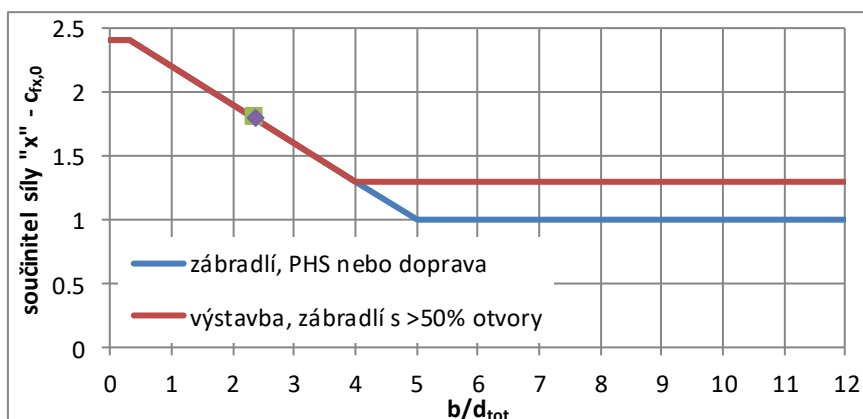
Kategorie terénu a jeho drsnost byla pro mostovku uvažována jednoho typu obdobně jako pro pilíře. Pro zatížení větrem bylo vycházeno z maximálního dynamického tlaku ve výšce 45,0 m nad terénem.

V rámci určení zatížení větrem na mostovku byly rozlišeny dva případy:

- Zatížení samotné konstrukce mostovky vč. účinku zábradlí ($2,1 + 2 \times 0,3 \text{ m} = 2,7 \text{ m}$)
- Zatížení konstrukce včetně dopravního zatížení

V případě dopravního zatížení je nutno uvažovat s upravenou excentricitou zatížení větrem, kdy vzdálenost reálné výslednice zatížení od těžiště průřezu může hrát významnou roli. Při výpočtu excentricity je uvažováno s předpokladem, že vlak zatížený větrem nepřenáší do konstrukce momentové účinky, ale pouze vodorovnou sílu, která působí v úrovni TK. Skutečná excentricita zatížení je získána jako výslednice síly působící na nosnou konstrukci a síly od větru na vlak (přenesenou na NK ve výšce TK).

Síly větru podle směrů na NK				
Ve směru X				
výška konstrukce	$d_{\text{tot}} =$	2.70	m	$NK = 2.1 + 0.6 \text{ m}$ (NK + 2x zábradlí)
šířka konstrukce	$b =$	6.40	m	vyber
souč. síly pro mosty - x	$c_{fx,0} =$	1.79	-	zábradlí, PHS nebo doprava
souč. síly pro mosty - x	$c_{fx,0} =$	1.79	-	A výstavba, zábradlí s >50% otvory
souč. zatížení větrem - x	$C =$	4.86	-	
tlak větru ve směru - x	$q_{px} =$	1777.72	Pa	



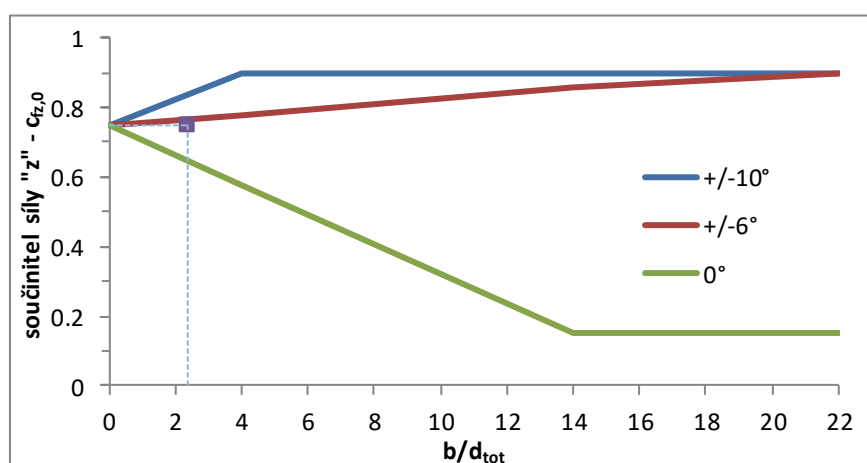
Síly větru podle směrů na NK				
Ve směru X				
výška konstrukce	$d_{\text{tot}} =$	6.10	m	$NK = 2.1 + 4.0 \text{ m}$ (NK + doprava)
šířka konstrukce	$b =$	6.40	m	vyber
souč. síly pro mosty - x	$c_{fx,0} =$	2.19	-	A zábradlí, PHS nebo doprava
souč. síly pro mosty - x	$c_{fx,0} =$	2.19	-	výstavba, zábradlí s >50% otvory
souč. zatížení větrem - x	$C =$	5.93	-	
tlak větru ve směru - x	$q_{px} =$	2171.61	Pa	

[illegible]

4.1.4.4 Zatížení větrem – ostatní směry zatížení

Ostatní směry zatížení – v podélné ose mostu a svislé nejsou pro mostní konstrukci s ohledem na jejich velikost rozhodující. Jejich vyčíslení viz níže.

Ve směru Y			
tlak větru ve směru - y	$q_{py}=$	1.20 kN/m	25% účinku od směru "x"
Ve směru Z			
výška konstrukce	$d_{tot}=$	2.70 m	$NK=2.1 + 2 \times 0.3 = 2.7 \text{ m}$
šířka konstrukce	$b=$	6.40 m	
příčný sklon konstrukce	$\beta=$	0.00 °	0.00%
úhel větru od vodorovné	$\alpha=$	5.00 °	
úhel větru ke konstrukci	$\theta=$	5.00 °	
souč. síly pro mosty - z	$C_{fx,0}=$	0.75 -	pro záporná θ je hodnota záporná
souč. zatížení větrem - z	$C=$	2.03 -	
tlak větru ve směru - z	$q_{pz}=$	741.88 Pa	



4.1.4.5 Zatížení větrem – ztráta aeroelastické stability

Problematika případné ztráty aeroelastické stability je řešeno v samostatné části tohoto statického výpočtu.

4.1.5 Skupina zatěžovacích stavů W – zatížení větrem – dynamická odezva

Pro určení dynamické odezvy mostní konstrukce byly metodami popsány v kapitole 4.1.4 generována v čase proměnná zatížení větrem. Pro zajištění dostatečného vzorku generovaných dat byl pro každou metodu vytvořen soubor celkem 10 dvouhodinových sekvencí, který byl doplněn 1 sekvencí o délce 60 tisíc sekund (100 x 10 min). Pro každou metodu bylo uvažováno celkem cca 37 hodin generovaného zatížení větrem.

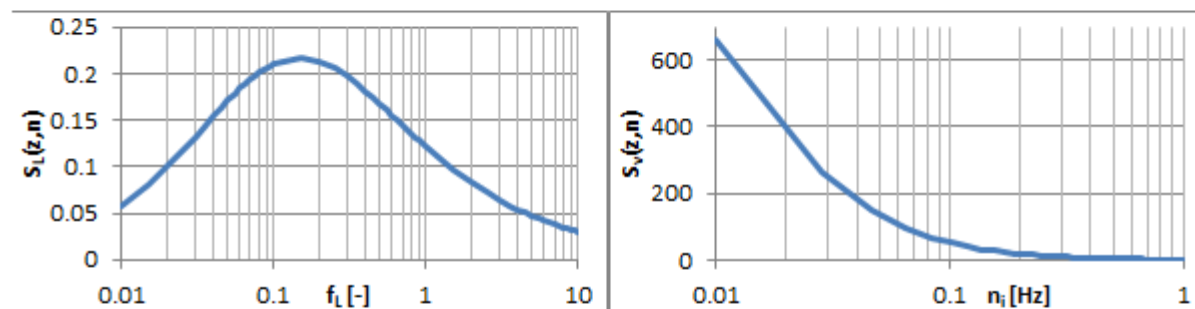
Podrobný popis jednotlivých metod a systém výpočtu zatížení viz další kapitoly.

4.1.5.1 Ověření součinitele konstrukce $c_s c_d$

V rámci řešení dynamické odezvy konstrukce mostu byl pro ověření možnosti použití ekvivalentního statického zatížení (kapitola 4.1.4) vypočten součinitel konstrukce $c_s c_d$ v souladu s kapitolou 6 v ČSN EN 1991-1-4 ed.2. Součinitel konstrukce byl vypočten hodnotou nižší než 1,0. Konzervativně byl uvažován v rámci ekvivalentního statického zatížení hodnotou 1,0.

VÝPOČET SOUČinitele KONSTRUKCE (kap. 6 v ČSN EN 1991-1-4 ed.2 + příloha B - postup 1)

Turbulence větru (příloha B.1)					
Výška nad zemí:	$z =$	45.00	m	Kategorie terénu:	I
Referenční měřítka délky:	$L_z =$	300.00	m	součinitel:	$\alpha =$ 0.440
Referenční výška	$z_r =$	200.00	m	Měřítka délky turbulence:	$L(z) =$ 155.686
Uvažovaná vl. frekvence:	$n_{i,y} =$	0.45	Hz	Bezrozměrná frekvence:	$f_L =$ 2.87
Střední rychlost větru:	$v_m =$	24.20	m/s	Výkonová spektrální hustota:	$S_L =$ 0.066



Součinitel konstrukce (příloha B.2)					
Šířka konstrukce:	$b =$	156.00	m	Výška konstrukce:	$h =$ 2.10
Součinitel odezvy pozadí:	$B^2 =$	0.524	-	Součinitel maximální hodnoty	$k_p =$ 3.408
Rezonanční část odezvy:	$R^2 =$	0.423	-	Aerodynamická admitance:	$R_h =$ 0.891
Log. dekrement útlumu:	$\delta =$	0.05	-		$\eta_h =$ 0.178
Frekvence přechodu s +:	$v =$	0.299	-	Aerodynamická admitance:	$R_b =$ 0.073
Doba integrace:	$T =$	600.000	s		$\eta_b =$ 13.250

Součinitel konstrukce $c_s c_d$ (kapitola 6)					
Intenzita turbulence:	$I_v =$	0.25	-	Součinitel konstrukce:	$c_s c_d =$ 0.97

4.1.5.2 Metoda A – výpočet turbulencí pomocí iFFT

Na základě výkonového spektra (PSD – power spectral density) v příloze B ČSN EN 1991-1-4 ed.2, které popisuje hustotu energie turbulencí pro jednotlivé frekvence vanutí větru (četnost výskytu turbulence při konkrétní frekvenci působení), byl generován časový průběh turbulentní rychlosti větru zohledňující rozložení četnosti frekvencí. Zjednodušení použitého postupu:

- 1/ Výpočet PSD pro jednotlivé frekvence na základě měřítka délky turbulence a směrodatné odchylky větru (zůstává stejné pro všechny výpočty – viz výpočet $c_s c_d$)

$$S_v(z, n) = \frac{6.8 \cdot L(z) \cdot \sigma_v^2}{v_m(z) \left(1 + 10.2 \frac{n_i L(z)}{v_m(z)} \right)^{5/3}}$$

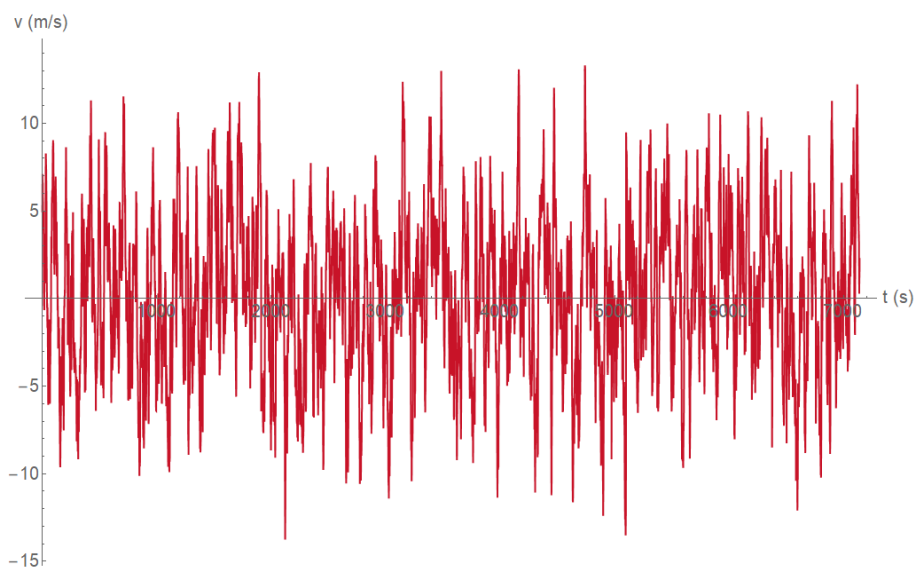
- 2/ Algoritmus pro získání generovaných dat
 - a. Přiřazení náhodně generované fáze $\varphi \in (0, 2\pi)$ každé spektrální komponentě
 - b. Vytvoření signálu ve frekvenční doméně

$$Z(n_i) = \text{PSD} \cdot e^{i \cdot \varphi(n_i)}$$

- c. Generace signálu v časové doméně pomocí iFFT
- 3/ Sečtení střední rychlosti větru s rychlostmi generovaných turbulencí
- 4/ Výpočet tlaku větru v závislosti na výsledných rychlostech

S ohledem na vnoření generování náhodných fází je získána při každém opakování výpočtu nová sada rychlostí turbulence. Pomocí jejich skládání je následně dosaženo požadované délky zatížení.

Obrázek 4-4: Příklad generovaných turbulencí – iFFT



4.1.5.3 Metoda B – výpočet turbulencí dle metodika (Nichita et al., 2002)

Pro výpočet turbulencí je opět využito výkonové spektrum uvedeno v ČSN EN 1991-1-4 ed.2. Průběh turbulencí v čase je generován opět náhodně za použití následujícího postupu:

- 1/ Výpočet PSD pro jednotlivé frekvence na základě měřítka délky turbulence a směrodatné odchylky větru (zůstává stejné pro všechny výpočty – viz výpočet $c_s c_d$)
- 2/ Algoritmus pro získání generovaných dat
 - a. Výpočet amplitudy pro každou frekvenci větru n_i

$$A_i = \frac{2}{\pi} \sqrt{\frac{1}{2} [S_v(\omega_i) + S_v(\omega_{i+1})] \cdot [\omega_{i+1} - \omega_i]}$$

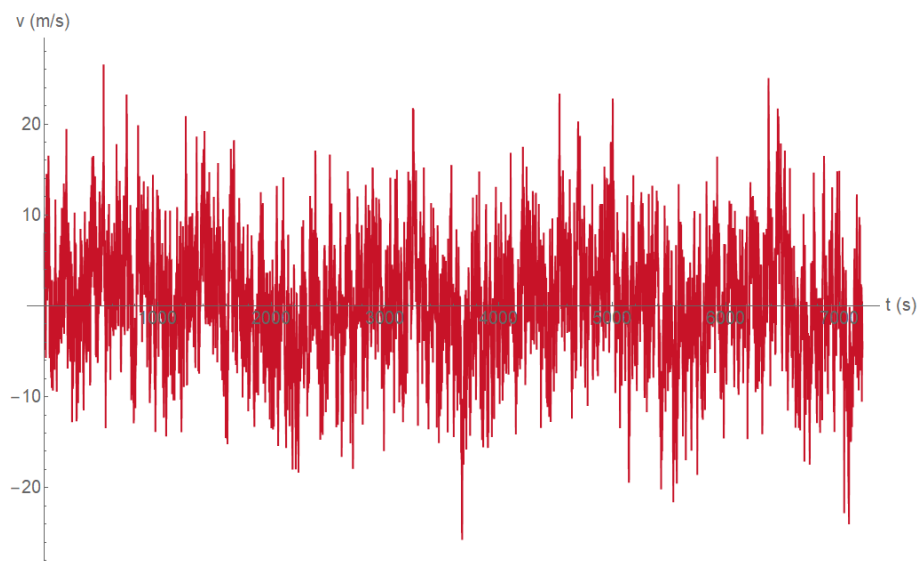
- b. Výpočet rychlosti pro každý i jako suma amplitudy násobené cosinem frekvence s fázovým posunem pro daný čas

$$v(t) = \sum_{i=0}^N A_i \cos(\omega_i t + \varphi_i)$$

- 3/ Sečtení střední rychlosti větru s rychlostmi generovaných turbulencí
- 4/ Výpočet tlaku větru v závislosti na výsledných rychlostech

S ohledem na vnoření generování náhodných fází je získána při každém opakování výpočtu nová sada rychlostí turbulence. Pomocí jejich skládání je následně dosaženo požadované délky zatížení.

Obrázek 4-5: Příklad generovaných turbulencí – (Nichita et al., 2002)



4.1.5.4 Metoda C – výpočet turbulencí pomocí směrodatné odchylky rychlosti větru

Poslední variantou získání náhodného časového průběhu větru je využití směrodatné odchylky turbulentní rychlosti větru. Střední hodnota turbulentní rychlosti je 0 (v souladu s kap. 4.4 v ČSN EN 1991-1-4 ed.2). Postup výpočtu:

- 1/ Vygenerování náhodného souboru turbulentních rychlostí pro každý čas i pomocí Gaussova rozdělení při směrodatné odchylce σ_v a střední hodnotě 0.

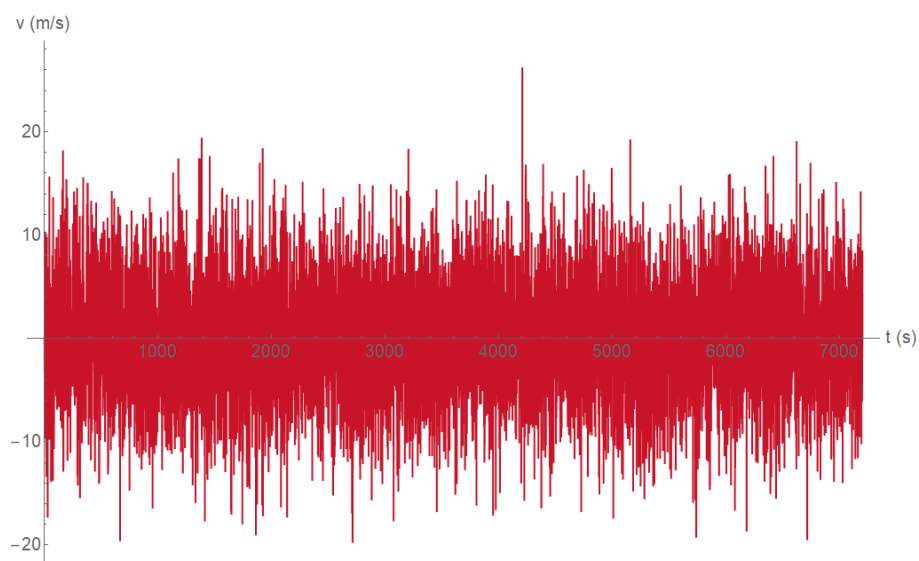
$$\sigma_v = I_v \cdot v_m$$

- 2/ Sečtení střední rychlosti větru s rychlostmi generovaných turbulencí
- 3/ Výpočet tlaku větru v závislosti na výsledných rychlostech

S ohledem na systém generování je s každým opakováním získána nová sada rychlostí turbulence.

Výraznou nevýhodou tohoto postupu je zanedbání rozložení hustoty turbulencí dle frekvencí, která je zřejmá při porovnání obrázků 4-4 a 4-5 s obrázkem 4-6.

Obrázek 4-6: Příklad generovaných turbulencí – Gaussovo rozdělení turbulencí

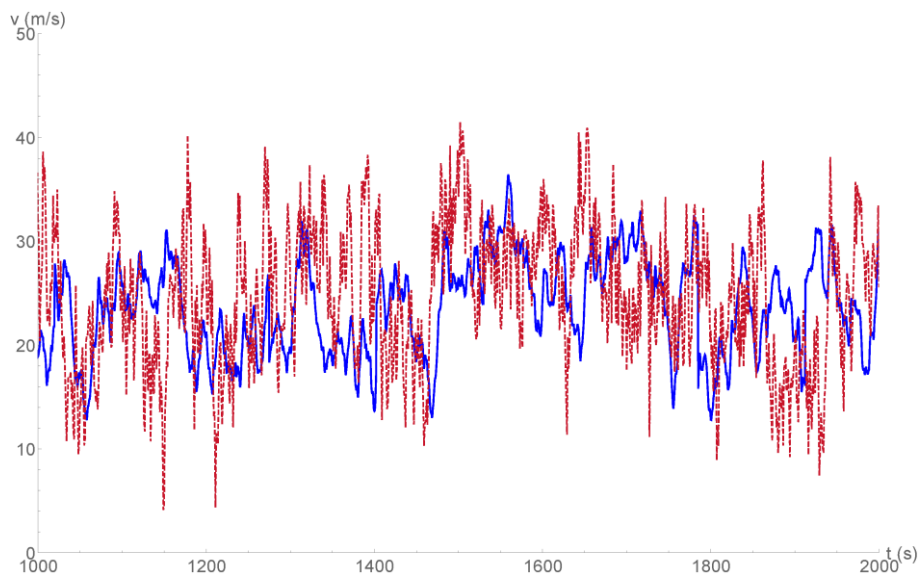


4.1.5.5 Porovnání jednotlivých metod

V rámci porovnání jednotlivých metod byly řešeny maximální získané hodnoty rychlosti turbulencí, časový průběh turbulencí i jejich frekvenční spektrum.

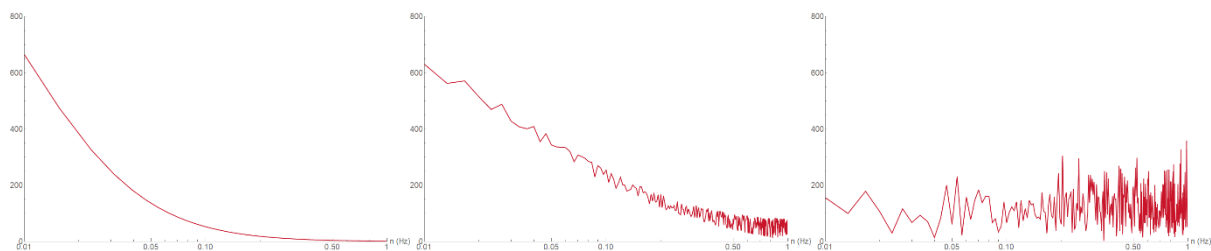
V případě maximálních rychlostí vypočtených turbulencí jsou srovnatelné výsledky metody B a C. Metoda používající iFFT dosahuje nižších maximálních hodnot rychlostí a zároveň při podrobném pohledu je zřejmé, že výsledný časový průběh je spíše pozvolný s menšími rychlostními skoky. Při porovnání metody A a B, které jsou obě založeny na výkonovém spektru se metoda A projevuje spíše jako časový průměr metody B. Nicméně u obou metod je zřejmý frekvenční systém vycházející z výkonového spektra. I s ohledem na dosažené vnitřní síly je zřejmé, že metoda B je v porovnání s metodou A pro konstrukci méně příznivá.

Obrázek 4-7: Detail časového průběhu konečné rychlosti dle metody A (modře) a metody B (červeně čárkovaně)



S ohledem na skutečnost, že maximální rychlosti vypočtené dle metody B a C jsou srovnatelné je dalším krokem porovnání jejich časového průběhu, respektive frekvenčního spektra. Metoda B vychází z výkonového spektra a při zpětném využití FFT na výsledný signál je zřejmé, že s ním koresponduje. Metoda C, generována náhodně bez příslušnosti k jednotlivým frekvencím má jejich rozložení téměř rovnoměrné a je tedy stejně účinná napříč všech řešených frekvencích. S ohledem na tuto skutečnost se jeví tato metoda jako značně konzervativní a nevedla by k ekonomickému návrhu konstrukce. Porovnání zpětného převodu signálů z časové domény do frekvenční viz grafy níže.

Obrázek 4-8: Převedení generovaného signálu do frekvenční domény (metoda A – vlevo, B – uprostřed, C – vpravo)



Na základě převedení signálů zpět do frekvenční domény je jasné, že postup metody A s pomocí iFFT zachovává frekvenční rozložení signálu přesně. Naopak u metody C je potvrzeno rovnoměrné rozdělení po frekvencích. Metoda B zvyšuje oproti metodě A účinek vyšších frekvencí v rozsahu 0,1 – 1,0 Hz. S ohledem na skutečnost, že 1. vlastní frekvence konstrukce účinná ve směru větru je ~0,45 Hz je možné uvažovat při použití metody B s hodnotami na straně bezpečné. Pro řešení dynamické odezvy je tedy zvolena metoda B.

4.1.5.6 Výpočet hodnoty dynamického zatížení větrem

Pro určení konkrétní hodnoty dynamického zatížení bylo uvažováno s daty střední rychlosti a intenzity turbulence poskytnutých ČHMÚ. Jednotlivými metodami vypočtené rychlosti větru v čase byly převedeny na tlak větru v souladu s vztahem 4.10 (ČSN EN 1991-1-4 ed.2). Součinitel expozice, který je závislý na turbulencích nebyl uvažován s ohledem na skutečnost, že turbulence jsou do rychlostí větru zahrnuty již při generaci časově proměnného zatížení.

4.1.5.7 Dynamická odezva při výstavbě

S ohledem na systém výpočtu je dynamická odezva v rámci stavby řešena pro stejný dynamický průběh zatížení větrem. Posouzení viz jednotlivé části statického výpočtu. Ztráta aeroelastické stability je řešena také jednotlivě pro dílčí části konstrukce.

4.1.6 Skupina zatěžovacích stavů T – zatížení teplotou

Pro návrh NK byly uvažovány vlivy rovnoměrného oteplení, resp. ochlazení a lineární průběh teploty dle tab. 6.1 a redukcemi v souladu s tab. 6.2 v ČSN EN 1991-1-5. Teplota provádění NK byla uvažována 10°C.

S ohledem na ustanovení čl. 6.1.4.3 v ČSN EN 1991-1-5 bylo řešeno nerovnoměrné oteplení v příčném směru, kdy se uvažuje oslunění z jedné strany a rozdílová teplota na krajích mostu je uvažován jako gradient 5°C.

Zároveň byl s ohledem na ustanovení čl. 6.1.6 v ČSN EN 1991-1-5 zohledněn rozdíl teploty mezi nosnými prvky, konkrétně mezi mostovkou a obloukem o 15°C.

Kombinování účinků teplot bylo řešeno v souladu s čl. 6.1.5 v ČSN EN 1991-1-5. Řešené vztahy byly vypočteny tak, aby maximální, resp. minimální teplota při kombinaci nepřesáhla maximální a minimální teplotu stanovenou dle kapitoly 6.1.3 v ČSN EN 1991-1-5.

Teplota - rovnoměrná									
Označ.	Popis	T _{max}	T _{min}	T _{e,max}	T _{e,min}	T _{n,exp}	T _{n,con}	Typ NK III	
		[°C]	[°C]	[°C]	[°C]	[°C]	[°C]		
T	rovnoměrná teplota	40.0	-34.0	41.5	-26.0	31.5	-36.0	-	-

Typ nosné konstrukce	Horní povrch teplejší než dolní	Dolní povrch teplejší než horní
	$\Delta T_{M,heat} (^{\circ}C)$	$\Delta T_{M,cool} (^{\circ}C)$
1. typ: ocelová nosná konstrukce	18	13
2. typ: ocelobetonová nosná konstrukce	15	18
3. typ: betonová nosná konstrukce		
– betonový komorový nosník	10	5
– betonový nosník	15	8
– betonová deska	15	8

POZNÁMKA 1 Hodnoty uvedené v tabulce jsou horními mezními hodnotami lineárně proměnné složky teploty pro reprezentativní vzorek geometrie mostů.

POZNÁMKA 2 Hodnoty uvedené v tabulce pro mosty pozemních komunikací, lávky a pro železniční mosty vycházejí z 50 mm tloušťky mostního svršku. Pro jiné tloušťky mostního svršku se mají tyto hodnoty vynásobit součinitelem k_{sur} . Doporučené hodnoty součinitele k_{sur} jsou uvedené v tabulce 6.2.

4.1.7 Skupina zatěžovacích stavů MVL – svislá dopravní zatížení

Pro vyhodnocení svislých pohyblivých zatížení od dopravy byl využit modul „moving load“ programu MIDAS Civil. Pro kolej byla definována dráha, která kopíruje její směrové vedení.

Excentricita pohyblivého zatížení byla zadána v souladu s čl. 6.3.5 v ČSN EN 1991-2 ed. 2 hodnotou 83 mm.

Dynamické součinitele byly uvažovány dle ČSN EN 1991-2 ed. 2. Vliv možného použití dynamického součinitele pro pečlivě udržovanou kolej v rámci mezních stavů použitelnosti je v tomto případě zanedbatelný. Z tohoto důvodu byl použit součinitel pro standardně udržovanou kolej bez výjimky.

Pozn.: Klasifikace zatížení pro NK $\alpha=1,21$ (požadavek Odboru traťového hospodářství pro zajištění rezervy předpjaté konstrukce); pro oblouk v souladu se zatříděním trati $\alpha=1,1$.

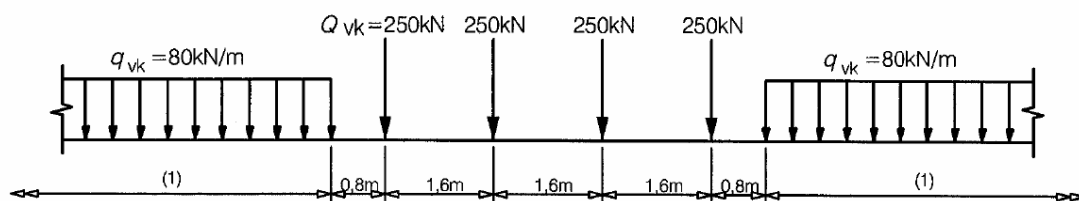
Dynamický součinitel

pro standardně udržovanou kolej	$\Phi_3 = 2,16/(L_\Phi^{0,5-0,2})+0,73$	< 2,00
pro pečlivě udržovanou kolej	$\Phi_2 = 1,73/(L_\Phi^{0,5-0,2})+0,82$	< 1,67

Náhradní délky prvků NK			Φ_3	Φ_2
hlavní nosná konstrukce - mostovka	L =	m		
	$L_\Phi = L/13 \cdot 1,5$	m		
	$L_\Phi = 34,44$	m	1.111	1.074
oblouk	L =	m		
	$L_\Phi = L/2$	m		
	$L_\Phi = 78,00$	m	1.000	1.000

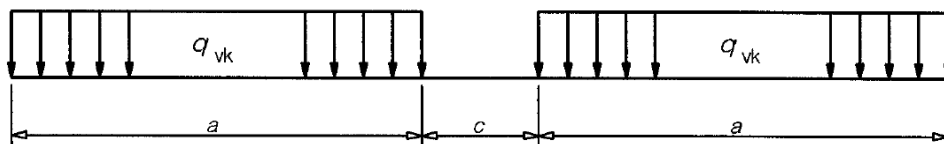
Zatěžovací schéma LM71 klasifikované součinitelem α , s osamělými nápravovými silami

klasifikační součinitel	$\alpha = 1,21$	-
nápravová síla, char. hodnota	$Q_{71,1,k} = \alpha \cdot 250$	kN
	= 302,5	kN
rovnoměrné zatížení, char. hodnota	$q_{71,2,k} = \alpha \cdot 80$	kN/m
	= 96,8	kN/m



Zatěžovací schéma SW/0 (klasifikované součinitelem α)

Zatěžovací schéma SW/2 (bez klasifikace souč. α)



Obrázek 6.2 – Modely zatížení SW/0 a SW/2

Model zatížení	q_{vk} (kN/m)	a (m)	c (m)
SW/0	133	15,0	5,3
SW/2	150	25,0	7,0

4.1.8 Skupina zatěžovacích stavů R – Zatížení bočním rázem

Boční ráz byl zadán v souladu s ČSN EN 1991-2 ed.2. Nicméně s ohledem na účinky ostatních zatížení působících v příčném směru (např. vítr) nebyl dále vyhodnocován.

charakteristické zatížení bočním rázem, klasifikované součinitelem α

$$Q_{sk,0} = 100.00 \text{ kN}$$

$$\alpha = 1.21$$

$$Q_{sk} = 121.00 \text{ kN}$$

Pozn.: Klasifikace zatížení pro NK $\alpha=1,21$ (požadavek Odboru traťového hospodářství pro zajištění rezervy předpjaté konstrukce); pro oblouk v souladu se zatříděním trati $\alpha=1,1$.

4.1.9 Skupina zatěžovacích stavů B – Zatížení rozjezdovými a brzdnými silami

Rozjezdové a brzdné síly byly zadávány s jednotným klasifikačním součinitelem. Rozdíl účinku na oblouk v MSÚ je do cca 3%, v mezních stavech použitelnosti (charakteristická kombinace) pak pouze do cca 5%.

R: rozjezdová síla pro zatěžovací schéma LM-71, klasifikované součinitelem α

$$\begin{aligned} \text{char. hodnota rozjezdové} \quad q_{la,71,k} &= 33 \cdot 1,21 \text{ kN/m} \\ &= 39.9 \text{ kN/m} \end{aligned}$$

$$\text{Přičiňující délka NK1} \quad L_{R,1} = 300.00 \text{ m}$$

$$\text{Součinitel přenosu zat.} \quad \zeta_{R,1} = 1.00 \quad \text{dilatační zařízení}$$

Zatížení v ose hlavního nosníku T.L/ T.P (1 kolej)

$$\text{zatížení na jednu kolej} \quad q_{K,1} = 39.9 \text{ kN/m}$$

B: brzdná síla pro zatěžovací schéma LM-71, klasifikované součinitelem α

$$\begin{aligned} \text{char. hodnota brzdné síly} \quad q_{lb,71,k} &= 20 \cdot 1,21 \text{ kN/m} \\ &= 24.2 \text{ kN/m} \end{aligned}$$

$$\text{Přičiňující délka NK1} \quad L_{B,1} = 300.00 \text{ m}$$

$$\text{Součinitel přenosu zat.} \quad \zeta_{B,1} = 1.00$$

Zatížení v ose hl. nosníku T.L/ T.P (1 kolej)

$$\text{zatížení na jednu kolej} \quad q_{K,1} = 24.2 \text{ kN/m}$$

$$\text{plošné zatížení} \quad q_{K,1} = 9.31 \text{ kN/m}^2$$

kontrola reakcí Rx:

$$\text{Reakce } R_{x,1} \text{ (R)} \quad R_{x,1} = 1210 \text{ kN}$$

$$\text{Reakce } R_{x,2} \text{ (B)} \quad R_{x,2} = 7260 \text{ kN}$$

Pozn.: Klasifikace zatížení pro NK $\alpha=1,21$ (požadavek Odboru traťového hospodářství pro zajištění rezervy předpjaté konstrukce); pro oblouk v souladu se zatříděním trati $\alpha=1,1$.

4.1.10 Skupina zat. stavů K – zatížení teplotním rozdílem mezi kolejí a NK

Vzhledem k využití mostního dilatačního zařízení na obou stranách nosné konstrukce je účinek teplotního rozdílu mezi kolejí a NK nulový (viz vztah 6.29 v ČSN EN 1991-2 ed.2).

4.1.11 Skupina zat. stavů S – účinky nerovnoměrného sedání opěr

Účinky nerovnoměrného sedání podpěr byly zohledněny celkovou hodnotou $\pm 2,5$ mm pro vzájemné posuny jednotlivých podpor.

4.1.12 Rozsah dopravy pro posouzení na únavu

Pro posouzení na únavu byly využity výhledové rozsahy dopravy dle části B.02 – Provozní a dopravní technologie.

Tabulka 4-1: Rozsah dopravy pro jednotlivé koleje

Kolej	T_f (mil. hr. t / rok)
1	3,0

4.1.13 Skupina zatěžovacích stavů EQ – Zatížení zemětřesením – mimořádné

S ohledem na umístění konstrukce je možno vliv zemětřesení zanedbat.

ZATŘÍDĚNÍ OBLASTI KONSTRUKCE S OHLEDEM NA SEISMICKÉ ZATÍŽENÍ

Oblast konstrukce					
Třída významu mostu:	III	~CC3	Součinitel významu mostu:	$\gamma_I =$	1.30 -
Seismická oblast	Písek		Ref. špičkové zrychlení A:	$a_{gR} =$	0.00 -
Specifikace základové půdy					
Typ základové půdy:	A		$v_{s,30}$ [m/s]	N_{SPT} [úderů/30 cm]	c_u [kPa]
Popis základové půdy:			>800	-	-

Skalní horninový masiv nebo geologická formace typu skalních hornin při nadloží z měkčího materiálu v maximální mocnosti do 5 m

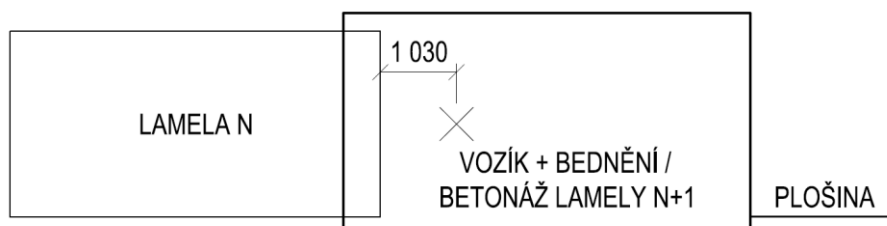
Vlastnosti spektra pružné odezvy								
Tvar spektra pruž. odezvy:		Spektrum 2		Směr	S	T _B	T _C	T _D
					[-]	[s]	[s]	[s]
Návrhové zrychlení podloží:	a _g =	0.000	g [m/s ²]	H	1.00	0.05	0.25	1.20
Návrhové svislé zrychlení:	a _{vg} =	0.000	g [m/s ²]	V	-	0.05	0.15	1.00
Poměrný viskózní útlum:	ξ=	2.00	%	Korekční součinitel útlumu: η= 1.20 -				
Oblast seismicity	a ₀ S=	0.000	g [m/s ²]	Velmi malá seizmicita - ČSN EN 1998 se zanedbá				

4.1.14 Zatížení v rámci fází výstavby

S ohledem na použité technologie a jejich nezanedbatelné hmotnosti byly do modelu implementovány zatížení od uložení (kotvení) betonážního vozíku lamel oblouku a od skruže pro betonáž mostovky.

4.1.14.1 Betonážní vozík

Zatížení od betonážního vozíku bylo zadáváno na konstrukci jako silový a momentový účinek na konci předchozí lamely. Tímto způsobem byla zadávána jak samotná hmotnost vozíku, tak i tíha čerstvého betonu při betonáži lamely. Hmotnost vozíku včetně bednění byla uvažována 70 t, vzdálenost těžiště od konce hotové lamely 1,03 m.



4.1.14.2 Skruž mostovky

Zatížení od posuvné skruže pro betonáž mostovky bylo zadáváno v předpokládaných pozicích jako bodové zatížení. Celková tíha skruže byla uvažován 100 t. S rozdělením na dvě stojky. Přední stojka je umístěna na následujícím pilíři, zadní stojka je uvažována ve vzdálenosti 1,5 m od konce vykonzolování předchozího pole. Poměr přenosu zatížení od tíhy skruže – přední : zadní = 0,625 : 0,375; od tíhy čerstvého betonu: přední : zadní = 0,65 : 0,35.

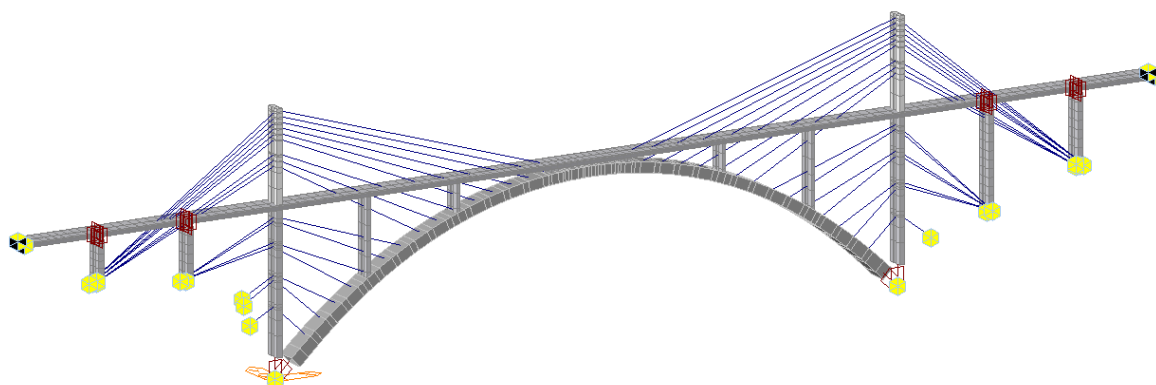
4.2 Model konstrukce

Výpočet vnitřních sil byl proveden na 3D prutovém modelu v MKP SW MIDAS Civil 2020 (v1.2). Vnitřní síly byly využity pro posouzení mezních stavů únosnosti v programu IDEA StatiCa – RCS (v9.1.51.51750).

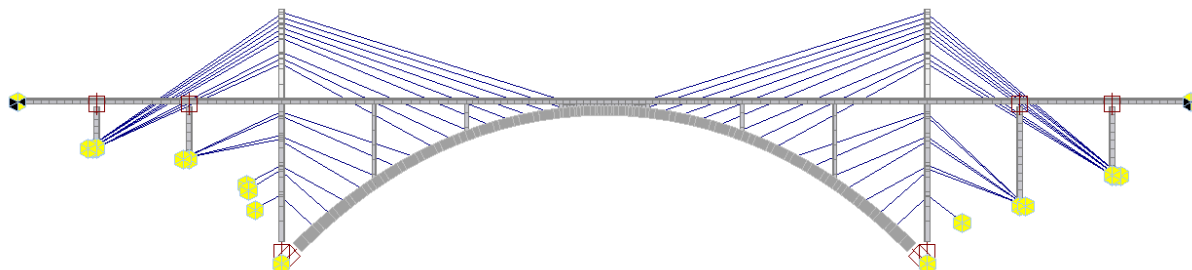
4.2.1 Popis modelu

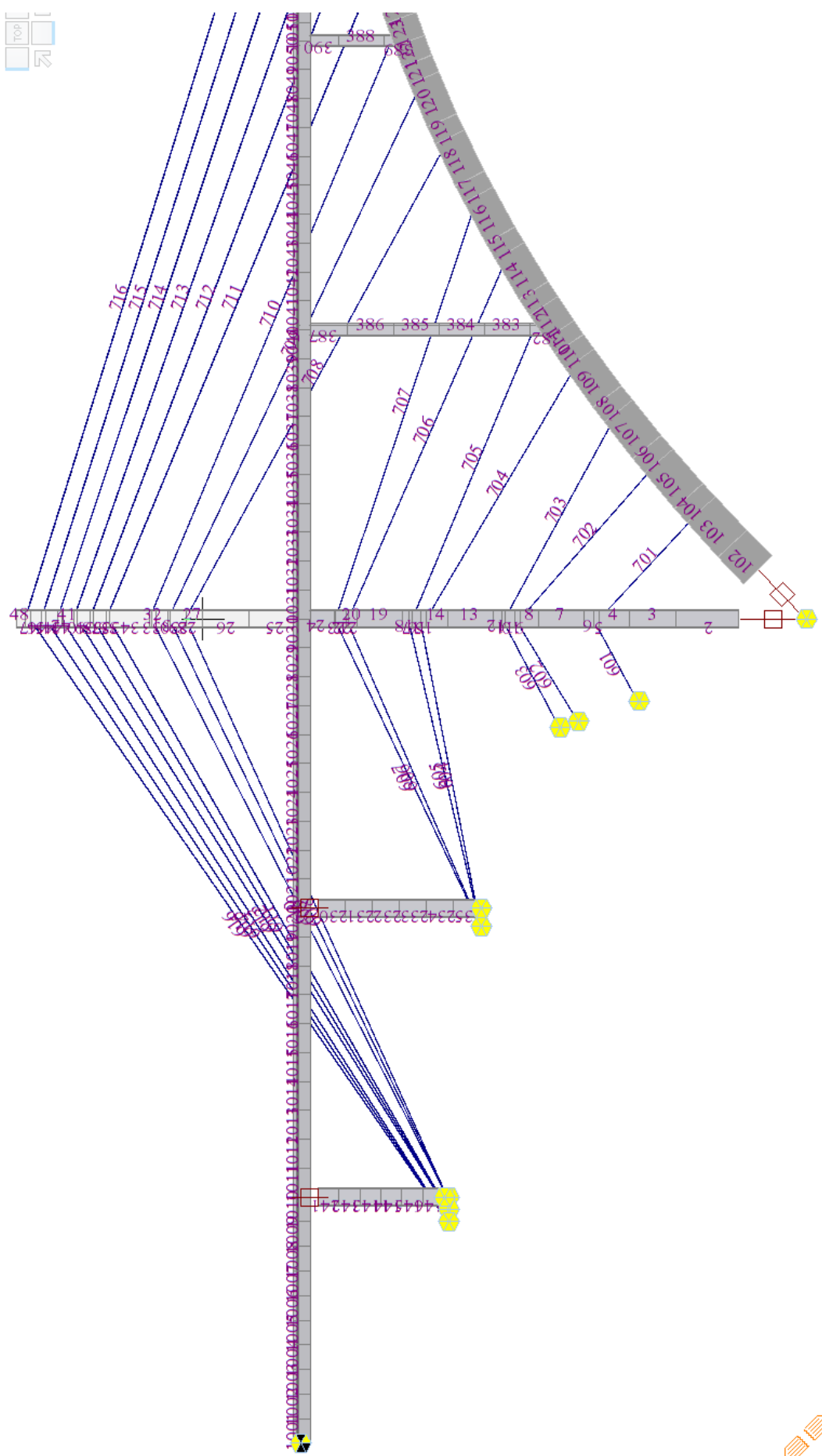
Nosná konstrukce byla modelována pomocí prutových náhrad, které vystihují tvar jednotlivých konstrukcí. Pro zohlednění postupu výstavby bylo vytvořeno celkem 114 po sobě jdoucích konstrukčních fází. Systém výstavby letmou betonáží s vyvěšováním byl modelován pomocí použití lanových prvků, které byly v jednotlivých fázích výstavby napínány pro zajištění požadovaného tvaru oblouku a zajištění dimenzovatelných vnitřních sil na vyvěšené konzole ve fázích výstavby. Spojení mostovky s pilíři pomocí vrubových kloubů bylo realizováno pomocí uvolněných momentových vazeb v podélném směru. Pro zahrnutí vlivu uložení na dvojice ložisek nad břehovými pilíři byly použity soustavy pružných spojení, která zohlednila působení dvojice sil na krutící účinky zatížení. Základy pilířů byly modelovány pružnými podporami s tuhostmi získanými z modulu Patky SW GEO 5.

Obrázek 4-9: Model konstrukce – axonometrie

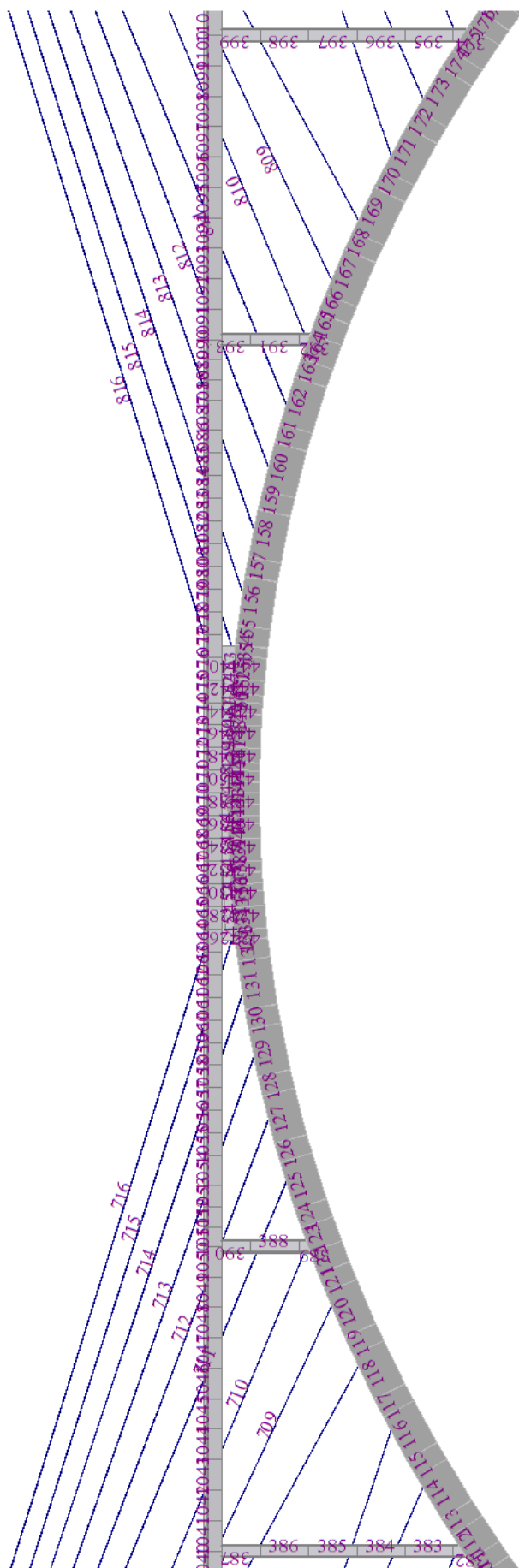


Obrázek 4-10: Model konstrukce – pohled





Obrázek 4-12: Model konstrukce – pohled, střední část



4.2.2 Podélná tuhost konstrukce

V rámci výpočtu byly porovnány dva přístupy pro zohlednění podélné tuhosti desky mostovky s vlivem smykového ochabnutí – se zahrnutím smykového ochabnutí a bez jeho zahrnutí. Smykové ochabnutí se s ohledem na rozměry nosné konstrukce projevuje dle kap. 5.3.2.1 v ČSN EN 1992-1-1 ed. 2 pouze v oblasti nad vnitřními podporami. Smykové ochabnutí nebylo s ohledem na níže předložené výsledky uvažováno. Vliv na ohybovou tuhost průřezu byl stanoven do velikosti 1%.

SPOLUPŮSOBÍCÍ ŠÍŘKA

geometrie konstrukce							
délka počátečního pole	L_1	20.0	m	šířka trámu	B_w	1.30	m
délka vnitřního pole (a)	L_{2a}	23.5	m	šířka konzoly 1	B_1	0.90	m
délka vnitřního pole (b)	L_{2b}	23.5	m	šířka konzoly 2	B_2	0.75	m
délka koncového pole	L_3	20.0	m	celková šířka	B	2.95	m
Vzdálenosti nulových ohybových momentů							
inflexní body - pole	$l_{0,1}$	17.00	m		$l_{0,1-2a}$	6.53	m
	$l_{0,2a}$	16.45	m		$l_{0,2a-2a}$	7.05	m
	$l_{0,2b}$	16.45	m	inflexní body - podpory	$l_{0,2a-2b}$	7.05	m
	$l_{0,3}$	17.00	m		$l_{0,2b-2b}$	7.05	m
					$l_{0,2b-3}$	6.53	m

Spolupůsobící šířky

Umístění	$b_{eff,1}$ [m]	$b_{eff,2}$ [m]	b_{eff} [m]	Umístění	$b_{eff,1}$ [m]	$b_{eff,2}$ [m]	b_{eff} [m]
Pole 1	0.90	0.75	2.95	Podpora 2 (p-a)	0.83	0.75	2.88
Pole vnitřní (a)	0.90	0.75	2.95	Podpora vnitřní (a)	0.89	0.75	2.94
pole vnitřní (b)	0.90	0.75	2.95	Podp. vnitřní (a-b)	0.89	0.75	2.94
Pole n	0.90	0.75	2.95	Podpora vnitřní (b)	0.89	0.75	2.94
				Podpora n (b-k)	0.83	0.75	2.88

4.2.3 Fáze výstavby uvažované modelem

Pro zohlednění vlivu reologických jevů byly do modelu zaneseny fáze výstavby.

Upozornění: číslování polí v názvu fází v modelu je založeno na starším označení a je u polí mostovky o 1 nižší (uvažuje se číslování pro polovinu mostu).

Tabulka 4-2: Fáze výstavby

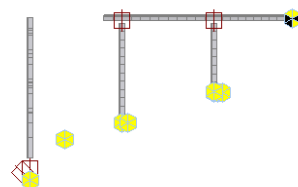
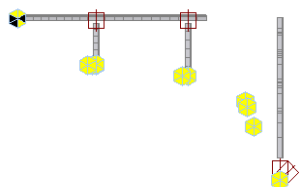
Fáze	Model	Trvání [den]	Konečný čas [den]
Pilíře P1, P2, P10, P11, opěry OP1, OP2	1-supp_P0_P1	51	51
Betonáž pole 1 a pole 12	2-D0	7	58
Betonáž pole 2 a pole 11	3-D1	0	58
Pilíř P3 a P9	4-P2	0	58
Betonáž zárodku oblouku	5-O_0	1	59
Instalace vozíku na zárodek	6-O_F1	5	64
Betonáž lamely 1	7-O_C1	3	67
Přidání lamely 1 do matice tuhosti	8-O_1	0	67
Aktivace závěsů 1. lamely	9-O_1C	1	68
Přesun vozíku pro betonáž lamely 2	10-O_F2	5	73
Betonáž lamely 2	11-O_C2	3	76
Přidání lamely 2 do matice tuhosti	12-O_2	0	76
Aktivace závěsů 2. lamely	13-O_2C	1	77
Přesun vozíku pro betonáž lamely 3	14-O_F3	5	82

Fáze	Model	Trvání [den]	Konečný čas [den]
Betonáž lamely 3	15-O_C3	3	85
Přidání lamely 3 do matice tuhosti	16-O_3	0	85
Aktivace závěsů 3. lamely	17-O_3C	1	86
Přesun vozíku pro betonáž lamely 4	18-O_F4	5	91
Betonáž lamely 4	19-O_C4	3	94
Přidání lamely 4 do matice tuhosti	20-O_4	0	94
Aktivace závěsů 4. lamely	21-O_4C	1	95
Přesun vozíku pro betonáž lamely 5	22-O_F5	5	100
Betonáž lamely 5	23-O_C5	3	103
Přidání lamely 5 do matice tuhosti	24-O_5	0	103
Aktivace závěsů 5. lamely	25-O_5C	1	104
Přesun vozíku pro betonáž lamely 6	26-O_F6	5	109
Betonáž lamely 6	27-O_C6	3	112
Přidání lamely 6 do matice tuhosti	28-O_6	0	112
Aktivace závěsů 6. lamely	29-O_6C	1	113
Přesun vozíku pro betonáž lamely 7	30-O_F7	5	118
Betonáž lamely 7	31-O_C7	3	121
Přidání lamely 7 do matice tuhosti	32-O_7	0	121
Aktivace závěsů 7. lamely	33-O_7C	1	122
Přesun vozíku pro betonáž lamely 8	34-O_F8	5	127
Betonáž pole 3 a pole 10	35-D2	0	127
Výstavba provizorního pylonu	36-P2_supp	0	127
Betonáž lamely 8	37-O_C8	3	130
Přidání lamely 8 do matice tuhosti	38-O_8	0	130
Aktivace závěsů 8. lamely	39-O_8C	1	131
Přesun vozíku pro betonáž lamely 9	40-O_F9	5	136
Betonáž lamely 9	41-O_C9	3	139
Přidání lamely 9 do matice tuhosti	42-O_9	0	139
Aktivace závěsů 9. lamely	43-O_9C	1	140
Přesun vozíku pro betonáž lamely 10	44-O_F10	5	145
Betonáž lamely 10	45-O_C10	3	148
Přidání lamely 10 do matice tuhosti	46-O_10	0	148
Aktivace závěsů 10. lamely	47-O_10C	1	149
Přesun vozíku pro betonáž lamely 11	48-O_F11	5	154
Betonáž lamely 11	49-O_C11	3	157
Přidání lamely 11 do matice tuhosti	50-O_11	0	157
Aktivace závěsů 11. lamely	51-O_11C	1	158
Přesun vozíku pro betonáž lamely 12	52-O_F12	5	163
Betonáž lamely 12	53-O_C12	3	166
Přidání lamely 12 do matice tuhosti	54-O_12	0	166
Aktivace závěsů 12. lamely	55-O_12C	1	167
Přesun vozíku pro betonáž lamely 13	56-O_F13	5	172
Betonáž lamely 13	57-O_C13	3	175
Přidání lamely 13 do matice tuhosti	58-O_13	0	175
Aktivace závěsů 13. lamely	59-O_13C	1	176
Přesun vozíku pro betonáž lamely 14	60-O_F14	5	181
Betonáž lamely 14	61-O_C14	3	184
Přidání lamely 14 do matice tuhosti	62-O_14	0	184
Aktivace závěsů 14. lamely	63-O_14C	1	185
Přesun vozíku pro betonáž lamely 15	64-O_F15	5	190
Betonáž lamely 15	65-O_C15	3	193

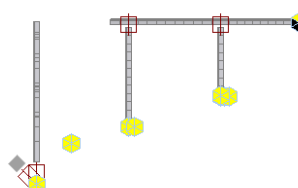
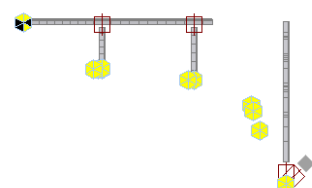
Fáze	Model	Trvání [den]	Konečný čas [den]
Přidání lamely 15 do matice tuhosti	66-O_15	0	193
Aktivace závěsů 15. lamely	67-O_15C	1	194
Přesun vozíku pro betonáž lamely 16	68-O_F16	5	199
Betonáž lamely 16	69-O_C16	3	202
Přidání lamely 16 do matice tuhosti	70-O_16	0	202
Aktivace závěsů 16. lamely - prázdné	71-O_16C	1	203
Přesun vozíku pro betonáž lamely 17	72-O_F17	5	208
Rozepření mezi koncovými lamelami	73-O_F17_jack	0	208
Betonáž spojení oblouku	74-O_C17	3	211
Zmonolitnění oblouku do matice tuhosti	75-O_17	14	225
Betonáž spojovacích krčků nad korunou oblouku	76-Joint	14	239
Odstranění skupiny závěsů lamely 16 - prázdné	77-Cable_min1	1	240
Odstranění skupiny závěsů lamely 15	78-Cable_min2	1	241
Odstranění skupiny závěsů lamely 14	79-Cable_min3	1	242
Odstranění skupiny závěsů lamely 13	80-Cable_min4	0	242
Odstranění skupiny závěsů lamely 12	81-Cable_min5	0	242
Odstranění skupiny závěsů lamely 11	82-Cable_min6	0	242
Odstranění skupiny závěsů lamely 10	83-Cable_min7	0	242
Odstranění skupiny závěsů lamely 9	84-Cable_min8	0	242
Odstranění skupiny závěsů lamely 8	85-Cable_min9	0	242
Zhotovení pilíře nad obloukem (P4, P8)	86-P3	0	242
Zhotovení pilíře nad obloukem (P5, P9)	87-P4	0	242
Posun skruže pro betonáž pole 4	88-SS-F3-A	3	245
Posun skruže pro betonáž pole 9	89-SS-F3-Z	3	248
Betonáž pole 4	90-SS-Fc3-A	3	251
Betonáž pole 9	91-SS-Fc3-Z	3	254
Předepnutí, přidání polí do matice tuhosti	92-D3	2	256
Posun skruže pro betonáž pole 5	93-SS-F4-A	3	259
Posun skruže pro betonáž pole 8	94-SS-F4-Z	3	262
Betonáž pole 5	95-SS-Fc4-A	3	265
Betonáž pole 8	96-SS-Fc4-Z	3	268
Předepnutí, přidání polí do matice tuhosti	97-D4	30	298
Posun skruže pro betonáž pole 6	98-SS-F5-A	3	301
Posun skruže pro betonáž pole 7	99-SS-F5-Z	3	304
Betonáž pole 6	100-MSS-Fc5-A	3	307
Betonáž pole 7	101-MSS-Fc5-Z	3	310
Předepnutí, přidání polí do matice tuhosti	102-D5	30	340
Odstranění skruže z pole 7	103-MSS-F5-Z-rem	1	341
Posun skruže nad korunu oblouku	104-MSS-F6-A	3	344
Betonáž pole nad korunou oblouku	105-MSS-Fc6-A	3	347
Přidání pole do matice tuhosti	106-D6	30	377
Odstranění skruže z koruny oblouku	107-MSS-F6-A-rem	1	378
Odstranění skupiny závěsů lamely 7,6,5,4	108-Cable_min4	1	379
Odstranění skupiny závěsů lamely 3,2,1	109-Cable_min5	1	380
Zhotovení říms a vybavení	110-G1_access	14	394
Zhotovení šterkového lože a svršku	111-G1_wear	30	424
Uvedení do provozu	112-UP	0	424
Provoz	113-Provoz	36200	36624
Konec životnosti	114-INF	0	36624

4.2.3.1 Grafické řešení fází výstavby

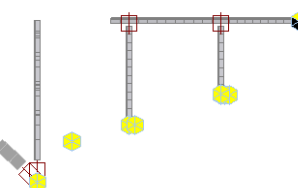
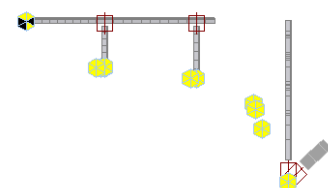
1. Pilíře P1, P2, P10, P11, opěry OP1, OP2
2. Betonáž pole 1 a pole 12
3. Betonáž pole 2 a pole 11
4. Pilíř P3 a P9



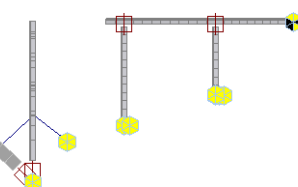
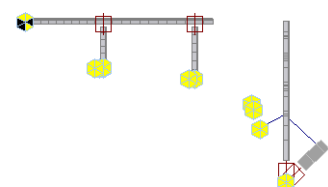
5. Betonáž zárodku oblouku
6. Instalace vozíku na zárodek



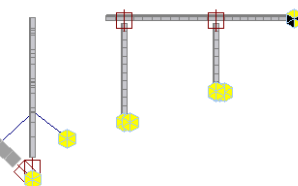
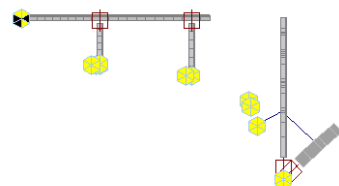
7. Betonáž lamely 1
8. Přidání lamely 1 do matice tuhosti



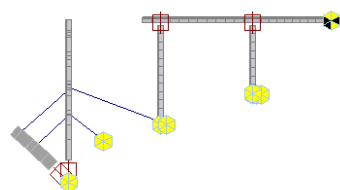
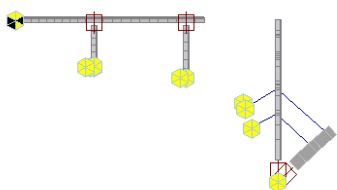
9. Aktivace závěsů 1. lamely
10. Přesun vozíku pro betonáž lamely 2
11. Betonáž lamely 2



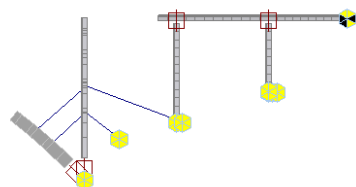
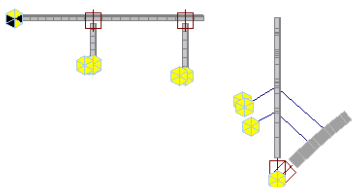
12. Přidání lamely 2 do matice tuhosti



13. Aktivace závěsů 2. lamely
14. Přesun vozíku pro betonáž lamely 3
15. Betonáž lamely 3



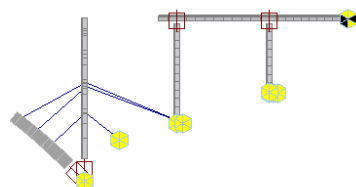
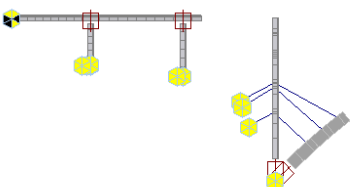
16. Přidání lamely 3 do matice tuhosti



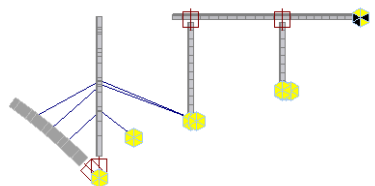
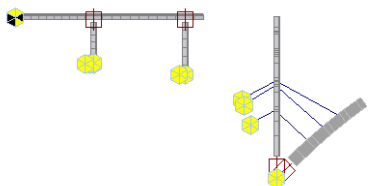
17. Aktivace závěsů 3. lamely

18. Přesun vozíku pro betonáž lamely 4

19. Betonáž lamely 4



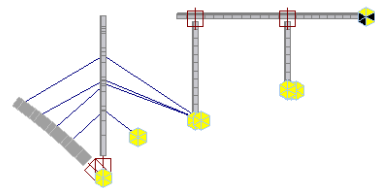
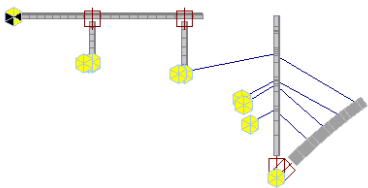
20. Přidání lamely 4 do matice tuhosti



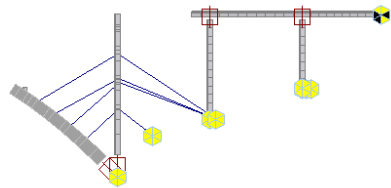
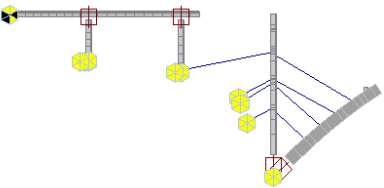
21. Aktivace závěsů 4. lamely

22. Přesun vozíku pro betonáž lamely 5

23. Betonáž lamely 5



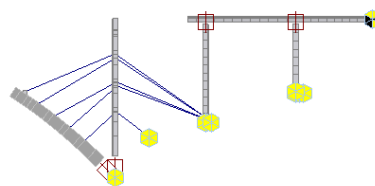
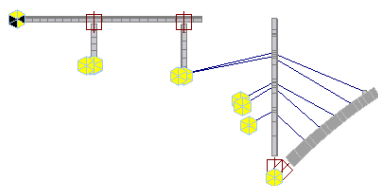
24. Přidání lamely 5 do matice tuhosti



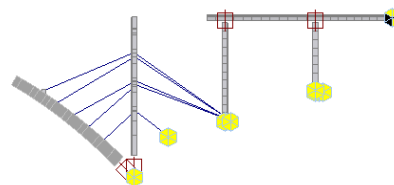
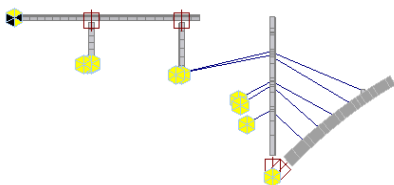
25. Aktivace závěsů 5. lamely

26. Přesun vozíku pro betonáž lamely 6

27. Betonáž lamely 6



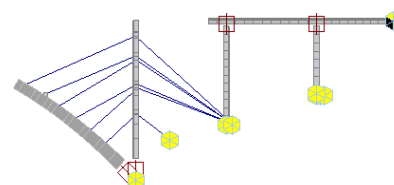
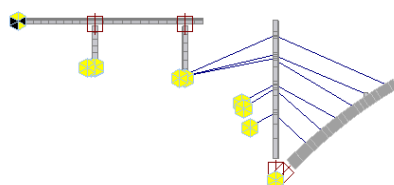
28. Přidání lamely 6 do matice tuhosti



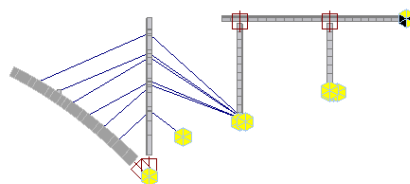
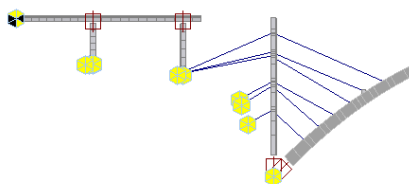
29. Aktivace závěsů 6. lamely

30. Přesun vozíku pro betonáž lamely 7

31. Betonáž lamely 7

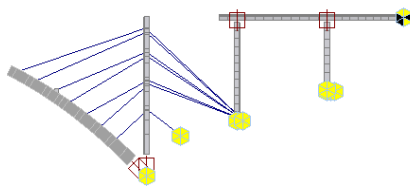
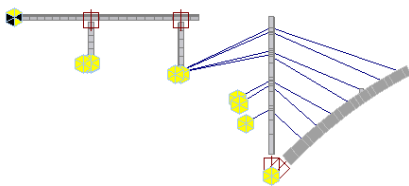


32. Přidání lamely 7 do matice tuhosti



33. Aktivace závěsů 7. lamely

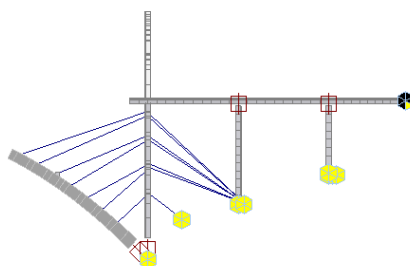
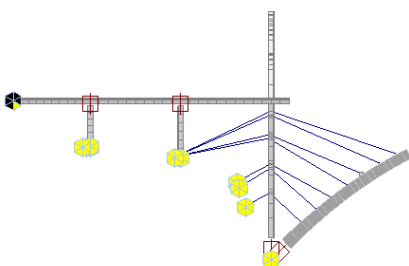
34. Přesun vozíku pro betonáž lamely 8



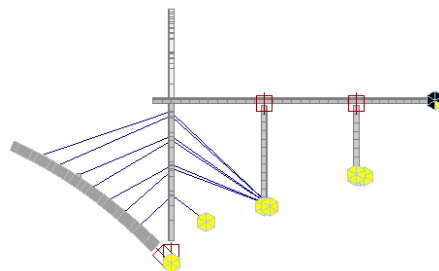
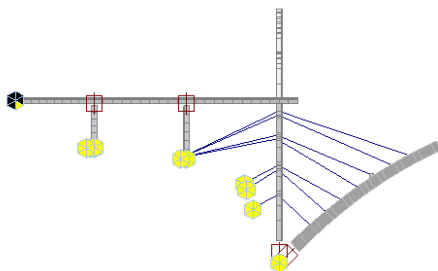
35. Betonáž pole 3 a pole 10

36. Výstavba provizorního pylonu

37. Betonáž lamely 8



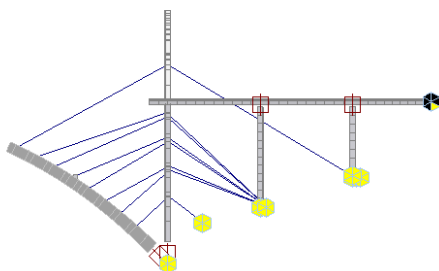
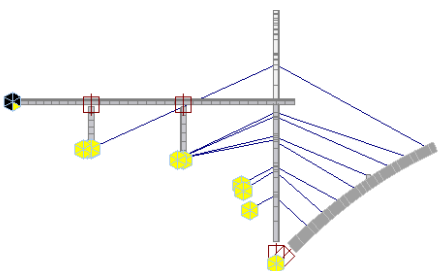
38. Přidání lamely 8 do matice tuhosti



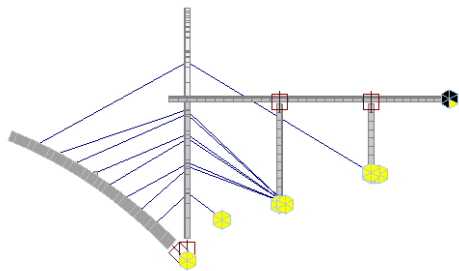
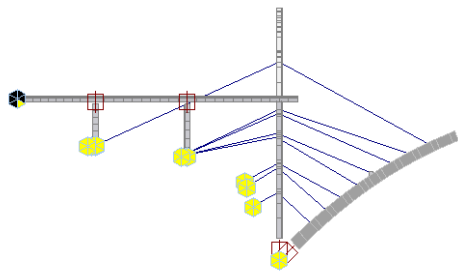
39. Aktivace závěsů 8. lamely

40. Přesun vozíku pro betonáž lamely 9

41. Betonáž lamely 9



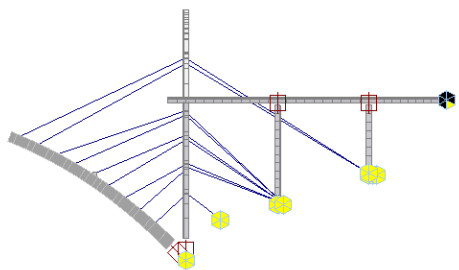
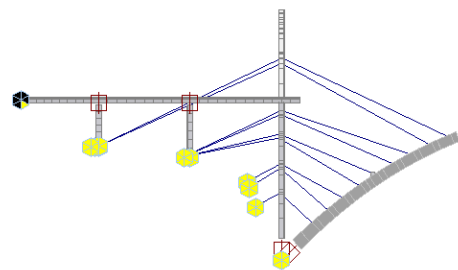
42. Přidání lamely 9 do matice tuhosti



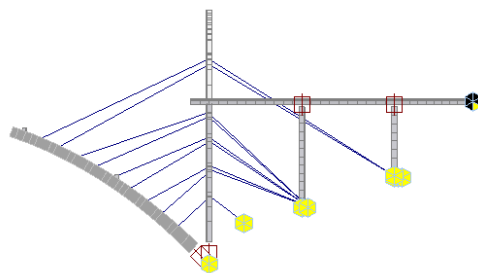
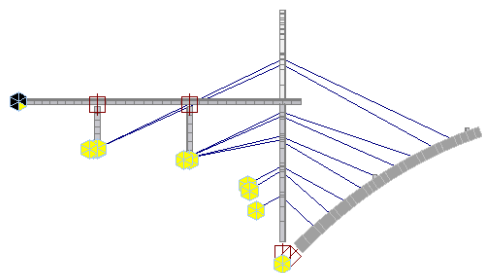
43. Aktivace závěsů 9. lamely

44. Přesun vozíku pro betonáž lamely 10

45. Betonáž lamely 10



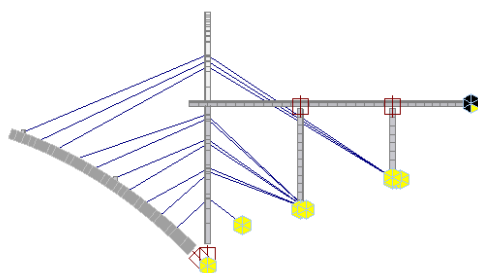
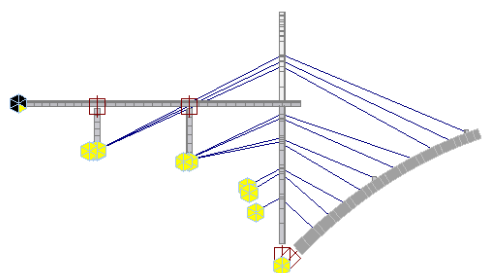
46. Přidání lamely 10 do matice tuhosti



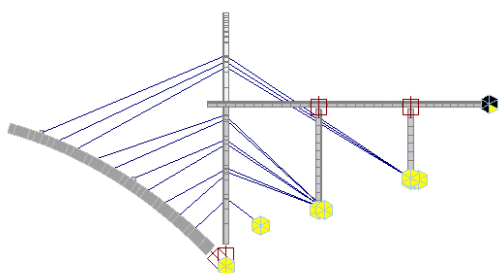
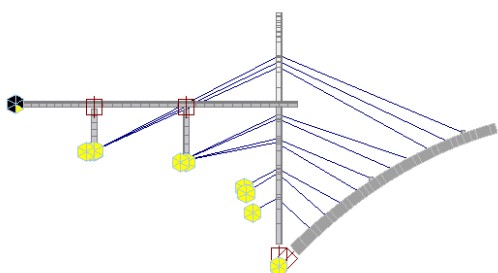
47. Aktivace závěsů 10. lamely

48. Přesun vozíku pro betonáž lamely 11

49. Betonáž lamely 11



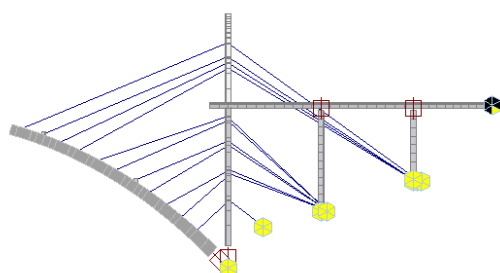
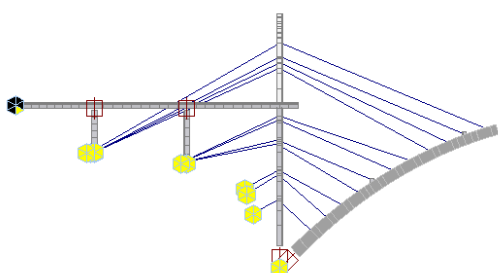
50. Přidání lamely 11 do matice tuhosti



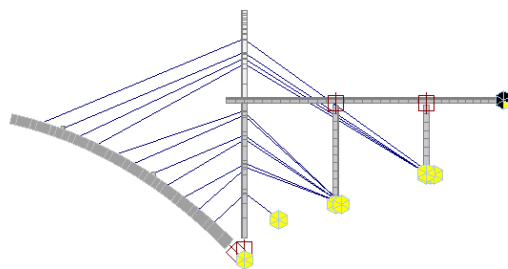
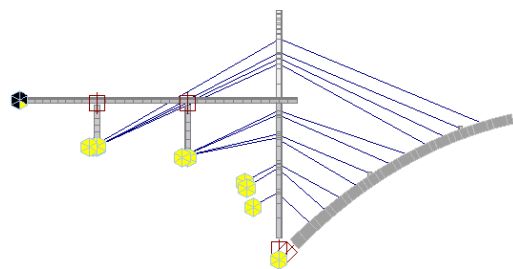
51. Aktivace závěsů 11. lamely

52. Přesun vozíku pro betonáž lamely 12

53. Betonáž lamely 12



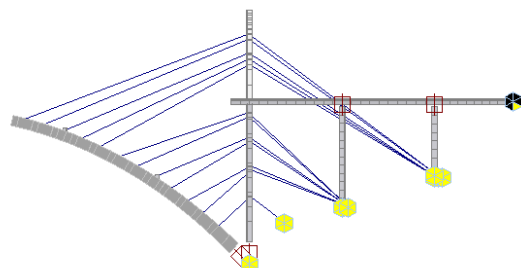
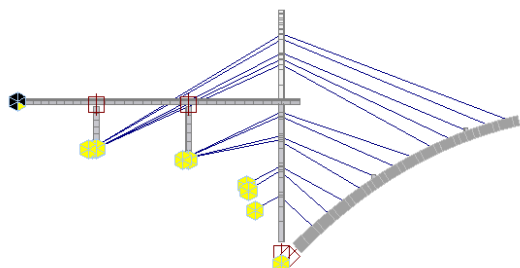
54. Přidání lamely 12 do matice tuhosti



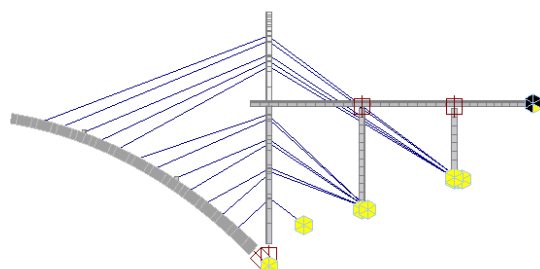
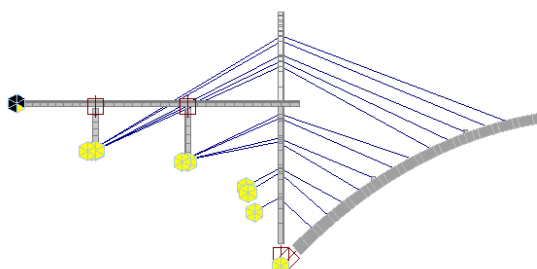
55. Aktivace závěsů 12. lamely

56. Přesun vozíku pro betonáž lamely 13

57. Betonáž lamely 13



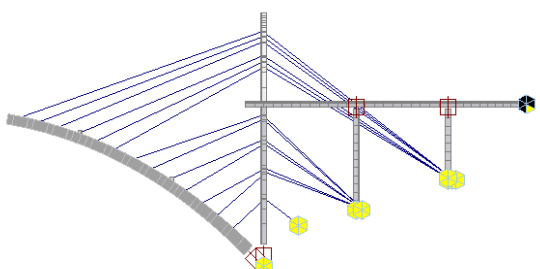
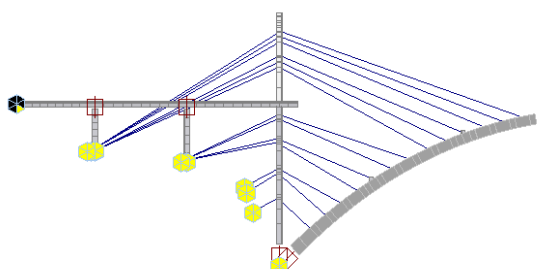
58. Přidání lamely 13 do matice tuhosti



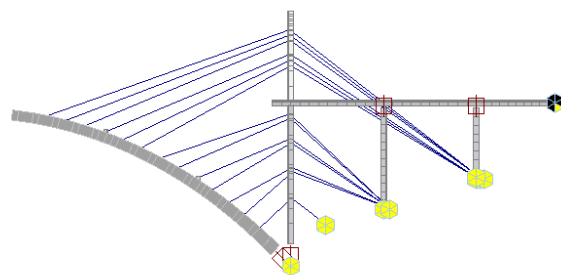
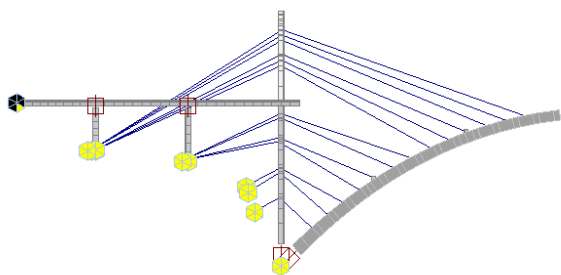
59. Aktivace závěsů 13. lamely

60. Přesun vozíku pro betonáž lamely 14

61. Betonáž lamely 14



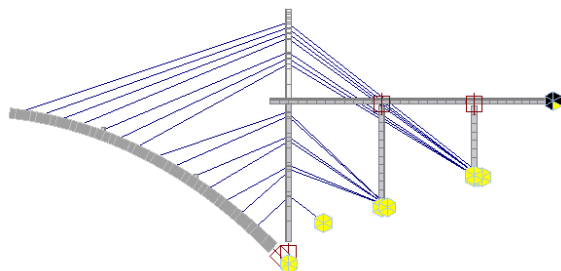
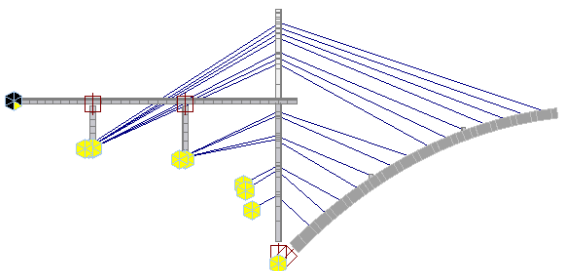
62. Přidání lamely 14 do matice tuhosti



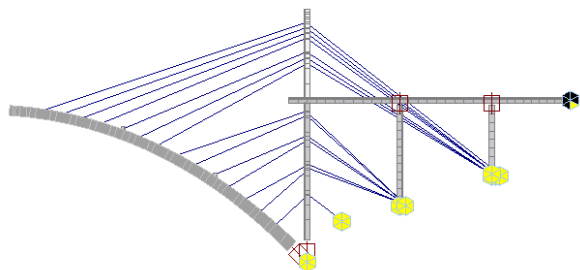
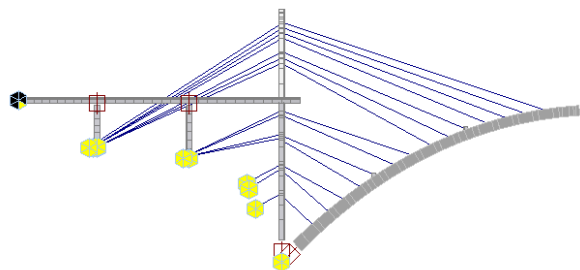
63. Aktivace závěsů 14. lamely

64. Přesun vozíku pro betonáž lamely 15

65. Betonáž lamely 15



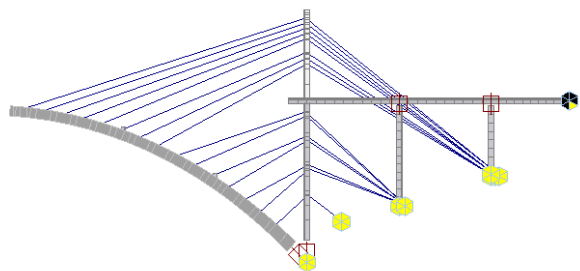
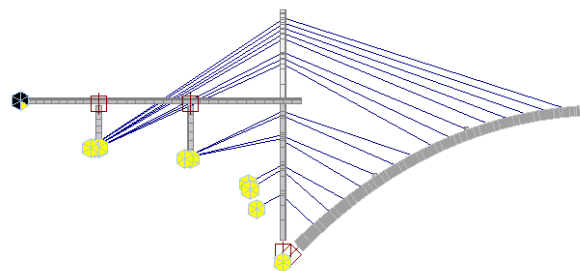
66. Přidání lamely 15 do matice tuhosti



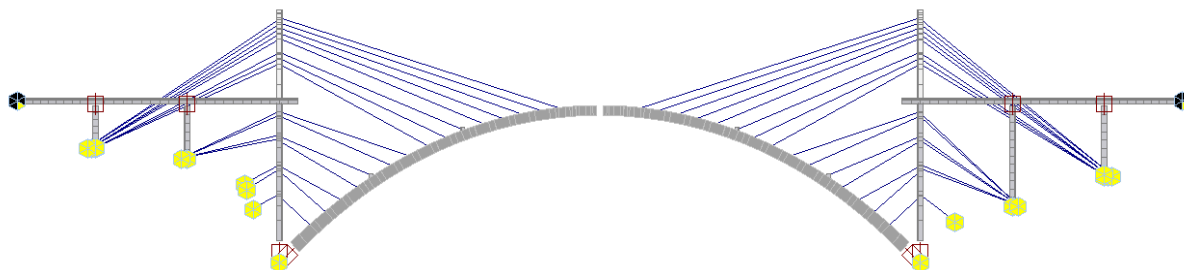
67. Aktivace závěsů 15. lamely

68. Přesun vozíku pro betonáž lamely 16

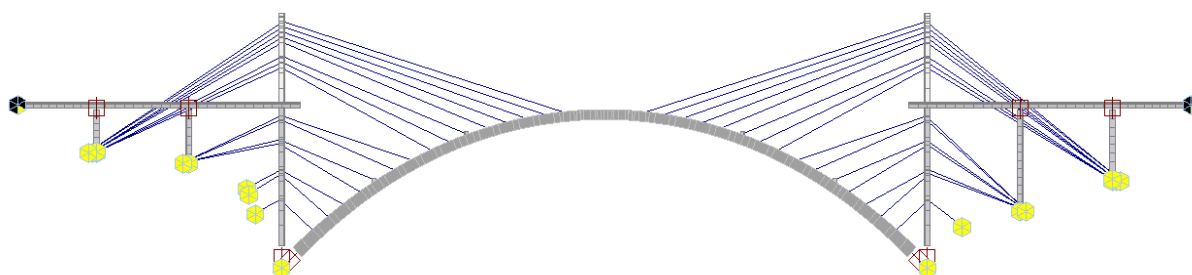
69. Betonáž lamely 16



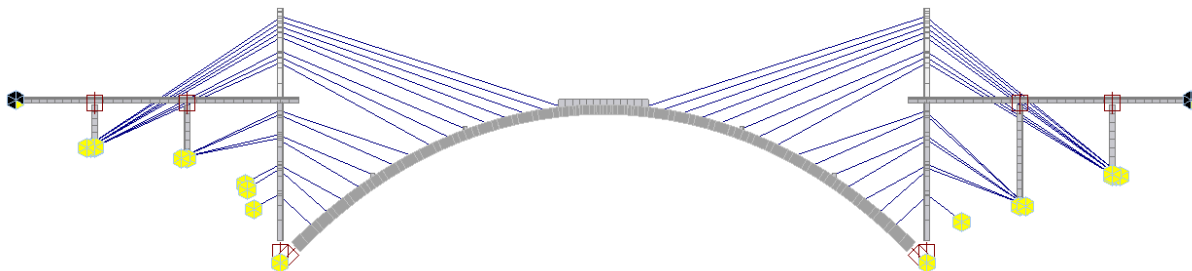
- 70. Přidání lamely 16 do matice tuhosti
- 71. Aktivace závěsů 16. lamely – prázdné
- 72. Přesun vozíku pro betonáž lamely 17
- 73. Rozepření mezi koncovými lamelami
- 74. Betonáž spojení oblouku



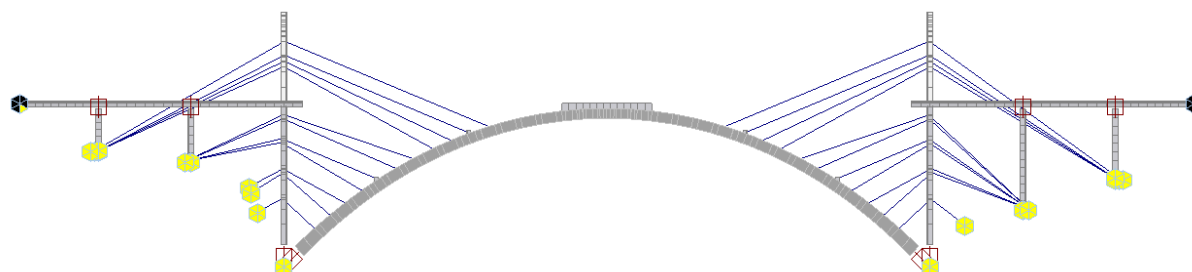
- 75. Zmonolitnění oblouku do matice tuhosti



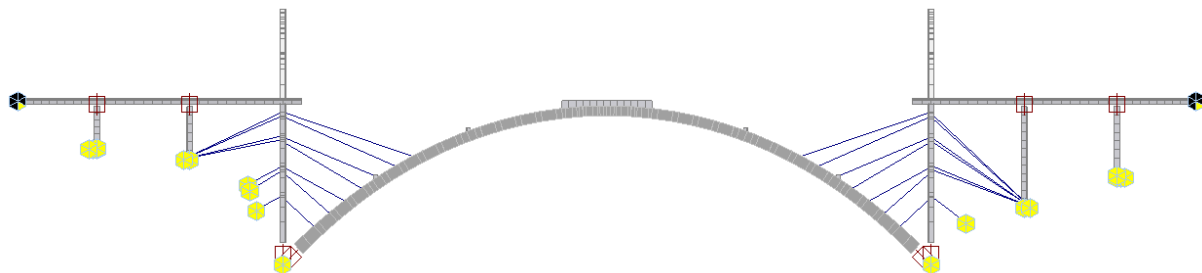
- 76. Betonáž spojovacích krčků nad korunou oblouku



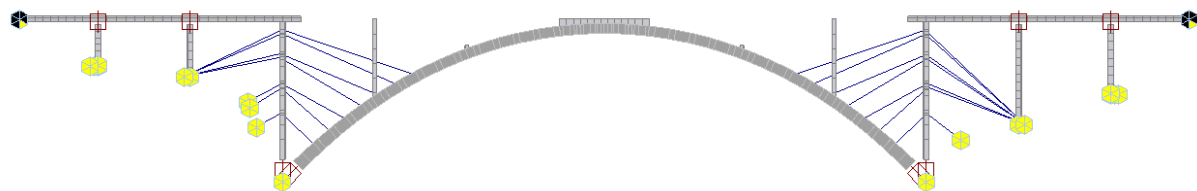
- 77. Odstranění skupiny závěsů lamely 16 - prázdné
- 78. Odstranění skupiny závěsů lamely 15
- 79. Odstranění skupiny závěsů lamely 14
- 80. Odstranění skupiny závěsů lamely 13
- 81. Odstranění skupiny závěsů lamely 12



- 82. Odstranění skupiny závěsů lamely 11
- 83. Odstranění skupiny závěsů lamely 10
- 84. Odstranění skupiny závěsů lamely 9
- 85. Odstranění skupiny závěsů lamely 8



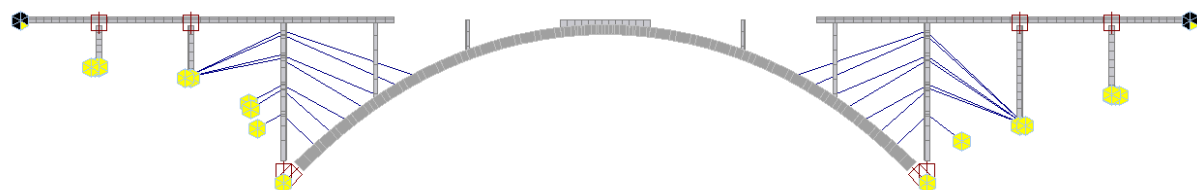
- 86. Zhotovení pilíře nad obloukem (P4, P8)



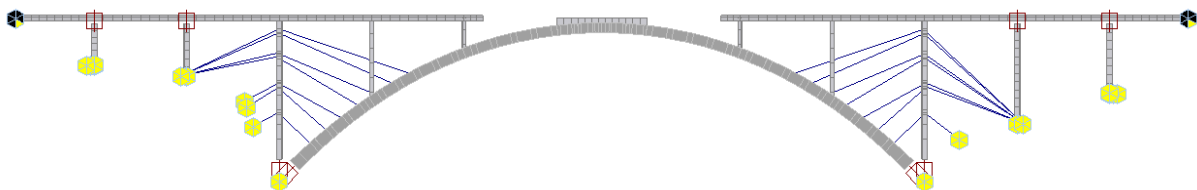
- 87. Zhotovení pilíře nad obloukem (P5, P9)



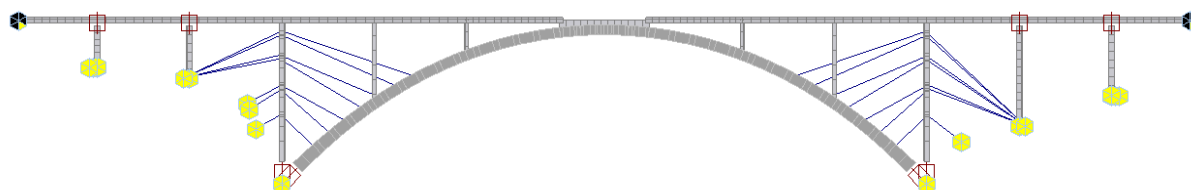
- 88. Posun skruže pro betonáž pole 4
- 89. Posun skruže pro betonáž pole 9
- 90. Betonáž pole 4
- 91. Betonáž pole 9
- 92. Předepnutí, přidání polí do matice tuhosti



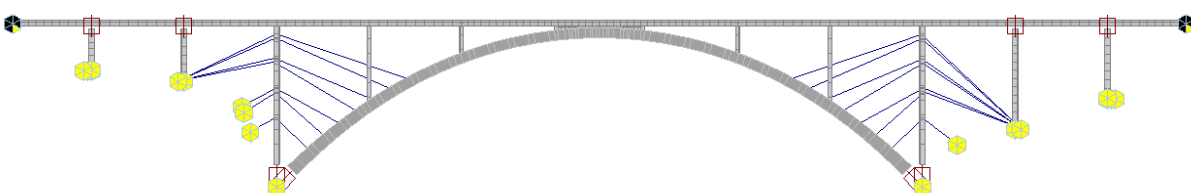
- 93. Posun skruže pro betonáž pole 5
- 94. Posun skruže pro betonáž pole 8
- 95. Betonáž pole 5
- 96. Betonáž pole 8
- 97. Předepnutí, přidání polí do matice tuhosti



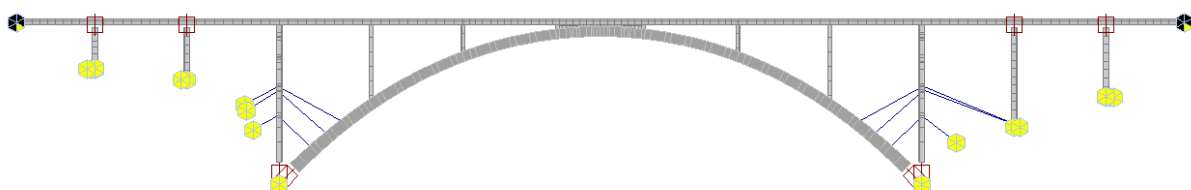
- 98. Posun skruže pro betonáž pole 6
- 99. Posun skruže pro betonáž pole 7
- 100. Betonáž pole 6
- 101. Betonáž pole 7
- 102. Předepnutí, přidání polí do matice tuhosti



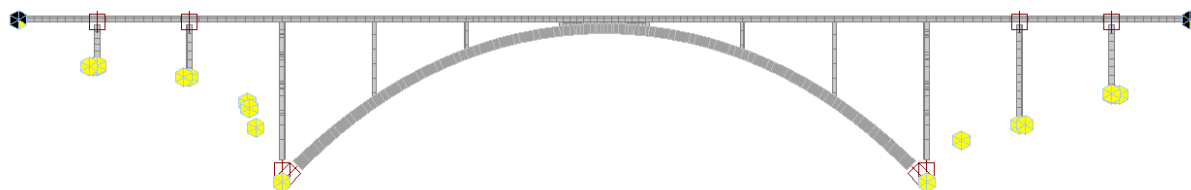
- 103. Odstranění skruže z pole 7
- 104. Posun skruže nad korunu oblouku
- 105. Betonáž pole nad korunou oblouku
- 106. Přidání pole do matice tuhosti



- 107. Odstranění skruže z koruny oblouku
- 108. Odstranění skupiny závěsů lamely 7,6,5,4



- 109. Odstranění skupiny závěsů lamely 3,2,1



- 110. Zhotovení říms a vybavení
- 111. Zhotovení štěrkového lože a svršku
- 112. Uvedení do provozu
- 113. Provoz
- 114. Konec životnosti

5 Mostovka

5.1 Posouzení nosné konstrukce v podélném směru

S ohledem na rozsah výpočetních dat byly pro podrobné posouzení v rámci tohoto dokumentu zvoleny reprezentativní části konstrukce:

- oblast nad podporou s maximálním nadpodporovým ohybovým momentem M_y
 - oblast nad podporou s maximální posouvající silou V_z (příslušná oblast)
- oblast v poli s maximálním ohybovým momentem M_y
 - oblast v poli s maximálním ohybovým momentem M_z (příslušná oblast)
- oblast nad podporou s maximálním nadpodporovým ohybovým momentem M_z
 - oblast nad podporou s maximální posouvající silou V_y (příslušná oblast)

5.1.1 Schéma vedení kabelů

Do nosné konstrukce je navrženo celkem 8 ks 15-ti lanových kabelů Y1860-15,7-A. Vedení kabelů je definováno kružnicemi. Kabely jsou napínány pouze z jedné strany, vždy z konce pracovního taktu. V krajních polích jsou napnuty 2 kabely, následně v každém dalším poli jsou napnuty 2 kabely průběžné přes dvě pole (n-1, n). Poslední předpjatá pole uprostřed mostu jsou kromě dvou spojitých kabelů dopnuty 2 kabely pro tato pole). Podrobná geometrie kabelů viz příslušná výkresová část.

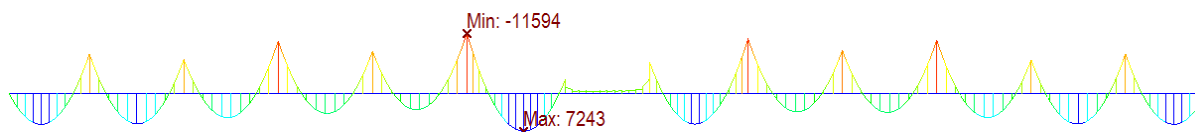
Polygon kabelu je pro účely statického výpočtu tabelizován. Zde jsou uvedeny pouze kabely pro pole délky 42,0 m (pro samotné pole a spojitý přes dvě pole). Počátek kabelu je uvažován v pracovní spáře ve vzdálenosti $L/5$ od osy uložení. Ostatní kabely jsou upraveny s ohledem na délku pole. Svislá pořadnice je uvažována od horního povrchu NK.

GEOMETRIE KABELU PŘEDPĚTÍ - 1. pole					GEOMETRIE KABELU PŘEDPĚTÍ - 6. pole				
# lomu polygonu	X [m]	Y [m]	Z [m]	R [m]	# lomu polygonu	X [m]	Y [m]	Z [m]	R [m]
1	0.000	1.550	-0.513	0.000	1	0.000	1.550	-0.893	0.000
2	6.750	1.550	-1.224	50.000	2	2.175	1.550	-1.274	10.000
3	12.250	1.550	-1.224	50.000	3	11.925	1.550	-1.274	50.000
4	19.000	1.550	-0.450	10.000	4	19.800	1.550	-0.359	0.000
5	21.000	1.550	-0.450	10.000					
7	24.700	1.550	-0.893	0.000					
GEOMETRIE KABELU PŘEDPĚTÍ - 1.+2. pole					GEOMETRIE KABELU PŘEDPĚTÍ - 2xpole dl. 23.5 m				
# lomu polygonu	X [m]	Y [m]	Z [m]	R [m]	# lomu polygonu	X [m]	Y [m]	Z [m]	R [m]
1	0.000	1.550	-0.513	0.000	1	0.000	1.550	-0.893	0.000
2	6.750	1.550	-1.224	50.000	2	3.175	1.550	-1.274	10.000
3	12.250	1.550	-1.224	50.000	3	10.925	1.550	-1.274	50.000
4	19.000	1.550	-0.450	10.000	4	17.800	1.550	-0.450	10.000
5	21.000	1.550	-0.450	10.000	5	19.800	1.550	-0.450	10.000
6	27.875	1.550	-1.274	50.000	6	26.675	1.550	-1.274	50.000
7	35.625	1.550	-1.274	50.000	7	34.425	1.550	-1.274	50.000
8	42.500	1.550	-0.450	10.000	8	41.300	1.550	-0.450	10.000
9	44.500	1.550	-0.450	10.000	9	43.300	1.550	-0.450	10.000
10	48.200	1.550	-0.893	0.000	10	47.000	1.550	-0.893	0.000
GEOMETRIE KABELU PŘEDPĚTÍ - 5.+6. pole									
# lomu polygonu	X [m]	Y [m]	Z [m]	R [m]					
1	0.000	1.550	-0.893	0.000					
2	3.175	1.550	-1.274	10.000					
3	10.925	1.550	-1.274	50.000					
4	17.800	1.550	-0.450	10.000					
5	19.800	1.550	-0.450	10.000					
6	26.675	1.550	-1.274	50.000					
7	35.425	1.550	-1.274	50.000					
8	43.300	1.550	-0.359	0.000					

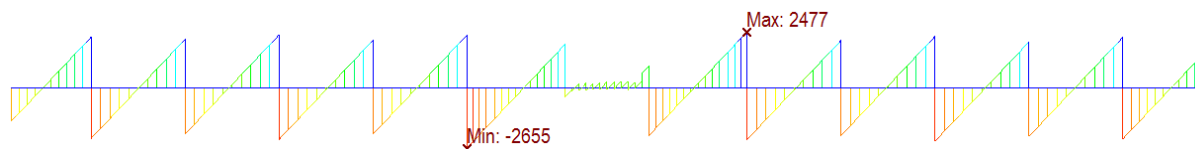
5.1.2 Vnitřní síly

Vnitřní síly jsou uvedeny pro náhradní prut v ose uložení nosné konstrukce. Reologie je řešena programem MIDAS Civil automaticky.

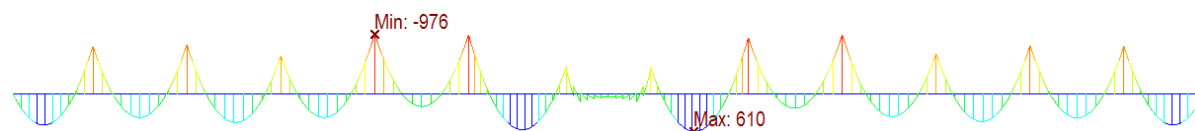
Vlastní tíha – G0 – M_y [kNm]



Vlastní tíha – G0 – V_z [kN]



Ostatní stáje (střední hodnota) – G1 – M_y [kNm]



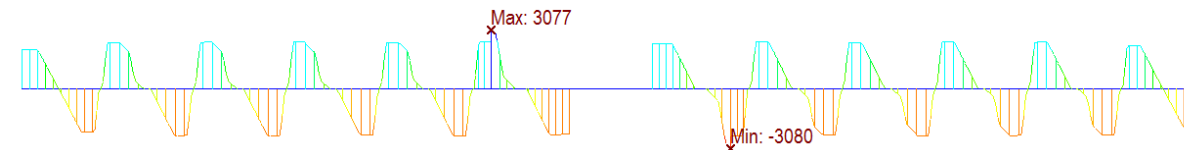
Ostatní stáje (střední hodnota) – G1 – V_z [kN]



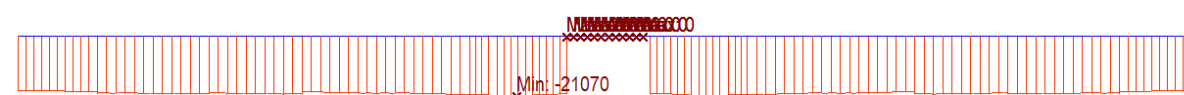
Předpětí – primární účinek (t = 36 500) – P – M_y [kNm]



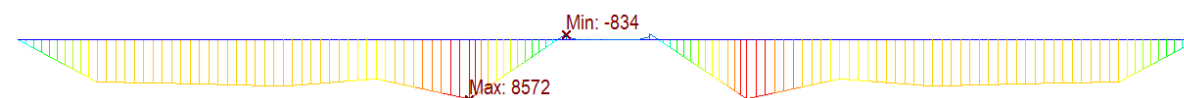
Předpětí – primární účinek (t = 36 500) – P – V_z [kN]



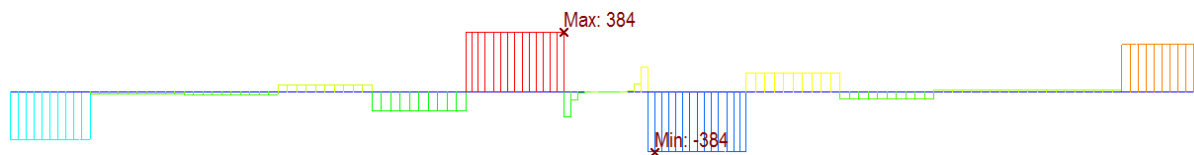
Předpětí – primární účinek (t = 36 500) – P – N_x [kN]



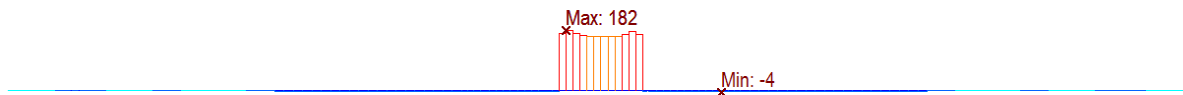
Předpětí – sekundární účinek (t = 36 500) – P – M_y [kNm]



Předpětí – sekundární účinek ($t = 36\,500$) – $P - V_z$ [kN]



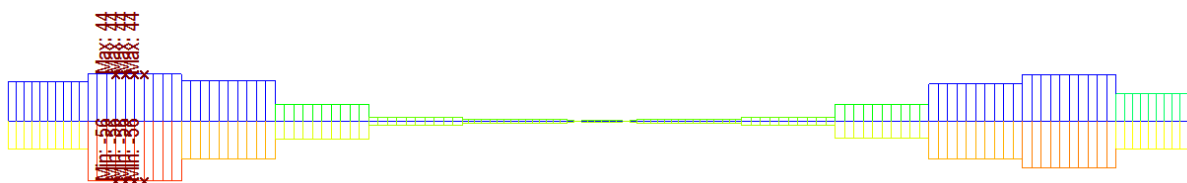
Předpětí – sekundární účinek ($t = 36\,500$) – $P - N_x$ [kN]



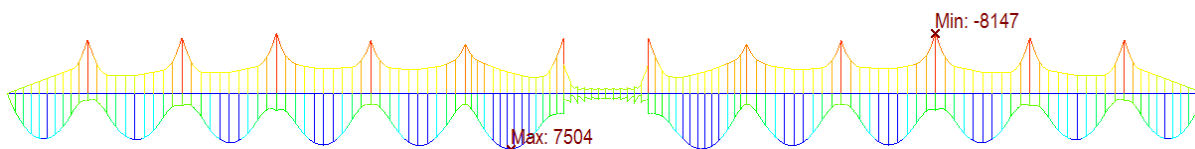
Nerovnoměrné sedání (obálka) – $S - M_y$ [kNm]



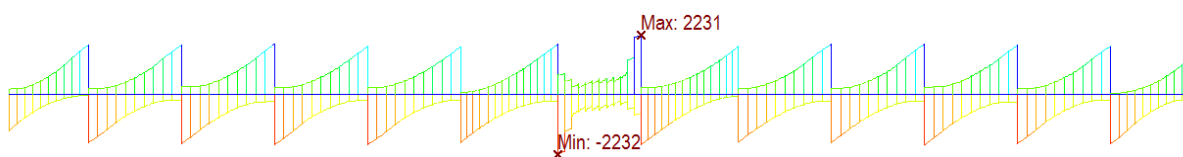
Nerovnoměrné sedání (obálka) – $S - V_z$ [kN]



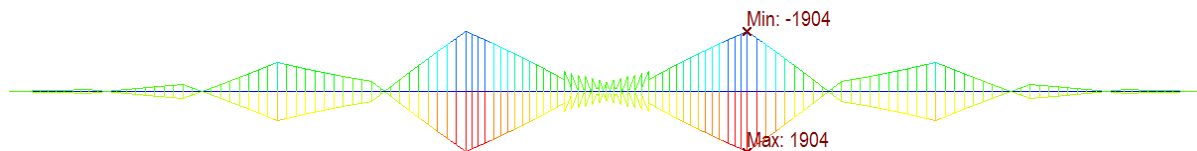
Svislé dopravní zatížení (obálka char. LM71 / SW/0) – $MVL - M_y$ [kNm]



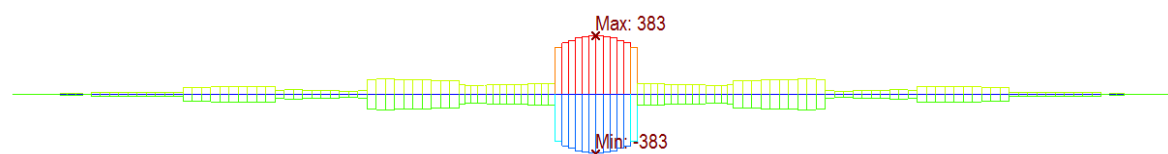
Svislé dopravní zatížení (obálka LM71 / SW/0) – $MVL - V_z$ [kN]



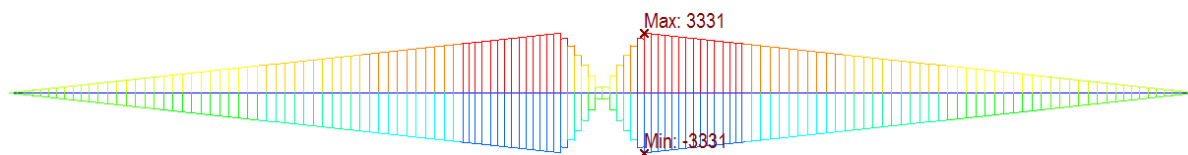
Vodorovné dopravní zatížení (brzděné síly) – $BRK - M_y$ [kNm]



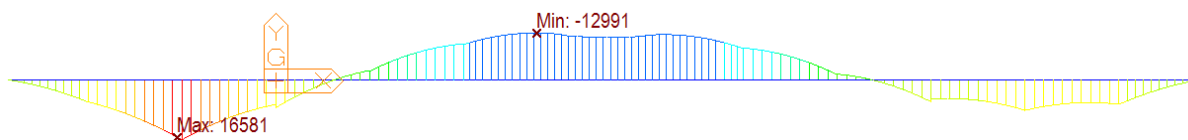
Vodorovné dopravní zatížení (brzděné síly) – $BRK - V_z$ [kN]



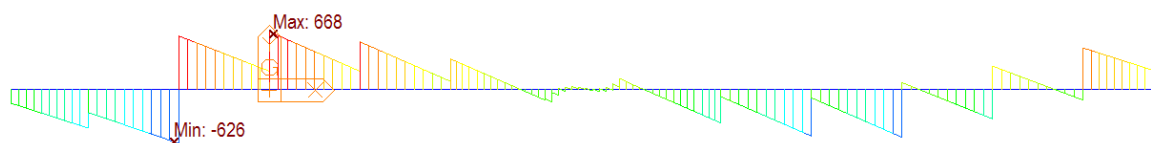
Vodorovné dopravní zatížení (brzdné síly) – BRK - N_x [kN]



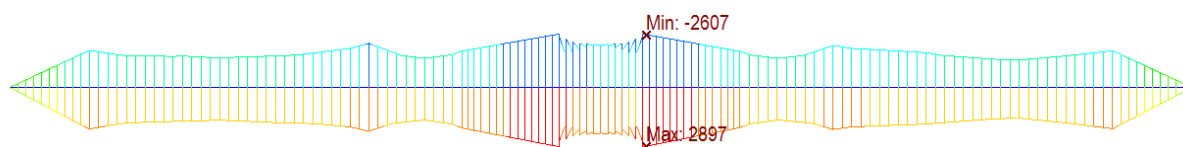
Vítr – W – M_z [kNm]



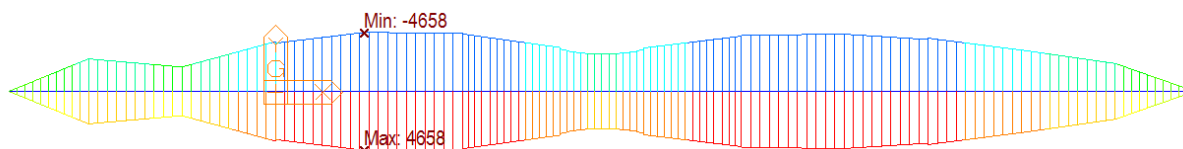
Vítr – W – V_y [kN]



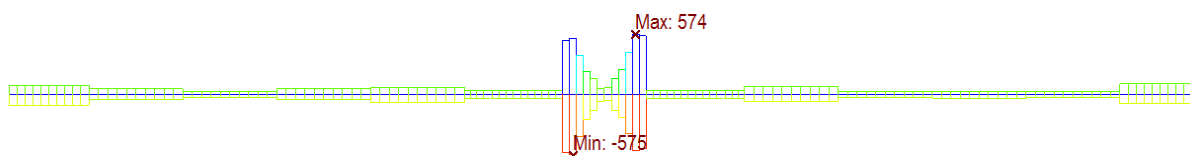
Rovnoměrná teplota včetně účinků lineárních spádů teploty – T – M_y [kNm]



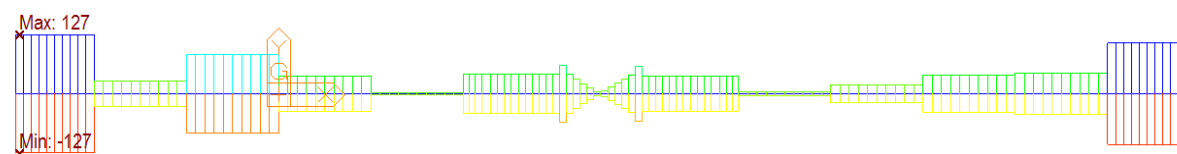
Rovnoměrná teplota včetně účinků lineárních spádů teploty – T – M_z [kNm]



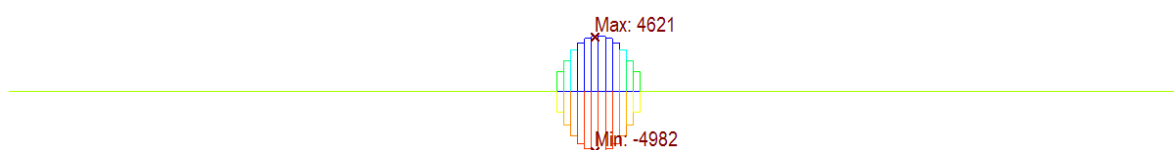
Rovnoměrná teplota včetně účinků lineárních spádů teploty – T – V_z [kN]



Rovnoměrná teplota včetně účinků lineárních spádů teploty – T – V_y [kN]



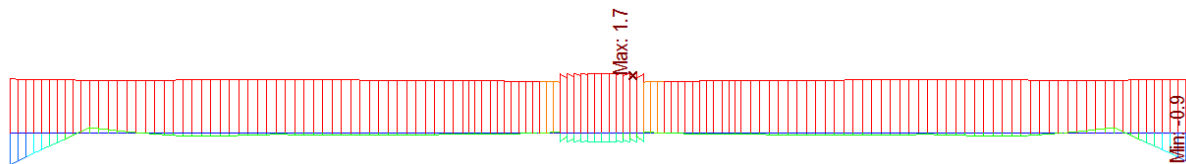
Rovnoměrná teplota včetně účinků lineárních spádů teploty – T – N_x [kN]



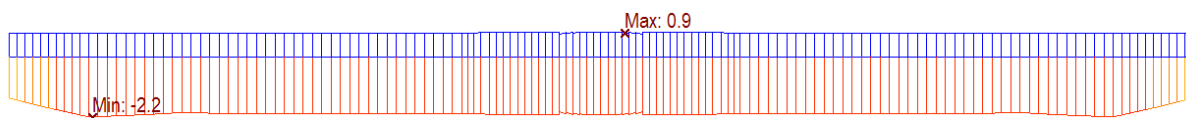
Nerovnoměrná teplota – T

Účinky nerovnoměrné teploty jsou uvedeny v napětích s ohledem na nutnost zohlednit primární i sekundární účinky tohoto typu zatížení. Pro posouzení mezních stavů použitelnosti budou zohledněna hranová napětí.

Teplota (obálka) – T – (dolní vlákna) [MPa]



Teplota (obálka) – T – (horní vlákna) [MPa]



5.1.3 Mezní stav použitelnosti – omezení napětí

S ohledem na ČSN EN 1992-1-1 a ČSN EN 1992-2 je nutno uvažovat omezení napětí v materiálech:

- | | | |
|----------------------------|--|----------------------------|
| - betonu v tlaku | $\sigma_{cc} = k_1 \cdot f_{ck}(t) = 0,6 f_{ck}(t)$ | charakteristická kombinace |
| | $\sigma_{cc} = k_2 \cdot f_{ck}(t) = 0,45 f_{ck}(t)$ | kvazistálá kombinace |
| - betonářská výztuž v tahu | $\sigma_s = k_3 \cdot f_{yk} = 0,8 f_{yk}$ | charakteristická kombinace |
| - předpínací výztuž | $\sigma_p = k_5 \cdot f_{pk} = 0,75 f_{pk}$ | charakteristická kombinace |

V případě posouzení betonu je navíc nutno zohlednit vliv raného stáří betonu do 28 dnů. S ohledem na tyto požadavky je možné stanovit kritické časy a průřezy, které je nutno posoudit na omezení napětí.

Pro posuzovanou nosnou konstrukci byly vybrány následující průřezy a časy posouzení:

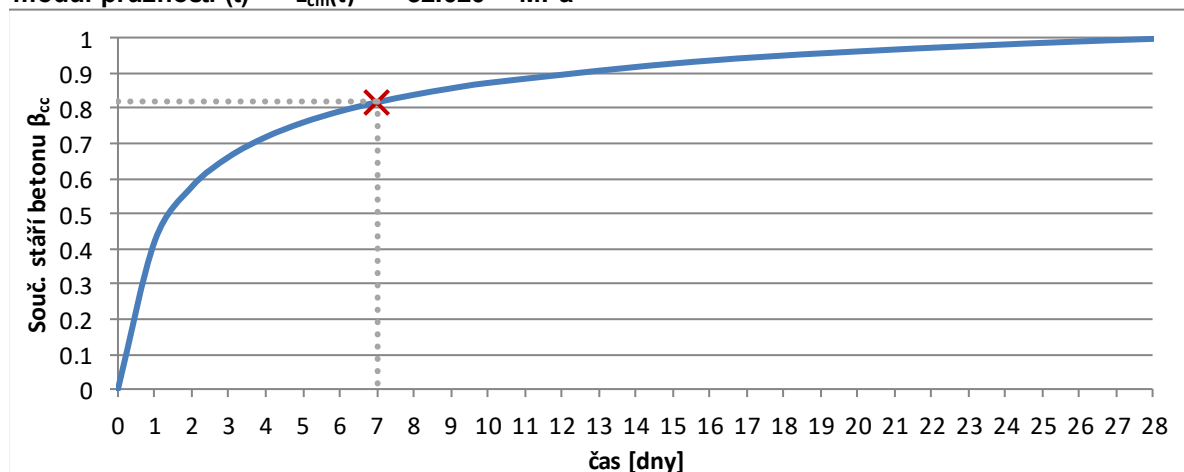
- V čase předepnutí konstrukce
 - ověření lineárního dotvarování - předpoklad působení pouze vlastní tíhy betonu a maximální předpínací síly současně s nízkou tlakovou pevností betonu při předpínání (t=7 dní).
- V čase uvedení do provozu
 - ověření dekomprese a omezení napětí pro kvazistálou kombinaci
 - ověření šířky trhliny pro častou kombinaci
 - ověření omezení napětí pro charakteristickou kombinaci
- Na konci životnosti
 - ověření dekomprese a omezení napětí pro kvazistálou kombinaci
 - ověření šířky trhliny pro častou kombinaci
 - ověření omezení napětí pro charakteristickou kombinaci

5.1.3.1 Časový vývoj materiálových vlastností betonu

Materiálové vlastnosti byly stanoveny pro časy dle jednotlivých fází výstavby. Fáze posuzované za provozu jsou předpokládány s časem $t > 28$ dní a je pro ně možné využít normové charakteristiky.

Základní informace o materiálu					
beton:	C35/45	druh cementu:	CEM 42.5 R, CEM 52.5 N, CEM 52.5 R (třída R)		
válcová pevnost:	f_{ck}	35.00	MPa	krychelná pevnost:	$f_{ck,cube}$ 45.00 MPa
průměrná válcová p.:	f_{cm}	43.00	MPa	průměrná tah. p.:	f_{ctm} 3.20 MPa
5% kvantil tah. p.:	$f_{ctk,0,05}$	2.20	MPa	95% kvantil tah. p.:	$f_{ctk,0,95}$ 4.20 MPa
modul pružnosti:	E_{cm}	34.00	GPa	exponent:	n 2.00 -
mezní přetvoření:	ϵ_{cu1}	3.50	$\cdot 10^{-3}$	přetvoření při f_{ck}	ϵ_{c1} 2.20 $\cdot 10^{-3}$
mezní přetvoření:	ϵ_{cu2}	3.50	$\cdot 10^{-3}$	přetvoření při f_{ck}	ϵ_{c2} 2.00 $\cdot 10^{-3}$
mezní přetvoření:	ϵ_{cu3}	3.50	$\cdot 10^{-3}$	přetvoření při f_{ck}	ϵ_{c3} 1.75 $\cdot 10^{-3}$

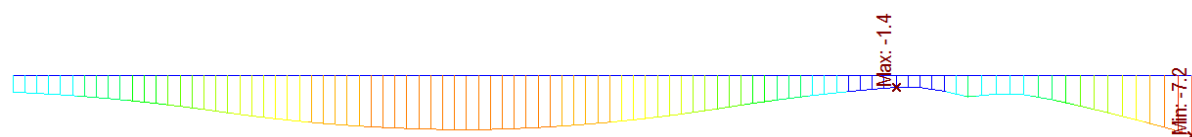
Vývoj pevnosti v čase					
řešený čas:	t	7.00	[dny]	koeficient druhu cem.:	s 0.20 -
souč. stáří betonu:	$\beta_{cc}(t)$	0.819	-	prům. pevnost v čase t :	$f_{cm}(t)$ 35.205 MPa
tah. pevnost v čase t	$f_{ctk,0,05}$	1.834	MPa	válc. pevnost v čase t	$f_{ck}(t)$ 27.205 MPa
modul pružnosti (t)	$E_{cm}(t)$	32.020	MPa		



5.1.3.2 Ověření stanovených požadavků na omezení napětí – lineární dotvarování

Výsledky ověření lineárního dotvarování v čase předepnutí konstrukce bude s ohledem symetričností konstrukce uvedeno pouze pro polovinu mostovky.

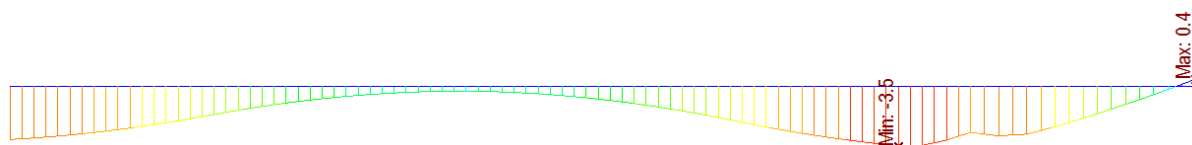
1. pole po předepnutí ($t=7$ dní) – dolní vlákna



$$\sigma_{cc} = -7,2 < 0,45 \cdot 27,21 = 12,24$$

$$\sigma_{ct} = -1,4 < f_{ctk,0,05} = 1,83$$

– horní vlákna

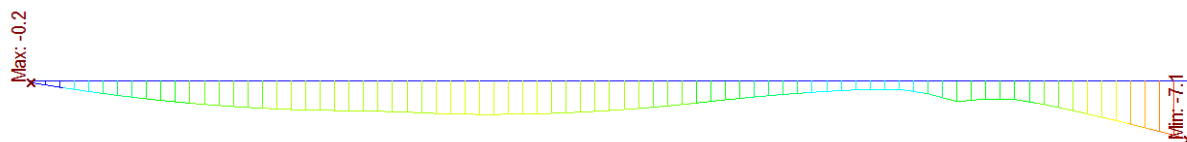


$$\sigma_{cc} = -3,5 < 0,45 \cdot 27,21 = 12,24$$

$$\sigma_{ct} = 0,4 < f_{ctk,0,05} = 1,83$$

Vyhovuje

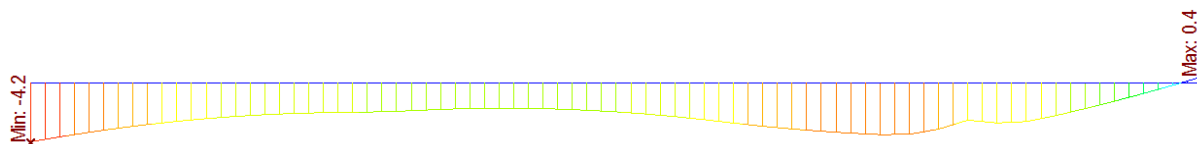
2. pole po předeptnutí (t=7dní) – dolní vlákna



$$\sigma_{cc} = -7,1 < 0,45 \cdot 27,21 = 12,24$$

$$\sigma_{ct} = -0,2 < f_{ctk,0,05} = 1,83$$

– horní vlákna

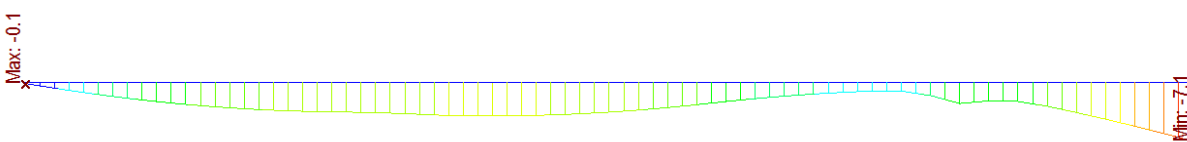


$$\sigma_{cc} = -4,2 < 0,45 \cdot 27,21 = 12,24$$

$$\sigma_{ct} = 0,4 < f_{ctk,0,05} = 1,83$$

Vyhovuje

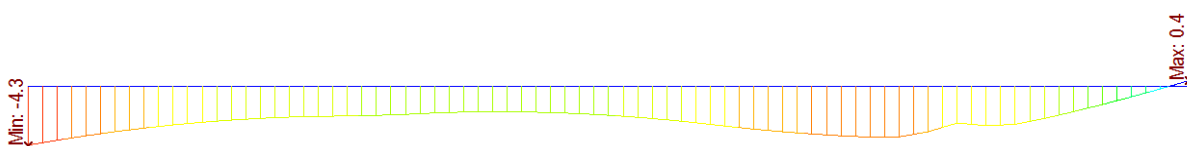
3. pole po předeptnutí (t=7dní) – dolní vlákna



$$\sigma_{cc} = -7,1 < 0,45 \cdot 27,21 = 12,24$$

$$\sigma_{ct} = -0,1 < f_{ctk,0,05} = 1,83$$

– horní vlákna

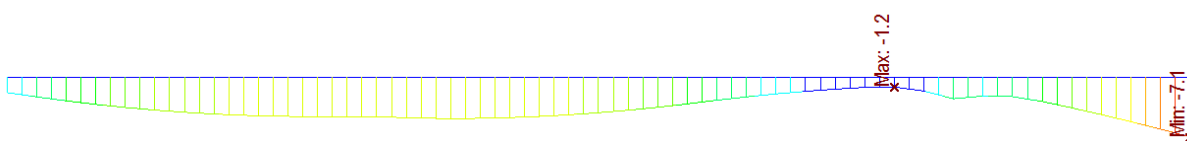


$$\sigma_{cc} = -4,3 < 0,45 \cdot 27,21 = 12,24$$

$$\sigma_{ct} = 0,4 < f_{ctk,0,05} = 1,83$$

Vyhovuje

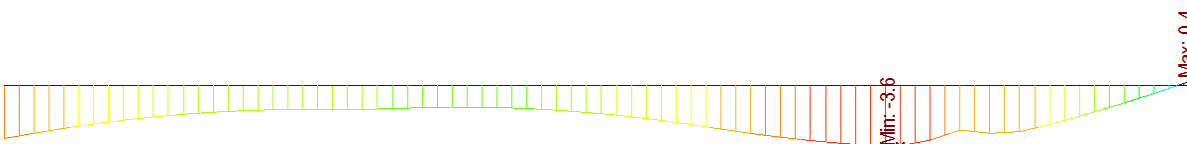
4. a 5. pole po předeptnutí (t=7dní) – dolní vlákna



$$\sigma_{cc} = -7,1 < 0,45 \cdot 27,21 = 12,24$$

$$\sigma_{ct} = -1,2 < f_{ctk,0,05} = 1,83$$

– horní vlákna

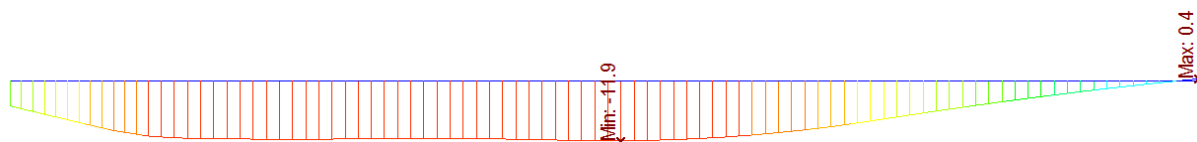


$$\sigma_{cc} = -3,6 < 0,45 \cdot 27,21 = 12,24$$

$$\sigma_{ct} = 0,4 < f_{ctk,0,05} = 1,83$$

Vyhovuje

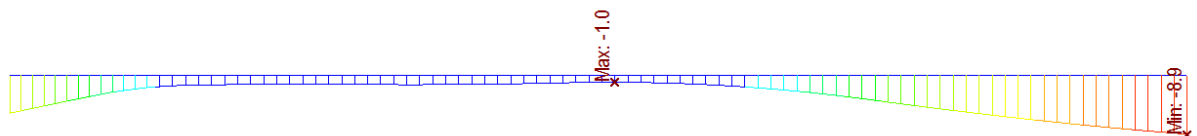
6. pole po předepnutí (t=7dní) – dolní vlákna



$$\sigma_{cc} = -11,9 < 0,45 \cdot 27,21 = 12,24$$

$$\sigma_{ct} = 0,4 < f_{ctk,0,05} = 1,83$$

– horní vlákna



$$\sigma_{cc} = -8,9 < 0,45 \cdot 27,21 = 12,24$$

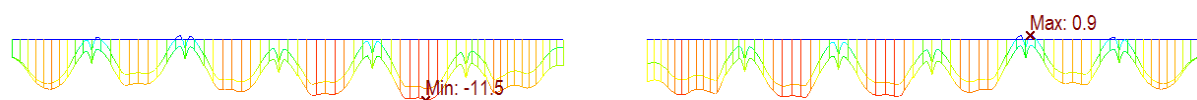
$$\sigma_{ct} = -1,0 < f_{ctk,0,05} = 1,83$$

Vyhovuje

Požadavek na omezení napětí pro možnost uvažování lineárního dotvarování je splněn. V žádném řezu nosné konstrukce nedochází k překročení mezního tlakového napětí. Tahová napětí nepřevyšují v čase vypočtený 5% kvantil tahové pevnosti a je možné předpokládat, že v rámci fázovaného předpínání nebudou vznikat trhliny.

5.1.3.3 Ověření stanovených požadavků na omezení napětí – uvedení do provozu

V čase uvedení do provozu (kvazi) – dolní vlákna



$$\sigma_{cc} = -11,5 < 0,45 \cdot 35,0 = 15,75$$

$$\sigma_{ct} = 0,9 < 0$$

– horní vlákna

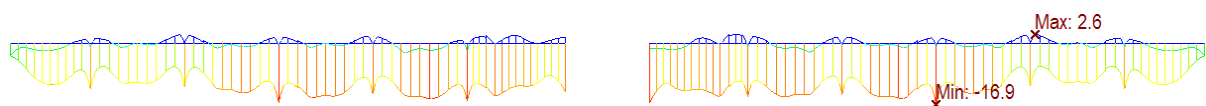


$$\sigma_{cc} = -8,8 < 0,45 \cdot 35,0 = 15,75$$

$$\sigma_{ct} = -0,5 < 0$$

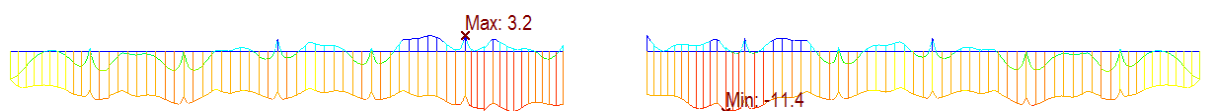
Vyhovuje

V čase uvedení do provozu (častá) – dolní vlákna



$$\sigma_{ct} = 2,6 < 3,2$$

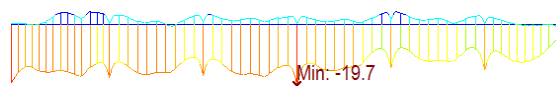
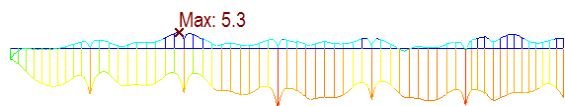
– horní vlákna



$$\sigma_{ct} = 3,2 < 3,2$$

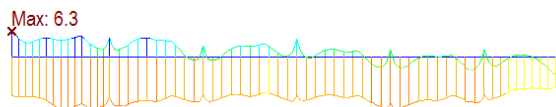
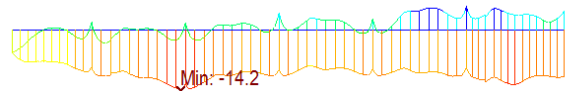
Vyhovuje

V čase uvedení do provozu (char) – dolní vlákna



$$\sigma_{cc} = -19,7 < 0,60 \cdot 35,0 = 21,0$$

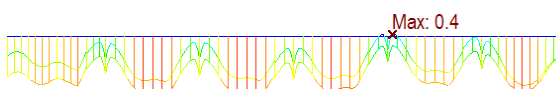
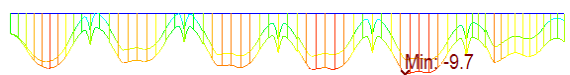
– horní vlákna



$$\sigma_{cc} = -14,6 < 0,60 \cdot 35,0 = 21,0$$

Vyhovuje

Na konci životnosti (kvazi) – dolní vlákna

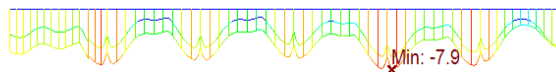
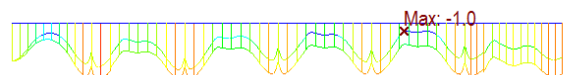


$$\sigma_{cc} = -9,7 < 0,45 \cdot 35,0 = 15,75$$

$$\sigma_{ct} = 0,4 < 0$$

Tahy budou sníženy bet. výztuží

– horní vlákna

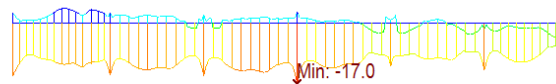
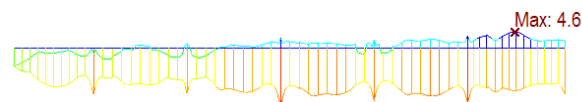


$$\sigma_{cc} = -7,9 < 0,45 \cdot 35,0 = 15,75$$

$$\sigma_{ct} = -1,0 < 0$$

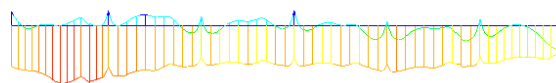
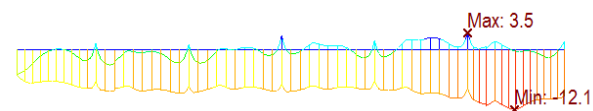
Vyhovuje

Na konci životnosti (častá) – dolní vlákna



$$\sigma_{ct} = 4,6 < 3,2$$

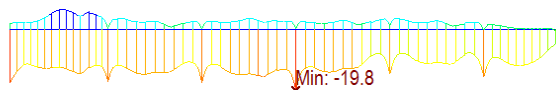
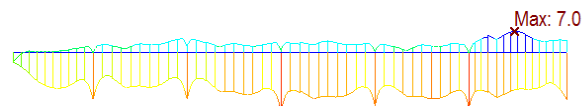
– horní vlákna



$$\sigma_{ct} = 3,5 < 3,2$$

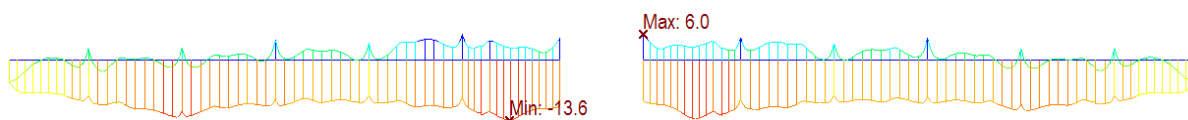
Vznikají trhliny, nutno ověřit šířku

Na konci životnosti (char) – dolní vlákna



$$\sigma_{cc} = -19,8 < 0,60 \cdot 35,0 = 21,0$$

– horní vlákna



$$\sigma_{cc} = -13,6 < 0,60 \cdot 35,0 = 21,0$$

Vyhovuje

Omezení napětí v betonu **vyhovuje** z hlediska mezních stavů použitelnosti dle ČSN EN 1992-1-1 kap. 7.2. Nepatrná tahová napětí při kvazistálé kombinaci zatížení v čase na konci životnosti byla určena bez vlivu betonářské výztuže a dá se předpokládat, že přesnějším výpočtem by byla redukována až do tlakových hodnot. Zároveň se nacházejí v oblastech, kde je předpínací výztuž umístěna téměř centricky, tedy by i při vypočtených napětích nezasahovala tahová oblast blíže než 100 mm k lanům. Na tomto základě je možné konstatovat, že podmínka dekomprese (ČSN EN 1992-2 kap. 7.3.1) byla dodržena.

Při časté kombinaci vzniká oblast s napětím převyšujícím tahovou pevnost betonu. Z tohoto důvodu bude ověřeno splnění maximální šířky trhliny v této oblasti.

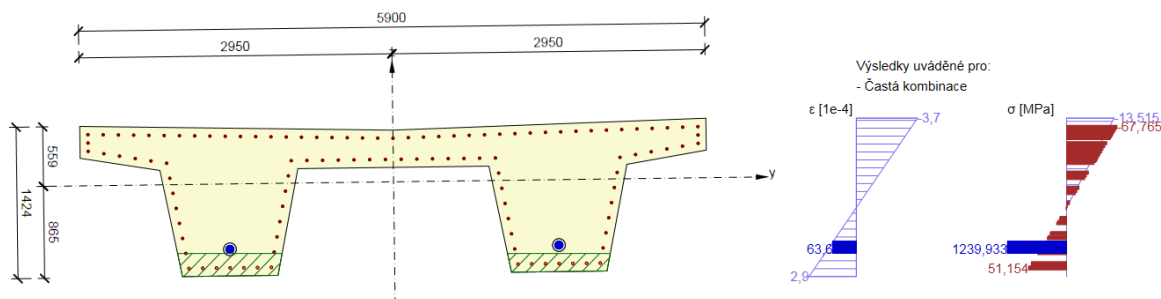
- XF3 + stupeň ochrany PL2 $w_{max} = 0,2 \text{ mm}$ častá kombinace

Při charakteristické kombinaci zatížení dochází ke vzniku trhlin nad pilíři. Z tohoto důvodu je nutné ověřit, zda přídatná napětí ve výztužích (betonářské i předpínací) nepřesáhnou limitní hodnoty:

- betonářská výztuž v tahu $\sigma_s = 0,8 \cdot f_{yk} = 400 \text{ MPa}$ charakteristická kombinace
- předpínací výztuž $\sigma_p = 0,75 \cdot f_{pk} = 1395 \text{ MPa}$ charakteristická kombinace

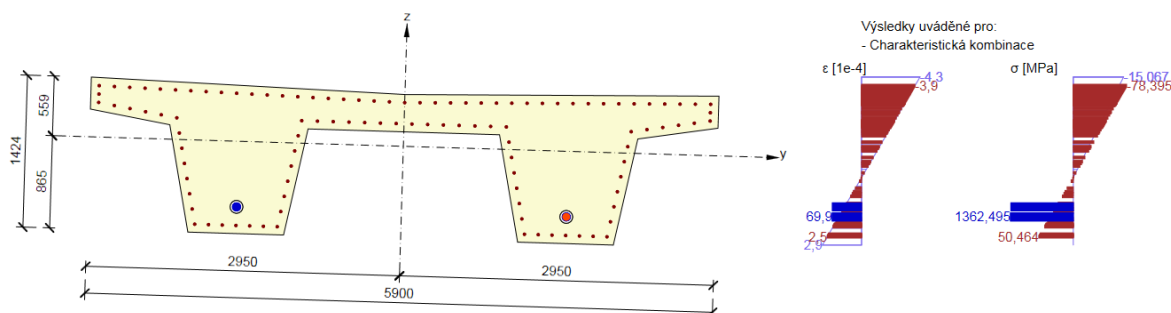
S ohledem na ztráty napětí v předpínací výztuži se dá předpokládat, že nejhorší stav pro předpínací výztuž nastává v čase uvedení do provozu. V souladu s tím naopak pro betonářskou výztuž musí nastat nejhorší stav na konci životnosti, kdy se snižuje tlaková rezerva předpětí.

Posouzení šířky trhlin (častá kombinace) – dolní vlákna v poli



Kombinace	N [kN]	M _y [kNm]	M _z [kNm]	w _k [mm]	w _{lim} [mm]	Hodnota [%]	Mez [%]	Posudek
Častá	-23582,9	8976,0	2040,0	0,054	0,300	18,0	100,0	OK

Omezení napětí (charakteristická kombinace)



Typ posudku	Část průřezu	Index	σ [MPa]	σ_{lim} [MPa]	Hodnota [%]	Mez [%]	Posudek
7.2(5)-Char	Kabel	2	1362,495	1395,000	97,7	100,0	OK

Omezení napětí v betonářské i předpínací výztuži splňuje podmínku omezení napětí.

5.1.4 Mezní stav únosnosti

5.1.4.1 Únosnost M+N+V+T

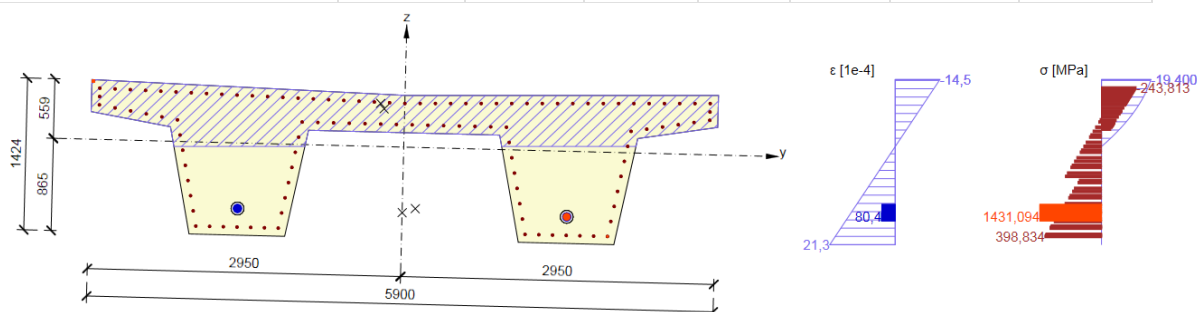
Únosnost průřezů je stanovena na základě metody mezních přetvoření. Pro ověření únosnosti předpjatého průřezu bylo vybráno několik kritických řezů:

- v poli s maximálním kladným ohybovým momentem
- nad podporou s maximálním záporným momentem
- v místě maximální posouvající síly
- v místě maximálního příčného ohybového momentu (max / min)
- v místě maximální posouvající síly v příčném směru

Na základě vyhodnocení napjatostních stavů v jednotlivých fázích vyhověly všechny průřezy na únosnost kombinovaného vlivu normálových a posouvajících sil, ohybových momentů a krouticího momentu. Žádný z použitých materiálů nedosáhl maximálního využití při působení návrhových vnitřních sil, přičemž byla nalezena rovnováha na průřezu. Výsledky pro kritické řezy na podporové prutové náhradě v čase na konci životnosti viz níže.

– pole s maximálním kladným ohybovým momentem

Rozhodující typ posudku	N_{Ed} [kN]	$M_{Ed,y}$ [kNm]	$M_{Ed,z}$ [kNm]	V_{Ed} [kN]	T_{Ed} [kNm]	Hodnota [%]	Posudek
Interakce	-25529,9	17781,1	-7299,5	283,9	-164,4	89,8	OK
Typ posudku	N_{Ed} [kN]	$M_{Ed,y}$ [kNm]	$M_{Ed,z}$ [kNm]	V_{Ed} [kN]	T_{Ed} [kNm]	Hodnota [%]	Posudek
Únosnost N-M-M	-4331,3	30809,8	-7299,5			86,8	OK
Smyk	-25529,9			283,9	-164,4	7,3	OK
Kroucení					-164,4	6,4	OK
Interakce	-25529,9	17781,1	-7299,5	283,9	-164,4	89,8	OK



5.2 Návrh uložení mostu

Uložení konstrukce je na opěrách (O1, O2) a na břehových pilířích (P1, P2, P10, P11) realizováno pomocí dvojic kalotových ložisek (všesměrně + podélně posuvné). S obloukovými stojkami (P3, P4, P5, P7, P8, P9) je nosná konstrukce spojena pomocí vrubových kloubů.

Příčná osová vzdálenost ložisek na opěrách i na pilířích je 2,9 m. Návrh ložisek byl proveden na základě reakcí NK.

5.2.1 Reakce na ložiska

Reakce byly vyhodnoceny na prutovém modelu v SW MIDAS Civil 2020.

	Zatěžovací stav			OP1		P1		P2		P10		P11		OP2		
				F _y	F _z	F _y	F _z	F _y	F _z	F _y	F _z	F _y	F _z	F _y	F _z	
				[kN]	[kN]	[kN]	[kN]	[kN]	[kN]	[kN]	[kN]	[kN]	[kN]	[kN]	[kN]	
PRAVÁ LOŽISKA (ve směru staničení)	G0	Vlastní tíha			0	445	0	1301	0	1200	0	1194	0	1303	0	444
	G1	Ostatní stálé			0	362	0	1138	0	1102	0	1100	0	1138	0	362
	CS	Dotvarování, smršťování			0	20	0	-50	0	67	0	53	0	-43	0	20
	P	Předpětí			0	155	0	-148	0	-5	0	-4	0	-149	0	155
	SET	Sedání - max (obálka stavů)			0	13	0	46	0	39	0	39	0	35	0	13
		Sedání - min (obálka stavů)			0	0	0	-35	0	-47	0	-39	0	-35	0	-7
	T	Teplota - max (obálka stavů)			0	53	0	57	0	33	0	28	0	52	0	63
		Teplota - min (obálka stavů)			0	-47	0	-64	0	-29	0	-28	0	-59	0	-59
	W	Vítr - max (obálka stavů)			119	105	199	195	741	179	349	199	452	156	136	150
		Vítr - min (obálka stavů)			-119	-105	-199	-195	-741	-179	-349	-199	-452	-156	-136	-150
	FR	Tření v ložiskách - char MVL			66	-	149	-	155	-	154	-	149	-	66	-
		Tření v ložiskách - freq MVL			61	-	137	-	143	-	142	-	137	-	61	-
		Tření v ložiskách - kvazi			39	-	90	-	95	-	94	-	90	-	39	-
	BR	Brzděné síly - tam			0	0	0	0	0	0	0	0	0	0	0	0
		Brzděné síly - zpět			0	0	0	0	0	0	0	0	0	0	0	0
	MVL	Char. hodnoty - max			0	675	0	1474	0	1518	0	1516	0	1473	0	675
		Char. hodnoty - min			0	-97	0	-122	0	-209	0	-209	0	-121	0	-98
		Časté hodnoty - max			0	540	0	1179	0	1215	0	1213	0	1178	0	540
		Časté hodnoty - min			0	-78	0	-98	0	-167	0	-167	0	-96	0	-78
Kombinace	MSÚ 6.10a	MAX		134	2228	223	5129	833	5209	393	5201	509	5077	153	2286	
		MIN		-134	991	-223	2634	-833	2643	-393	2608	-509	2694	-153	920	
	MSÚ 6.10b	MAX		178	2260	298	5063	1111	5183	524	5176	679	5009	204	2319	
		MIN		-178	800	-298	2105	-1111	2117	-524	2083	-679	2165	-204	728	
	Char.	MAX		119	1780	199	3940	741	4075	349	4065	452	3905	136	1818	
		MIN		-119	778	-199	1899	-741	1956	-349	1929	-452	1942	-136	728	
	Kvazi	MAX		0	1021	0	2315	0	2420	0	2396	0	2310	0	1025	
		MIN		0	959	0	2174	0	2303	0	2290	0	2186	0	944	

	Zatěžovací stav	OP1		P1	P2	P10	P11	OP2
		F _z	F _z	F _z	F _z	F _z	F _z	F _z
		[kN]	[kN]	[kN]	[kN]	[kN]	[kN]	[kN]
LEVA LOŽISKA (ve směru staničení)	G0 Vlastní tíha	445	1301	1200	1194	1303	444	
	G1 Ostatní stálé	362	1138	1102	1100	1138	362	
	CS Dotvarování, smršťování	20	-50	67	53	-43	20	
	P Předpětí	155	-148	-5	-4	-149	155	
	SET Sedání - max (obálka stavů)	13	46	39	39	35	13	
	Sedání - min (obálka stavů)	0	-35	-47	-39	-35	-7	
	T Teplota - max (obálka stavů)	58	57	33	28	54	68	
	Teplota - min (obálka stavů)	-53	-64	-29	-28	-61	-64	
	W Vítr - max (obálka stavů)	105	195	179	199	156	150	
	Vítr - min (obálka stavů)	-105	-195	-179	-199	-156	-150	
	FR Tření v ložiskách - char MVL	66	149	155	154	149	66	
	Tření v ložiskách - freq MVL	61	137	143	142	137	61	
	Tření v ložiskách - kvazi	39	90	95	94	90	39	
	BR Brzděné síly - tam	0	0	0	0	0	0	
	Brzděné síly - zpět	0	0	0	0	0	0	
	MVL Char. hodnoty - max	675	1474	1518	1516	1473	675	
	Char. hodnoty - min	-97	-122	-209	-209	-121	-98	
	Časté hodnoty - max	540	1179	1215	1213	1178	540	
	Časté hodnoty - min	-78	-98	-167	-167	-96	-78	
Kombinace	MSÚ 6.10a	MAX	2232	5129	5209	5201	5078	2292
		MIN	986	2634	2643	2608	2692	915
	MSÚ 6.10b	MAX	2264	5063	5183	5176	5011	2324
		MIN	795	2105	2117	2083	2163	723
	Char.	MAX	1783	3940	4076	4065	3906	1822
		MIN	774	1899	1956	1929	1941	725
	Kvazi	MAX	1024	2315	2420	2397	2311	1028
		MIN	956	2174	2303	2290	2184	942

5.2.2 Posuny na ložiskách

Společně s reakcemi byly stanoveny posuny od objemových zatížení a vodorovných účinků dopravy. Teplotní rozsah pro posuny je zvětšen o $\pm 10^{\circ}\text{C}$ v souladu s poznámkou 2 v 6.1.3.3 ČSN EN 1991-1-5. Vliv dotvarování a smršťování je s ohledem na nejistotu v jejich určení zvýšen součinitelem bezpečnosti $\gamma_{lt} = 1,2$ (pro 100 let) v souladu s tab. B.101 v ČSN EN 1992-2.

O1					P10						
Zatěžovací stav		Pravé ložisko		Levé ložisko	Zatěžovací stav		Pravé ložisko		Levé ložisko		
		x	y	x			y	x	y	x	y
Vodorovná zat.	T - Tcon (ochlazení)	69.5	0.0	69.5	0.0	Vodorovná zat.	T - Tcon (ochlazení)	48.7	0.0	48.7	0.0
	T+ - Texp (oteplení)	-62.0	0.0	-62.0	0.0		T+ - Texp (oteplení)	-43.9	0.0	-43.9	0.0
	D - Rozjezd/Brždění (+/-)	16.1	0.0	16.1	0.0		D - Rozjezd/Brždění (+/-)	15.9	0.0	15.9	0.0
	P - Přetvoření napínáním	12.5	0.0	12.5	0.0		P - Přetvoření napínáním	8.0	0.0	8.0	0.0
	C - dotvarování	23.3	0.0	23.3	0.0		C - dotvarování	15.0	0.0	15.0	0.0
	S - smršťování	48.6	0.0	48.6	0.0		S - smršťování	33.9	0.0	33.9	0.0
MAX POSUNY		184.3	0.0	184.3	0.0	MAX POSUNY		131.3	0.0	131.3	0.0
MIN POSUNY		-78.1	0.0	-78.1	0.0	MIN POSUNY		-59.8	0.0	-59.8	0.0
Posun při změně teploty o 1°C		1.495 mm			Posun při změně teploty o 1°C		1.058 mm				

P1					P11						
Zatěžovací stav		Pravé ložisko		Levé ložisko	Zatěžovací stav		Pravé ložisko		Levé ložisko		
		x	y	x			y	x	y	x	y
Vodorovná zat.	T - Tcon (ochlazení)	60.3	0.0	60.3	0.0	Vodorovná zat.	T - Tcon (ochlazení)	59.5	0.0	59.5	0.0
	T+ - Texp (oteplení)	-53.7	0.0	-53.7	0.0		T+ - Texp (oteplení)	-53.7	0.0	-53.7	0.0
	D - Rozjezd/Brždění (+/-)	16.0	0.0	16.0	0.0		D - Rozjezd/Brždění (+/-)	16.0	0.0	16.0	0.0
	P - Přetvoření napínáním	9.5	0.0	9.5	0.0		P - Přetvoření napínáním	9.4	0.0	9.4	0.0
	C - dotvarování	18.9	0.0	18.9	0.0		C - dotvarování	19.0	0.0	19.0	0.0
	S - smršťování	41.6	0.0	41.6	0.0		S - smršťování	41.9	0.0	41.9	0.0
MAX POSUNY		158.4	0.0	158.4	0.0	MAX POSUNY		158.1	0.0	158.1	0.0
MIN POSUNY		-69.7	0.0	-69.7	0.0	MIN POSUNY		-69.7	0.0	-69.7	0.0
Posun při změně teploty o 1°C		1.295 mm			Posun při změně teploty o 1°C		1.293 mm				

P2					O2						
Zatěžovací stav		Pravé ložisko		Levé ložisko	Zatěžovací stav		Pravé ložisko		Levé ložisko		
		x	y	x			y	x	y	x	y
Vodorovná zat.	T - Tcon (ochlazení)	48.7	0.0	48.7	0.0	Vodorovná zat.	T - Tcon (ochlazení)	68.7	0.0	68.7	0.0
	T+ - Texp (oteplení)	-44.0	0.0	-44.0	0.0		T+ - Texp (oteplení)	-62.0	0.0	-62.0	0.0
	D - Rozjezd/Brždění (+/-)	15.9	0.0	15.9	0.0		D - Rozjezd/Brždění (+/-)	16.1	0.0	16.1	0.0
	P - Přetvoření napínáním	8.1	0.0	8.1	0.0		P - Přetvoření napínáním	12.5	0.0	12.5	0.0
	C - dotvarování	14.8	0.0	14.8	0.0		C - dotvarování	23.4	0.0	23.4	0.0
	S - smršťování	33.6	0.0	33.6	0.0		S - smršťování	49.0	0.0	49.0	0.0
MAX POSUNY		130.8	0.0	130.8	0.0	MAX POSUNY		184.1	0.0	184.1	0.0
MIN POSUNY		-59.9	0.0	-59.9	0.0	MIN POSUNY		-78.0	0.0	-78.0	0.0
Posun při změně teploty o 1°C		1.060 mm			Posun při změně teploty o 1°C		1.493 mm				

5.2.3 Souhrnná tabulka ložisek

V souladu s hodnotami uvedenými v předchozích kapitolách je pro přehlednost uvedena souhrnná tabulka maximálních / minimálních sil a posunů v ložiskách.

PODPORA / UMÍSTĚNÍ		SVISLÉ SÍLY [MN]		VODOROVNÉ SÍLY [MN]		EXTRÉMNÍ POSUNY [mm]		
		R _{max}	R _{min}	H _{příč}	H _{pod}	-	+	Σ
O1	PRÁVĚ	2.260	0.778	0.178	-	-184.3	78.1	262.4
	LEVĚ	2.264	0.774	-	-			
P1	PRÁVĚ	5.129	1.899	0.298	-	-158.4	69.7	228.2
	LEVĚ	5.129	1.899	-	-			
P2	PRÁVĚ	5.209	1.956	1.111	-	-130.8	59.9	190.7
	LEVĚ	5.209	1.956	-	-			
P10	PRÁVĚ	5.201	1.929	0.524	-	131.3	-59.8	191.1
	LEVĚ	5.201	1.929	-	-			
P11	PRÁVĚ	5.077	1.942	0.679	-	158.1	-69.7	227.7
	LEVĚ	5.078	1.941	-	-			
O2	PRÁVĚ	2.319	0.728	0.204	-	184.1	-78.0	262.1
	LEVĚ	2.324	0.723	-	-			

Pozn.: Uvedené síly nezahrnují účinky tření v ložiskách (bude doplněno po určení konkrétního dodavatele ložisek)

5.2.4 Návrh vrubových kloubů

Vrubové klouby jsou navrženy s širokým vrubem. Potřebná plocha vrubového kloubu vychází z teorie návrhu Leonhardt-Reimann. Extrémní tlaková napětí vznikající v místě kloubu jsou posouzena na místně zatíženou plochu dle 6.7 ČSN EN 1992-1-1.

POSOUZENÍ VRUBOVÉHO KLOUBU - mostovka - pilíř P3

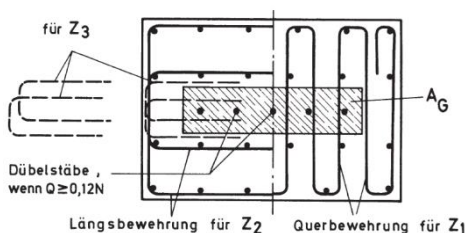
geometrie a materiály kloubu					
šířka kloubu v podél. směru:	a=	0.20	m	rozměr pilíře v příč. směru:	c= 0.90 m
rozměr pilíře v podél. směru:	d=	1.32	m	minimální stranové odsazení:	b _f = 0.140 m
max. tloušťka kloubu:	t=	0.02	m		
třída betonu:		C35/45		skutečná délka kloubu:	b= 0.80 m
tlaková pevnost	f _{c,k} =	35.0	MPa	průměr trnů:	Ø= 32 mm
modul pružnosti:	E _{cm} =	34.0	GPa	počet trnů:	n= 4 ks
součinitel materiálu:	γ _M =	1.50	-	souč. účinků zatížení:	α _{cc} = 0.90 -
				mez kluzu:	f _{y,k} = 355.0 MPa
ocel trnů:		S355		mez kluzu:	f _{y,k} = 500.0 MPa
ocel třmínků:		B500B		součinitel materiálu:	γ _s = 1.15 -
zatížení					
podélná síla:	F _x =	427.0	kN	příčná síla:	F _y = 225.0 kN
návrhová svislá síla:	F _z =	5927.0	kN	příčný moment	M _x = 22.9 kNm
svislá síla od vlastní tíhy	F _{g,z} =	2397.0	kN	podélné natočení - stálé:	α _D = 0.970 mrad
minimální svislá síla	F _{z,min} =	1894.0	kN	podélné natočení - užitné:	α _n = 3.100 mrad
uvažovaná trvalá síla:	N _D =	2397.000	-	podélné natočení	α= 3.585 mrad
posouzení trnů					
celková vodorovná síla:	F _{xy} =	482.7	kN	únosnost trnů ve smyku:	F _{Rd} = 685.2 kN
VYHOVUJE					
posouzení vrubového kloubu dle Heft 175: Betongelenke (F. Leonhardt, H. Reimann, 1965) - modifikace Schacht 2010					
poměr rozměrů:	a/d=	0.152	-	koefficient zjištěný zkouškami:	λ= 0.592 -
dovolené pootočení:	α _{Rd} =	13.946	mrad	potřebná plocha kloubu:	A _{min} = 0.107 m ²
potřebná délka kloubu:	b _{req} =	0.533	m	skutečná plocha kloubu:	A _G = 0.160 m ²
přídavný moment na pilíř:	M=	0.240	kNm	VYHOVUJE	
návrh výztuže na příčné síly (Vorlesungen über Massivbau)					
smyk. síla v podélném směru	Z ₁ =	1778.100	kN	profil třmínku:	Ø= 12 mm
smyk. síla v příčném směru:	Z ₂ =	197.567	kN	počet sřihů v řezu 1:	n ₁ = 6 ks
povrchová síla:	Z ₃ =	44.453	kN	počet sřihů v řezu 2:	n ₂ = 2 ks
			vzdálenost třmínků:	s _{tr} =	100 mm
			výška oblastí pro vyztužení:	h=	0.921 m
			smyková výztuž v 1:	A _{sw1} =	5572.532 mm ²
			smyková výztuž v 2:	A _{sw2} =	1857.511 mm ²
			síla přenesená třmínky 1:	F _{R,sw} =	2422.8 kN
			síla přenesená třmínky 2:	F _{R,sw} =	807.6 kN
			počet sřihů v řezu 3:	n ₂ =	2 ks
			smyková výztuž v 3 (1 řada)	A _{sw3} =	226.195 mm ²
			síla přenesená třmínky 3:	F _{R,sw} =	98.3 kN
VYHOVUJE					
posouzení betonu vrubového kloubu (místně zatížená plocha dle 6.7 ČSN EN 1992-1-1)					
zatížená plocha kloubu:	A _{c0} =	0.160	m ²	největší roznášecí plocha:	A _{c1} = 0.540 m ²
rozšíření v podélném směru:	b ₂ =	0.600	m	rozšíření v příčném směru:	l ₂ = 0.900 m
napětí na styčné ploše:	σ _{Ed} =	38.117	MPa	maximální napětí:	σ _{Rdu} = 38.579 MPa
VYHOVUJE					
posouzení příčných tahů pod vrubovým kloubem (6.5.3 (3) ČSN EN 1992-1-1)					
S ohledem na výšku pilíře se uvažuje částečná nespojitost dle 6.5.3 (3) v ČSN EN 1992-1-1					
příčná síla:	T=	1256.6	kN	výška účinku síly:	h= 1.316 m
profil třmínku:	Ø=	12	mm	počet sřihů v řezu:	n= 6 ks
vzdálenost třmínků:	s _{tr} =	100	mm	smyková výztuž na výšce h:	A _{sw} = 8252 mm ²
síla přenesená třmínky:	F _{R,sw} =	3587.6	kN	VYHOVUJE	

für Z₃

A_G

Dübelstäbe , wenn Q ≥ 0,12N

Längsbewehrung für Z₂ Querbewehrung für Z₁



POSOUZENÍ VRUBOVÉHO KLOUBU - mostovka - pilíř - P4

geometrie a materiály kloubu					
šířka kloubu v podél. směru:	a=	0.20	m	rozměr pilíře v příč. směru:	c= 0.90 m
rozměr pilíře v podél. směru:	d=	1.00	m	minimální stranové odsazení:	b _r = 0.140 m
max. tloušťka kloubu:	t=	0.02	m		
třída betonu:	C35/45			skutečná délka kloubu:	b= 0.80 m
tlaková pevnost	f _{c,k} =	35.0	MPa	průměr trnů:	Ø= 32 mm
modul pružnosti:	E _{cm} =	34.0	GPa	počet trnů:	n= 4 ks
součinitel materiálu:	γ _M =	1.50	-	souč. účinků zatížení:	α _{cc} = 0.90 -
				mez kluzu:	f _{y,k} = 355.0 MPa
ocel trnů:	S355			mez kluzu:	f _{y,k} = 500.0 MPa
ocel třminků:	B500B			součinitel materiálu:	γ _s = 1.15 -
zatížení					
podélná síla:	F _x =	241.0	kN	příčná síla:	F _y = 183.0 kN
návrhová svislá síla:	F _z =	5776.0	kN	příčný moment	M _x = 19.9 kNm
svislá síla od vlastní tíhy	F _{g,z} =	2407.0	kN	podélné natočení - stálé:	α _D = 1.880 mrad
minimální svislá síla	F _{z,min} =	1921.0	kN	podélné natočení - užité:	α _n = 6.200 mrad
uvažovaná trvalá síla:	N _D =	2407.000	-	podélné natočení	α= 7.140 mrad
posouzení trnů					
celková vodorovná síla:	F _{xy} =	302.6	kN	únosnost trnů ve smyku:	F _{Rd} = 685.2 kN
VYHOVUJE					
posouzení vrubového kloubu dle Heft 175: Betongelenke (F. Leonhardt, H. Reimann, 1965) - modifikace Schacht 2010					
poměr rozměrů:	a/d=	0.200	-	koeficient zjištěný zkouškami:	λ= 0.400 -
dovolené pootočení:	α _{Rd} =	13.591	mrad	potřebná plocha kloubu:	A _{min} = 0.126 m ²
potřebná délka kloubu:	b _{req} =	0.629	m	skutečná plocha kloubu:	A _G = 0.160 m ²
přídavný moment na pilíř:	M=	0.318	kNm	VYHOVUJE	
návrh výztuže na příčné síly (Vorlesungen über Massivbau)					
smyk. síla v podélném směru	Z ₁ =	1732.800	kN	profil třminku:	Ø= 12 mm
smyk. síla v příčném směru:	Z ₂ =	192.533	kN	počet střihů v řezu 1:	n ₁ = 6 ks
povrchová síla:	Z ₃ =	43.320	kN	počet střihů v řezu 2:	n ₂ = 2 ks
				vzdálenost třminků:	s _{tr} = 100 mm
				výška oblasti pro vyztužení:	h= 0.700 m
				smyková výztuž v 1:	A _{sw1} = 4071.504 mm ²
				smyková výztuž v 2:	A _{sw2} = 1357.168 mm ²
				síla přenesená třminky 1:	F _{R,sw} = 1770.2 kN
				síla přenesená třminky 2:	F _{R,sw} = 590.1 kN
				počet střihů v řezu 3:	n ₂ = 2 ks
				smyková výztuž v 3 (1 řada)	A _{sw3} = 226.195 mm ²
				síla přenesená třminky 3:	F _{R,sw} = 98.3 kN
VYHOVUJE					
posouzení betonu vrubového kloubu (místně zatížená plocha dle 6.7 ČSN EN 1992-1-1)					
zatížená plocha kloubu:	A _{c0} =	0.160	m ²	největší roznášecí plocha:	A _{c1} = 0.540 m ²
rozšíření v podélném směru:	b ₂ =	0.600	m	rozšíření v příčném směru:	l ₂ = 0.900 m
napětí na styčné ploše:	σ _{Ed} =	37.032	MPa	maximální napětí:	σ _{Rdu} = 38.579 MPa
VYHOVUJE					
posouzení příčných tahů pod vrubovým kloubem (6.5.3 (3) ČSN EN 1992-1-1)					
S ohledem na výšku pilíře se uvažuje částečná nespojitost dle 6.5.3 (3) v ČSN EN 1992-1-1					
příčná síla:	T=	1155.2	kN	výška účinku síly:	h= 1.000 m
profil třminku:	Ø=	12	mm	počet střihů v řezu:	n= 6 ks
vzdálenost třminků:	s _{tr} =	100	mm	smyková výztuž na výšce h:	A _{sw} = 6107 mm ²
síla přenesená třminky:	F _{R,sw} =	2655.3	kN	VYHOVUJE	

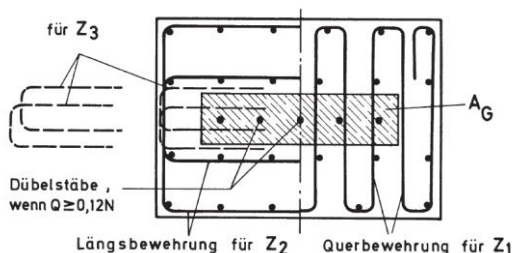
für Z₃

Dübelstäbe, wenn Q ≥ 0,12N

Längsbewehrung für Z₂

Querbewehrung für Z₁

A_G



POSOUZENÍ VRUBOVÉHO KLOUBU - mostovka - pilíř - P5

geometrie a materiály kloubu					
šířka kloubu v podél. směru:	a=	0.20	m	rozměr pilíře v příč. směru:	c= 0.90 m
rozměr pilíře v podél. směru:	d=	1.00	m	minimální stranové odsazení:	b _r = 0.140 m
max. tloušťka kloubu:	t=	0.02	m		
třída betonu:	C35/45			skutečná délka kloubu:	b= 0.80 m
tlaková pevnost	f _{c,k} =	35.0	MPa	průměr trnů:	Ø= 32 mm
modul pružnosti:	E _{cm} =	34.0	GPa	počet trnů:	n= 4 ks
součinitel materiálu:	γ _M =	1.50	-	souč. účinků zatížení:	α _{cc} = 0.90 -
				mez kluzu:	f _{y,k} = 355.0 MPa
ocel trnů:	S355			mez kluzu:	f _{y,k} = 500.0 MPa
ocel třminků:	B500B			součinitel materiálu:	γ _s = 1.15 -
zatížení					
podélná síla:	F _x =	187.0	kN	příčná síla:	F _y = 117.0 kN
návrhová svislá síla:	F _z =	5887.0	kN	příčný moment	M _x = 19.4 kNm
svislá síla od vlastní tíhy	F _{g,z} =	2482.0	kN	podélné natočení - stálé:	α _D = 3.990 mrad
minimální svislá síla	F _{z,min} =	1995.0	kN	podélné natočení - užité:	α _n = 5.990 mrad
uvažovaná trvalá síla:	N _D =	2482.000	-	podélné natočení	α= 7.985 mrad
posouzení trnů					
celková vodorovná síla:	F _{xy} =	220.6	kN	únosnost trnů ve smyku:	F _{Rd} = 685.2 kN
VYHOVUJE					
posouzení vrubového kloubu dle Heft 175: Betongelenke (F. Leonhardt, H. Reimann, 1965) - modifikace Schacht 2010					
poměr rozměrů:	a/d=	0.200	-	koeficient zjištěný zkouškami:	λ= 0.400 -
dovolené pootočení:	α _{Rd} =	13.852	mrad	potřebná plocha kloubu:	A _{min} = 0.130 m ²
potřebná délka kloubu:	b _{req} =	0.652	m	skutečná plocha kloubu:	A _G = 0.160 m ²
přídavný moment na pilíř:	M=	0.326	kNm	VYHOVUJE	
návrh výztuže na příčné síly (Vorlesungen über Massivbau)					
smyk. síla v podélném směru	Z ₁ =	1766.100	kN	profil třminků:	Ø= 12 mm
smyk. síla v příčném směru:	Z ₂ =	196.233	kN	počet sřihů v řezu 1:	n ₁ = 6 ks
povrchová síla:	Z ₃ =	44.153	kN	počet sřihů v řezu 2:	n ₂ = 2 ks
				vzdálenost třminků:	s _{tr} = 100 mm
				výška oblasti pro vyztužení:	h= 0.700 m
				smyková výztuž v 1:	A _{sw1} = 4071.504 mm ²
				smyková výztuž v 2:	A _{sw2} = 1357.168 mm ²
				síla přenesená třminky 1:	F _{R,sw} = 1770.2 kN
				síla přenesená třminky 2:	F _{R,sw} = 590.1 kN
				počet sřihů v řezu 3:	n ₂ = 2 ks
				smyková výztuž v 3 (1 řada)	A _{sw3} = 226.195 mm ²
				síla přenesená třminky 3:	F _{R,sw} = 98.3 kN
VYHOVUJE					
posouzení betonu vrubového kloubu (místně zatížená plocha dle 6.7 ČSN EN 1992-1-1)					
zatížená plocha kloubu:	A _{c0} =	0.160	m ²	největší roznášecí plocha:	A _{c1} = 0.540 m ²
rozšíření v podélném směru:	b ₂ =	0.600	m	rozšíření v příčném směru:	l ₂ = 0.900 m
napětí na styčné ploše:	σ _{Ed} =	37.703	MPa	maximální napětí:	σ _{Rdu} = 38.579 MPa
VYHOVUJE					
posouzení příčných tahů pod vrubovým kloubem (6.5.3 (3) ČSN EN 1992-1-1)					
S ohledem na výšku pilíře se uvažuje částečná nespojitost dle 6.5.3 (3) v ČSN EN 1992-1-1					
příčná síla:	T=	1177.4	kN	výška účinku síly:	h= 1.000 m
profil třminků:	Ø=	12	mm	počet sřihů v řezu:	n= 6 ks
vzdálenost třminků:	s _{tr} =	100	mm	smyková výztuž na výšce h:	A _{sw} = 6107 mm ²
síla přenesená třminky:	F _{R,sw} =	2655.3	kN	VYHOVUJE	

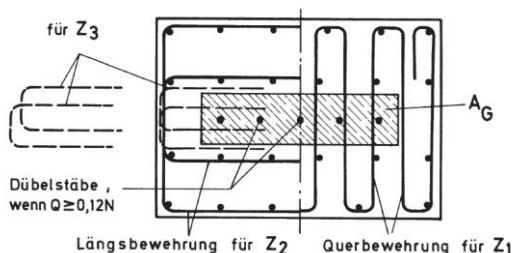
für Z₃

Dübelstäbe, wenn Q ≥ 0,12N

Längsbewehrung für Z₂

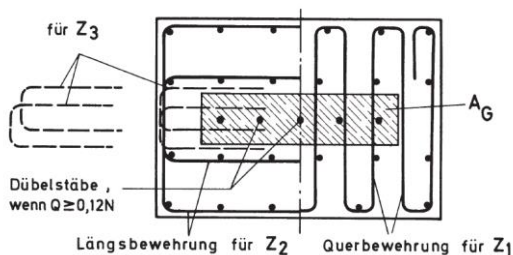
Querbewehrung für Z₁

A_G



POSOUZENÍ VRUBOVÉHO KLOUBU - pilíř - oblouk - P5

geometrie a materiály kloubu					
šířka kloubu v podél. směru:	a=	0.20	m	rozměr pilíře v příč. směru:	c= 1.50 m
rozměr pilíře v podél. směru:	d=	1.40	m	minimální stranové odsazení:	b _r = 0.140 m
max. tloušťka kloubu:	t=	0.02	m		
třída betonu:	C35/45			skutečná délka kloubu:	b= 1.40 m
tlaková pevnost	f _{c,k} =	35.0	MPa	průměr trnů:	Ø= 32 mm
modul pružnosti:	E _{cm} =	34.0	GPa	počet trnů:	n= 4 ks
součinitel materiálu:	γ _M =	1.50	-	souč. účinků zatížení:	α _{cc} = 0.90 -
				mez kluzu:	f _{y,k} = 355.0 MPa
ocel trnů:	S355			mez kluzu:	f _{y,k} = 500.0 MPa
ocel třminků:	B500B			součinitel materiálu:	γ _s = 1.15 -
zatížení					
podélná síla:	F _x =	110.0	kN	příčná síla:	F _y = 120.0 kN
návrhová svislá síla:	F _z =	6691.0	kN	příčný moment	M _x = 274.0 kNm
svislá síla od vlastní tíhy	F _{g,z} =	2692.0	kN	podélné natočení - stálé:	α _D = 0.270 mrad
minimální svislá síla	F _{z,min} =	1746.0	kN	podélné natočení - užité:	α _n = 2.710 mrad
uvažovaná trvalá síla:	N _D =	2619.000	-	podélné natočení	α= 2.845 mrad
posouzení trnů					
celková vodorovná síla:	F _{xy} =	162.8	kN	únosnost trnů ve smyku:	F _{Rd} = 685.2 kN
VYHOVUJE					
posouzení vrubového kloubu dle Heft 175: Betongelenke (F. Leonhardt, H. Reimann, 1965) - modifikace Schacht 2010					
poměr rozměrů:	a/d=	0.143	-	koeficient zjištěný zkouškami:	λ= 0.629 -
dovolené pootočení:	α _{Rd} =	8.996	mrad	potřebná plocha kloubu:	A _{min} = 0.124 m ²
potřebná délka kloubu:	b _{req} =	0.621	m	skutečná plocha kloubu:	A _G = 0.280 m ²
přídavný moment na pilíř:	M=	0.266	kNm	VYHOVUJE	
návrh výztuže na příčné síly (Vorlesungen über Massivbau)					
smyk. síla v podélném směru	Z ₁ =	2007.300	kN	profil třmínku:	Ø= 12 mm
smyk. síla v příčném směru:	Z ₂ =	133.820	kN	počet střihů v řezu 1:	n ₁ = 6 ks
povrchová síla:	Z ₃ =	28.676	kN	počet střihů v řezu 2:	n ₂ = 2 ks
				vzdálenost třminků:	s _{tr} = 100 mm
				výška oblasti pro vyztužení:	h= 0.980 m
				smyková výztuž v 1:	A _{sw1} = 5971.539 mm ²
				smyková výztuž v 2:	A _{sw2} = 1990.513 mm ²
				síla přenesená třmínky 1:	F _{R,sw} = 2596.3 kN
				síla přenesená třmínky 2:	F _{R,sw} = 865.4 kN
				počet střihů v řezu 3:	n ₂ = 2 ks
				smyková výztuž v 3 (1 řada)	A _{sw3} = 226.195 mm ²
				síla přenesená třmínky 3:	F _{R,sw} = 98.3 kN
VYHOVUJE					
posouzení betonu vrubového kloubu (místně zatížená plocha dle 6.7 ČSN EN 1992-1-1)					
zatížená plocha kloubu:	A _{c0} =	0.280	m ²	největší roznášecí plocha:	A _{c1} = 0.900 m ²
rozšíření v podélném směru:	b ₂ =	0.600	m	rozšíření v příčném směru:	l ₂ = 1.500 m
napětí na styčné ploše:	σ _{Ed} =	28.090	MPa	maximální napětí:	σ _{Rdu} = 37.650 MPa
VYHOVUJE					
posouzení příčných tahů pod vrubovým kloubem (6.5.3 (3) ČSN EN 1992-1-1)					
S ohledem na výšku pilíře se uvažuje částečná nespojitost dle 6.5.3 (3) v ČSN EN 1992-1-1					
příčná síla:	T=	1433.8	kN	výška účinku síly:	h= 1.400 m
profil třmínku:	Ø=	12	mm	počet střihů v řezu:	n= 6 ks
vzdálenost třminků:	s _{tr} =	100	mm	smyková výztuž na výšce h:	A _{sw} = 8822 mm ²
síla přenesená třmínky:	F _{R,sw} =	3835.5	kN	VYHOVUJE	



POSOUZENÍ VRUBOVÉHO KLOUBU - mostovka - pilíř - P7

geometrie a materiály kloubu					
šířka kloubu v podél. směru:	a=	0.20	m	rozměr pilíře v příč. směru:	c= 0.90 m
rozměr pilíře v podél. směru:	d=	1.00	m	minimální stranové odsazení:	b _r = 0.140 m
max. tloušťka kloubu:	t=	0.02	m		
třída betonu:	C35/45			skutečná délka kloubu:	b= 0.80 m
tlaková pevnost	f _{c,k} =	35.0	MPa	průměr trnů:	Ø= 32 mm
modul pružnosti:	E _{cm} =	34.0	GPa	počet trnů:	n= 4 ks
součinitel materiálu:	γ _M =	1.50	-	souč. účinků zatížení:	α _{cc} = 0.90 -
				mez kluzu:	f _{y,k} = 355.0 MPa
ocel trnů:	S355			mez kluzu:	f _{y,k} = 500.0 MPa
ocel třmínků:	B500B			součinitel materiálu:	γ _s = 1.15 -
zatížení					
podélná síla:	F _x =	154.0	kN	příčná síla:	F _y = 131.0 kN
návrhová svislá síla:	F _z =	5864.0	kN	příčný moment	M _x = 20.1 kNm
svislá síla od vlastní tíhy	F _{g,z} =	2458.0	kN	podélné natočení - stálé:	α _D = 3.280 mrad
minimální svislá síla	F _{z,min} =	1962.0	kN	podélné natočení - užité:	α _n = 5.310 mrad
uvažovaná trvalá síla:	N _D =	2458.000	-	podélné natočení	α= 6.950 mrad
posouzení trnů					
celková vodorovná síla:	F _{xy} =	202.2	kN	únosnost trnů ve smyku:	F _{Rd} = 685.2 kN
VYHOVUJE					
posouzení vrubového kloubu dle Heft 175: Betongelenke (F. Leonhardt, H. Reimann, 1965) - modifikace Schacht 2010					
poměr rozměrů:	a/d=	0.200	-	koeficient zjištěný zkouškami:	λ= 0.400 -
dovolené pootočení:	α _{Rd} =	13.798	mrad	potřebná plocha kloubu:	A _{min} = 0.127 m ²
potřebná délka kloubu:	b _{req} =	0.634	m	skutečná plocha kloubu:	A _G = 0.160 m ²
přídavný moment na pilíř:	M=	0.314	kNm	VYHOVUJE	
návrh výztuže na příčné síly (Vorlesungen über Massivbau)					
smyk. síla v podélném směru	Z ₁ =	1759.200	kN	profil třmínku:	Ø= 12 mm
smyk. síla v příčném směru:	Z ₂ =	195.467	kN	počet střihů v řezu 1:	n ₁ = 6 ks
povrchová síla:	Z ₃ =	43.980	kN	počet střihů v řezu 2:	n ₂ = 2 ks
				vzdálenost třmínků:	s _{tr} = 100 mm
				výška oblasti pro vyztužení:	h= 0.700 m
				smyk. výztuž v 1:	A _{sw1} = 4071.504 mm ²
				smyk. výztuž v 2:	A _{sw2} = 1357.168 mm ²
				síla přenesená třmínky 1:	F _{R,sw} = 1770.2 kN
				síla přenesená třmínky 2:	F _{R,sw} = 590.1 kN
				počet střihů v řezu 3:	n ₂ = 2 ks
				smyk. výztuž v 3 (1 řada)	A _{sw3} = 226.195 mm ²
				síla přenesená třmínky 3:	F _{R,sw} = 98.3 kN
VYHOVUJE					
posouzení betonu vrubového kloubu (místně zatížená plocha dle 6.7 ČSN EN 1992-1-1)					
zatížená plocha kloubu:	A _{c0} =	0.160	m ²	největší roznášecí plocha:	A _{c1} = 0.540 m ²
rozšíření v podélném směru:	b ₂ =	0.600	m	rozšíření v příčném směru:	l ₂ = 0.900 m
napětí na styčné ploše:	σ _{Ed} =	37.593	MPa	maximální napětí:	σ _{Rdu} = 38.579 MPa
VYHOVUJE					
posouzení příčných tahů pod vrubovým kloubem (6.5.3 (3) ČSN EN 1992-1-1)					
S ohledem na výšku pilíře se uvažuje částečná nespojitost dle 6.5.3 (3) v ČSN EN 1992-1-1					
příčná síla:	T=	1172.8	kN	výška účinku síly:	h= 1.000 m
profil třmínku:	Ø=	12	mm	počet střihů v řezu:	n= 6 ks
vzdálenost třmínků:	s _{tr} =	100	mm	smyk. výztuž na výšce h:	A _{sw} = 6107 mm ²
síla přenesená třmínky:	F _{R,sw} =	2655.3	kN	VYHOVUJE	

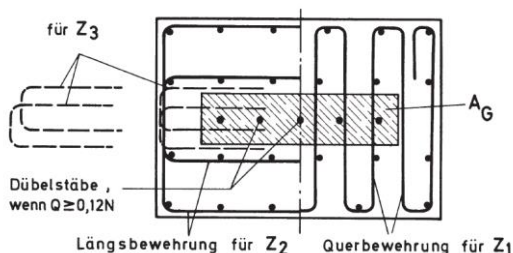
für Z₃

Dübelstäbe, wenn Q ≥ 0,12N

Längsbewehrung für Z₂

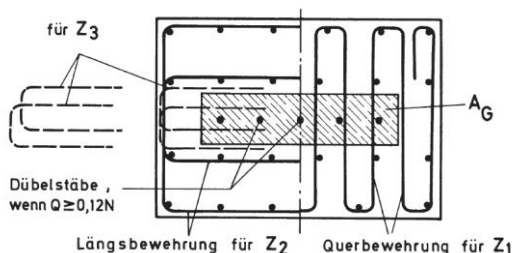
Querbewehrung für Z₁

A_G



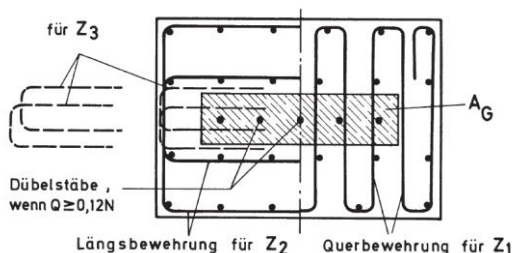
POSOUZENÍ VRUBOVÉHO KLOUBU - pilíř - oblouk - P5

geometrie a materiály kloubu					
šířka kloubu v podél. směru:	a=	0.20	m	rozměr pilíře v příč. směru:	c= 1.50 m
rozměr pilíře v podél. směru:	d=	1.40	m	minimální stranové odsazení:	b _r = 0.140 m
max. tloušťka kloubu:	t=	0.02	m		
třída betonu:	C35/45			skutečná délka kloubu:	b= 1.40 m
tlaková pevnost	f _{c,k} =	35.0	MPa	průměr trnů:	Ø= 32 mm
modul pružnosti:	E _{cm} =	34.0	GPa	počet trnů:	n= 4 ks
součinitel materiálu:	γ _M =	1.50	-	souč. účinků zatížení:	α _{cc} = 0.90 -
				mez kluzu:	f _{y,k} = 355.0 MPa
ocel trnů:	S355			mez kluzu:	f _{y,k} = 500.0 MPa
ocel třminků:	B500B			součinitel materiálu:	γ _s = 1.15 -
zatížení					
podélná síla:	F _x =	92.0	kN	příčná síla:	F _y = 152.0 kN
návrhová svislá síla:	F _z =	6741.0	kN	příčný moment	M _x = 284.0 kNm
svislá síla od vlastní tíhy	F _{g,z} =	2724.0	kN	podélné natočení - stálé:	α _D = 0.270 mrad
minimální svislá síla	F _{z,min} =	1616.0	kN	podélné natočení - užité:	α _n = 2.710 mrad
uvažovaná trvalá síla:	N _D =	2424.000	-	podélné natočení	α= 2.845 mrad
posouzení trnů					
celková vodorovná síla:	F _{xy} =	177.7	kN	únosnost trnů ve smyku:	F _{Rd} = 685.2 kN
VYHOVUJE					
posouzení vrubového kloubu dle Heft 175: Betongelenke (F. Leonhardt, H. Reimann, 1965) - modifikace Schacht 2010					
poměr rozměrů:	a/d=	0.143	-	koeficient zjištěný zkouškami:	λ= 0.629 -
dovolené pootočení:	α _{Rd} =	9.064	mrad	potřebná plocha kloubu:	A _{min} = 0.125 m ²
potřebná délka kloubu:	b _{req} =	0.625	m	skutečná plocha kloubu:	A _G = 0.280 m ²
přídavný moment na pilíř:	M=	0.265	kNm	VYHOVUJE	
návrh výztuže na příčné síly (Vorlesungen über Massivbau)					
smyk. síla v podélném směru	Z ₁ =	2022.300	kN	profil třminků:	Ø= 12 mm
smyk. síla v příčném směru:	Z ₂ =	134.820	kN	počet střihů v řezu 1:	n ₁ = 6 ks
povrchová síla:	Z ₃ =	28.890	kN	počet střihů v řezu 2:	n ₂ = 2 ks
				vzdálenost třminků:	s _{tr} = 100 mm
				výška oblasti pro vyztužení:	h= 0.980 m
				smyková výztuž v 1:	A _{sw1} = 5971.539 mm ²
				smyková výztuž v 2:	A _{sw2} = 1990.513 mm ²
				síla přenesená třminky 1:	F _{R,sw} = 2596.3 kN
				síla přenesená třminky 2:	F _{R,sw} = 865.4 kN
				počet střihů v řezu 3:	n ₂ = 2 ks
				smyková výztuž v 3 (1 řada)	A _{sw3} = 226.195 mm ²
				síla přenesená třminky 3:	F _{R,sw} = 98.3 kN
VYHOVUJE					
posouzení betonu vrubového kloubu (místně zatížená plocha dle 6.7 ČSN EN 1992-1-1)					
zatížená plocha kloubu:	A _{c0} =	0.280	m ²	největší roznášecí plocha:	A _{c1} = 0.900 m ²
rozšíření v podélném směru:	b ₂ =	0.600	m	rozšíření v příčném směru:	l ₂ = 1.500 m
napětí na styčné ploše:	σ _{Ed} =	28.422	MPa	maximální napětí:	σ _{Rdu} = 37.650 MPa
VYHOVUJE					
posouzení příčných tahů pod vrubovým kloubem (6.5.3 (3) ČSN EN 1992-1-1)					
S ohledem na výšku pilíře se uvažuje částečná nespojitost dle 6.5.3 (3) v ČSN EN 1992-1-1					
příčná síla:	T=	1444.5	kN	výška účinku síly:	h= 1.400 m
profil třminků:	Ø=	12	mm	počet střihů v řezu:	n= 6 ks
vzdálenost třminků:	s _{tr} =	100	mm	smyková výztuž na výšce h:	A _{sw} = 8822 mm ²
síla přenesená třminky:	F _{R,sw} =	3835.5	kN	VYHOVUJE	



POSOUZENÍ VRUBOVÉHO KLOUBU - mostovka - pilíř - P8

geometrie a materiály kloubu							
šířka kloubu v podél. směru:	a=	0.20	m	rozměr pilíře v příč. směru:	c=	0.90	m
rozměr pilíře v podél. směru:	d=	1.00	m	minimální stranové odsazení:	b _r =	0.140	m
max. tloušťka kloubu:	t=	0.02	m				
třída betonu:	C35/45			skutečná délka kloubu:	b=	0.80	m
tlaková pevnost	f _{c,k} =	35.0	MPa	průměr trnů:	Ø=	32	mm
modul pružnosti:	E _{cm} =	34.0	GPa	počet trnů:	n=	4	ks
součinitel materiálu:	γ _M =	1.50	-	souč. účinků zatížení:	α _{cc} =	0.90	-
				mez kluzu:	f _{y,k} =	355.0	MPa
ocel trnů:	S355			mez kluzu:	f _{y,k} =	500.0	MPa
ocel třmínků:	B500B			součinitel materiálu:	γ _s =	1.15	-
zatížení							
podélná síla:	F _x =	187.0	kN	příčná síla:	F _y =	117.0	kN
návrhová svislá síla:	F _z =	5886.0	kN	příčný moment	M _x =	19.4	kNm
svislá síla od vlastní tíhy	F _{g,z} =	2482.0	kN	podélné natočení - stálé:	α _D =	1.810	mrad
minimální svislá síla	F _{z,min} =	1995.0	kN	podélné natočení - užité:	α _n =	6.130	mrad
uvažovaná trvalá síla:	N _D =	2482.000	-	podélné natočení	α=	7.035	mrad
posouzení trnů							
celková vodorovná síla:	F _{xy} =	220.6	kN	únosnost trnů ve smyku:	F _{Rd} =	685.2	kN
VYHOVUJE							
posouzení vrubového kloubu dle Heft 175: Betongelenke (F. Leonhardt, H. Reimann, 1965) - modifikace Schacht 2010							
poměr rozměrů:	a/d=	0.200	-	koeficient zjištěný zkouškami:	λ=	0.400	-
dovolené pootočení:	α _{Rd} =	13.849	mrad	potřebná plocha kloubu:	A _{min} =	0.127	m ²
potřebná délka kloubu:	b _{req} =	0.637	m	skutečná plocha kloubu:	A _G =	0.160	m ²
přídavný moment na pilíř:	M=	0.315	kNm	VYHOVUJE			
návrh výztuže na příčné síly (Vorlesungen über Massivbau)							
smyk. síla v podélném směru	Z ₁ =	1765.800	kN	profil třmínku:	Ø=	12	mm
smyk. síla v příčném směru:	Z ₂ =	196.200	kN	počet střihů v řezu 1:	n ₁ =	6	ks
povrchová síla:	Z ₃ =	44.145	kN	počet střihů v řezu 2:	n ₂ =	2	ks
				vzdálenost třmínků:	s _{tr} =	100	mm
				výška oblasti pro vyztužení:	h=	0.700	m
				smyková výztuž v 1:	A _{sw1} =	4071.504	mm ²
				smyková výztuž v 2:	A _{sw2} =	1357.168	mm ²
				síla přenesená třmínky 1:	F _{R,sw} =	1770.2	kN
				síla přenesená třmínky 2:	F _{R,sw} =	590.1	kN
				počet střihů v řezu 3:	n ₂ =	2	ks
				smyková výztuž v 3 (1 řada)	A _{sw3} =	226.195	mm ²
				síla přenesená třmínky 3:	F _{R,sw} =	98.3	kN
VYHOVUJE							
posouzení betonu vrubového kloubu (místně zatížená plocha dle 6.7 ČSN EN 1992-1-1)							
zatížená plocha kloubu:	A _{c0} =	0.160	m ²	největší roznášecí plocha:	A _{c1} =	0.540	m ²
rozšíření v podélném směru:	b ₂ =	0.600	m	rozšíření v příčném směru:	l ₂ =	0.900	m
napětí na styčné ploše:	σ _{Ed} =	37.697	MPa	maximální napětí:	σ _{Rdu} =	38.579	MPa
VYHOVUJE							
posouzení příčných tahů pod vrubovým kloubem (6.5.3 (3) ČSN EN 1992-1-1)							
S ohledem na výšku pilíře se uvažuje částečná nespojitost dle 6.5.3 (3) v ČSN EN 1992-1-1							
příčná síla:	T=	1177.2	kN	výška účinku síly:	h=	1.000	m
profil třmínku:	Ø=	12	mm	počet střihů v řezu:	n=	6	ks
vzdálenost třmínků:	s _{tr} =	100	mm	smyková výztuž na výšce h:	A _{sw} =	6107	mm ²
síla přenesená třmínky:	F _{R,sw} =	2655.3	kN	VYHOVUJE			



POSOUZENÍ VRUBOVÉHO KLOUBU - mostovka - pilíř - P9

geometrie a materiály kloubu					
šířka kloubu v podél. směru:	a=	0.20	m	rozměr pilíře v příč. směru:	c= 0.90 m
rozměr pilíře v podél. směru:	d=	1.40	m	minimální stranové odsazení:	b _r = 0.140 m
max. tloušťka kloubu:	t=	0.02	m		
třída betonu:		C35/45		skutečná délka kloubu:	b= 0.80 m
tlaková pevnost	f _{c,k} =	35.0	MPa	průměr trnů:	Ø= 32 mm
modul pružnosti:	E _{cm} =	34.0	GPa	počet trnů:	n= 4 ks
součinitel materiálu:	γ _M =	1.50	-	souč. účinků zatížení:	α _{cc} = 0.90 -
				mez kluzu:	f _{y,k} = 355.0 MPa
ocel trnů:		S355		mez kluzu:	f _{y,k} = 500.0 MPa
ocel třmínků:		B500B		součinitel materiálu:	γ _s = 1.15 -

zatížení					
podélná síla:	F _x =	370.0	kN	příčná síla:	F _y = 325.0 kN
návrhová svislá síla:	F _z =	5941.0	kN	příčný moment	M _x = 19.4 kNm
svislá síla od vlastní tíhy	F _{g,z} =	2434.0	kN	podélné natočení - stálé:	α _D = 3.490 mrad
minimální svislá síla	F _{z,min} =	1912.0	kN	podélné natočení - užitné:	α _n = 4.110 mrad
uvažovaná trvalá síla:	N _D =	2434.000	-	podélné natočení	α= 5.855 mrad

posouzení trnů					
celková vodorovná síla:	F _{xy} =	492.5	kN	únosnost trnů ve smyku:	F _{Rd} = 685.2 kN

VYHOVUJE

posouzení vrubového kloubu dle Heft 175: Betongelenke (F. Leonhardt, H. Reimann, 1965) - modifikace Schacht 2010

poměr rozměrů:	a/d=	0.143	-	koeficient zjištěný zkouškami:	λ= 0.629 -
dovolené pootočení:	α _{Rd} =	13.979	mrad	potřebná plocha kloubu:	A _{min} = 0.113 m ²
potřebná délka kloubu:	b _{req} =	0.564	m	skutečná plocha kloubu:	A _G = 0.160 m ²
přídavný moment na pilíř:	M=	0.296	kNm		

VYHOVUJE

návrh výztuže na příčné síly (Vorlesungen über Massivbau)

smyk. síla v podélném směru	Z ₁ =	1782.300	kN	profil třmínku:	Ø= 12 mm
smyk. síla v příčném směru:	Z ₂ =	198.033	kN	počet střihů v řezu 1:	n ₁ = 6 ks
povrchová síla:	Z ₃ =	44.558	kN	počet střihů v řezu 2:	n ₂ = 2 ks
				vzdálenost třmínků:	s _{tr} = 100 mm
				výška oblasti pro výztužení:	h= 0.980 m
				smyková výztuž v 1:	A _{sw1} = 5971.539 mm ²
				smyková výztuž v 2:	A _{sw2} = 1990.513 mm ²
				síla přenesená třmínky 1:	F _{R,sw} = 2596.3 kN
				síla přenesená třmínky 2:	F _{R,sw} = 865.4 kN
				počet střihů v řezu 3:	n ₂ = 2 ks
				smyková výztuž v 3 (1 řada)	A _{sw3} = 226.195 mm ²
				síla přenesená třmínky 3:	F _{R,sw} = 98.3 kN

VYHOVUJE

posouzení betonu vrubového kloubu (místně zatížená plocha dle 6.7 ČSN EN 1992-1-1)

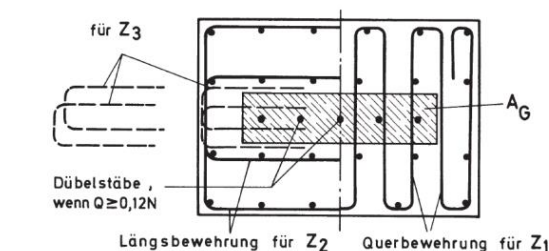
zatížená plocha kloubu:	A _{c0} =	0.160	m ²	největší roznášecí plocha:	A _{c1} = 0.540 m ²
rozšíření v podélném směru:	b ₂ =	0.600	m	rozšíření v příčném směru:	l ₂ = 0.900 m
napětí na styčné ploše:	σ _{Ed} =	38.041	MPa	maximální napětí:	σ _{Rdu} = 38.579 MPa

VYHOVUJE

posouzení příčných tahů pod vrubovým kloubem (6.5.3 (3) ČSN EN 1992-1-1)

S ohledem na výšku pilíře se uvažuje částečná nespojitost dle 6.5.3 (3) v ČSN EN 1992-1-1					
příčná síla:	T=	1273.1	kN	výška účinku síly:	h= 1.400 m
profil třmínku:	Ø=	12	mm	počet střihů v řezu:	n= 6 ks
vzdálenost třmínků:	s _{tr} =	100	mm	smyková výztuž na výšce h:	A _{sw} = 8822 mm ²
síla přenesená třmínky:	F _{R,sw} =	3835.5	kN		

VYHOVUJE



5.3 Návrh dilatačních závěrů

Podélné pohyby konstrukce byly uvažovány obdobně jako v případě návrhu posunů ložisek. Ve výpočtu je s ohledem na čas umístění dilatačních závěrů redukován vliv dotvarování a smršťování na celkové pohyby v mostních závěrech. Přetvoření od předpínání není s ohledem na fáze výstavby uvažováno.

O1				O2			
Zatěžovací stav		MZ		Zatěžovací stav		MZ	
		x	y			x	y
Vodorovná zat.	T - Tcon (ochlazení)	69.5	0.0	Vodorovná zat.	T - Tcon (ochlazení)	68.7	0.0
	T+ - Texp (oteplení)	-62.0	0.0		T+ - Texp (oteplení)	-62.0	0.0
	D - Rozjezd/Brždění (+/-)	16.1	0.0		D - Rozjezd/Brždění (+/-)	16.1	0.0
	P - Přetvoření napínáním	0.0	0.0		P - Přetvoření napínáním	0.0	0.0
	C - dotvarování	12.4	0.0		C - dotvarování	12.4	0.0
	S - smršťování	36.0	0.0		S - smršťování	35.9	0.0
MAX POSUNY		143.7	0.0	MAX POSUNY		142.7	0.0
MIN POSUNY		-78.1	0.0	MIN POSUNY		-78.0	0.0
Posun při změně teploty o 1°C		1.495	mm	Posun při změně teploty o 1°C		1.493	mm

Mostní závěr O1: dilatační délka $L = 149,6$ m celkový posun $\Delta = 221,8$ mm

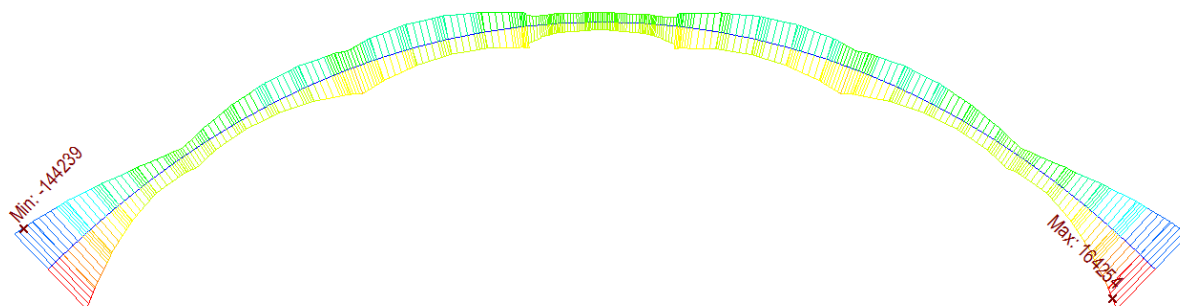
Mostní závěr O2: dilatační délka $L = 149,6$ m celkový posun $\Delta = 220,7$ mm

6 Oblouk

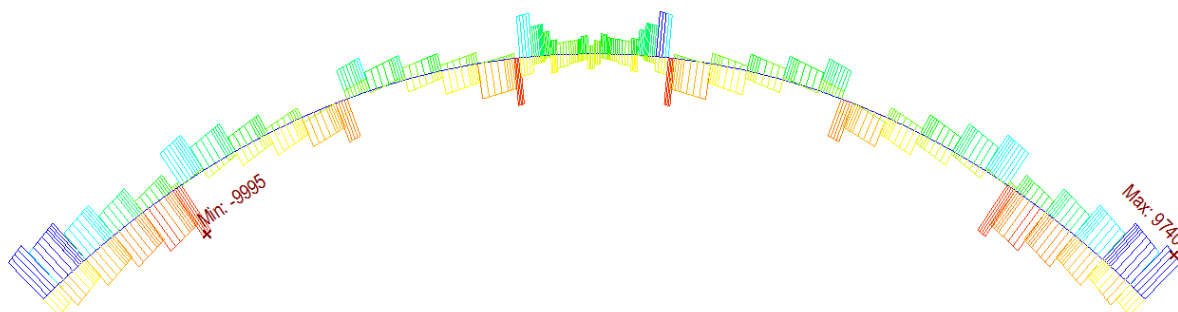
6.1.1 Vnitřní síly

Vnitřní síly jsou uvedeny pro náhradní prut v ose uložení nosné konstrukce. Reologie je řešena programem MIDAS Civil automaticky.

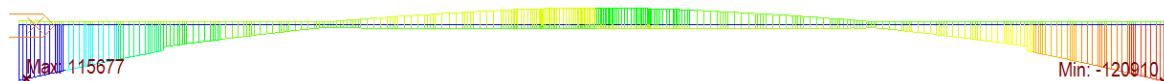
MSU – M_y [kNm]



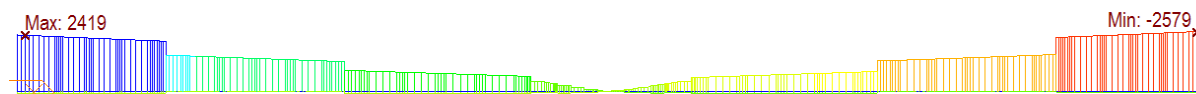
MSU – V_z [kN]



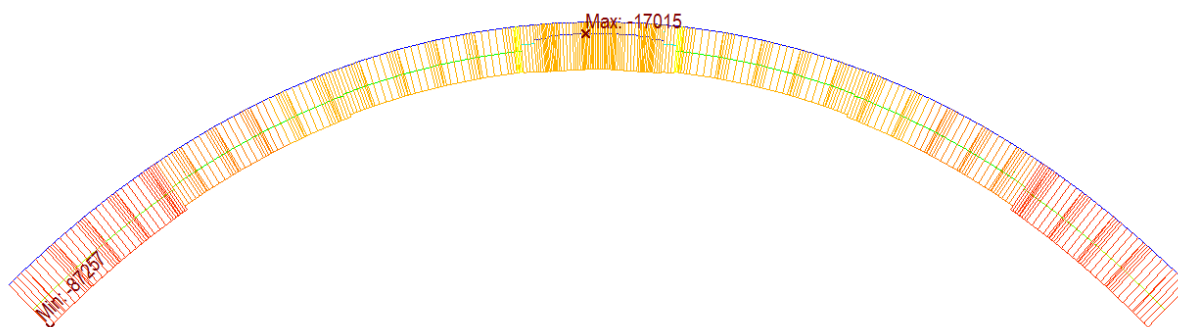
MSU – M_z [kNm]



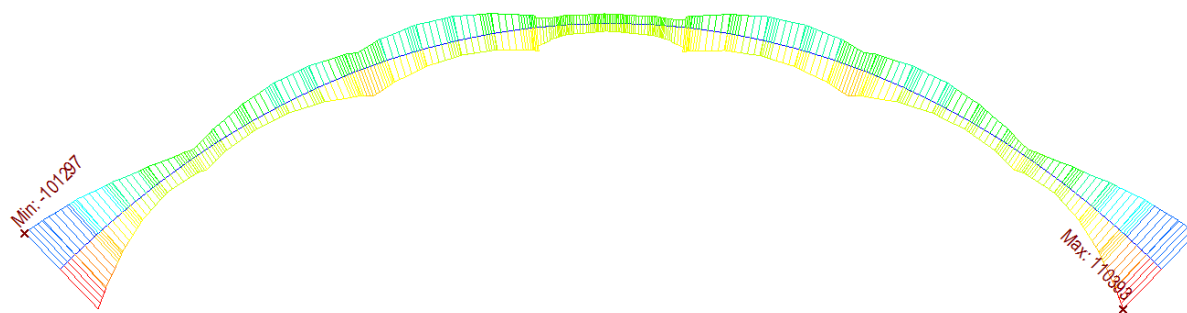
MSU – V_y [kN]



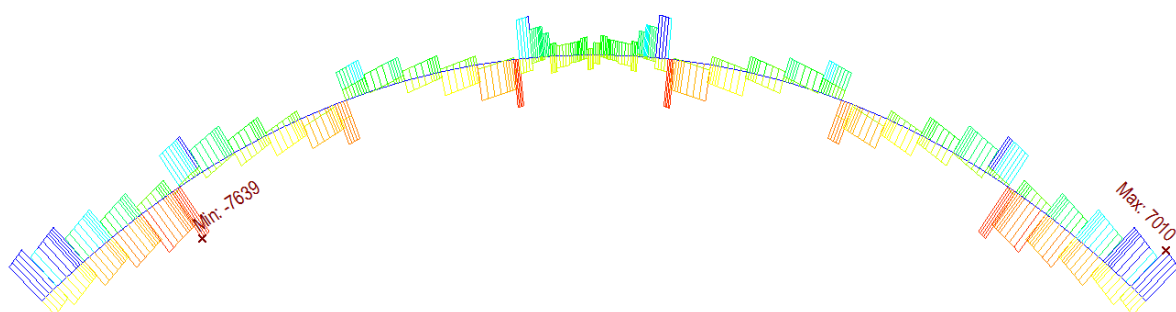
MSU – N_x [kN]



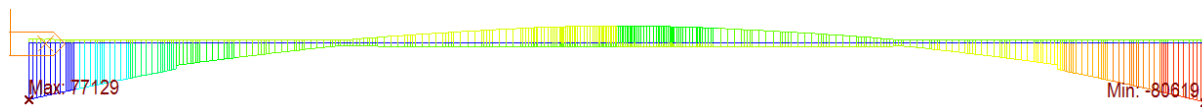
Char – M_y [kNm]



Char – V_z [kN]



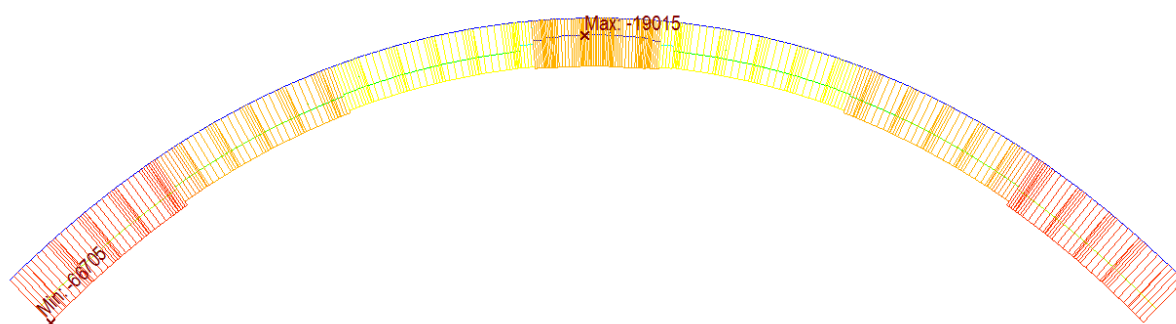
Char – M_z [kNm]



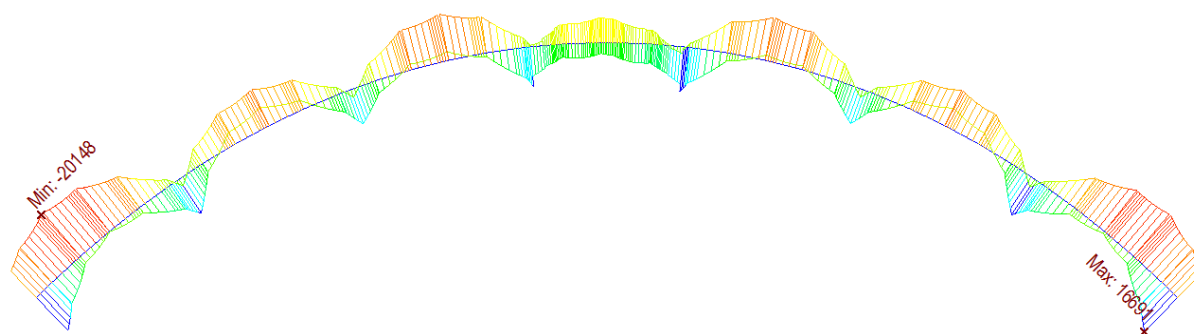
Char – V_y [kN]



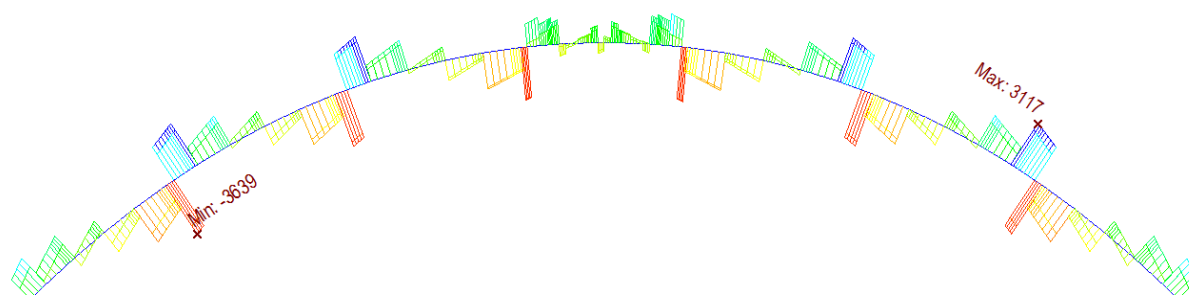
Char – N_x [kN]



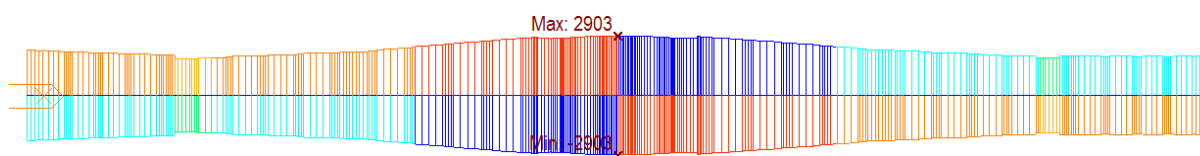
Kvazi – M_y [kNm]



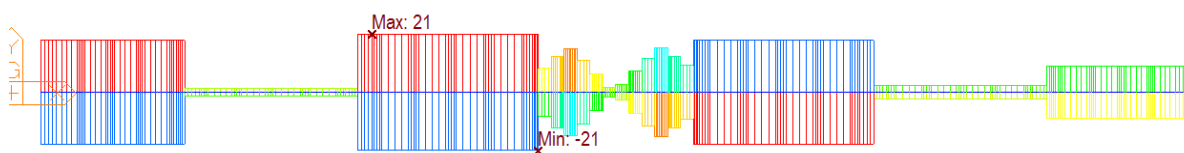
Kvazi – V_z [kN]



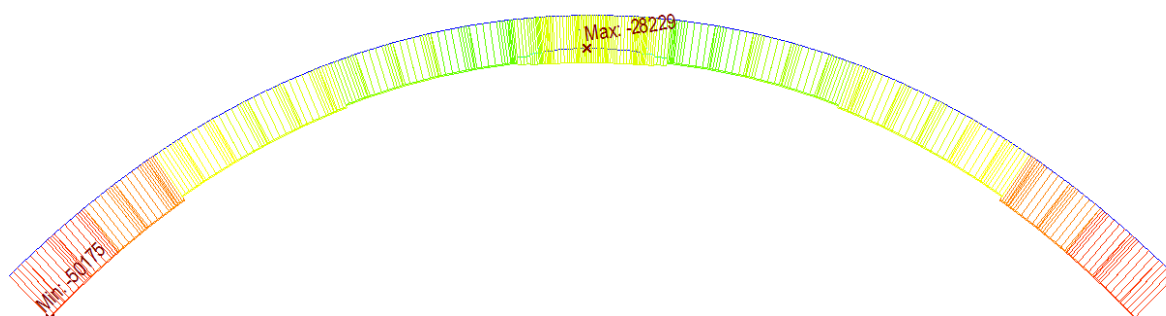
Kvazi – M_z [kNm]



Kvazi – V_y [kN]



Kvazi – N_x [kN]



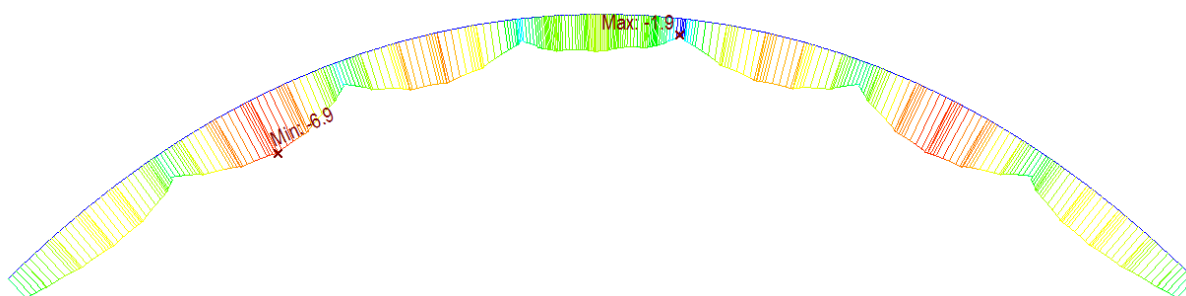
6.1.2 Mezní stav použitelnosti

S ohledem na ČSN EN 1992-1-1 a ČSN EN 1992-2 je nutno uvažovat omezení napětí v materiálech:

- betonu v tlaku	$\sigma_{cc} = k_1 \cdot f_{ck}(t) = 0,6 f_{ck}(t)$	charakteristická kombinace
	$\sigma_{cc} = k_2 \cdot f_{ck}(t) = 0,45 f_{ck}(t)$	kvazistálá kombinace
- betonářská výztuž v tahu	$\sigma_s = k_3 \cdot f_{yk} = 0,8 f_{yk}$	charakteristická kombinace
- šířka trhlin	$w_{max} = 0,3 \text{ mm}$	kvazistálá kombinace

Posouzení omezení napětí (kvazistálá kombinace)

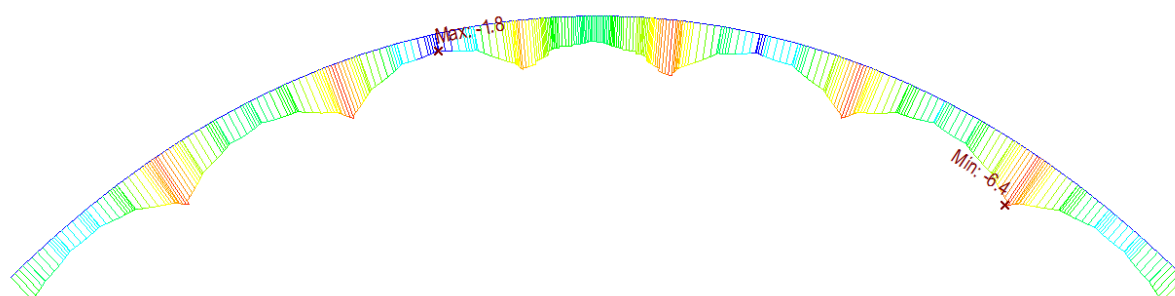
– dolní vlákna



$$\sigma_{cc} = -6,9 < 0,45 \cdot 45,0 = 20,25$$

$$\sigma_{ct} = -1,9 < f_{ctm} = 3,8$$

– horní vlákna



$$\sigma_{cc} = -6,4 < 0,45 \cdot 45,0 = 20,25$$

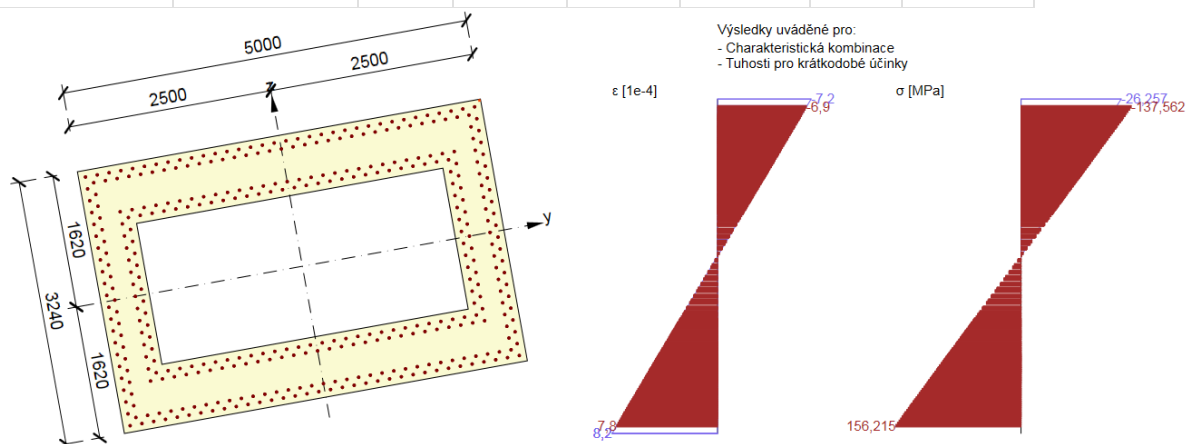
$$\sigma_{ct} = -1,8 < f_{ctm} = 3,8$$

Vyhovuje, trhliny nevznikají

S ohledem na dosažení tlakového napětí po celé délce oblouku u obou povrchů je možné předpokládat, že nebude docházet ke vzniku trhlin.

Posouzení omezení napětí (charakteristická kombinace) – v patě

Typ posudku	Část průřezu	Index	σ [MPa]	σ_{lim} [MPa]	Hodnota [%]	Mez [%]	Posudek
7.2(2)-Char	Vlákno betonu	3	-26,257	-27,000	97,2	100,0	OK



Omezení napětí v betonářské výztuži splňuje podmínku omezení napětí.

6.1.3 Mezní stav únosnosti

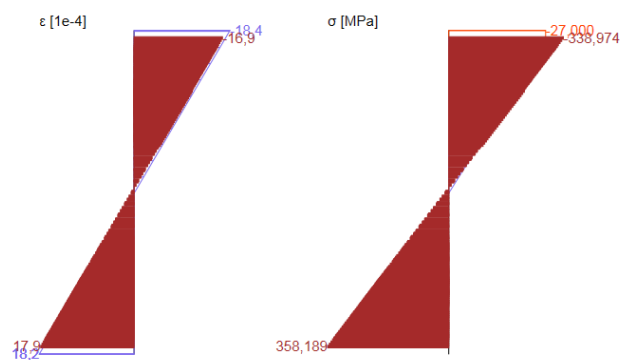
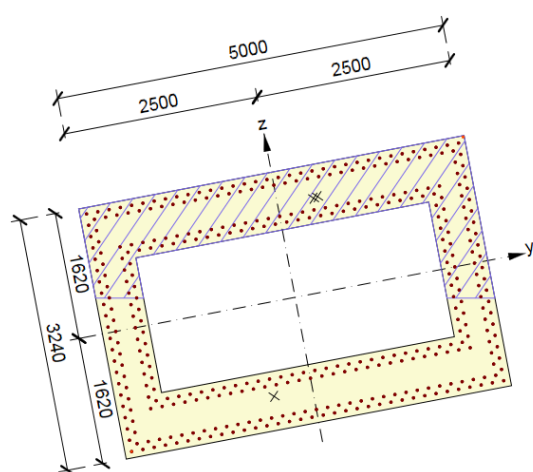
6.1.3.1 Únosnost M+N+V+T

Únosnost průřezů je stanovena na základě metody mezních přetvoření.

Na základě vyhodnocení napjatostních stavů v jednotlivých fázích vyhověly všechny průřezy na únosnost kombinovaného vlivu normálových a posouvajících sil, ohybových momentů a krouticího momentu. Žádný z použitých materiálů nedosáhl maximálního využití při působení návrhových vnitřních sil, přičemž byla nalezena rovnováha na průřezu. Výsledky pro kritické řezy na podporové prutové náhradě v čase na konci životnosti viz níže.

– v patě

Rozhodující typ posudku	N_{Ed} [kN]	$M_{Ed,y}$ [kNm]	$M_{Ed,z}$ [kNm]	V_{Ed} [kN]	T_{Ed} [kNm]	Hodnota [%]	Posudek
Omezení napětí	-59533,7	104706,5	41152,3			97,2	OK
Typ posudku	N_{Ed} [kN]	$M_{Ed,y}$ [kNm]	$M_{Ed,z}$ [kNm]	V_{Ed} [kN]	T_{Ed} [kNm]	Hodnota [%]	Posudek
Únosnost N-M-M	-71287,2	152477,9	61633,7			66,1	OK
Smyk	-71287,2			1485,2	-1317,1	15,0	OK
Kroucení					-1317,1	2,2	OK
Interakce	-71287,2	152477,9	61633,7	1485,2	-1317,1	76,9	OK
Omezení napětí	-59533,7	104706,5	41152,3			97,2	OK
Šířka trhliny	-50327,5	22186,7	0,0			0,0	OK

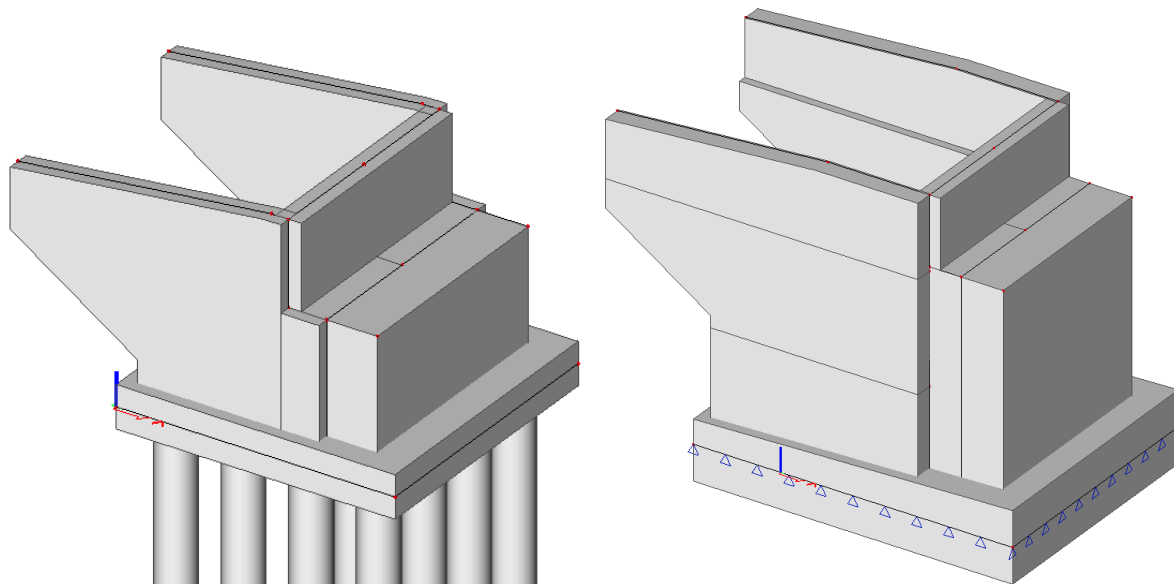


7 Spodní stavba

7.1 Opěry

Pro správnou dimenzaci základů, křídel a pilot (pouze OP1) byly zhotoveny komplexní 3D deskostěnové modely v MKP SW SCIA Engineer 2008. Výsledky na dřík a závěrnou zídku jsou nižší než níže uvedená konzervativní posouzení.

Obrázek 7-1: Model opěry OP1 (vlevo), na OP2 (vpravo)



7.1.1 Základy

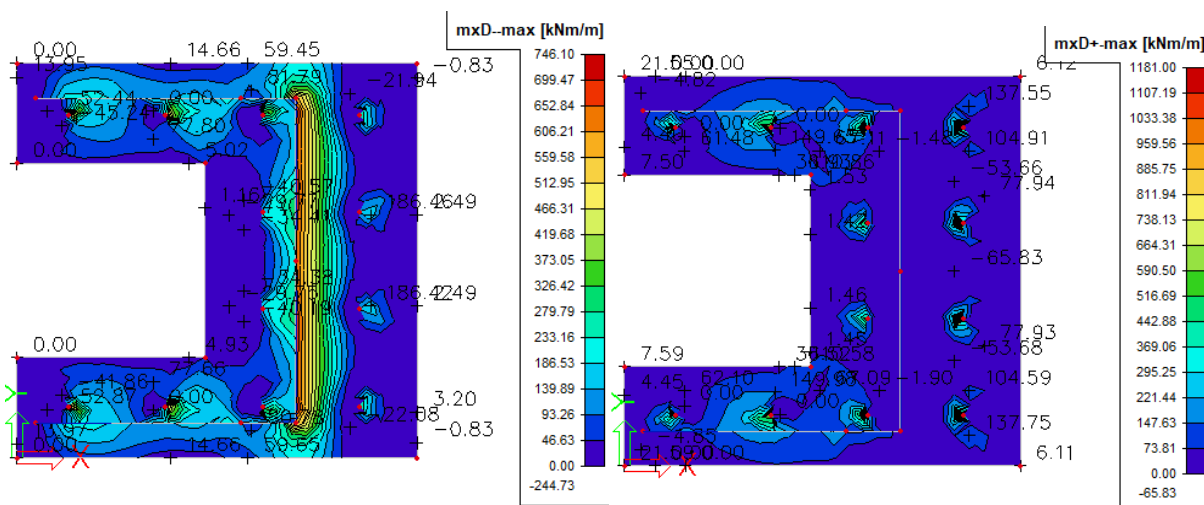
Základy byly navrženy na základě výsledků z komplexního MKP modelu.

7.1.1.1 Základ opěry OP1 – vnitřní síly

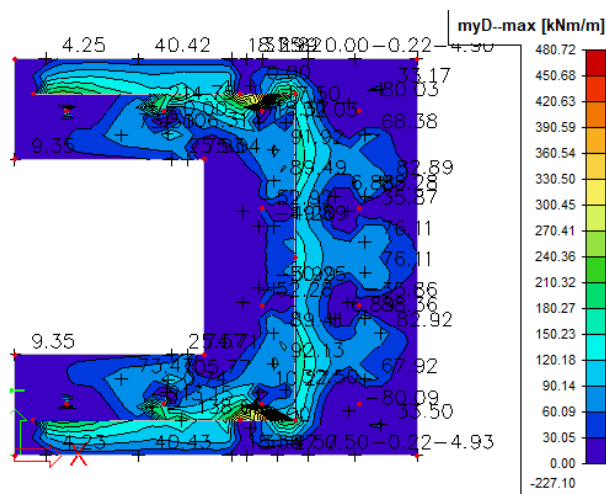
Založení opěry OP1 je realizováno skupinou 12 velkopřůměrových pilot. Návrh vyztužení ohybovou výztuží je proveden konzervativně pro extrémní dosažené hodnoty (mimo singularity). Smyková výztuž je s ohledem na geometrii opěry, kdy zatížení přechází z dříku, resp. křídel přímo do pilot navržena konstrukční z třmínků Ø16 s osovou roztečí větví max 450/450 mm.

– m_{xD-} (spodní – směr mostu)

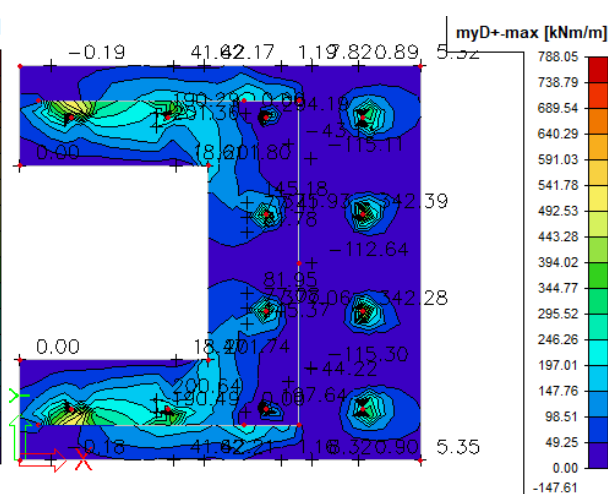
– m_{xD+} (horní – směr mostu)



– my_D (spodní – kolmo na most)



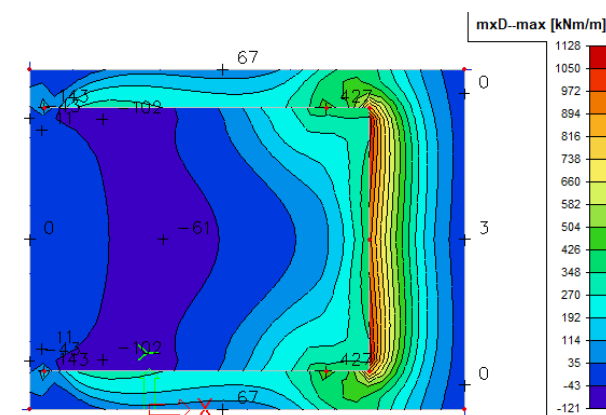
- my_{D+} (horní – kolmo na most)



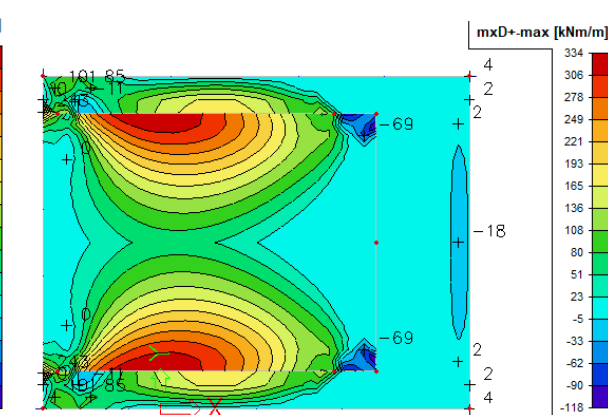
7.1.1.2 Základ opěry OP2 – vnitřní síly

Založení opěry OP2 je plošné na vrstvách rul a pararul typu R3. Návrh vyztužení ohybovou výztuží je proveden konzervativně pro extrémní dosažené hodnoty (mimo singularity). Smyková výztuž je s ohledem na tuhost podloží a mohutnost celého základu pilot navržena konstrukční z třmínků Ø16 s osovou roztečí větví max 450/450 mm.

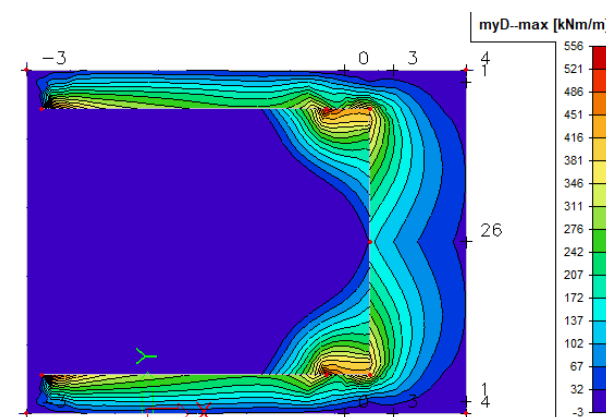
– mx_D (spodní – směr mostu)



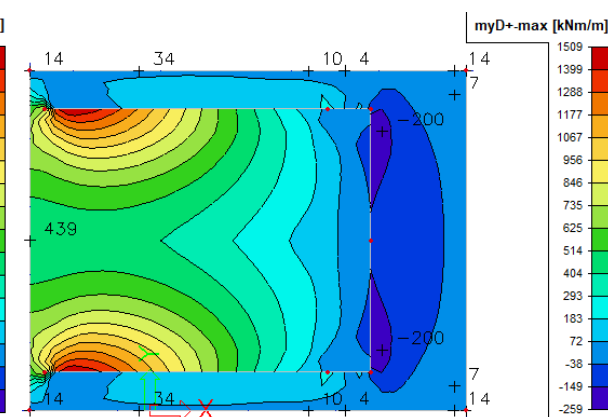
- mx_{D+} (horní – směr mostu)



– my_D (spodní – kolmo na most)



- my_{D+} (horní – kolmo na most)



- základ OP1 mxD+ (horní - směr mostu)

Základ opěry OP1 - mxD+ horní výztuž ve směru mostu									
Průřez									
b _{eff} = 1000 mm	b _w = 1000 mm	H = 1000 mm	Úprava polohy N.O.						
c ₁ = 50 mm	c ₂ = 50 mm	W _{k,max} = 0.20 mm							
Materiály									
ocel: B 500	B	beton: C25/30							
f _{yk} = 500 MPa	f _{yk} = 500 MPa	f _{ck} = 25.0 MPa							
f _{yd} = 434.8 MPa	f _{yd} = 434.8 MPa	E _{cm} = 31.0 GPa							
E _y = 200.0 GPa	E _y = 200.0 GPa	f _{td} = 15.0 MPa							
ε _{yk} = 50 [-10 ⁻³]	ε _{yk} = 50 [-10 ⁻³]	ε _{yk} = -3.5 [-10 ⁻³]							
Ohybová výztuž									
6.66667 Ø 20 mm	1. řada	A _{s1,1} = 2094 mm ²	(0.209%)						
0 Ø 20 mm	2. řada	A _{s1,2} = mm ²	(0.000%)						
0 Ø 20 mm	3. řada	A _{s1,3} = mm ²	(0.000%)						
6.66667 Ø 25 mm	z=0.079	A _{s2} = 3272 mm ²	(0.327%)						
Rozdělovací výztuž (minimální)									
9.0 Ø 8 mm	A _{s,perp} = 419 mm ²								
(pro desky)									
Smyková výztuž									
5 Ø 16 mm	A _{w,sloup} = 1005 mm ²	α _w = 90							
S _{sl,sl} = 1000 mm	A _{w,sloup} = 1005 mm ² /m ²	ρ _{w,sl} = 0.10%							
0 Ø 16 mm	A _{w,bend} = mm ²	α _b = 45							
S _{w,b} = 450 mm	ρ _{w,b} = 0.00% < ρ _{w,s} = 0.10%	Vyhovuje							
Vnitřní síly na průřezu									
M _{Ed} = 137 kNm	N _{Ed} = 0 kN	V _{Ed} = 305 kN	(MSÚ)						
Excentricita pro MSÚ:									
M _{Ed,char} = 104 kNm	N _{Ed,char} = 0 kN	e _{char} = 0.000 m							
M _{Ed,kvazi} = 72 kNm	N _{Ed,kvazi} = 0 kN	e _{k,quasi} = 0.000 m							
Štíhlostní kritérium									
l ₀ = 0.7 * 0 = 0.000 m	λ _{sl} = 0.000	λ = 0.000	L = 0.00 m						
i = √(0.083 / 1.000) = 0.289 m	λ _{sl} = 500.000	λ = 0.000	Masivní prvek						
Posouzení									
V _{red,s} = (0.12 * 1.465 * 25.0) / 0.15 = 0.000	Smyková únosnost - bez smykové výztuže								
V _{red,s} = 0.290 MN	V _{Ed,s} = 0.305 MN	105%	Nevyhovuje						
Smyková únosnost - se smykovou výztuží									
1 < cot θ = 1.428 < 2.5	θ = 35.00°	Vyhovuje							
Sklon tlakových diagonál součinitel redukce únosnosti tlak. diag.									
Dodatečná tahová síla									
ΔF _{td} = 1 * 305 * (1.428 - 0.000)	= 0.436 MN								
V _{red,max} = 0.54	Únosnost tlakové diagonály								
V _{red,st} = 1005	Únosnost třmínek								
V _{red,b} = 0	Únosnost ohybů								
Posouzení									
V _{red,s} = 0.530 MN	V _{Ed} = 0.305 MN	58%	Vyhovuje						

Stavení napjatosti průřezu na MSÚ (M+N+V)									
Přetvoření betonu v tlaku			e _o = -0.119 [-10 ⁻³]		Úprava polohy N.O.				
excentricita tlačných vláken			e _{st} = 0.218 m						
vzdálenost N.O. od spodních vláken			e _z = 0.782 m						
Sílová podmínka rovnováhy celkem			0.0009 MN		Sílová podmínka vyhovuje				
Momentová podm. rovnováhy M _{Ed} =			0.137 MNm		rameno vnitřních sil z = 0.850 m				
Interakce ohybového a smykového namáhání									
Síla M [MN]	Síla V [MN]	G _{max} [MPa]	ε _{max} [-10 ⁻³]	Posouzení					
Beton	-0.111	-	-1.017	-0.1	Max.přetvoření betonu vyhovuje				
Výztuž (1)	0.161	0.170	158.2	0.8	Max.přetvoření výztuže vyhovuje				
Výztuž (2)	0.000	0.000	0.0	0.0	Max.přetvoření výztuže vyhovuje				
Výztuž (3)	0.000	0.000	0.0	0.0	Max.přetvoření výztuže vyhovuje				
Výztuž tl.	-0.050	0.266	66.0	0.3	Max.přetvoření výztuže vyhovuje				
Posouzení - beton			f _{td} = 15.000 MPa	>	σ _{oc} = 1.017 MPa	7%	Vyhovuje		
Posouzení - ocel			f _{sd} = 465.929 MPa	>	σ _s = 158.163 MPa	34%	Vyhovuje		
Poloha N.O.									
Přetvoření průřezu									
Napětí v betonu									
Mezní stav použitelnosti - omezení napětí									
Posouzení - beton			0.6.f _{tk} = 15.000 MPa	>	σ _{oc} = 0.577 MPa	4%	Vyhovuje		
Posouzení - ocel			0.8.f _{yk} = 400.000 MPa	>	σ _{s,max} = 3.201 MPa	1%	Vyhovuje		
Napětí v betonu									
Poloha N.O.									
Mezní stav použitelnosti - výpočet trhlin									
Posouzení - beton			0.45.f _{tk} = 11.250 MPa	>	σ _{oc} = 0.400 MPa	4%	lim.dotav		
Napětí v oceli			σ _{s,max} = 2.216 MPa	Ano					
ε _{sm} -ε _{cm} = (2.216 - 0.4 * 235.8676) / 200.0 = -0.0005			Dlouhodobé účinky:						
ε _{sm} -ε _{cm} = 0.6 * 2.216 / 200.0 = 6.65E-06			ε _{sm} -ε _{cm} = 0.00001						
S _{l,max} = 1.77996 * 66 + 0.17 * 1814.366 = 426 mm									
w _k = 426 * 6.65E-06 = 0.000 mm			Trhliny nevznikají						
Posouzení			w _{k,max} = 0.200 mm	>	σ _{td} = 0.405 MPa	4%	Vyhovuje		

[illegible]

- základ OP1 myD+ (horní - kolmo na most)

Základ opěry OP1 - myD+ horní výztuž kolmo na most									
Průřez									
b _{eff} = 1000 mm	b _w = 1000 mm	H = 1000 mm	XD, XS, XF						
c ₁ = 50 mm	c ₂ = 50 mm	W _{k,max} = 0.20 mm							
Materiály									
ocel: B 500	B	beton: C25/30							
f _{yk} = 500 MPa	f _{yk} = 1.15	α _{cc} = 0.9	E _{cm} = 25.0 GPa						
f _{yd} = 434.8 MPa	e _{sd} /e _{sk} = 0.9	V _c = 1.5	f _{cd} = 15.0 MPa						
E _y = 200.0 GPa	k = f _t /f _y = 1.08	α _g = 6.45	f _{ct,m} = 2.6 MPa						
e _{sk} = 50 [-10 ⁻³]	e _{sd} = -1.75	e _{sd3} = -3.5 [-10 ⁻³]							
Ohybová výztuž									
6.66667 Ø 16 mm	1. řada	A _{s1,1} = 1340 mm ²	(0.134%)						
0 Ø 20 mm	2. řada	A _{s1,2} = mm ²	(0.000%)						
0 Ø 20 mm	3. řada	A _{s1,3} = mm ²	(0.000%)						
6.66667 Ø 20 mm	A _{s2} = 2094 mm ²	(0.209%)							
Rozdělovací výztuž (minimální)									
6.0 Ø 8 mm	A _{s,perp} = 268 mm ²								
(pro desky)									
Smyková výztuž									
5 Ø 16 mm	A _{w,sloup} = 1005 mm ²	α _w = 90							
S _{sl,sl} = 1000 mm	A _{w,sloup} = 1005 mm ² /m ²	P _{w,sl} = 0.10%							
0 Ø 16 mm	A _{w,bend} = mm ²	α _b = 45							
S _{w,b} = 450 mm	P _{w,b} = 0.00% < P _{w,sl} = 0.10%	Vyhovuje							
Vnitřní síly na průřezu									
M _{Ed} = 202 kNm	N _{Ed} = 0 kN	V _{Ed} = 305 kN	(MSÚ)						
Excentricita pro MSÚ:									
M _{Ed,char} = 158 kNm	N _{Ed,char} = 0 kN	e _{char} = 0.000 m							
M _{Ed,kvazi} = 90 kNm	N _{Ed,kvazi} = 0 kN	e _{kvazi} = 0.000 m							
Střihlostní kritérium									
L ₀ = 0.7 * 0 = 0.000 m	λ _{lim} = 500.000	λ = 0.000	L = 0.00 m						
i = √(0.083 / 1.000) = 0.289 m									
Smyková únosnost - bez smykové výztuže									
V _{Ed,s} = (0.12 * 1.470 * 25.0 * 0.15 * 0.000) * 1000 = 0.247 MN									
V _{Ed,s} = 0.283 MN	V _{Ed} = 0.305 MN	108% N							
Smyková únosnost - se smykovou výztuží									
1 < cot θ = 1.428 < 2.5	θ = 35.00°								
Sklon tlakových diagonál									
součinitel redukce únosnosti tlak. diag.	v = 0.54								
Dodatečná tahová síla									
ΔF _{td} = 1 * 305 * (1.428 - 0.000) = 0.436 MN									
Únosnost tlakové diagonály									
V _{Ed,max} = 0.54	15.0 * 1000 * 835 / (0.70021 + 1.42815) = 3.179 MN								
Únosnost třmínek									
V _{Ed,st} = 1005	434.8 * 0.835 * 1.42815 / 1000 = 0.522 MN								
Únosnost ohybů									
V _{Ed,b} = 0	434.8 * 0.707 * 0.835 * 2.42815 / 450 = 0.000 MN								
V _{Ed,s} = 0.522 MN	V _{Ed} = 0.305 MN	58% N							

Stanovení napjatosti průřezu na MSÚ (M+N+V)									
Průtvoření betonu v tlaku			e _c = -0.239 [-10 ⁻³]		Úprava polohy N.O.				
excentricita tlačných vláken			e _{st} = 0.190 m						
vzdálenost N.O. od spodních vláken			e _z = 0.810 m						
Sílová podmínka rovnováhy			celkem 0.0008 MN		Sílová podmínka vyhovuje				
Momentová podm. rovnováhy			M _{Ed} = 0.202 MNm		rameno vnitřních sil z = 0.835 m				
Interakce ohybového a smykového namáhání									
Síla M [MN]	Síla V [MN]	G _{max} [MPa]	ε _{max} [-10 ⁻³]	Posouzení					
Beton	-0.194	-	-2.045	-0.2	Max.přetvoření betonu vyhovuje				
Výztuž (1)	0.242	0.170	305.8	1.5	Max.přetvoření výztuže vyhovuje				
Výztuž (2)	0.000	0.000	0.0	0.0	Max.přetvoření výztuže vyhovuje				
Výztuž (3)	0.000	0.000	0.0	0.0	Max.přetvoření výztuže vyhovuje				
Výztuž tl.	-0.047	0.265	104.3	0.5	Max.přetvoření výztuže vyhovuje				
Posouzení - beton			f _{td} = 15.000 MPa	>	σ _{cc} = 2.045 MPa	14% Vyhovuje			
Posouzení - ocel			f _{sd} = 465.929 MPa	>	σ _s = 306.790 MPa	66% Vyhovuje			
Napětí v betonu									
Poloha N.O.			Průtvoření průřezu						
Mezní stav použitelnosti - omezení napětí			Posouzení - beton 0.6.f _{ck} = 15.000 MPa > σ _{cc} = 0.906 MPa			6% Vyhovuje			
			Posouzení - ocel 0.8.f _{yk} = 400.000 MPa > σ _{s,max} = 4.948 MPa			1% Vyhovuje			
Napětí v betonu									
Poloha N.O.			Průtvoření průřezu						
Mezní stav použitelnosti - výpočet trhlin			Posouzení - beton 0.45.f _{ck} = 11.250 MPa > σ _{cc} = 0.516 MPa			5% lim.dovar			
Napětí v oceli			σ _{s,max} = 2.822 MPa			Ano			
ε _{sm} -ε _{cm} = (2.822 - 0.4 * 455.8297) / 200.0 = -0.0009									
ε _{sm} -ε _{cm} = 0.6 * 2.822 / 200.0 = 8.46E-06									
S _{l,max} = 1.49202 * 86 + 0.17 * 2805.106 = 605 mm									
w _k = 605 * 8.46E-06 = 0.000 mm									
Posouzení			w _{k,max} = 0.200 mm	>	σ _{ct} = 0.520 MPa	Trhliny nevznikají			
					w _k = 0.000 mm	Vyhovuje			

- základ OP2 mxD+ (horní - směr mostu)

Základ opěry OP1 - mxD+ horní výztuž ve směru mostu									
Průřez									
b _{eff} = 1000 mm	b _w = 1000 mm	H = 1840 mm							
c ₁ = 50 mm	c ₂ = 50 mm	W _{k,max} = 0.20 mm							
Materiály									
ocel: B 500	B	beton: C25/30							
f _{yk} = 500 MPa	f _s = 1.15	α _{cc} = 0.9	E _{cm} = 25.0 GPa						
f _{yd} = 434.8 MPa	e _{sd} /e _{sk} = 0.9	γ _c = 1.5	f _{cd} = 15.0 MPa						
E _y = 200.0 GPa	k = f _t /f _y = 1.08	α _s = 6.45	f _{ct,m} = 2.6 MPa						
e _{sk} = 50 [-10 ⁻³]	e _{s3} = -1.75	e _{s33} = -3.5 [-10 ⁻³]							
Ohybová výztuž									
6.66667 Ø 25 mm	1. řada	A _{s1,1} = 3272 mm ²	(0.178%)						
0 Ø 20 mm	2. řada	A _{s1,2} = mm ²	(0.000%)						
0 Ø 20 mm	3. řada	A _{s1,3} = mm ²	(0.000%)						
6.66667 Ø 25 mm	A _{s2} = 3272 mm ²	(0.178%)							
Rozdělovací výztuž (minimální)									
14.0 Ø 8 mm	A _{s,perp} = 654 mm ²								
(pro desky)									
Smyková výztuž									
5 Ø 16 mm	A _{w,sloup} = 1005 mm ²	α _w = 90							
S _{sl,sl} = 1000 mm	A _{w,sloup} = 1005 mm ² /m ²	p _{w,sl} = 0.10%							
0 Ø 16 mm	A _{w,bend} = mm ²	α _b = 45							
S _{w,b} = 450 mm	p _{w,b} = 0.00% < p _{w,s} = 0.10%	Vyhovuje							
Stupeň výztužení									
p _{w,s,min} < p _{w,s} < p _{w,s,max}									
0.08% 0.10% 1.00% Vyhovuje									
Vnitřní síly na průřezu									
M _{Ed} = 334 kNm	N _{Ed} = 0 kN	V _{Ed} = 305 kN	(MSÚ)						
Excentricita pro MSÚ:									
M _{Ed,char} = 259 kNm	N _{Ed,char} = 0 kN	e _{char} = 0.000 m							
M _{Ed,kvazi} = 181 kNm	N _{Ed,kvazi} = 0 kN	e _{kvazi} = 0.000 m							
Střihlostní kritérium									
L ₀ = 0.7 * 0 = 0.000 m	λ _{0m} = 500.000	λ = 0.000	L = 0.00 m						
i = √(0.519 / 1.840) = 0.531 m									
Posouzení									
V _{red,s} = (0.12 * 1.337 * (0.186 * 25.0 + 0.15 * 0.000) * 1000) * 1762 = 0.472 MN									
V _{red,s} = 0.477 MN	V _{Ed} = 0.305 MN	64%	Vyhovuje						
Smyková únosnost - se smykovou výztuží									
1 < cot θ = 1.428 < 2.5	θ = 35.00°	Vyhovuje							
Sklon tlakových diagonál									
součinitel redukce únosnosti tlak. diag.	v = 0.54								
Dodatečná tahová síla									
ΔF _{td} = 1 * 305 * (1.428 - 0.000)									
Únosnost tlakové diagonály	V _{red,max} = 0.54	15.0 * 1000 * 1642 / (0.70021 + 1.42815) = 6.247 MN							
Únosnost třmenků	V _{red,st} = 1005 * 434.8 * 1.642 * 1.42815 / 1000 = 1.025 MN								
Únosnost ohybů	V _{red,b} = 0 * 434.8 * 0.707 * 1.642 * 2.42815 / 450 = 0.000 MN								
Posouzení	V _{red,s} = 1.025 MN	V _{Ed} = 0.305 MN	30%	Vyhovuje					

Stanovení napjatosti průřezu na MSÚ (M+N+V)									
Průtvoření betonu v tlaku			e _c = -0.091 [-10 ⁻³]		Úprava polohy N.O.				
excentricita tlačných vláken			e _{s2} = 0.398 m						
vzdálenost N.O. od spodních vláken			e _{s2} = 1.442 m						
Sílová podmínka rovnováhy			celkem 0.0008 MN		Sílová podmínka vyhovuje				
Momentová podm. rovnováhy			M _{Ed} = 0.334 MNm		rameno vnitřních sil z = 1.642 m				
Interakce ohybového a smykového namáhání									
Síla M			Síla V		σ _{max}		Posouzení		
[MN]			[MN]		[MPa]		[10 ⁻³]		
Beton			-		-0.780		-0.1		Max.přetvoření betonu vyhovuje
Výztuž (1)			0.204		0.218		128.9		0.6
Výztuž (2)			0.000		0.000		0.0		0.0
Výztuž (3)			0.000		0.000		0.0		0.0
Výztuž tl.			-0.048		0.218		52.0		0.3
Posouzení - beton			f _{cd} = 15.000 MPa		σ _{cc} = 0.780 MPa		5%		Vyhovuje
Posouzení - ocel			f _{sd} = 465.929 MPa		σ _s = 128.903 MPa		28%		Vyhovuje
Napětí v betonu									
Průtvoření průřezu									
Průtvoření průřezu									
Průtvoření průřezu									
Průtvoření průřezu									
Průtvoření průřezu									
Průtvoření průřezu									
Průtvoření průřezu									
Průtvoření průřezu									
Průtvoření průřezu									
Průtvoření průřezu									
Průtvoření průřezu									
Průtvoření průřezu									
Průtvoření průřezu									
Průtvoření průřezu									
Průtvoření průřezu									
Průtvoření průřezu									
Průtvoření průřezu									
Průtvoření průřezu									
Průtvoření průřezu									
Průtvoření průřezu									
Průtvoření průřezu									
Průtvoření průřezu									
Průtvoření průřezu									
Průtvoření průřezu									
Průtvoření průřezu									
Průtvoření průřezu									
Průtvoření průřezu									
Průtvoření průřezu									
Průtvoření průřezu									
Průtvoření průřezu									
Průtvoření průřezu									
Průtvoření průřezu									
Průtvoření průřezu									
Průtvoření průřezu									
Průtvoření průřezu									
Průtvoření průřezu									
Průtvoření průřezu									
Průtvoření průřezu									
Průtvoření průřezu									
Průtvoření průřezu									
Průtvoření průřezu									
Průtvoření průřezu									
Průtvoření průřezu									
Průtvoření průřezu									
Průtvoření průřezu									
Průtvoření průřezu									
Průtvoření průřezu									
Průtvoření průřezu									
Průtvoření průřezu									
Průtvoření průřezu									
Průtvoření průřezu									
Průtvoření průřezu									
Průtvoření průřezu									
Průtvoření průřezu									
Průtvoření průřezu									
Průtvoření průřezu									
Průtvoření průřezu									
Průtvoření průřezu									
Průtvoření průřezu									
Průtvoření průřezu									
Průtvoření průřezu									
Průtvoření průřezu									
Průtvoření průřezu									
Průtvoření průřezu									
Průtvoření průřezu									
Průtvoření průřezu									
Průtvoření průřezu									
Průtvoření průřezu									
Průtvoření průřezu									
Průtvoření průřezu									
Průtvoření průřezu									
Průtvoření průřezu									
Průtvoření průřezu									
Průtvoření průřezu									
Průtvoření průřezu									
Průtvoření průřezu									
Průtvoření průřezu									
Průtvoření průřezu									
Průtvoření průřezu									
Průtvoření průřezu									
Průtvoření průřezu									
Průtvoření průřezu									
Průtvoření průřezu									
Průtvoření průřezu									
Průtvoření průřezu									
Průtvoření průřezu									
Průtvoření průřezu									
Průtvoření průřezu									
Průtvoření průřezu									
Průtvoření průřezu									
Průtvoření průřezu									
Průtvoření průřezu									
Průtvoření průřezu									
Průtvoření průřezu									
Průtvoření průřezu									
Průtvoření průřezu									
Průtvoření průřezu									
Průtvoření průřezu									
Průtvoření průřezu									
Průtvoření průřezu									
Průtvoření průřezu									
Průtvoření průřezu									
Průtvoření průřezu									
Průtvoření průřezu									
Průtvoření průřezu									
Průtvoření průřezu									
Průtvoření průřezu									
Průtvoření průřezu									
Průtvoření průřezu									
Průtvoření průřezu									
Průtvoření průřezu									
Průtvoření průřezu									
Průtvoření průřezu									
Průtvoření průřezu									
Průtvoření průřezu									
Průtvoření průřezu									
Průtvoření průřezu									
Průtvoření průřezu									
Průtvoření průřezu									
Průtvoření průřezu									
Průtvoření průřezu									
Průtvoření průřezu									
Průtvoření průřezu									
Průtvoření průřezu									
Průtvoření průřezu									
Průtvoření průřezu									
Průtvoření průřezu									
Průtvoření průřezu									
Průtvoření průřezu									
Průtvoření průřezu									
Průtvoření průřezu									
Průtvoření průřezu									
Průtvoření průřezu									
Průtvoření průřezu									
Průtvoření průřezu									
Průtvoření průřezu									
Průtvoření průřezu									
Průtvoření průřezu									
Průtvoření průřezu									
Průtvoření průřezu									
Průtvoření průřezu									
Průtvoření průřezu									
Průtvoření průřezu									
Průtvoření průřezu									
Průtvoření průřezu									
Průtvoření průřezu									
Průtvoření průřezu									
Průtvoření průřezu									
Průtvoření průřezu									
Průtvoření průřezu									
Průtvoření průřezu									
Průtvoření průřezu									
Průtvoření průřezu									
Průtvoření průřezu									
Průtvoření průřezu									
Průtvoření průřezu									
Průtvoření průřezu									
Průtvoření průřezu									
Průtvoření průřezu									
Průtvoření průřezu									
Průtvoření průřezu									
Průtvoření průřezu									
Průtvoření průřezu									
Průtvoření průřezu									
Průtvoření průřezu									
Průtvoření průřezu									
Průtvoření průřezu									
Průtvoření průřezu									
Průtvoření průřezu									
Průtvoření průřezu									
Průtvoření průřezu									
Průtvoření průřezu									
Průtvoření průřezu									
Průtvoření průřezu									
Průtvoření průřezu									

- základ OP2 my_D (spodní - kolmo na most)

Základ opěry OP1 - my _D - spodní výztuž kolmo na most									
Průřez									
b _{eff} = 1000 mm	b _w = 1000 mm	H = 1840 mm							
c ₁ = 50 mm	c ₂ = 50 mm	W _{k,max} = 0.20 mm							
Materiály									
ocel: B 500	B	beton: C25/30							
f _{yk} = 500 MPa	f _{yk} = 500 MPa	f _{ck} = 25.0 MPa							
f _{yd} = 434.8 MPa	f _{yd} = 434.8 MPa	E _{cm} = 31.0 GPa							
E _y = 200.0 GPa	E _y = 200.0 GPa	f _{ct,m} = 2.6 MPa							
ε _{yk} = 50 [-10 ⁻³]	ε _{yk} = 50 [-10 ⁻³]	ε _{yk3} = -3.5 [-10 ⁻³]							
Ohybová výztuž									
6.66667 Ø 25 mm	1. řada	A _{s1,1} = 3272 mm ²							
0 Ø 20 mm	2. řada	A _{s1,2} = mm ²							
0 Ø 20 mm	3. řada	A _{s1,3} = mm ²							
6.66667 Ø 25 mm	4. řada	A _{s2} = 3272 mm ²							
Rozdělovací výztuž (minimální)									
14.0 Ø 8 mm	A _{s,perp} = 654 mm ²								
(pro desky)									
Smyková výztuž									
5 Ø 16 mm	A _{w,sloup} = 1005 mm ²								
S _{w,sl} = 1000 mm	A _{w,sloup} = 1005 mm ² /m ²								
0 Ø 16 mm	A _{w,bend} = mm ²								
S _{w,b} = 450 mm	P _{w,b} = 0.00% < P _{w,s} = 0.10%								
Stupeň výztužení									
P _{w,s,min} < P _{w,s} < P _{w,s,max}									
0.08% 0.10% 1.00%									
Vyhovuje									
Vnitřní síly na průřezu									
M _{Ed} = 556 kNm	N _{Ed} = 0 kN	V _{Ed} = 305 kN							
Excentricita pro MSÚ:									
M _{Ed,char} = 427 kNm	N _{Ed,char} = 0 kN	e _{char} = 0.000 m							
M _{Ed,kvazi} = 316 kNm	N _{Ed,kvazi} = 0 kN	e _{kvazi} = 0.000 m							
Štíhlostní kritérium									
L ₀ = 0.7 * 0 = 0.000 m	λ _{0m} = 500.000	λ = 0.000							
i = √(0.519 / 1.840) = 0.531 m									
Posouzení									
V _{red,o} = (0.12 * 1.339 * (0.188 * 25.0 + 0.15 * 0.000) * 1000) * 1737 = 0.468 MN									
Smyková únosnost - bez smykové výztuže									
V _{red,o} = 0.471 MN	V _{Ed} = 0.305 MN	65%							
Vyhovuje									
Smyková únosnost - se smykovou výztuží									
1 < cot θ = 1.428 < 2.5	θ = 35.00°								
Sklon tlakových diagonál									
0.436 MN									
Dodatečná tahová síla									
ΔF _{td} = 1 * 305 * (1.428 - 0.000) = 0.436 MN									
Únosnost tlakové diagonály									
V _{red,max} = 0.54	15.0 * 1000 * 1611 / (0.70021 + 1.42815) = 6.132 MN								
Únosnost třímínek									
V _{red,st} = 1005 * 434.8 * 1.611 * 1.42815 / 1000 = 1.006 MN									
Únosnost ohybů									
V _{red,b} = 0 * 434.8 * 0.707 * 1.611 * 2.42815 / 450 = 0.000 MN									
Posouzení									
V _{red,s} = 1.006 MN	V _{Ed} = 0.305 MN	30%							
Vyhovuje									

Základ opěry OP1 - my _D - spodní výztuž kolmo na most									
Průřez									
b _{eff} = 1000 mm	b _w = 1000 mm	H = 1840 mm							
c ₁ = 50 mm	c ₂ = 50 mm	W _{k,max} = 0.20 mm							
Materiály									
ocel: B 500	B	beton: C25/30							
f _{yk} = 500 MPa	f _{yk} = 500 MPa	f _{ck} = 25.0 MPa							
f _{yd} = 434.8 MPa	f _{yd} = 434.8 MPa	E _{cm} = 31.0 GPa							
E _y = 200.0 GPa	E _y = 200.0 GPa	f _{ct,m} = 2.6 MPa							
ε _{yk} = 50 [-10 ⁻³]	ε _{yk} = 50 [-10 ⁻³]	ε _{yk3} = -3.5 [-10 ⁻³]							
Ohybová výztuž									
6.66667 Ø 25 mm	1. řada	A _{s1,1} = 3272 mm ²							
0 Ø 20 mm	2. řada	A _{s1,2} = mm ²							
0 Ø 20 mm	3. řada	A _{s1,3} = mm ²							
6.66667 Ø 25 mm	4. řada	A _{s2} = 3272 mm ²							
Rozdělovací výztuž (minimální)									
14.0 Ø 8 mm	A _{s,perp} = 654 mm ²								
(pro desky)									
Smyková výztuž									
5 Ø 16 mm	A _{w,sloup} = 1005 mm ²								
S _{w,sl} = 1000 mm	A _{w,sloup} = 1005 mm ² /m ²								
0 Ø 16 mm	A _{w,bend} = mm ²								
S _{w,b} = 450 mm	P _{w,b} = 0.00% < P _{w,s} = 0.10%								
Stupeň výztužení									
P _{w,s,min} < P _{w,s} < P _{w,s,max}									
0.08% 0.10% 1.00%									
Vyhovuje									
Vnitřní síly na průřezu									
M _{Ed} = 556 kNm	N _{Ed} = 0 kN	V _{Ed} = 305 kN							
Excentricita pro MSÚ:									
M _{Ed,char} = 427 kNm	N _{Ed,char} = 0 kN	e _{char} = 0.000 m							
M _{Ed,kvazi} = 316 kNm	N _{Ed,kvazi} = 0 kN	e _{kvazi} = 0.000 m							
Štíhlostní kritérium									
L ₀ = 0.7 * 0 = 0.000 m	λ _{0m} = 500.000	λ = 0.000							
i = √(0.519 / 1.840) = 0.531 m									
Posouzení									
V _{red,o} = (0.12 * 1.339 * (0.188 * 25.0 + 0.15 * 0.000) * 1000) * 1737 = 0.468 MN									
Smyková únosnost - bez smykové výztuže									
V _{red,o} = 0.471 MN	V _{Ed} = 0.305 MN	65%							
Vyhovuje									
Smyková únosnost - se smykovou výztuží									
1 < cot θ = 1.428 < 2.5	θ = 35.00°								
Sklon tlakových diagonál									
0.436 MN									
Dodatečná tahová síla									
ΔF _{td} = 1 * 305 * (1.428 - 0.000) = 0.436 MN									
Únosnost tlakové diagonály									
V _{red,max} = 0.54	15.0 * 1000 * 1611 / (0.70021 + 1.42815) = 6.132 MN								
Únosnost třímínek									
V _{red,st} = 1005 * 434.8 * 1.611 * 1.42815 / 1000 = 1.006 MN									
Únosnost ohybů									
V _{red,b} = 0 * 434.8 * 0.707 * 1.611 * 2.42815 / 450 = 0.000 MN									
Posouzení									
V _{red,s} = 1.006 MN	V _{Ed} = 0.305 MN	30%							
Vyhovuje									

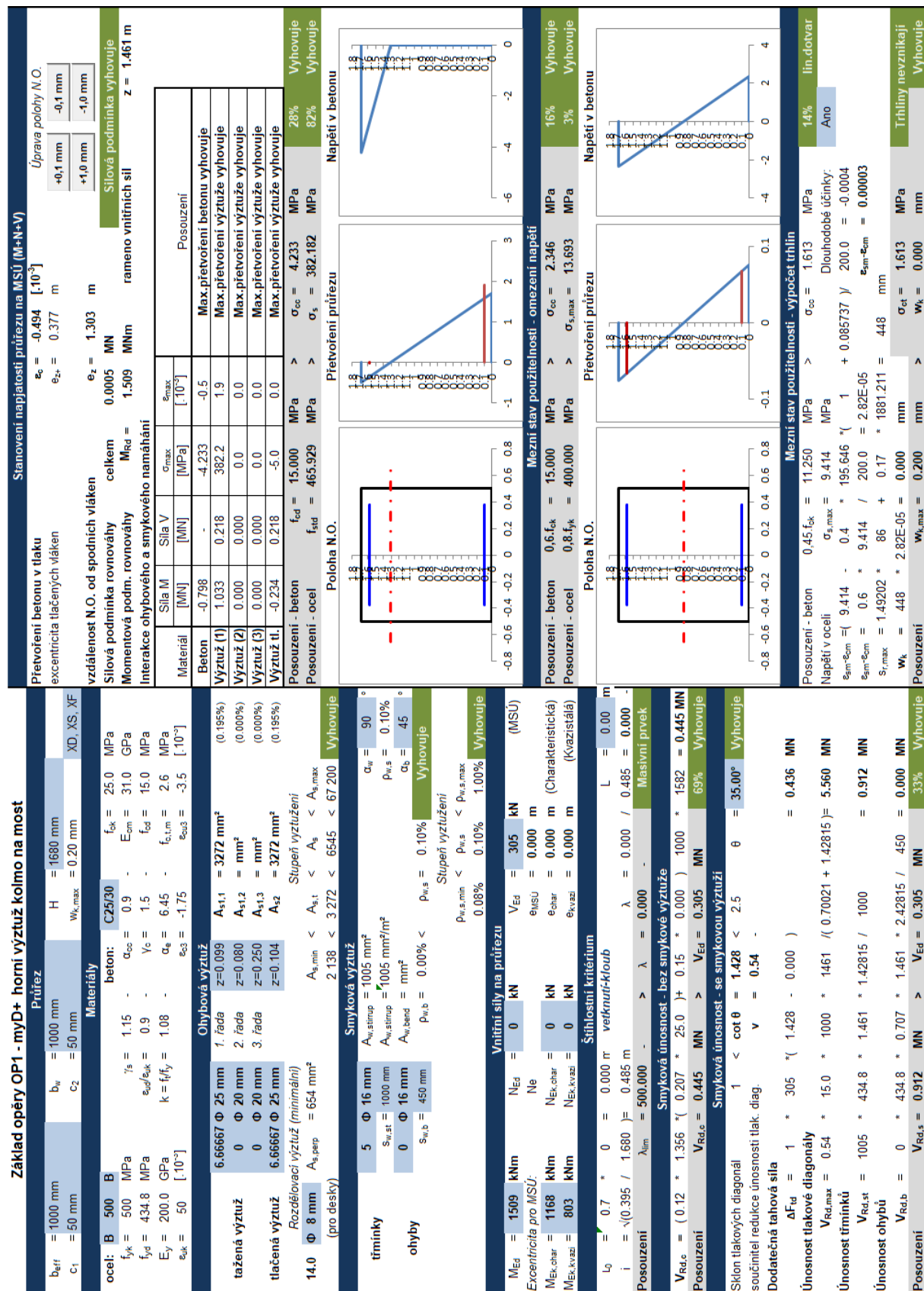
Základ opěry OP1 - my _D - spodní výztuž kolmo na most									
Průřez									
b _{eff} = 1000 mm	b _w = 1000 mm	H = 1840 mm							
c ₁ = 50 mm	c ₂ = 50 mm	W _{k,max} = 0.20 mm							
Materiály									
ocel: B 500	B	beton: C25/30							
f _{yk} = 500 MPa	f _{yk} = 500 MPa	f _{ck} = 25.0 MPa							
f _{yd} = 434.8 MPa	f _{yd} = 434.8 MPa	E _{cm} = 31.0 GPa							
E _y = 200.0 GPa	E _y = 200.0 GPa	f _{ct,m} = 2.6 MPa							
ε _{yk} = 50 [-10 ⁻³]	ε _{yk} = 50 [-10 ⁻³]	ε _{yk3} = -3.5 [-10 ⁻³]							
Ohybová výztuž									
6.66667 Ø 25 mm	1. řada	A _{s1,1} = 3272 mm ²							
0 Ø 20 mm	2. řada	A _{s1,2} = mm ²							
0 Ø 20 mm	3. řada	A _{s1,3} = mm ²							
6.66667 Ø 25 mm	4. řada	A _{s2} = 3272 mm ²							
Rozdělovací výztuž (minimální)									
14.0 Ø 8 mm	A _{s,perp} = 654 mm ²								
(pro desky)									
Smyková výztuž									
5 Ø 16 mm	A _{w,sloup} = 1005 mm ²								
S _{w,sl} = 1000 mm	A _{w,sloup} = 1005 mm ² /m ²								
0 Ø 16 mm	A _{w,bend} = mm ²								
S _{w,b} = 450 mm	P _{w,b} = 0.00% < P _{w,s} = 0.10%								
Stupeň výztužení									
P _{w,s,min} < P _{w,s} < P _{w,s,max}									
0.08% 0.10% 1.00%									
Vyhovuje									
Vnitřní síly na průřezu									
M _{Ed} = 556 kNm	N _{Ed} = 0 kN	V _{Ed} = 305 kN							
Excentricita pro MSÚ:									
M _{Ed,char} = 427 kNm	N _{Ed,char} = 0 kN	e _{char} = 0.000 m							
M _{Ed,kvazi} = 316 kNm	N _{Ed,kvazi} = 0 kN	e _{kvazi} = 0.000 m							
Štíhlostní kritérium									
L ₀ = 0.7 * 0 = 0.000 m	λ _{0m} = 500.000	λ = 0.000							
i = √(0.519 / 1.840) = 0.531 m									
Posouzení									
V _{red,o} = (0.12 * 1.339 * (0.188 * 25.0 + 0.15 * 0.000) * 1000) * 1737 = 0.468 MN									
Smyková únosnost - bez smykové výztuže									
V _{red,o} = 0.471 MN	V _{Ed} = 0.305 MN	65%							
Vyhovuje									
Smyková únosnost - se smykovou výztuží									
1 < cot θ = 1.428 < 2.5	θ = 35.00°								
Sklon tlakových diagonál									
0.436 MN									
Dodatečná tahová síla									
ΔF _{td} = 1 * 305 * (1.428 - 0.000) = 0.436 MN									
Únosnost tlakové diagonály									
V _{red,max} = 0.54	15.0 * 1000 * 1611 / (0.70021 + 1.42815) = 6.132 MN								
Únosnost třímínek									
V _{red,st} = 1005 * 434.8 * 1.611 * 1.42815 / 1000 = 1.006 MN									
Únosnost ohybů									
V _{red,b} = 0 * 434.8 * 0.707 * 1.611 * 2.42815 / 450 = 0.000 MN									
Posouzení									
V _{red,s} = 1.006 MN	V _{Ed} = 0.305 MN	30%							
Vyhovuje									

Základ opěry OP1 - my _D - spodní výztuž kolmo na most									
Průřez									
b _{eff} = 1000 mm	b _w = 1000 mm	H = 1840 mm							
c ₁ = 50 mm	c ₂ = 50 mm	W _{k,max} = 0.20 mm							
Materiály									
ocel: B 500	B	beton: C25/30							
f _{yk} = 500 MPa	f _{yk} = 500 MPa	f _{ck} = 25.0 MPa							
f _{yd} = 434.8 MPa	f _{yd} = 434.8 MPa	E _{cm} = 31.0 GPa							
E _y = 200.0 GPa	E _y = 200.0 GPa	f _{ct,m} = 2.6 MPa							
ε _{yk} = 50 [-10 ⁻³]	ε _{yk} = 50 [-10 ⁻³]	ε _{yk3} = -3.5 [-10 ⁻³]							
Ohybová výztuž									
6.66667 Ø 25 mm	1. řada	A _{s1,1} = 3272 mm ²							
0 Ø 20 mm	2. řada	A _{s1,2} = mm ²							
0 Ø 20 mm	3. řada	A _{s1,3} = mm ²							
6.66667 Ø 25 mm	4. řada	A _{s2} = 3272 mm ²							
Rozdělovací výztuž (minimální)									
14.0 Ø 8 mm	A _{s,perp} = 654 mm ²								
(pro desky)									
Smyková výztuž									
5 Ø 16 mm	A _{w,sloup} = 1005 mm ²								
S _{w,sl} = 1000 mm	A _{w,sloup} = 1005 mm ² /m ²								
0 Ø 16 mm	A _{w,bend} = mm ²								
S _{w,b} = 450 mm	P _{w,b} = 0.00% < P _{w,s} = 0.10%								
Stupeň výztužení									
P _{w,s,min} < P _{w,s} < P _{w,s,max}									
0.08% 0.10% 1.00%									
Vyhovuje									
Vnitřní síly na průřezu									
M _{Ed} = 556 kNm	N _{Ed} = 0 kN	V _{Ed} = 305 kN							
Excentricita pro MSÚ:									
M _{Ed,char} = 427 kNm	N _{Ed,char} = 0 kN	e _{char} = 0.000 m							
M _{Ed,kvazi} = 316 kNm	N _{Ed,kvazi} = 0 kN	e _{kvazi} = 0.000 m							
Štíhlostní kritérium									
L ₀ = 0.7 * 0 = 0.000 m	λ _{0m} = 500.000	λ = 0.000							
i = √(0.519 / 1.840) = 0.531 m									
Posouzení									
V _{red,o} = (0.12 * 1.339 * (0.188 * 25.0 + 0.15 * 0.000) * 1000) * 1737 = 0.468 MN									
Smyková únosnost - bez smykové výztuže									
V _{red,o} = 0.471 MN	V _{Ed} = 0.305 MN	65%							
Vyhovuje									
Smyková únosnost - se smykovou výztuží									
1 < cot θ = 1.428 < 2.5	θ = 35.00°								
Sklon tlakových diagonál									
0.436 MN									
Dodatečná tahová síla									
ΔF _{td} = 1 * 305 * (1.428 - 0.000) = 0.436 MN									
Únosnost tlakové diagonály									
V _{red,max} = 0.54	15.0 * 1000 * 1611 / (0.70021 + 1.42815) = 6.132 MN								
Únosnost třímínek									
V _{red,st} = 1005 * 434.8 * 1.611 * 1.42815 / 1000 = 1.006 MN									
Únosnost ohybů									
V _{red,b} = 0 * 434.8 * 0.707 * 1.611 * 2.42815 / 450 = 0.000 MN									
Posouzení									
V _{red,s} = 1.006 MN	V _{Ed} = 0.305 MN	30%							
Vyhovuje									

Základ opěry OP1 - my _D - spodní výztuž kolmo na most									
Průřez									
b _{eff} = 1000 mm	b _w = 1000 mm	H = 1840 mm							
c ₁ = 50 mm	c ₂ = 50 mm	W _{k,max} = 0.20 mm							
Materiály									
ocel: B 500	B	beton: C25/30							
f _{yk} = 500 MPa	f _{yk} = 500 MPa	f _{ck} = 25.0 MPa							
f _{yd} = 434.8 MPa	f _{yd} = 434.8 MPa	E _{cm} = 31.0 GPa							
E _y = 200.0 GPa	E _y = 200.0 GPa	f _{ct,m} = 2.6 MPa							
ε _{yk} = 50 [-10 ⁻³]	ε _{yk} = 50 [-10 ⁻³]	ε _{yk3} = -3.5 [-10 ⁻³]							
Ohybová výztuž									
6.66667 Ø 25 mm	1. řada	A _{s1,1} = 3272 mm ²							
0 Ø 20 mm	2. řada	A _{s1,2} = mm ²							
0 Ø 20 mm	3. řada	A _{s1,3} = mm ²							
6.66667 Ø 25 mm	4. řada	A _{s2} = 3272 mm ²							
Rozdělovací výztuž (minimální)									
14.0 Ø 8 mm	A _{s,perp} = 654 mm ²								
(pro desky)									
Smyková výztuž									
5 Ø 16 mm	A _{w,sloup} = 1005 mm ²								
S _{w,sl} = 1000 mm	A _{w,sloup} = 1005 mm ² /m ²								
0 Ø 16 mm	A _{w,bend} = mm ²								
S _{w,b} = 450 mm	P _{w,b} = 0.00% < P _{w,s} = 0.10%								
Stupeň výztužení									
P _{w,s,min} < P _{w,s} < P _{w,s,max}									
0.08% 0.10% 1.00%									
Vyhovuje									
Vnitřní síly na průřezu									
M _{Ed} = 556 kNm	N _{Ed} = 0 kN	V _{Ed} = 305 kN							
Excentricita pro MSÚ:									
M _{Ed,char} = 427 kNm	N _{Ed,char} = 0 kN	e _{char} = 0.000 m							
M _{Ed,kvazi} = 316 kNm	N _{Ed,kvazi} = 0 kN	e _{kvazi} = 0.000 m							
Štíhlostní kritérium									
L ₀ = 0.7 * 0 = 0.000 m	λ _{0m} = 500.000	λ = 0.000							
i = √(0.519 / 1.840) = 0.531 m									
Posouzení									
V _{red,o} = (0.12 * 1.339 * (0.188 * 25.0 + 0.15 * 0.000) * 1000) * 1737 = 0.468 MN									
Smyková únosnost - bez smykové výztuže									
V _{red,o} = 0.471 MN	V _{Ed} = 0.305 MN	65%							
Vyhovuje									
Smyková únosnost - se smykovou výztuží									
1 < cot θ = 1.428 < 2.5	θ = 35.00°								
Sklon tlakových diagonál									
0.436 MN									
Dodatečná tahová síla									
ΔF _{td} = 1 * 305 * (1.428 - 0.000) = 0.436 MN									
Únosnost tlakové diagonály									
V _{red,max} = 0.54	15.0 * 1000 * 1611 / (0.70021 + 1.42815) = 6.132 MN								
Únosnost třímínek									
V _{red,st} = 1005 * 434.8 * 1.611 * 1.42815 / 1000 = 1.006 MN									
Únosnost ohybů									
V _{red,b} = 0 * 434.8 * 0.707 * 1.611 * 2.42815 / 450 = 0.000 MN									
Posouzení									
V _{red,s} = 1.006 MN	V _{Ed} = 0.305 MN	30%							
Vyhovuje									

Základ opěry OP1 - my _D - spodní výztuž kolmo na most									
Průřez									
b _{eff} = 1000 mm	b _w = 1000 mm	H = 1840 mm							
c ₁ = 50 mm	c ₂ = 50 mm	W _{k,max} = 0.20 mm							
Materiály									
ocel: B 500	B	beton: C25/30							
f _{yk} = 500 MPa	f _{yk} = 500 MPa	f _{ck} = 25.0 MPa							
f _{yd}									

- základ OP2 myD+ (horní - kolmo na most)



7.1.2 Dřík opěr

Dřík a závěrná zídka jsou s ohledem na jejich tuhost posouzeny na průměrný výsek o šířce 1,0 m. Uvažované zatížení za rubem od zemního tlaku LM71. S ohledem na masivnost konstrukce se předpokládá účinnost zatížení na celou šířku dříku. Tomu odpovídá hodnota zatížení na metr čtvereční 29,1 kN/m² (pro OP1 - $1000 \cdot 1,1 / 6,4 / 5,9 = 29,1$ kN/m², resp. 26,4 kN/m² (pro OP2 - $1000 \cdot 1,1 / 6,4 / 6,5 = 26,4$ kN/m²). Zatížení je uvažováno k pracovní spáře základ - dřík.

ZVÝŠENÍ ZEMNÍHO TLAKU OD PŘÍTIŽENÍ ZA OPĚROU - TLAK V KLIDU - OP1							
GEOMETRIE KONSTRUKCE							
Výška opěry:	H=	5.20	m	Typ přitížení:	Pásové		
Výška zásypu:	H _z =	5.20	m	Velikost přitížení:	f _z =	29.13	kN/m ²
Výška zásypu nad opěrou:	H _r =	0.00	m	Počátek působíště	x=	0.00	m
				Délka zatížení	b=	6.40	m
PARAMETRY ZEMINY							
Objemová hmotnost:	γ=	20.00	kN/m ³	Úhel vnitřního tření:	φ _{ef} =	35.50	°
Součinitel zatížení - stálé	γ _F =	1.35	-	Materiálový součinitel:	γ _φ =	1.25	-
Součinitel zatížení - nahodilé	γ _F =	1.45	-	Návrhový úhel vnitř. tření:	φ _σ =	29.71	°
PARAMETRY VÝPOČTU DLE EN 1997							
Návrhový přístup:	Přístup 2 - redukce zatížení						
CELKOVÉ VÝSLEDKY ZEMNÍCH TLAKŮ							
Výslednice od zeminy	F _z =	153.06	kN/m'	Působíště výslednice shora	r _z =	3.47	m
Moment v ZS od zeminy	M _p =	265.32	kNm/m'	Rameno k patě opěry	r=	1.73	m
Výslednice od přitížení	F _p =	85.02	kN	Působíště výslednice shora	r _p =	2.46	m
Moment v ZS od přitížení	M _p =	233.06	kNm	Rameno k patě opěry	r=	2.74	m
VÝSLEDKY SIL PŮSOBÍCÍCH NA OPĚRU							
Výslednice od zeminy	F _z =	153.06	kN/m'	Působíště výslednice shora	r _z =	3.47	m
Moment v ZS od zeminy	M _p =	265.32	kNm/m'	Rameno k patě opěry	r=	1.73	m
Výslednice od přitížení	F _p =	85.02	kN	Působíště výslednice shora	r _p =	2.46	m
Moment v ZS od přitížení	M _p =	233.06	kNm	Rameno k patě opěry	r=	2.74	m
GRAFICKÉ ZOBRAZENÍ							
ZEMNÍ TLAK OD PŘÍTIŽENÍ				ZEMNÍ TLAK OD ZEMINY / CELKEM			

ZVÝŠENÍ ZEMNÍHO TLAKU OD PŘÍTÍŽENÍ ZA OPĚROU - TLAK V KLIDU - OP1

GEOMETRIE KONSTRUKCE

Výška opěry:	H=	5.20	m	Typ přitížení:	Pásové	
Výška zásypu:	H _z =	5.20	m	Velikost přitížení:	f _t =	14.92 kN/m2
Výška zásypu nad opěrou:	H _r =	0.00	m	Počátek působení	x=	6.40 m
				Délka zatížení	b=	100.00 m

PARAMETRY ZEMINY

Objemová hmotnost:	$\gamma =$	20.00	kN/m ³	Úhel vnitřního tření:	$\varphi_{ef} =$ 35.50 °
Součinitel zatížení - stálé	$\gamma_F =$	1.35	-	Materiálový součinitel:	$\gamma_\varphi =$ 1.25 -
Součinitel zatížení - nahodilé	$\gamma_F =$	1.45	-	Návrhový úhel vnitř. tření:	$\varphi_d =$ 29.71 °

PARAMETRY VÝPOČTU DLE EN 1997

Návrhový přístup:	Přístup 2 - redukce zatížení
-------------------	------------------------------

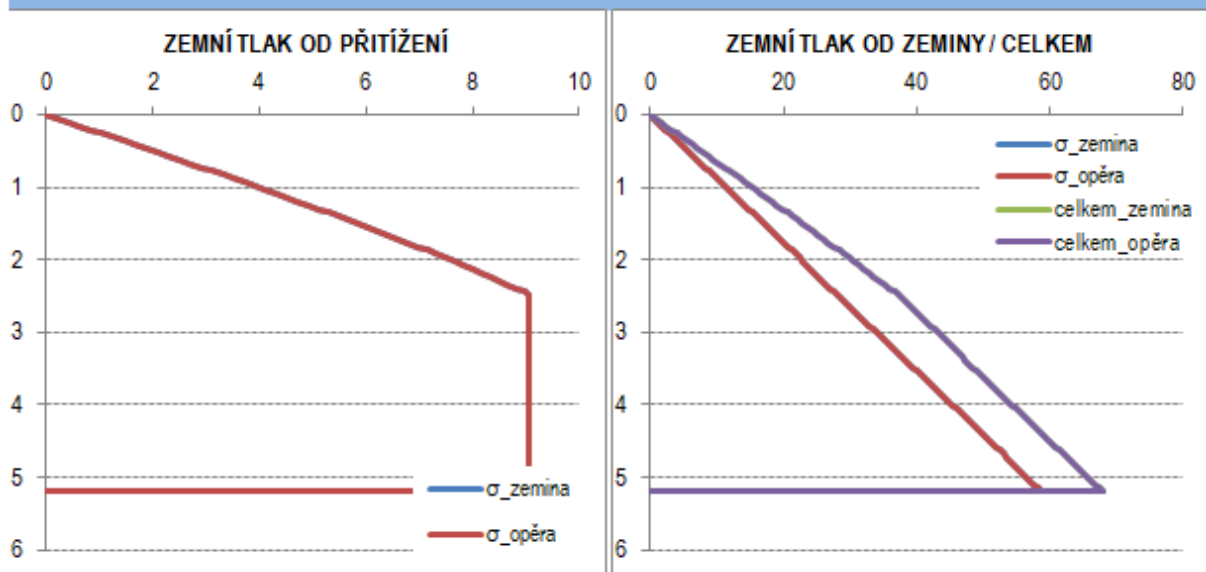
CELKOVÉ VÝSLEDKY ZEMNÍCH TLAKŮ

Výslednice od zeminy	$F_z =$	153.06	kN/m'	Působíště výslednice shora	$r_z =$ 3.47 m
Moment v ZS od zeminy	$M_p =$	265.32	kNm/m'	Rameno k patě opěry	$r =$ 1.73 m
Výslednice od přitížení	$F_p =$	36.49	kN	Působíště výslednice shora	$r_p =$ 3.13 m
Moment v ZS od přitížení	$M_p =$	75.68	kNm	Rameno k patě opěry	$r =$ 2.07 m

VÝSLEDKY SIL PŮSOBÍCÍCH NA OPĚRU

Výslednice od zeminy	$F_z =$	153.06	kN/m'	Působíště výslednice shora	$r_z =$ 3.47 m
Moment v ZS od zeminy	$M_p =$	265.32	kNm/m'	Rameno k patě opěry	$r =$ 1.73 m
Výslednice od přitížení	$F_p =$	36.49	kN	Působíště výslednice shora	$r_p =$ 3.13 m
Moment v ZS od přitížení	$M_p =$	75.68	kNm	Rameno k patě opěry	$r =$ 2.07 m

GRAFICKÉ ZOBRAZENÍ



K vnitřním silám od přetížení za opěrou jsou uvažovány reakce z nosné konstrukce viz souhrn ložisek.

VNITŘNÍ SÍLY NA DŘÍKU OP1

geometrie závěrné zidky					
výška dříku k ložisku:	H=	2.87	m	šířka dříku:	B= 2.40 m
šířka dříku opěry:	B=	5.90	m	průřezová plocha dříku:	A= 7.715 m ²
úhel roznášení v betonu:	φ=	30.00	°	excentricita dříku k ose:	e _G = -0.140 m
vlastní tíha dříku:	G=	192.86	kN/m'	excentricita ložiska k ose:	e _L = 0.60 m
moment od vlastní tíhy:	M _G =	-27.00	kN/m'		
zatížení zeminou (charakteristické hodnoty)					
vodorovná síla od zásypu:	F _z =	113.00	kN/m'	moment od zásypu:	M _z = 196.00 kNm/m'
přetížení od dopravy (charakteristické hodnoty)					
vodorovná síla:	F _z =	83.80	kN/m'	moment:	M _z = 212.93 kNm/m'
reakce z nosné konstrukce					
svislá reakce - MSÚ:	R _{z,Ed} =	4.52	MN	svislá reakce - char:	R _{z,Ek} = 3.56 MN
vodorovná reakce - MSÚ:	R _{x,Ed} =	0.18	MN	vodorovná reakce - char:	R _{x,Ek} = 0.12 MN
moment - MSÚ:	M _{Ed} =	548.93	kNm/m'	moment - char:	M _{EK} = 407.65 kNm/m'
svislá reakce - kvazi:	R _{z,quasi} =	2.05	MN		
vodorovná reakce - kvazi:	R _{x,quasi} =	0.08	MN	moment - kvazi:	M _{quasi} = 236.93 kNm/m'
Celkové účinky					
kombinační souč. stálého zat.	ξψ=	1.35	-	kombinační souč. dopravy:	ξψ= 1.45 -
MSÚ (6.10b)					
posouvající síla:	Q=	305.08	kN/m'	normálová síla:	N= 1027.14 kN/m'
				ohybový moment:	M= 1085.83 kN/m'
Charakteristická kombinace (6.14)					
normálová síla:	N=	796.76	kN/m'	ohybový moment:	M= 789.58 kN/m'
Kvazistálá kombinace (6.16)					
normálová síla:	N=	539.47	kN/m'	ohybový moment:	M= 405.93 kN/m'

S ohledem na nízká namáhání a robustnost průřezu bude do opěry navržena konstrukční výztuž splňující podmínky minimálního vyztužení dle 9.6.2 (1) ČSN EN 1992-1-1 (minimálně Ø20 à 150 mm při obou površích).

[illegible]

ZVÝŠENÍ ZEMNÍHO TLAKU OD PŘÍTIŽENÍ ZA OPĚROU - TLAK V KLIDU - OP2

GEOMETRIE KONSTRUKCE

Výška opěry:	H=	8.00	m	Typ přitížení:	Pásové	
Výška zásypu:	H _z =	8.00	m	Velikost přitížení:	f _t =	26.44 kN/m2
Výška zásypu nad opěrou:	H _r =	0.00	m	Počátek působení	x=	0.00 m
				Délka zatížení	b=	6.40 m

PARAMETRY ZEMINY

Objemová hmotnost:	$\gamma =$	20.00	kN/m ³	Úhel vnitřního tření:	$\varphi_{ef} =$ 35.50 °
Součinitel zatížení - stálé	$\gamma_F =$	1.35	-	Materiálový součinitel:	$\gamma_\varphi =$ 1.25 -
Součinitel zatížení - nahodilé	$\gamma_F =$	1.45	-	Návrhový úhel vnitř. tření:	$\varphi_d =$ 29.71 °

PARAMETRY VÝPOČTU DLE EN 1997

Návrhový přístup:	Přístup 2 - redukce zatížení
-------------------	------------------------------

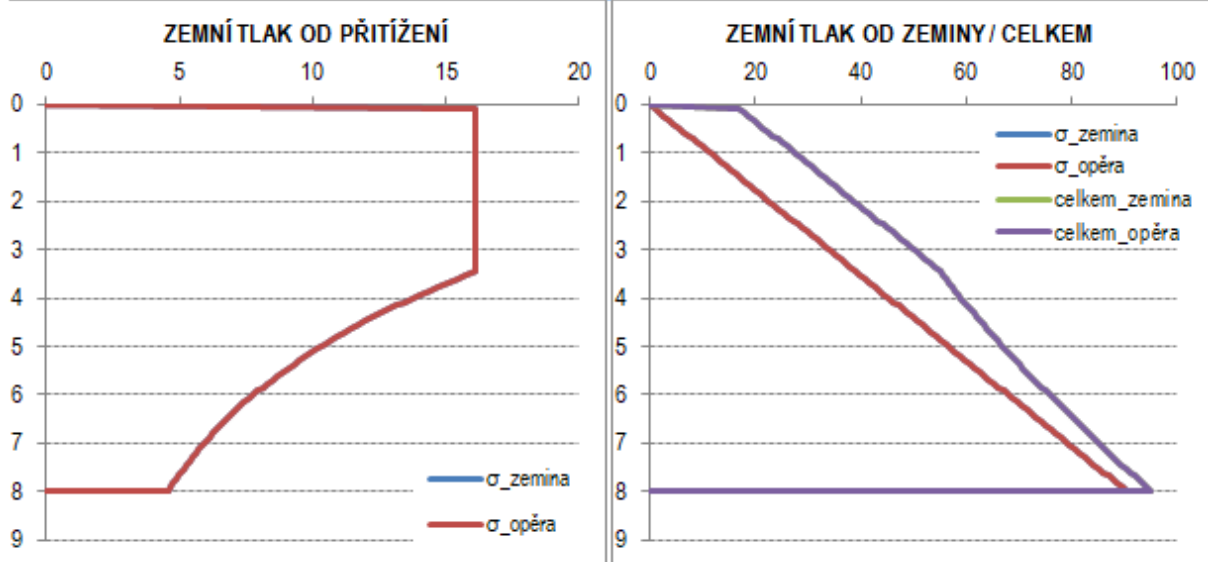
CELKOVÉ VÝSLEDKY ZEMNÍCH TLAKŮ

Výslednice od zeminy	$F_z =$	362.27	kN/m'	Působíště výslednice shora	$r_z =$ 5.33 m
Moment v ZS od zeminy	$M_p =$	966.11	kNm/m'	Rameno k patě opěry	$r =$ 2.67 m
Výslednice od přitížení	$F_p =$	95.93	kN	Působíště výslednice shora	$r_p =$ 3.25 m
Moment v ZS od přitížení	$M_p =$	455.76	kNm	Rameno k patě opěry	$r =$ 4.75 m

VÝSLEDKY SIL PŮSOBÍCÍCH NA OPĚRU

Výslednice od zeminy	$F_z =$	362.27	kN/m'	Působíště výslednice shora	$r_z =$ 5.33 m
Moment v ZS od zeminy	$M_p =$	966.11	kNm/m'	Rameno k patě opěry	$r =$ 2.67 m
Výslednice od přitížení	$F_p =$	95.93	kN	Působíště výslednice shora	$r_p =$ 3.25 m
Moment v ZS od přitížení	$M_p =$	455.76	kNm	Rameno k patě opěry	$r =$ 4.75 m

GRAFICKÉ ZOBRAZENÍ



ZVÝŠENÍ ZEMNÍHO TLAKU OD PŘÍTÍŽENÍ ZA OPĚROU - TLAK V KLIDU - OP2

GEOMETRIE KONSTRUKCE

Výška opěry:	$H=$	8.00	m	Typ přitížení:	Pásové
Výška zásypu:	$H_z=$	8.00	m	Velikost přitížení:	$f_z=$ 13.54 kN/m ²
Výška zásypu nad opěrou:	$H_f=$	0.00	m	Počátek působení	$x=$ 6.40 m
				Délka zatížení	$b=$ 100.00 m

PARAMETRY ZEMINY

Objemová hmotnost	$\gamma=$	20.00	kN/m ³	Úhel vnitřního tření:	$\varphi_{ef}=$ 35.50 °
Součinitel zatížení - stálé	$\gamma_F=$	1.35	-	Materiálový součinitel:	$\gamma_\varphi=$ 1.25 -
Součinitel zatížení - nahodilé	$\gamma_F=$	1.45	-	Návrhový úhel vnitř. tření:	$\varphi_d=$ 29.71 °

PARAMETRY VÝPOČTU DLE EN 1997

Návrhový přístup:	Přístup 2 - redukce zatížení
-------------------	------------------------------

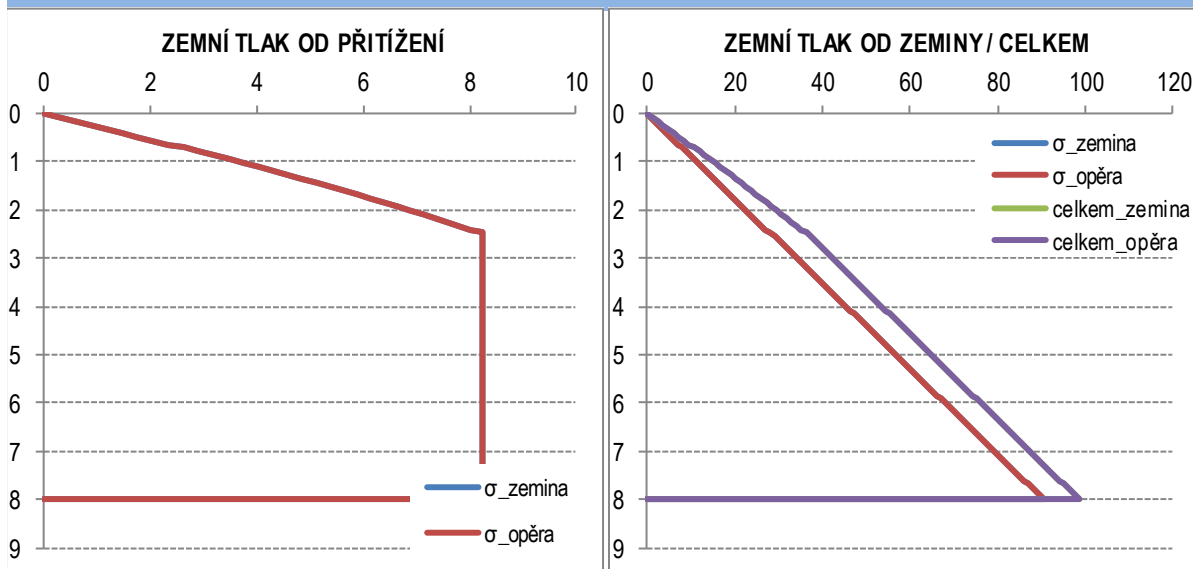
CELKOVÉ VÝSLEDKY ZEMNÍCH TLAKŮ

Výslednice od zeminy	$F_z=$	362.27	kN/m'	Působíště výslednice shora	$r_z=$	5.33	m
Moment v ZS od zeminy	$M_p=$	966.11	kNm/m'	Rameno k patě opěry	$r=$	2.67	m
Výslednice od přitížení	$F_p=$	56.17	kN	Působíště výslednice shora	$r_p=$	4.55	m
Moment v ZS od přitížení	$M_p=$	193.71	kNm	Rameno k patě opěry	$r=$	3.45	m

VÝSLEDKY SIL PŮSOBÍCÍCH NA OPĚRU

Výslednice od zeminy	$F_z=$	362.27	kN/m'	Působíště výslednice shora	$r_z=$	5.33	m
Moment v ZS od zeminy	$M_p=$	966.11	kNm/m'	Rameno k patě opěry	$r=$	2.67	m
Výslednice od přitížení	$F_p=$	56.17	kN	Působíště výslednice shora	$r_p=$	4.55	m
Moment v ZS od přitížení	$M_p=$	193.71	kNm	Rameno k patě opěry	$r=$	3.45	m

GRAFICKÉ ZOBRAZENÍ



K vnitřním silám od přetížení za opěrou jsou uvažovány reakce z nosné konstrukce viz souhrn ložisek.

VNITŘNÍ SÍLY NA DŘÍKU OP2

geometrie závěrné zidky					
výška dříku k ložisku:	H=	5.57	m	šířka dříku:	B= 2.40 m
šířka dříku opěry:	B=	6.50	m	průřezová plocha dříku:	A= 14.310 m ²
úhel roznášení v betonu:	φ =	30.00	°	excentricita dříku k ose:	e_G = -0.079 m
vlastní tíha dříku:	G=	357.74	kN/m'	excentricita ložiska k ose:	e_L = 0.60 m
moment od vlastní tíhy:	M_G =	-28.26	kN/m'		
zatížení zemínou (charakteristické hodnoty)					
vodorovná síla od zásypu:	F_z =	268.35	kN/m'	moment od zásypu:	M_z = 715.64 kNm/m'
přetížení od dopravy (charakteristické hodnoty)					
vodorovná síla:	F_z =	104.90	kN/m'	moment:	M_z = 447.91 kNm/m'
reakce z nosné konstrukce					
svislá reakce - MSÚ:	$R_{z,Ed}$ =	4.52	MN	svislá reakce - char:	$R_{z,EK}$ = 3.56 MN
vodorovná reakce - MSÚ:	$R_{x,Ed}$ =	0.18	MN	vodorovná reakce - char:	$R_{x,EK}$ = 0.12 MN
moment - MSÚ:	M_{Ed} =	574.28	kNm/m'	moment - char:	M_{EK} = 376.34 kNm/m'
svislá reakce - kvazi:	$R_{z,quasi}$ =	2.05	MN		
vodorovná reakce - kvazi:	$R_{x,quasi}$ =	0.08	MN	moment - kvazi:	M_{quasi} = 219.10 kNm/m'
Celkové účinky					
kombinační souč. stálého zat.	$\xi\psi$ =	1.35	-	kombinační souč. dopravy:	$\xi\psi$ = 1.45 -
MSÚ (6.10b)					
posouvající síla:	Q=	542.53	kN/m'	normálová síla:	N= 1178.95 kN/m'
				ohybový moment:	M= 2151.71 kN/m'
Charakteristická kombinace (6.14)					
normálová síla:	N=	905.90	kN/m'	ohybový moment:	M= 1511.63 kN/m'
Kvazistálá kombinace (6.16)					
normálová síla:	N=	672.36	kN/m'	ohybový moment:	M= 906.48 kN/m'

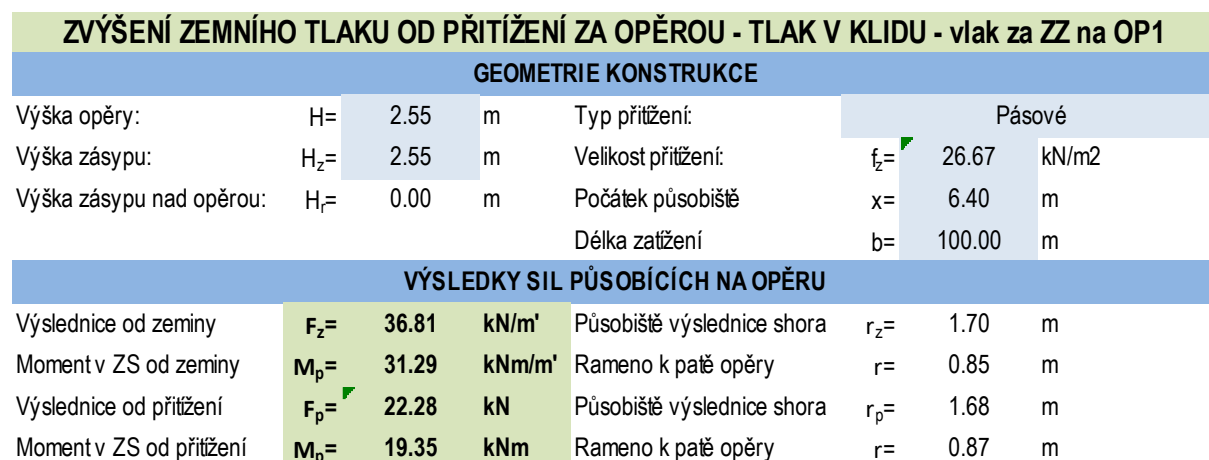
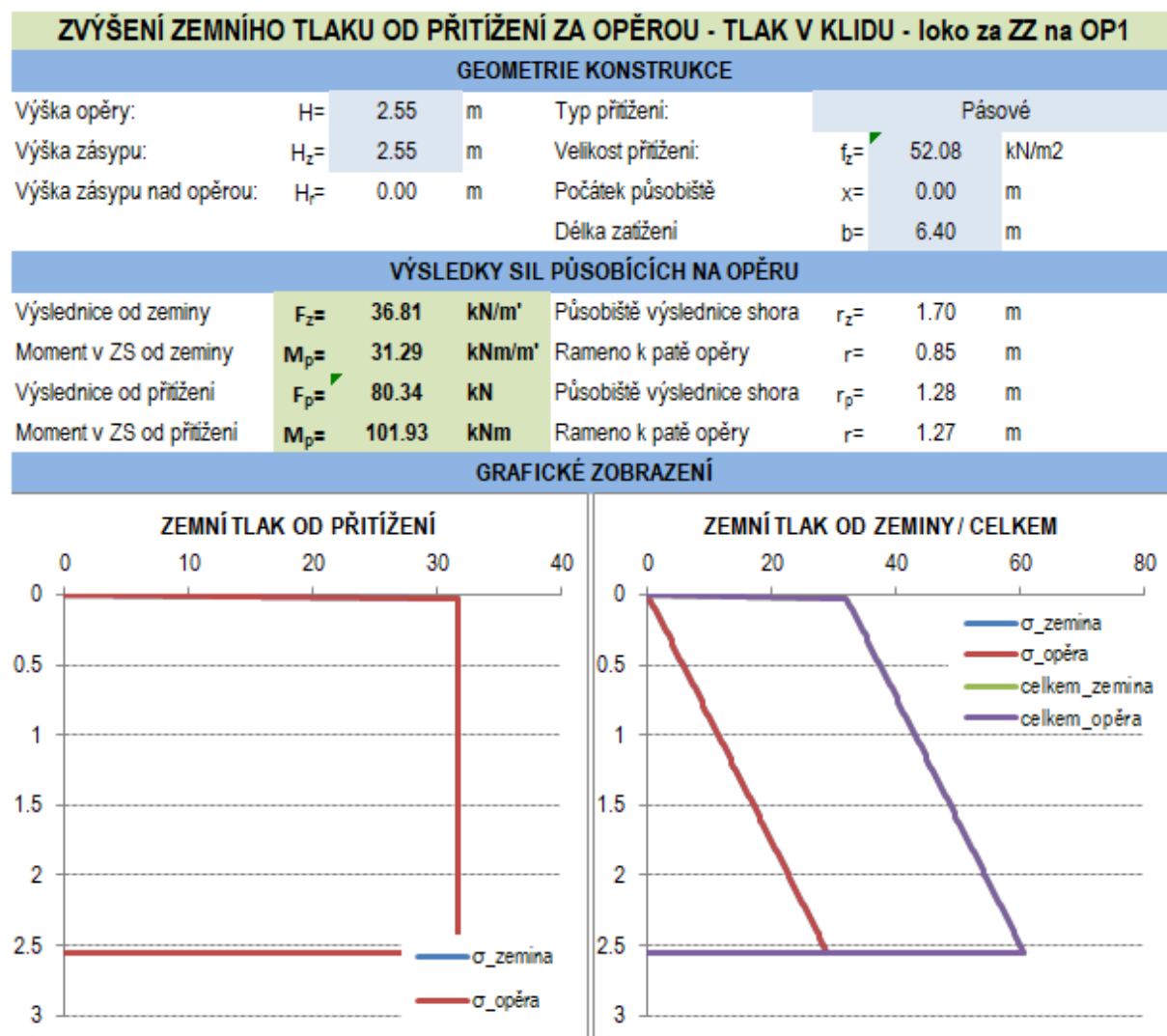
S ohledem na nízká namáhání a robustnost průřezu bude do opěry navržena konstrukční výztuž splňující podmínky minimálního vyztužení dle 9.6.2 (1) ČSN EN 1992-1-1 (minimálně Ø20 à 150 mm při obou površích).

- dřík OP2

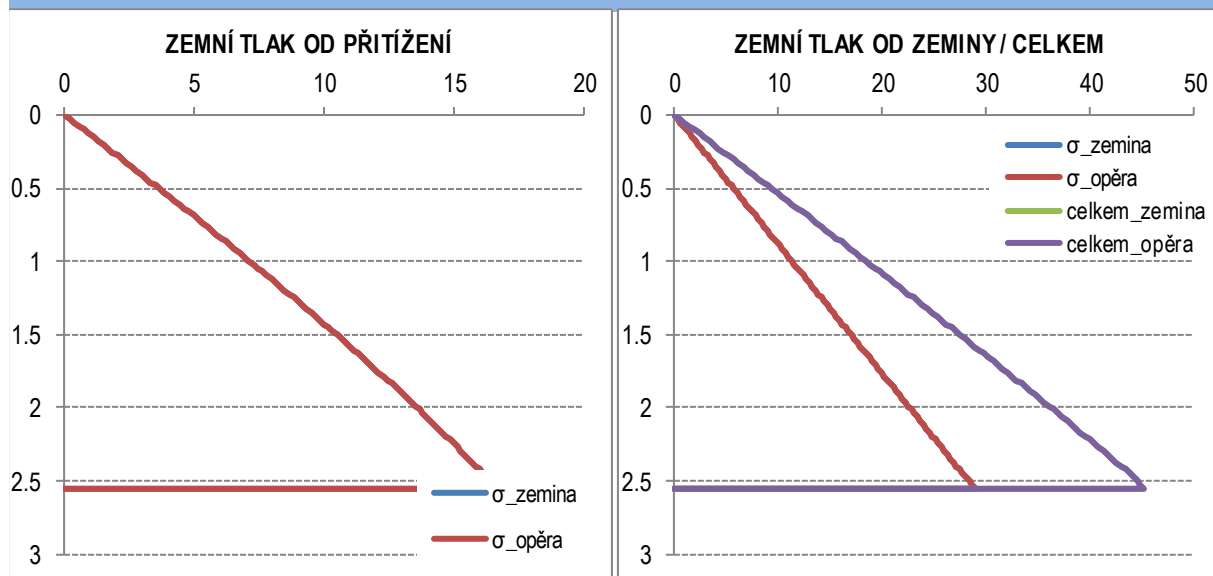
Dřík opěry OP2																								
Průřez																								
b _{eff} = 1000 mm	b _w = 1000 mm	H = 2400 mm																						
c ₁ = 50 mm	c ₂ = 50 mm	W _{k,max} = 0.20 mm																						
Materiály																								
ocel: B 500	B	beton: C30/37																						
f _{yk} = 500 MPa	f _{yk} = 500 MPa	f _{ck} = 30.0 MPa																						
f _{yd} = 434.8 MPa	f _{yd} = 434.8 MPa	E _{cm} = 33.0 GPa																						
E _s = 200.0 GPa	E _s = 200.0 GPa	f _{td} = 18.0 MPa																						
ε _{s,k} = 50 [-10 ⁻³]	ε _{s,k} = 50 [-10 ⁻³]	f _{ct,m} = 2.9 MPa																						
		ε _{ck} = -1.75																						
Ohybová výtěž																								
1. řada z=0.073																								
2. řada z=0.080																								
3. řada z=0.250																								
4. řada z=0.073																								
Rozdělovací výtěž (minimální)																								
14.0 Ø 8 mm	A _{s,perp} = 654 mm ²																							
(pro desky)																								
Smyková výtěž																								
1. řada z=0.073																								
2. řada z=0.080																								
3. řada z=0.250																								
4. řada z=0.073																								
Stupeň výtěžení																								
dle 9.6.2																								
Smyková výtěž																								
1. řada z=0.073																								
2. řada z=0.080																								
3. řada z=0.250																								
4. řada z=0.073																								
Stupeň výtěžení																								
dle 9.6.2																								
Smyková výtěž																								
1. řada z=0.073																								
2. řada z=0.080																								
3. řada z=0.250																								
4. řada z=0.073																								
Stupeň výtěžení																								
dle 9.6.2																								
Smyková výtěž																								
1. řada z=0.073																								
2. řada z=0.080																								
3. řada z=0.250																								
4. řada z=0.073																								
Stupeň výtěžení																								
dle 9.6.2																								
Smyková výtěž																								
1. řada z=0.073																								
2. řada z=0.080																								
3. řada z=0.250																								
4. řada z=0.073																								
Stupeň výtěžení																								
dle 9.6.2																								
Smyková výtěž																								
1. řada z=0.073																								
2. řada z=0.080																								
3. řada z=0.250																								
4. řada z=0.073																								
Stupeň výtěžení																								
dle 9.6.2																								
Smyková výtěž																								
1. řada z=0.073																								
2. řada z=0.080																								
3. řada z=0.250																								
4. řada z=0.073																								
Stupeň výtěžení																								
dle 9.6.2																								
Smyková výtěž																								
1. řada z=0.073																								
2. řada z=0.080																								
3. řada z=0.250																								
4. řada z=0.073																								
Stupeň výtěžení																								
dle 9.6.2																								
Smyková výtěž																								
1. řada z=0.073																								
2. řada z=0.080																								
3. řada z=0.250																								
4. řada z=0.073																								
Stupeň výtěžení																								
dle 9.6.2																								
Smyková výtěž																								
1. řada z=0.073																								
2. řada z=0.080																								
3. řada z=0.250																								
4. řada z=0.073																								
Stupeň výtěžení																								
dle 9.6.2																								
Smyková výtěž																								
1. řada z=0.073																								
2. řada z=0.080																								
3. řada z=0.250																								
4. řada z=0.073																								
Stupeň výtěžení																								
dle 9.6.2																								
Smyková výtěž																								
1. řada z=0.073																								
2. řada z=0.080																								
3. řada z=0.250																								
4. řada z=0.073																								
Stupeň výtěžení																								
dle 9.6.2																								
Smyková výtěž																								
1. řada z=0.073																								
2. řada z=0.080																								
3. řada z=0.250																								
4. řada z=0.073																								
Stupeň výtěžení																								
dle 9.6.2																								
Smyková výtěž																								
1. řada z=0.073																								
2. řada z=0.080																								
3. řada z=0.250																								
4. řada z=0.073																								
Stupeň výtěžení																								
dle 9.6.2																								

7.1.3 Závěrná zídka

Závěrná zídka je navržena na kombinaci přetížení od zeminy vč. přetížení od dopravy. Navíc je uvažována excentrická síla od nápravy na závěrné zídce. Jednotlivá zatížení a kombinační hodnoty včetně posudku viz dále. Namáhání závěrné zídky je uvažováno pro zvětšenou roznášecí šíři pražce 3,0 m (bezpečný předpoklad). Závěrné zídky jsou na obou opěrách totožné.



GRAFICKÉ ZOBRAZENÍ



VNITŘNÍ SÍLY NA ZÁVĚRNÉ ZÍDCE

geometrie závěrné zidky

výška závěrné zidky:	H=	2.55	m	šířka závěrné zidky:	B=	0.60	m
úhel roznášení v betonu:	φ =	30.00	°	průřezová plocha ZZ:	A=	1.560	m²
vlastní tíha ZZ:	G=	39.00	kN/m'	excentricita ZZ k ose:	e_G =	0.130	m
moment od vlastní tíhy:	M_G =	5.07	kN/m'				

zatížení zeminou (charakteristické hodnoty)

vodorovná síla od zásypu:	F_z =	27.30	kN/m'	moment od zásypu:	M_z =	23.18	kNm/m'
---------------------------	---------	-------	-------	-------------------	---------	-------	--------

zatížení dopravou (charakteristické hodnoty)

klasifikační součinitel:	α =	1.10	-				
vodorovná síla přetížení-loko:	$F_{z,loko}$ =	55.41	kN/m'	vodorovná síla přetížení-vlak:	$F_{z,rovno}$ =	15.37	kN/m'
moment přetížení-loko:	$M_{y,loko}$ =	70.30	kNm/m'	moment přetížení-vlak:	$M_{y,rovno}$ =	13.34	kNm/m'

Celkové účinky

kombinační souč. stálého zat.	$\xi\psi$ =	1.35	-	kombinační souč. dopravy:	$\xi\psi$ =	1.45	-
-------------------------------	-------------	------	---	---------------------------	-------------	------	---

MSÚ (6.10)

posouvající síla:	Q =	139.49	kN/m'	normálová síla:	N =	52.65	kN/m'
				ohybový moment:	M =	159.42	kN/m'

Charakteristická kombinace (6.14)

normálová síla:	N =	39.00	kN/m'	ohybový moment:	M =	111.89	kN/m'
-----------------	-------	-------	-------	-----------------	-------	--------	-------

Kvazistálá kombinace (6.16)

normálová síla:	N =	39.00	kN/m'	ohybový moment:	M =	28.25	kN/m'
-----------------	-------	-------	-------	-----------------	-------	-------	-------

- závěrná zídka

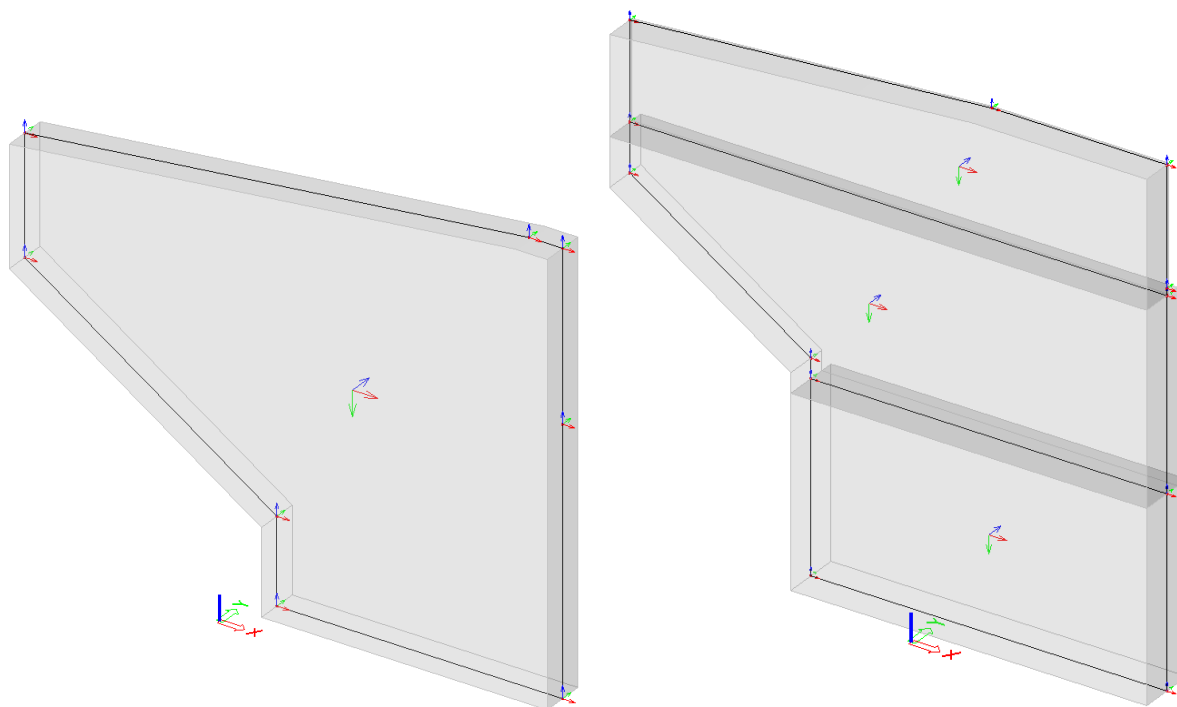
Závěrná zídka opěry OP1									
Průřez									
b _{efl} = 1000 mm	b _w = 1000 mm	H = 600 mm	XD, XS, XF						
c ₁ = 50 mm	c ₂ = 50 mm	w _{k,max} = 0.20 mm							
Materiály									
ocel: B 500 B		beton: C30/37							
f _{yk} = 500 MPa	γ _s = 1.15	α _{cc} = 0.9	ξ _{ck} = 30.0 MPa						
f _{yk} = 434.8 MPa	ξ _{sd} /ξ _{yk} = 0.9	γ _c = 1.5	E _{cm} = 33.0 GPa						
E _y = 200.0 GPa	k = f _t /f _y = 1.08	α _e = 6.06	f _{ct,m} = 2.9 MPa						
ξ _{yk} = 50 [-10 ⁻³]	ξ _{s3} = -1.75	ξ _{cu3} = -3.5 [-10 ⁻³]							
Ohybová výtěž									
6.66667 φ 16 mm	1. řada	A _{s1,1} = 1340 mm ²	(0.223%)						
0 φ 20 mm	2. řada	A _{s1,2} = mm ²	(0.000%)						
0 φ 20 mm	3. řada	A _{s1,3} = mm ²	(0.000%)						
6.66667 φ 16 mm	A _{s2} = 1340 mm ²			(0.223%)					
Rozdělovací výtěž (minimální)									
6.0 φ 8 mm	A _{s,perp} = 268 mm ²								
(pro desky)									
Smyková výtěž									
3.33333 φ 8 mm	A _{w,atrup} = 168 mm ²	α _w = 90							
S _{w,at} = 300 mm	A _{w,atrup} = 559 mm ² /m ²	P _{ws} = 0.06%							
0 φ 16 mm	A _{w,bend} = mm ²	α _b = 45							
S _{w,b} = 450 mm	P _{w,b} = 0.00% < P _{ws} = 0.06%	Vyhovuje							
Stupeň výtěžení									
P _{ws,min} < P _{ws} < P _{ws,max}									
0.09% 0.06% 1.00% Vyhovuje									
Vnitřní síly na průřezu									
M _{Ed} = 160 kNm	N _{Ed} = -53 kN	V _{Ed} = 140 kN	(MSU)						
Excentricita pro MSU:									
M _{Ed,char} = 112 kNm	N _{Ed,char} = -39 kN	e _{char} = 2.872 m	(Charakteristická)						
M _{Ed,kvazí} = 28 kNm	N _{Ed,kvazí} = -39 kN	e _{k,kvazí} = 0.724 m	(Kvazistálá)						
Štíhlostní kritérium									
l ₀ = 0.7 * 0 = 0.000 m	N _{Ed} = 0.000 m	λ = 0.000 / 0.173 = 0.000	L = 0.00 m						
i = √(0.018 / 0.600) = 0.173 m	λ _{lim} = 154.255	λ > λ = 0.000	Masivní prvek						
Smyková únosnost - bez smykové výtěž									
V _{Ed,c} = (0.12 * 1.612 * 0.251 * 30.0) + 0.15 * 0.088 = 1.000	V _{Ed} = 0.210 MN	534							
V _{Ed,c} = 0.217 MN	V _{Ed} = 0.140 MN	64%	Vyhovuje						
Smyková únosnost - se smykovou výtěž									
1 < cot θ = 1.428 < 2.5	θ = 35.00°	Vyhovuje							
Sklon tlakových diagonál součinitel redukce únosnosti tlak. diag.									
Dodatečná tahová síla									
ΔF _{td} = 1 * 140 * (1.428 - 0.000)	= 0.199 MN								
Únosnost tlakové diagonály									
V _{Ed,max} = 0.528 * 18.0 * 1000 * 484 / (0.70021 + 1.42815) = 2.160 MN									
Únosnost třmínků									
V _{Ed,at} = 168 * 434.8 * 0.484 * 1.42815 / 300	= 0.168 MN								
Únosnost ohybů									
V _{Ed,b} = 0 * 434.8 * 0.707 * 0.484 * 2.42815 / 450 = 0.000 MN									
V _{Ed,s} = 0.168 MN	V _{Ed} = 0.140 MN	83%	Vyhovuje						

Stavování napjatosti průřezu na MSÚ (M+N+V)									
Přetvoření betonu v tlaku			ε _{cs} = -0.409 [-10 ⁻³]		ε _{cs} = 0.142 m		Úprava polohy N.O.		
excentricita tlačných vláken							+0.1 mm -0.1 mm +1.0 mm -1.0 mm		
vzdálenost N.O. od spodních vláken			e _s = 0.458 m				Silová podmínka vyhovuje		
Silová podmínka rovnováhy celkem			-0.0008 MN				Silová podmínka vyhovuje		
Momentová podm. rovnováhy			M _{Ed} = 0.160 MNm				rameno vnitřních sil z = 0.484 m		
Interakce ohybového a smykového namáhání									
Síla M		Síla V	σ _{max}	Posouzení					
Materiál	[MN]	[MN]	[MPa]	[10 ⁻³]					
Beton	-0.298	-	-4.205	-0.4	Max. přetvoření betonu vyhovuje				
Výtěž (1)	0.303	0.100	300.7	1.5	Max. přetvoření výtěž vyhovuje				
Výtěž (2)	0.000	0.000	0.0	0.0	Max. přetvoření výtěž vyhovuje				
Výtěž (3)	0.000	0.000	0.0	0.0	Max. přetvoření výtěž vyhovuje				
Výtěž tl.	-0.059	0.100	30.9	0.2	Max. přetvoření výtěž vyhovuje				
Posouzení - beton				f _{cd} = 18.000 MPa	>	σ _{cc} = 4.205 MPa	23% Vyhovuje		
Posouzení - ocel				f _{sd} = 465.929 MPa	>	σ _s = 300.654 MPa	65% Vyhovuje		
Poloha N.O.									
Přetvoření průřezu				Napětí v betonu					
Mezní stav použitelnosti - omezení napětí									
Posouzení - beton				0.6.f _{ck} = 18.000 MPa	>	σ _{cc} = 1.842 MPa	10% Vyhovuje		
Posouzení - ocel				0.8.f _{yk} = 400.000 MPa	>	σ _{s,max} = 8.025 MPa	2% Vyhovuje		
Poloha N.O.									
Přetvoření průřezu				Napětí v betonu					
Mezní stav použité nosnosti - výpočet trhlin									
Posouzení - beton				0.45.f _{ck} = 13.500 MPa	>	σ _{cc} = 0.512 MPa	4% lin. dotvar		
Napětí v oceli				σ _{s,max} = 1.737 MPa	Ano				
ε _{sm} -f _{ctm} = (1.737 - 0.4 * 350.5061) / 200.0 = -0.0007				Dlouhodobé účinky:					
ε _{sm} -ε _{cm} = 0.6 * 1.737 / 200.0 = 5.21E-06				ε _{sm} -ε _{cm} = 0.00001					
S _{t,max} = 1.94008 * 58 + 0.17 * 1933.827 = 441 mm									
w _k = 441 * 5.21E-06 = 0.002 mm				σ _{ct} = 0.385 MPa					
Posouzení				w _{k,max} = 0.200 mm	>	w _k = 0.000 mm	Trhliny nevznikají Vyhovuje		

7.1.4 Křídla

Křídla byla navržena na výseku stěnovém modelu opěr. Souhrn získaných vnitřních sil viz tabulka níže.

Obrázek 7-2: Model křídel na OP1 (vlevo), na OP2 (vpravo)



Vnitřní síly - křídlo OP1											
Řez	Kombinace	Stav	N_x [kN]	Q_z [kN]	M_y [kNm]	Řez	Kombinace	Stav	N_x [kN]	Q_z [kN]	M_y [kNm]
Svislá výztuž	MSÚ	max M	74.0	101.0	105.1	Vodorovná výztuž	MSÚ	max M	-26.0	457.0	33.2
		min M	134.0	534.4	-451.3			min M	163.0	416.9	-499.4
	Char	max M	39.7	-	82.6		Char	max M	-24.0	-	25.9
		min M	73.9	-	-354.2			min M	121.0	-	-392.4
	Kvazi	max M	-52.0	-	49.7		Kvazi	max M	-30.5	-	14.7
		min M	-83.0	-	-207.8			min M	76.2	-	-229.0

Vnitřní síly - křídlo OP2											
Řez	Kombinace	Stav	N_x [kN]	Q_z [kN]	M_y [kNm]	Řez	Kombinace	Stav	N_x [kN]	Q_z [kN]	M_y [kNm]
Svislá výztuž H = 550 mm	MSÚ	max M	-15.9	63.3	131.4	Vodorovná výztuž H = 550 mm	MSÚ	max M	17.5	61.9	63.7
		min M	-14.7	268.7	-164.4			min M	38.6	223.5	-412.8
	Char	max M	-16.6	-	102.2		Char	max M	11.8	-	49.3
		min M	-13.3	-	-127.4			min M	19.2	-	-320.0
	Kvazi	max M	-27.3	-	68.1		Kvazi	max M	18.9	-	34.4
		min M	-14.7	-	-87.7			min M	-30.0	-	-218.4
Svislá výztuž H = 775 mm	MSÚ	max M	-28.0	83.0	256.0	Vodorovná výztuž H = 775 mm	MSÚ	max M	-99.0	129.0	180.0
		min M	-86.0	751.0	-739.0			min M	287.0	542.0	-909.0
	Char	max M	-33.0	-	198.0		Char	max M	-82.0	-	139.0
		min M	-95.0	-	-577.0			min M	220.0	-	-704.0
	Kvazi	max M	-65.0	-	138.0		Kvazi	max M	-68.0	-	100.0
		min M	-172.0	-	-368.0			min M	140.0	-	-490.0
Svislá výztuž H = 1000 mm	MSÚ	max M	-55.0	181.0	271.0	Vodorovná výztuž H = 1000 mm	MSÚ	max M	5.0	326.0	368.0
		min M	135.0	880.0	-1225.0			min M	207.0	313.0	-749.0
	Char	max M	-54.0	-	209.0		Char	max M	2.0	-	285.0
		min M	75.0	-	-949.0			min M	163.0	-	-577.0
	Kvazi	max M	-79.0	-	153.0		Kvazi	max M	-7.0	-	198.0
		min M	-84.0	-	-656.0			min M	120.0	-	-419.0

7.1.4.1 Posouzení průřezů křídel OP1

Posouzení bylo provedeno pro kritické průřezy, dále bylo na základě momentů únosnosti pro různá vyztužení s roztečí prutů vždy 150 mm řešeno plošné určení nutných profilů výztuže v dané oblasti.

- Ohybová výztuž

Ø12/150 mm



Ø16/150 mm



Ø20/150 mm



Ø25/150 mm



- Smyková výztuž

Ø10/300x300 mm



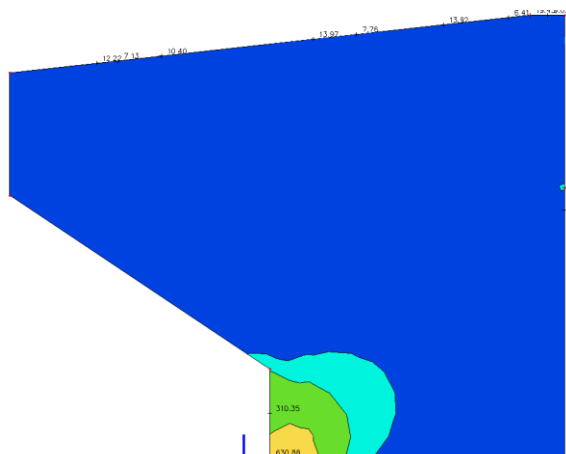
Ø12/300x300 mm



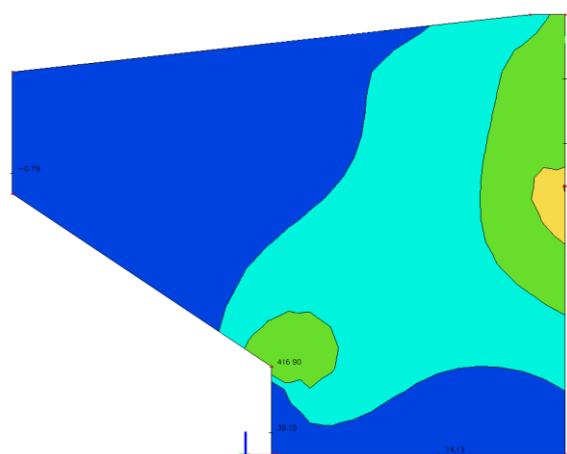
Ø12/300x150 mm



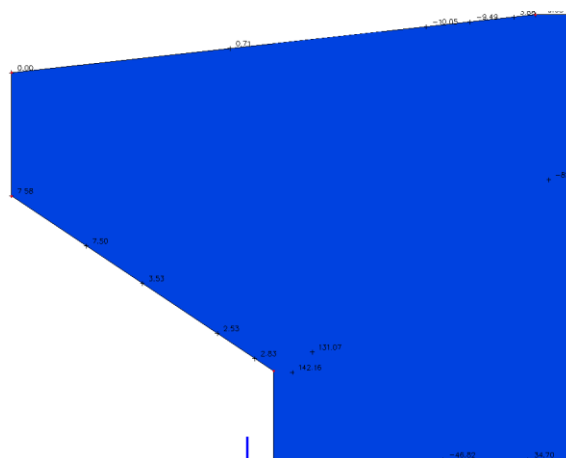
– rubová výztuž svislá



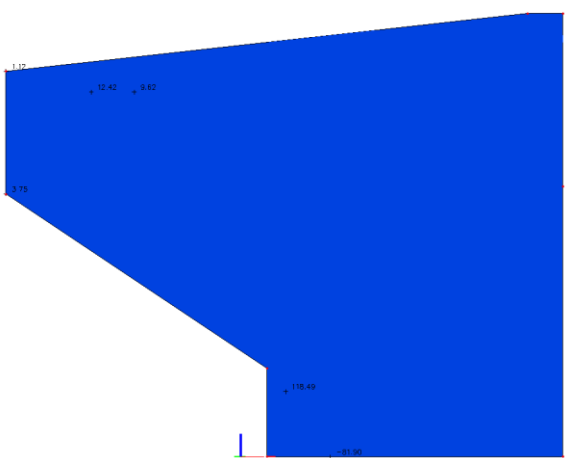
- rubová výztuž vodorovná



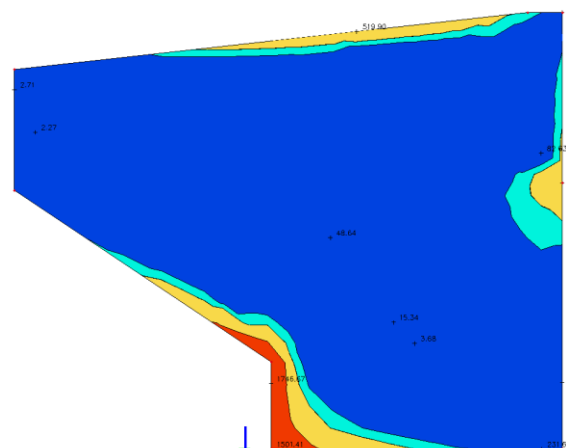
– lícová výztuž svislá



- lícová výztuž vodorovná



– smyková výztuž



Křídlo opěry OP1 - rub - svislá výztuž									
Průřez									
b_{eff}	= 1000 mm	b_w	= 1000 mm	H	= 550 mm	$W_{k,max}$	= 0.20 mm	XD, XS, XF	
C_1	= 50 mm	C_2	= 50 mm	Materiály					
ocel: B 500 B									
f_{yk}	= 500 MPa	f_{yk}	= 500 MPa	f_{yk}	= 500 MPa	f_{yk}	= 500 MPa	f_{yk}	= 500 MPa
f_{td}	= 434.8 MPa	f_{td}	= 434.8 MPa	f_{td}	= 434.8 MPa	f_{td}	= 434.8 MPa	f_{td}	= 434.8 MPa
E_{yk}	= 200.0 GPa	E_{yk}	= 200.0 GPa	E_{yk}	= 200.0 GPa	E_{yk}	= 200.0 GPa	E_{yk}	= 200.0 GPa
ϵ_{yk}	= 50 [·10 ⁻³]	ϵ_{yk}	= 50 [·10 ⁻³]	ϵ_{yk}	= 50 [·10 ⁻³]	ϵ_{yk}	= 50 [·10 ⁻³]	ϵ_{yk}	= 50 [·10 ⁻³]
Ohybová výztuž									
1. řada									
$A_{s,1}$	= 3272 mm ²	$A_{s,1}$	= 3272 mm ²	$A_{s,1}$	= 3272 mm ²	$A_{s,1}$	= 3272 mm ²	$A_{s,1}$	= 3272 mm ²
2. řada									
$A_{s,2}$	= 4613 mm ²	$A_{s,2}$	= 4613 mm ²	$A_{s,2}$	= 4613 mm ²	$A_{s,2}$	= 4613 mm ²	$A_{s,2}$	= 4613 mm ²
3. řada									
$A_{s,3}$	= 1340 mm ²	$A_{s,3}$	= 1340 mm ²	$A_{s,3}$	= 1340 mm ²	$A_{s,3}$	= 1340 mm ²	$A_{s,3}$	= 1340 mm ²
Rozdělovací výztuž (minimální)									
$A_{s,perp}$	= 654 mm ²	$A_{s,perp}$	= 654 mm ²	$A_{s,perp}$	= 654 mm ²	$A_{s,perp}$	= 654 mm ²	$A_{s,perp}$	= 654 mm ²
14.0 Ø 8 mm (pro desky)									
Smyková výztuž									
1. řada									
$A_{w,1}$	= 377 mm ²	$A_{w,1}$	= 377 mm ²	$A_{w,1}$	= 377 mm ²	$A_{w,1}$	= 377 mm ²	$A_{w,1}$	= 377 mm ²
2. řada									
$A_{w,2}$	= 2513 mm ²	$A_{w,2}$	= 2513 mm ²	$A_{w,2}$	= 2513 mm ²	$A_{w,2}$	= 2513 mm ²	$A_{w,2}$	= 2513 mm ²
3. řada									
$A_{w,3}$	= 1340 mm ²	$A_{w,3}$	= 1340 mm ²	$A_{w,3}$	= 1340 mm ²	$A_{w,3}$	= 1340 mm ²	$A_{w,3}$	= 1340 mm ²
Rozdělovací výztuž (minimální)									
$A_{w,perp}$	= 654 mm ²	$A_{w,perp}$	= 654 mm ²	$A_{w,perp}$	= 654 mm ²	$A_{w,perp}$	= 654 mm ²	$A_{w,perp}$	= 654 mm ²
14.0 Ø 8 mm (pro desky)									
Smyková výztuž									
1. řada									
$A_{w,1}$	= 377 mm ²	$A_{w,1}$	= 377 mm ²	$A_{w,1}$	= 377 mm ²	$A_{w,1}$	= 377 mm ²	$A_{w,1}$	= 377 mm ²
2. řada									
$A_{w,2}$	= 2513 mm ²	$A_{w,2}$	= 2513 mm ²	$A_{w,2}$	= 2513 mm ²	$A_{w,2}</$			

7.1.4.2 Posouzení průřezů křídel OP2

Křídlo je odstupňovaných tlouštěk stěny. Posouzení bylo provedeno pro kritické průřezy jednotlivých tlouštěk. Grafické znázornění nutných vyztužení viz níže.

- Ohybová výztuž

Ø12/150 mm



Ø16/150 mm



Ø20/150 mm



Ø25/150 mm



Ø32/150 mm



- Smyková výztuž

Ø10/300x300 mm



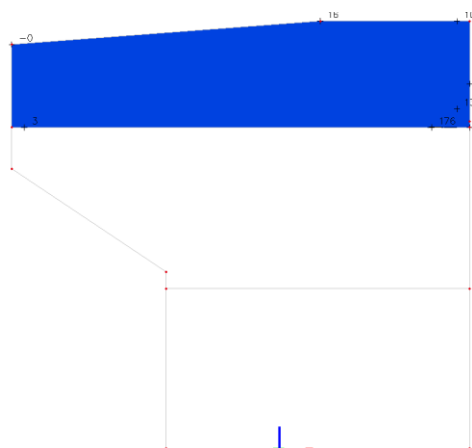
Ø12/300x300 mm



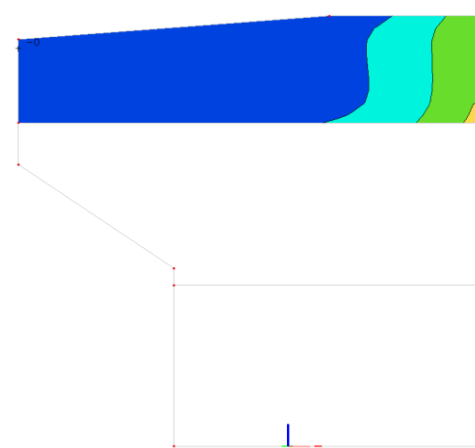
Ø12/300x150 mm



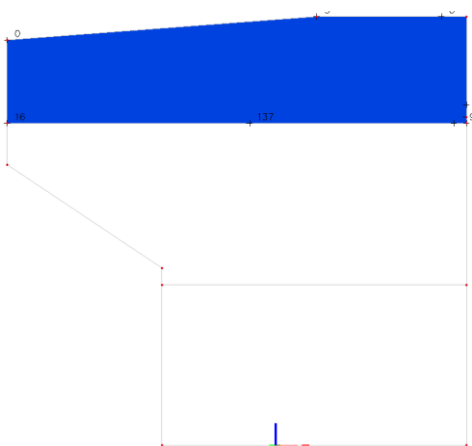
– rubová výztuž svislá (550 mm)



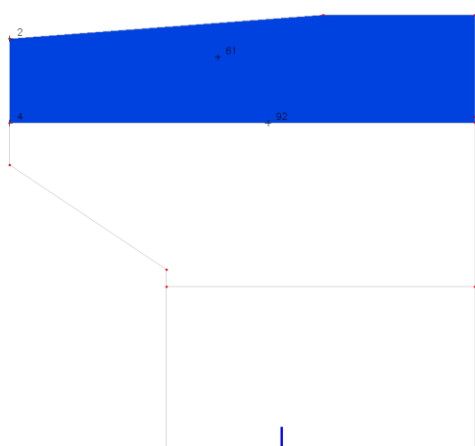
- rubová výztuž vodorovná (550 mm)



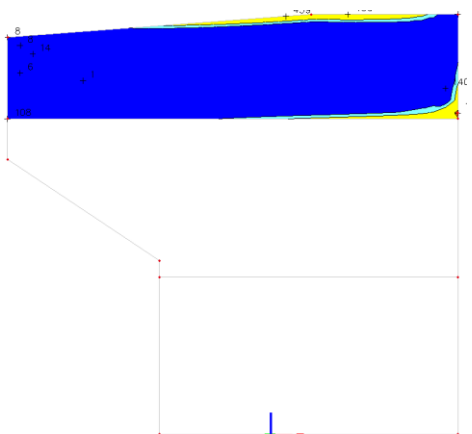
– lícová výztuž svislá (550 mm)



- lícová výztuž vodorovná (550 mm)



– smyková výztuž (550 mm)



[illegible]

- křídlo OP2 tl. 550 mm – rubová výztuž vodorovná

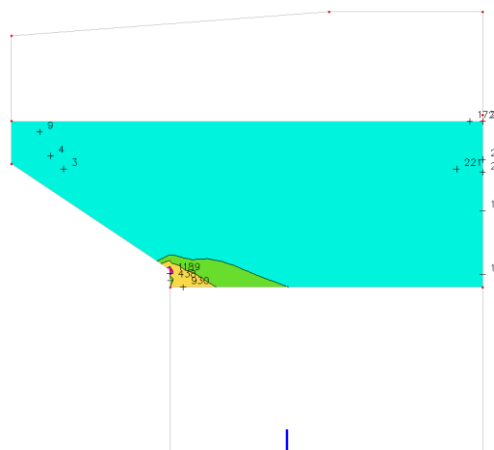
Křídlo opěry OP2 - H=550 - rub - vodorovná výztuž									
Průřez									
b _{eff} = 1000 mm	b _w = 1000 mm	H = 550 mm	XD, XS, XF						
c ₁ = 50 mm	c ₂ = 50 mm	W _{k,max} = 0.20 mm							
Materiály									
ocel: B 500	B	beton: C30/37							
f _{yk} = 500 MPa	f _{yk} = 500 MPa	f _{ck} = 30.0 MPa							
f _{yd} = 434.8 MPa	f _{yd} = 434.8 MPa	E _{cm} = 33.0 GPa							
E _y = 200.0 GPa	E _y = 200.0 GPa	f _{ct,m} = 1.80 MPa							
ε _{yk} = 50 [-10 ⁻³]	ε _{yk} = 50 [-10 ⁻³]	f _{ct,m} = 1.80 MPa							
Hrubová výztuž									
6.6667 Ø 25 mm	1. řada	A _{s1,1} = 3272 mm ²							
0 Ø 20 mm	2. řada	A _{s1,2} = mm ²							
0 Ø 20 mm	3. řada	A _{s1,3} = mm ²							
6.6667 Ø 16 mm	z=0.070	A _{s2} = 1340 mm ²							
Rozdělovací výztuž (minimální)									
14.0 Ø 8 mm	A _{s,perp} = 654 mm ²								
(pro desky)									
Smyková výztuž									
3.3333 Ø 12 mm	A _{w,sloup} = 377 mm ²	α _w = 90							
S _{sloup} = 300 mm	A _{w,sloup} = 1257 mm ² /m ²	P _{w,s} = 0.13%							
0 Ø 16 mm	A _{w,bend} = mm ²	α _b = 45							
S _{w,b} = 450 mm	P _{w,b} = 0.00% < P _{w,s} = 0.13%	Vyhovuje							
Stupeň výztužení									
P _{w,s,min} < P _{w,s} < P _{w,s,max}									
0.09% 0.13% 1.00% Vyhovuje									
Vnitřní síly na průřezu									
M _{Ed} = 413 kNm	N _{Ed} = 39 kN	V _{Ed} = 224 kN	(MSÚ)						
Excentricita pro MSÚ:									
M _{Ed, char} = 320 kNm	N _{Ed, char} = 19 kN	e _{char} = 16.842 m (Charakteristická)							
M _{Ed,kvaz} = 218 kNm	N _{Ed,kvaz} = -30 kN	e _{k,quaz} = 7.267 m (Kvazistálá)							
Štíhlostní kritérium									
L ₀ = 0.7 * 0 = 0.000 m	λ _{lim} = 500.000	λ = 0.000 / 0.159 = 0.000	Masivní prvek						
i = √(0.014 / 0.550) = 0.159 m									
Smyková únosnost - bez smykové výztuže									
V _{Ed,s} = (0.12 * 1.649 * (0.688 * 30.0) + 0.15 * -0.071) * 1000 = 0.253 MN									
V _{Ed,s} = 0.253 MN	V _{Ed,s} > V _{Ed} = 0.224 MN	89%	Vyhovuje						
Smyková únosnost - se smykovou výztuží									
1 < cot θ = 1.428 < 2.5	θ = 35.00°	Vyhovuje							
Sklon tlakových diagonál									
součinitel redukce únosnosti tlak. diag.	v = 0.528								
Dodatečná tahová síla									
ΔF _{td} = 1 * 224 * (1.428 - 0.000) = 0.320 MN									
V _{Ed,max} = 0.528 * 18.0 * 1000 = 415 (0.70021 + 1.42815) = 1.853 MN									
V _{Ed,st} = 377 * 434.8 * 0.415 = 1.42815 / 300 = 0.324 MN									
V _{Ed,b} = 0 * 434.8 * 0.707 * 0.415 = 2.42815 / 450 = 0.000 MN									
V _{Ed,s} = 0.324 MN	V _{Ed,s} > V _{Ed} = 0.224 MN	69%	Vyhovuje						

Stavení napjatosti průřezu na MSÚ (M+N+V)									
Úprava polohy N.O.									
e _x = -0.914 [-10 ⁻³]	e _y = 0.176 m								
+0.1 mm	+1.0 mm								
-0.1 mm	-1.0 mm								
Silová podmínka vyhovuje									
z = 0.415 m									
rameno vnitřních sil									
0.413 MNm									
celkem									
0.0013 MN									
vzdálenost N.O. od spodních vláken									
e _z = 0.374 m									
Silová podmínka rovnováhy									
Momentová podm. rovnováhy									
M _{Ed} =									
Interakce ohybového a smykového namáhání									
Sila M									
Sila V									
G _{max}									
[MPa]									
[10 ⁻³]									
Posouzení									
Beton									
Výztuž (1)									
Výztuž (2)									
Výztuž (3)									
Výztuž tl.									
Posouzení - beton									
Posouzení - ocel									
Poloha N.O.									
Průřez									
Průřez									
Průřez									
Průřez									
Průřez									
Průřez									
Průřez									
Průřez									
Průřez									
Průřez									
Průřez									
Průřez									
Průřez									
Průřez									
Průřez									
Průřez									
Průřez									
Průřez									
Průřez									
Průřez									
Průřez									
Průřez									
Průřez									
Průřez									
Průřez									
Průřez									
Průřez									
Průřez									
Průřez									
Průřez									
Průřez									
Průřez									
Průřez									
Průřez									
Průřez									
Průřez									
Průřez									
Průřez									
Průřez									
Průřez									
Průřez									
Průřez									
Průřez									
Průřez									
Průřez									
Průřez									
Průřez									
Průřez									
Průřez									
Průřez									
Průřez									
Průřez									
Průřez									
Průřez									
Průřez									
Průřez									
Průřez									
Průřez									
Průřez									
Průřez									
Průřez									
Průřez									
Průřez									
Průřez									
Průřez									
Průřez									
Průřez									
Průřez									
Průřez									
Průřez									
Průřez									
Průřez									
Průřez									
Průřez									
Průřez									
Průřez									
Průřez									
Průřez									
Průřez									
Průřez									
Průřez									
Průřez									
Průřez									
Průřez									
Průřez									
Průřez									
Průřez									
Průřez									
Průřez									
Průřez									
Průřez									
Průřez									
Průřez									
Průřez									
Průřez									
Průřez									
Průřez									
Průřez									
Průřez									
Průřez									
Průřez									
Průřez									
Průřez									
Průřez									
Průřez									
Průřez									
Průřez									
Průřez									
Průřez									
Průřez									
Průřez									
Průřez									
Průřez									
Průřez									
Průřez									
Průřez									
Průřez									
Průřez									
Průřez									
Průřez									
Průřez									
Průřez									
Průřez									
Průřez									
Průřez									
Průřez									
Průřez									
Průřez									
Průřez									
Průřez									
Průřez									
Průřez									
Průřez									
Průřez									
Průřez									
Průřez									
Průřez									
Průřez									
Průřez									
Průřez									
Průřez									
Průřez									
Průřez									
Průřez									
Průřez									
Průřez									
Průřez									
Průřez									
Průřez									
Průřez									
Průřez									
Průřez									
Průřez									
Průřez									
Průřez									
Průřez									
Průřez									
Průřez									
Průřez									
Průřez									
Průřez									
Průřez									
Průřez									
Průřez									
Průřez									
Průřez									
Průřez									
Průřez									
Průřez									
Průřez									
Průřez									
Průřez									
Průřez									
Průřez									
Průřez									
Průřez									
Průřez									
Průřez									
Průřez									
Průřez									
Průřez									
Průřez									
Průřez									
Průřez									
Průřez									
Průřez									
Průřez									
Průřez									
Průřez									
Průřez									
Průřez									
Průřez									
Průřez									
Průřez									
Průřez									
Průřez									

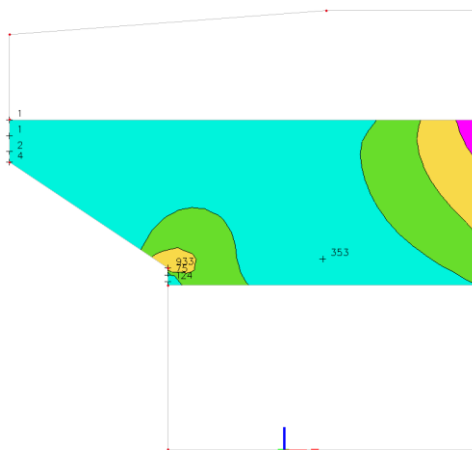
Křídlo opěry OP2 - H=550 - líc - svislá výztuž																
Průřez																
b_{eff}	= 1000 mm	b_w	= 1000 mm	H	= 550 mm	$W_{k,max}$	= 0.20 mm	XD, XS, XF								
C_1	= 50 mm	C_2	= 50 mm													
Materiály																
beton: C30/37																
ocel: B 500 B	f_{yk}	= 500 MPa	f_{ts}	= 1.15	-	α_{oc}	= 0.9	-	E_{cm}	= 33.0 GPa						
	f_{yk}	= 434.8 MPa	σ_{ed}/E_{yk}	= 0.9	-	α_c	= 1.5	-	f_{td}	= 18.0 MPa						
	E_y	= 200.0 GPa	$k = f_{yk}/f_{yk}$	= 1.08	-	α_c	= 6.06	-	$f_{c,lim}$	= 2.9 MPa						
	ϵ_{yk}	= 50 [10 ⁻³]	ϵ_{yk}	= 50	-	ϵ_{yk}	= -1.75	-	ϵ_{yk}	= -3.5 [10 ⁻³]						
Ohybová výztuž																
1. řada $A_{s,1} = 1340 \text{ mm}^2$ (0.244%)																
2. řada $A_{s,2} = 1340 \text{ mm}^2$ (0.244%)																
3. řada $A_{s,3} = 1340 \text{ mm}^2$ (0.244%)																
Rozdělovací výztuž (minimální)																
6.0 Ø 8 mm	$A_{s,sep}$	= 268 mm ²														
dle 9.6.2 550 < 1340 < 2681 < 22 000 Vyhovuje																
Smyková výztuž																
3.33333 Ø 10 mm																
$A_{w,strip} = 262 \text{ mm}^2$ $\alpha_w = 90$																
$A_{w,at} = 300 \text{ mm}^2$ $A_{w,strip} = 873 \text{ mm}^2/\text{m}^2$ $\rho_{w,s} = 0.09\%$																
0 Ø 16 mm $\rho_{w,b} = 0.09\%$ Vyhovuje																
0 Ø 16 mm $\rho_{w,b} = 0.09\%$ Vyhovuje																
0 Ø 16 mm $\rho_{w,b} = 0.09\%$ Vyhovuje																
0 Ø 16 mm $\rho_{w,b} = 0.09\%$ Vyhovuje																
0 Ø 16 mm $\rho_{w,b} = 0.09\%$ Vyhovuje																
0 Ø 16 mm $\rho_{w,b} = 0.09\%$ Vyhovuje																
0 Ø 16 mm $\rho_{w,b} = 0.09\%$ Vyhovuje																
0 Ø 16 mm $\rho_{w,b} = 0.09\%$ Vyhovuje																
0 Ø 16 mm $\rho_{w,b} = 0.09\%$ Vyhovuje																
0 Ø 16 mm $\rho_{w,b} = 0.09\%$ Vyhovuje																
0 Ø 16 mm $\rho_{w,b} = 0.09\%$ Vyhovuje																
0 Ø 16 mm $\rho_{w,b} = 0.09\%$ Vyhovuje																
0 Ø 16 mm $\rho_{w,b} = 0.09\%$ Vyhovuje																
0 Ø 16 mm $\rho_{w,b} = 0.09\%$ Vyhovuje																

[illegible]

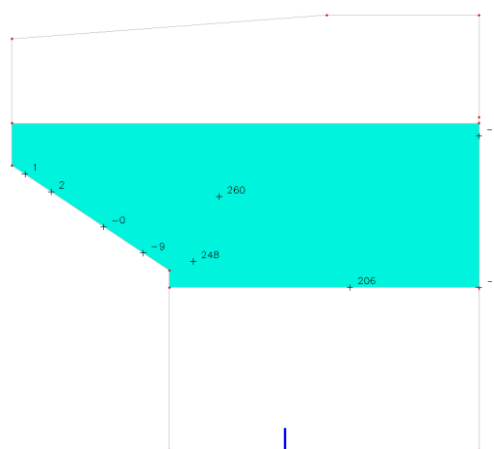
– rubová výztuž svislá (775 mm)



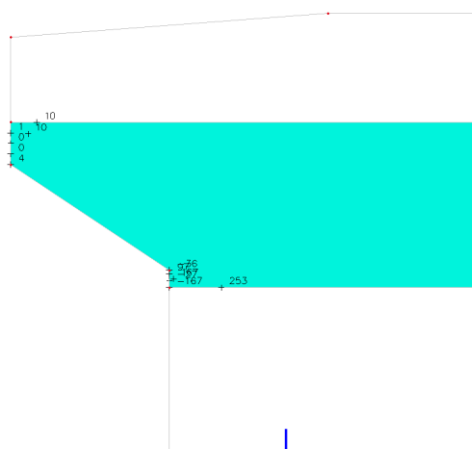
- rubová výztuž vodorovná (775 mm)



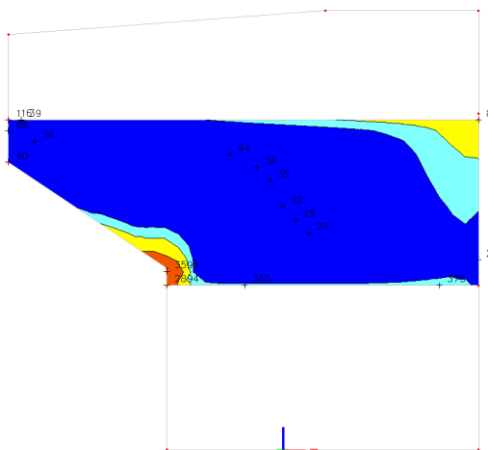
– lícová výztuž svislá (775 mm)



- lícová výztuž vodorovná (775 mm)



– smyková výztuž (775 mm)



• Ohybová výztuž

Ø12/150 mm



Ø16/150 mm



Ø20/150 mm



Ø25/150 mm



Ø32/150 mm



• Smyková výztuž

Ø10/300x300 mm



Ø12/300x300 mm

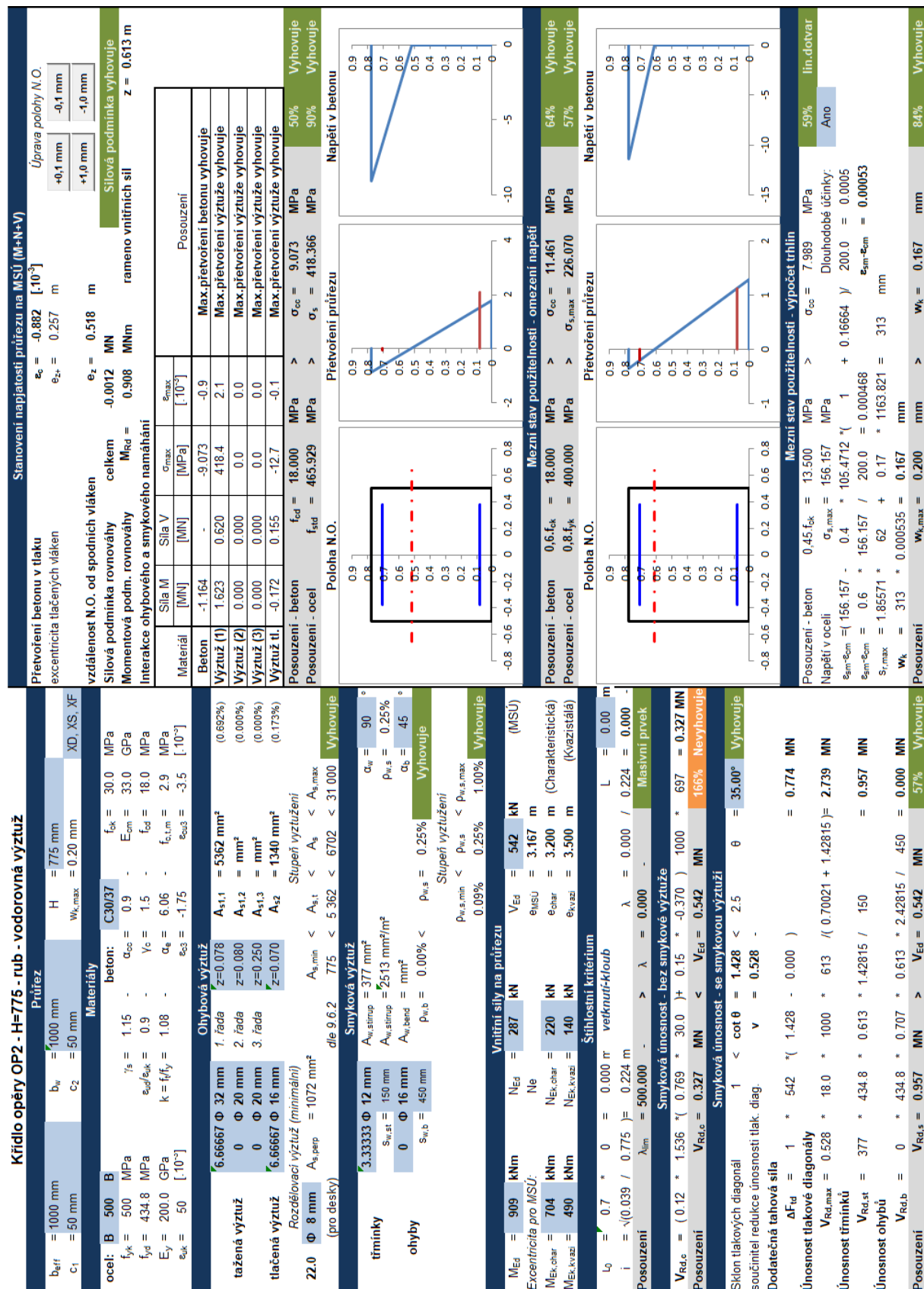


Ø12/300x150 mm



Křídlo opěry OP2 - H=775 - rub - svislá výztuž													
Průřez													
b_{eff}	= 1000 mm	b_w	= 1000 mm	H	= 775 mm	$W_{k,max}$	= 0.20 mm	X_D	XS, XF				
c_1	= 50 mm	c_2	= 50 mm	Materiály									
ocel: B 500 B													
f_{yk}	= 500 MPa	f_{td}	= 1.15	α_{cc}	= 0.9	E_{cm}	= 33.0 GPa	f_{ck}	= 30.0 MPa				
f_{yd}	= 434.8 MPa	σ_{sd}/σ_{sk}	= 0.9	γ_c	= 1.5	f_{td}	= 18.0 MPa	$\sigma_{s,max}$	= 154.845 MPa				
E_{yk}	= 200.0 GPa	$k = f_{t,fy}$	= 1.08	α_s	= 6.06	$f_{t,1,m}$	= 2.9 MPa	$\sigma_{s,1,m}$	= 0.6 * 154.845 / 200.0 = 0.000465				
σ_{sk}	= 50 [10 ⁻³]	σ_{sk}	= -1.75	σ_{sk}	= -3.5 [10 ⁻³]	Ohybová výztuž							
1. řada $A_{s,1,1} = 3272 \text{ mm}^2$ (0.422%)													
2. řada $A_{s,1,2} = \text{mm}^2$ (0.000%)													
3. řada $A_{s,1,3} = \text{mm}^2$ (0.000%)													
0 Φ 20 mm $A_{s,1,4} = 1340 \text{ mm}^2$ (0.173%)													
0 Φ 20 mm $A_{s,1,5} = \text{mm}^2$ (0.000%)													
0 Φ 20 mm $A_{s,1,6} = \text{mm}^2$ (0.000%)													
0 Φ 20 mm $A_{s,1,7} = \text{mm}^2$ (0.000%)													
0 Φ 20 mm $A_{s,1,8} = \text{mm}^2$ (0.000%)													
0 Φ 20 mm $A_{s,1,9} = \text{mm}^2$ (0.000%)													
0 Φ 20 mm $A_{s,1,10} = \text{mm}^2$ (0.000%)													
0 Φ 20 mm $A_{s,1,11} = \text{mm}^2$ (0.000%)													
0 Φ 20 mm $A_{s,1,12} = \text{mm}^2$ (0.000%)													
0 Φ 20 mm $A_{s,1,13} = \text{mm}^2$ (0.000%)													
0 Φ 20 mm $A_{s,1,14} = \text{mm}^2$ (0.000%)													
0 Φ 20 mm $A_{s,1,15} = \text{mm}^2$ (0.000%)													
0 Φ 20 mm $A_{s,1,16} = \text{mm}^2$ (0.000%)													
0 Φ 20 mm $A_{s,1,17} = \text{mm}^2$ (0.000%)													
0 Φ 20 mm $A_{s,1,18} = \text{mm}^2$ (0.000%)													
0 Φ 20 mm $A_{s,1,19} = \text{mm}^2$ (0.000%)													
0 Φ 20 mm $A_{s,1,20} = \text{mm}^2$ (0.000%)													
0 Φ 20 mm $A_{s,1,21} = \text{mm}^2$ (0.000%)													
0 Φ 20 mm $A_{s,1,22} = \text{mm}^2$ (0.000%)													
0 Φ 20 mm $A_{s,1,23} = \text{mm}^2$ (0.000													

- křídlo OP2 tl. 775 mm - rubová výztuž vodorovná

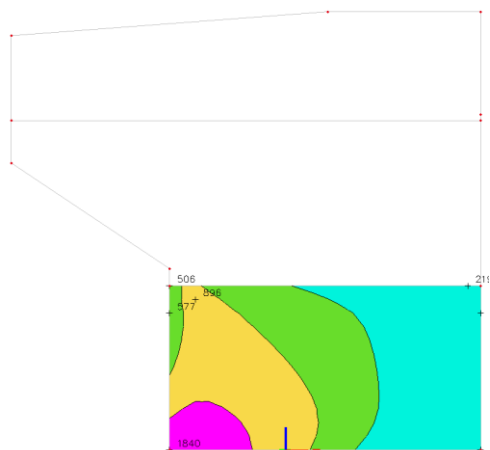


- křídlo OP2 tl. 775 mm – lícová výztuž svislá

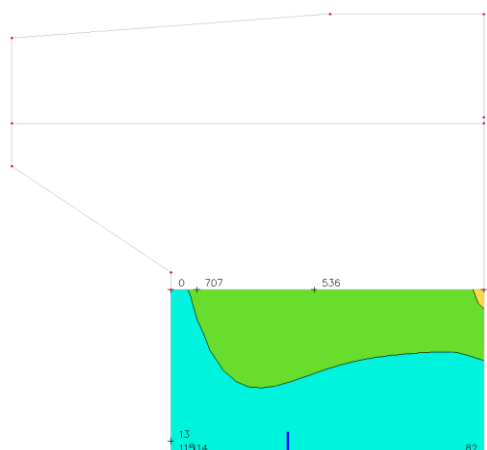
Křídlo opěry OP2 - H=775 - líc - svislá výztuž									
Průřez									
b _{eff} = 1000 mm	b _w = 1000 mm	H = 775 mm							
c ₁ = 50 mm	c ₂ = 50 mm	W _{k,max} = 0.20 mm							
Materiály									
ocel: B 500	B	beton: C30/37							
f _{yk} = 500 MPa	f _{yk} = 500 MPa	f _{ck} = 30.0 MPa							
f _{yd} = 434.8 MPa	f _{yd} = 434.8 MPa	E _{cm} = 33.0 GPa							
E _y = 200.0 GPa	E _y = 200.0 GPa	f _{td} = 18.0 MPa							
ε _{yk} = 50 [-10 ⁻³]	ε _{yk} = 50 [-10 ⁻³]	f _{ct,m} = 2.9 MPa							
		ε _{ck} = -1.75							
Ohybová výztuž									
1. řada z=0.070									
2. řada z=0.080									
3. řada z=0.250									
4. řada z=0.075									
Rozdělovací výztuž (minimální)									
6.0 Ø 8 mm	A _{s,perp} = 268 mm ²								
dle 9.6.2 775 < 1 340 < 4613 < 31 000 Vyhovuje									
Smyková výztuž									
A _{w,sloup} = 377 mm ²									
A _{w,sloup} = 1257 mm ² /m ²									
A _{w,sloup} = 1257 mm ² /m ²									
A _{w,sloup} = 450 mm ²									
A _{w,sloup} = 450 mm ²									
Stupeň výztužení									
p _{w,s,min} < p _{w,s} < p _{w,s,max}									
0.09% 0.13% 1.00% Vyhovuje									
Vnitřní síly na průřezu									
M _{Ed} = 256 kNm	N _{Ed} = -28 kN	V _{Ed} = 83 kN	(MSÚ)						
Excentricita pro MSÚ:									
M _{Ed,char} = 198 kNm	N _{Ed,char} = -33 kN	e _{char} = 6.000 m	(Charakteristická)						
M _{Ed,kvazi} = 138 kNm	N _{Ed,kvazi} = -65 kN	e _{kvazi} = 2.123 m	(Kvazistálá)						
Štíhlostní kritérium									
L ₀ = 0.7 * 0 = 0.000 m	λ _{0m} = 248.208	λ = 0.000	L = 0.00 m						
i = √(0.039 / 0.775) = 0.224 m									
Posouzení									
V _{Ed,s} = (0.12 * 1.533 * (0.190 * 30.0) + 0.15 * 0.036) * 1000 = 0.235 MN									
Posouzení									
V _{Ed,s} = 0.260 MN	V _{Ed} = 0.083 MN	32%	Vyhovuje						
Smyková únosnost - se smykovou výztuží									
1 < cot θ = 1.428 < 2.5	θ = 35.00°	Vyhovuje							
Sklon tlakových diagonál									
soudržitel redukce únosnosti tlak. diag.									
Dodatečná tahová síla									
ΔF _{td} = 1 * 83 * (1.428 - 0.000) = 0.119 MN									
Únosnost tlakové diagonály									
V _{Ed,max} = 0.528 * 18.0 * 1000 * 648 / (0.70021 + 1.42815) = 2.895 MN									
Únosnost tržníků									
V _{Ed,st} = 377 * 434.8 * 0.648 * 1.42815 / 300 = 0.506 MN									
Únosnost ohybů									
V _{Ed,b} = 0 * 434.8 * 0.707 * 0.648 * 2.42815 / 450 = 0.000 MN									
Posouzení									
V _{Ed,s} = 0.506 MN	V _{Ed} = 0.083 MN	16%	Vyhovuje						

Stavení napjatosti průřezu na MSÚ (M+N+V)									
Přetvoření betonu v tlaku		ε _{co} = -0.377 [-10 ⁻³]		Úprava polohy N.O.					
excentricita tlačných vláken		e _{co} = 0.148 m							
vzdálenost N.O. od spodních vláken		e _z = 0.627 m							
Sílová podmínka rovnováhy		celkem 0.0008 MN		Sílová podmínka vyhovuje					
Momentová podm. rovnováhy		M _{Ed} = 0.256 MNm		rameno vnitřních sil z = 0.648 m					
Interakce ohybového a smykového namáhání									
Síla M [MN]	Síla V [MN]	G _{max} [MPa]	ε _{max} [-10 ⁻³]	Posouzení					
Beton	-0.286	-	-3.874	-0.4	Max.přetvoření betonu vyhovuje				
Výztuž (1)	0.381	0.034	309.8	1.5	Max.přetvoření výztuže vyhovuje				
Výztuž (2)	0.000	0.000	0.0	0.0	Max.přetvoření výztuže vyhovuje				
Výztuž (3)	0.000	0.000	0.0	0.0	Max.přetvoření výztuže vyhovuje				
Výztuž tl.	-0.122	0.084	-11.7	-0.1	Max.přetvoření výztuže vyhovuje				
Posouzení - beton		f _{td} = 18.000 MPa	σ _{co} = 3.874 MPa		22%		Vyhovuje		
Posouzení - ocel		f _{yk} = 465.929 MPa	σ _s = 309.826 MPa		66%		Vyhovuje		
Poloha N.O.									
Přetvoření průřezu									
Napětí v betonu									
Mezní stav použitelnosti - omezení napětí									
Posouzení - beton		0.6.f _{tk} = 18.000 MPa	σ _{co} = 1.865 MPa		10%		Vyhovuje		
Posouzení - ocel		0.8.f _{yk} = 400.000 MPa	σ _{s,max} = 9.047 MPa		2%		Vyhovuje		
Poloha N.O.									
Přetvoření průřezu									
Napětí v betonu									
Mezní stav použitelnosti - výpočet trhlin									
Posouzení - beton		0.45.f _{tk} = 13.500 MPa	σ _{co} = 1.351 MPa		10%		lim.dovar		
Napětí v oceli		σ _{s,max} = 5.980 MPa	σ _{co} = 1.351 MPa		Ano				
Dlouhodobé účinky:									
ε _{sm} -ε _{cm} = (5.980 - 0.4 * 378.6147) / 200.0 = -0.0008									
ε _{sm} -ε _{cm} = 0.6 * 5.980 / 200.0 = 1.79E-05									
S _{1,max} = 1.85571 * 62 + 0.17 * 2088.909 = 470 mm									
w _k = 470 * 1.79E-05 = 0.000 mm									
σ _{ct} = 1.219 MPa									
w _k = 0.000 mm									
Trhliny nevznikají									
Vyhovuje									

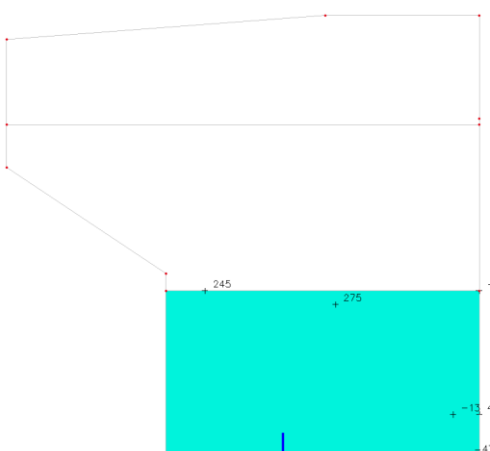
– rubová výztuž svislá (1000 mm)



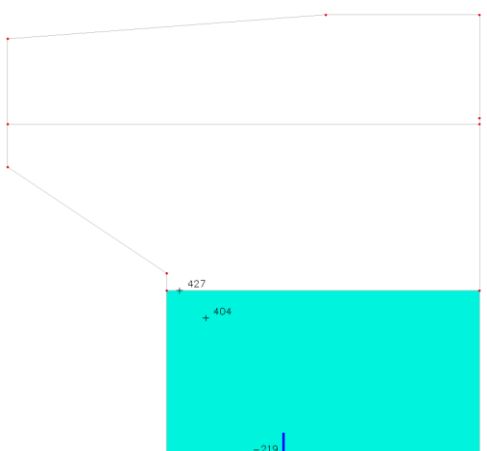
- rubová výztuž vodorovná (1000 mm)



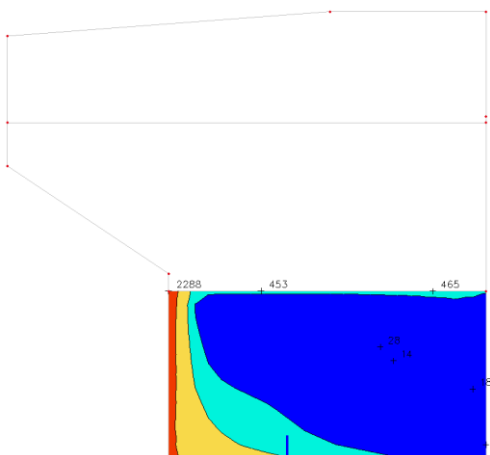
– lícová výztuž svislá (1000 mm)



- lícová výztuž vodorovná (1000 mm)



– smyková výztuž (1000 mm)



• Ohybová výztuž

Ø12/150 mm



Ø16/150 mm



Ø20/150 mm



Ø25/150 mm



Ø32/150 mm



• Smyková výztuž

Ø10/300x300 mm



Ø12/300x300 mm



Ø12/300x150 mm



- křídlo OP2 tl. 1000 mm - lícová výztuž svislá

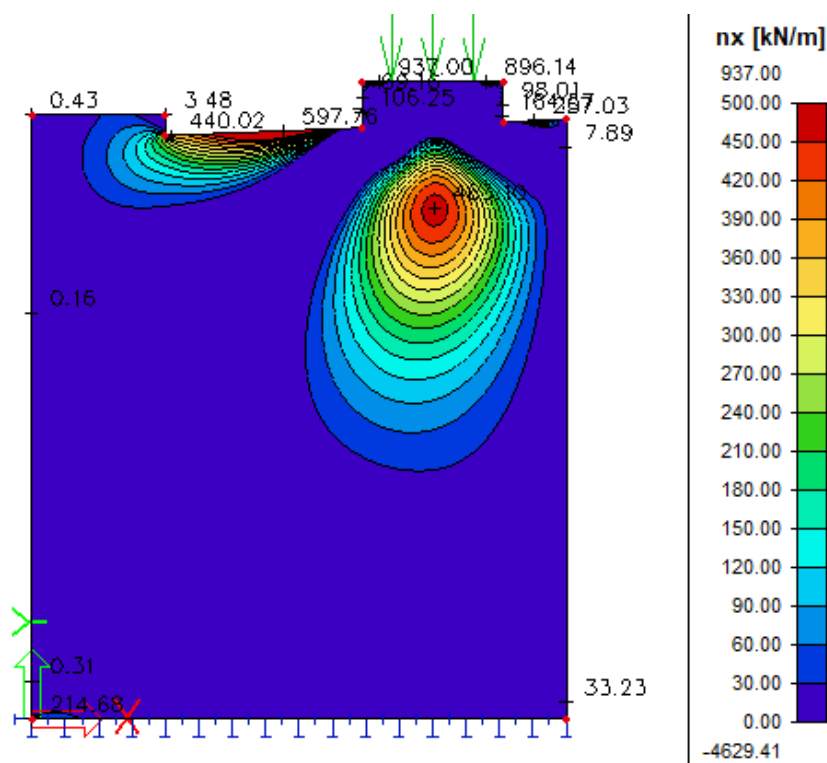
Křídlo opěry OP2 - H=1000 - líc - svislá výztuž									
Průřez									
b _{eff} = 1000 mm	b _w = 1000 mm	H = 1000 mm	W _{k,max} = 0.20 mm				XD, XS, XF		
c ₁ = 50 mm	c ₂ = 50 mm								
Materiály									
ocel: B 500	B	beton: C30/37							
f _{yk} = 500 MPa	f _{yk} = 500 MPa	f _{ck} = 30.0 MPa							
f _{yd} = 434.8 MPa	f _{yd} = 434.8 MPa	E _{cm} = 33.0 GPa							
E _y = 200.0 GPa	E _y = 200.0 GPa	f _{ct,1m} = 1.08							
ε _{yk} = 50 [-10 ⁻³]	ε _{yk} = 50 [-10 ⁻³]	ε _{yk} = -1.75							
Ohybová výztuž									
6.66667 Ø 16 mm	1. řada	A _{s1,1} = 1340 mm ²	(0.134%)						
0 Ø 20 mm	2. řada	A _{s1,2} = mm ²	(0.000%)						
0 Ø 20 mm	3. řada	A _{s1,3} = mm ²	(0.000%)						
6.66667 Ø 32 mm	4. řada	A _{s1,4} = 5362 mm ²	(0.536%)						
Rozdělovací výztuž (minimální)									
6.0 Ø 8 mm	A _{s,perp} = 268 mm ²	Stupeň výztužení							
dle 9.6.2 1 000 < 1 340 < 6702 < 40 000 Vyhovuje									
Smyková výztuž									
3.33333 Ø 12 mm	A _{w,sloup} = 377 mm ²	α _w = 90							
S _{sloup} = 300 mm	A _{w,sloup} = 1257 mm ² /m ²	ρ _{w,s} = 0.13%							
0 Ø 16 mm	A _{w,bend} = mm ²	α _b = 45							
S _{bend} = 450 mm	ρ _{w,b} = 0.00% < ρ _{w,s} = 0.13%	Vyhovuje							
Stupeň výztužení									
ρ _{w,s,min} < ρ _{w,s} < ρ _{w,s,max}									
0.09% < 0.13% < 1.00% Vyhovuje									
Vnitřní síly na průřezu									
M _{Ed} = 271 kNm	N _{Ed} = -55 kN	V _{Ed} = 181 kN	(MSU)						
Excentricita pro MSU:									
M _{Ed,char} = 209 kNm	N _{Ed,char} = -54 kN	e _{char} = 3.870 m	(Charakteristická)						
M _{Ed,kvazi} = 153 kNm	N _{Ed,kvazi} = -79 kN	e _{k,quasi} = 1.937 m	(Kvazistálá)						
Štíhlostní kritérium									
l ₀ = 0.7 * 0 = 0.000 m	λ _{0m} = 203.980	λ = 0.000	λ < λ _{lim} = 0.000						
i = √(0.083 / 1.000) = 0.289 m	Masivní prvek								
Smyková únosnost - bez smykové výztuže									
V _{Ed,s} = (0.12 * 1.468 * (0.147 * 30.0) + 0.15 * 0.055) * 1000 * 914 = 0.271 MN	Vyhovuje								
Smyková únosnost - se smykovou výztuží									
V _{Ed,s} = 0.319 MN	V _{Ed} = 0.181 MN	57%							
Sklon tlakových diagonál									
1 < cot θ = 1.428 < 2.5	θ = 35.00°	Vyhovuje							
Dodatečná tahová síla									
ΔF _{td} = 1 * 181 * (1.428 - 0.000)	= 0.258 MN								
Únosnost tlakové diagonály									
V _{Ed,max} = 0.528 * 18.0 * 1000 * 841 / (0.70021 + 1.42815) = 3.755 MN									
Únosnost třmínků									
V _{Ed,st} = 377 * 434.8 * 0.841 * 1.42815 / 300 = 0.656 MN									
Únosnost ohybů									
V _{Ed,b} = 0 * 434.8 * 0.707 * 0.841 * 2.42815 / 450 = 0.000 MN									
Posouzení	V _{Ed,s} = 0.656 MN	V _{Ed} = 0.181 MN	28%						
Vyhovuje									

Stavení napjatosti průřezu na MSÚ (M+N+V)									
Průřez	e _x = -0.260 [-10 ⁻³]		Úprava polohy N.O.						
excentricita tlačných vláken	e _{y+} = 0.175 m	e _{y-} = -0.1 mm		e _{x+} = +1.0 mm		e _{x-} = -1.0 mm			
vzdálenost N.O. od spodních vláken	e _z = 0.825 m	Silová podmínka vyhovuje							
Silová podmínka rovnováhy	celkem	0.0000 MN	rameno vnitřních sil z = 0.841 m						
Momentová podm. rovnováhy	M _{Ed} = 0.271 MNm								
Interakce ohybového a smykového namáhání									
Sila M [MN]	Sila V [MN]	G _{max} [MPa]	Posouzení						
Beton	-0.234	-	-2.677	-0.3	Max.přetvoření betonu vyhovuje				
Výztuž (1)	0.294	0.052	258.2	1.3	Max.přetvoření výztuže vyhovuje				
Výztuž (2)	0.000	0.000	0.0	0.0	Max.přetvoření výztuže vyhovuje				
Výztuž (3)	0.000	0.000	0.0	0.0	Max.přetvoření výztuže vyhovuje				
Výztuž tl.	-0.115	0.207	17.2	0.1	Max.přetvoření výztuže vyhovuje				
Posouzení - beton	f _{td} = 18.000 MPa	>	σ _{cc} = 2.677 MPa	>	15% Vyhovuje				
Posouzení - ocel	f _{td} = 465.929 MPa	>	σ _s = 258.238 MPa	>	55% Vyhovuje				
Poloha N.O.									
Průřez									
Napětí v betonu									
Průřez									
Napětí v betonu									
Průřez									
Průřez									
Průřez									
Průřez									
Průřez									
Průřez									
Průřez									
Průřez									
Průřez									
Průřez									
Průřez									
Průřez									
Průřez									
Průřez									
Průřez									
Průřez									
Průřez									
Průřez									
Průřez									
Průřez									
Průřez									
Průřez									
Průřez									
Průřez									
Průřez									
Průřez									
Průřez									
Průřez									
Průřez									
Průřez									
Průřez									
Průřez									
Průřez									
Průřez									
Průřez									
Průřez									
Průřez									
Průřez									
Průřez									
Průřez									
Průřez									
Průřez									
Průřez									
Průřez									
Průřez									
Průřez									
Průřez									
Průřez									
Průřez									
Průřez									
Průřez									
Průřez									
Průřez									
Průřez									
Průřez									
Průřez									
Průřez									
Průřez									
Průřez									
Průřez									
Průřez									
Průřez									
Průřez									
Průřez									
Průřez									
Průřez									
Průřez									
Průřez									
Průřez									
Průřez									
Průřez									
Průřez									
Průřez									
Průřez									
Průřez									
Průřez									
Průřez									
Průřez									
Průřez									
Průřez									
Průřez									
Průřez									
Průřez									
Průřez									
Průřez									
Průřez									
Průřez									
Průřez									
Průřez									
Průřez									
Průřez									
Průřez									
Průřez									
Průřez									
Průřez									
Průřez									
Průřez									
Průřez									
Průřez									
Průřez									
Průřez									
Průřez									
Průřez									
Průřez									
Průřez									
Průřez									
Průřez									
Průřez									
Průřez									
Průřez									
Průřez									
Průřez									
Průřez									
Průřez									
Průřez									
Průřez									
Průřez									
Průřez									
Průřez									
Průřez									
Průřez									
Průřez									
Průřez									
Průřez									
Průřez									
Průřez									
Průřez									
Průřez									
Průřez									
Průřez									
Průřez									
Průřez									
Průřez									
Průřez									
Průřez									
Průřez									
Průřez									
Průřez									
Průřez									
Průřez									
Průřez									
Průřez									
Průřez									
Průřez									
Průřez									
Průřez									
Průřez									
Průřez									
Průřez									
Průřez									
Průřez									
Průřez									
Průřez									
Průřez									
Průřez									
Průřez									
Průřez									
Průřez									
Průřez									
Průřez									
Průřez									
Průřez									
Průřez									
Průřez									
Průřez									
Průřez									
Průřez									
Průřez									
Průřez									
Průřez									
Průřez									
Průřez									
Průřez									
Průřez									
Průřez									
Průřez									
Průřez									
Průřez									
Průřez									
Průřez									
Průřez									
Průřez									
Průřez									
Průřez									
Průřez									
Průřez									
Průřez									
Průřez									
Průřez									
Průřez									
Průřez									
Průřez									
Průřez									
Průřez									
Průřez									
Průřez									
Průřez									
Průřez									

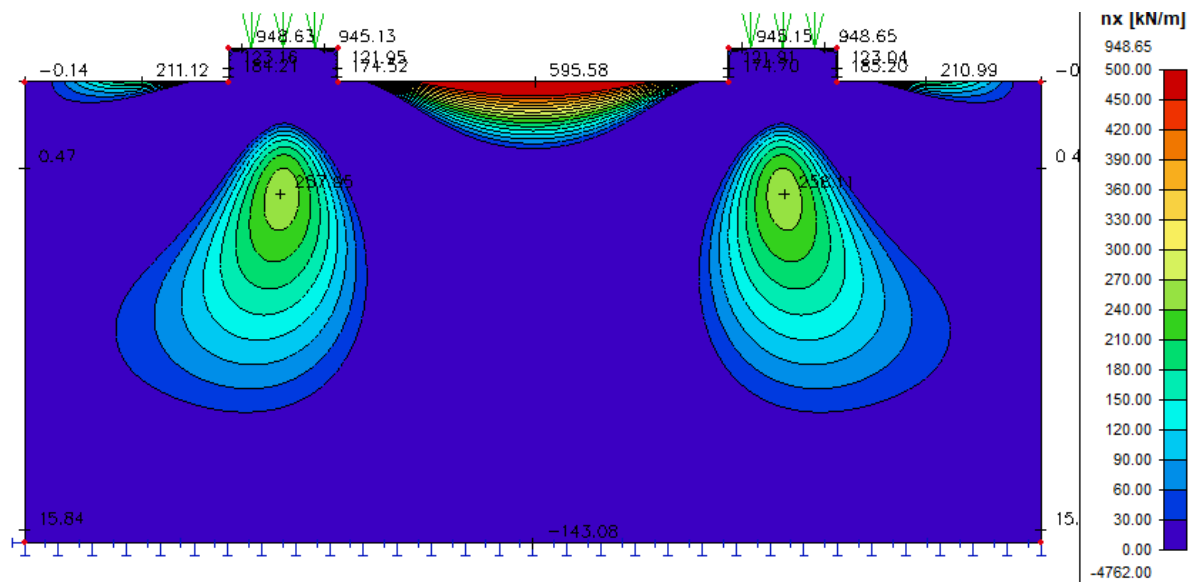
7.1.5 Oblast pod ložisky

Oblast pod ložisky byla navržena obdobně jako kotevní oblast na deskostěnovém modelu.

– příčný řez opěrou v místě ložiska – n_x [kN/m]



– pohled na opěru v místě ložiska – n_x [kN/m]



NÁVRH BLOČKU

šířka kotevní desky:	$a =$	0.370	m	šířka přiřazeného obdélníka:	$c =$	0.560	m
délka kotevní desky:	$a' =$	0.370	m	délka přiřazeného obdélníka:	$c' =$	0.560	m
šířka bločku:	$b =$	0.630	m	výška bločku:	$h =$	0.190	m
délka bločku:	$l =$	0.630	m	plocha ložiska:	$A_0 =$	0.137	m ²
pevnost bet. v tlaku:	$f_{ck}(t) =$	30.000	MPa	plocha přiřazeného obdélníka:	$A_1 =$	0.314	m ²
návrhová pevnost	$f_{cd}(t) =$	27.243	MPa	návrh. síla od ložiska:	$R_{Ed} =$	2.700	MN
				max. síla od ložiska:	$R_{Rd} =$	3.730	MN

NÁVRH ÚLOŽNÉHO PRAHU

působící šířka bločku:	$a =$	0.560	m	šířka přiřazeného obdélníka:	$c =$	1.680	m
působící délka bločku:	$a' =$	0.560	m	délka přiřazeného obdélníka:	$c' =$	1.200	m
působící plocha bločku:	$A_0 =$	0.314	m ²	vypočtená výška ÚP:	$h_{min} =$	1.120	m
pevnost bet. v tlaku:	$f_{ck}(t) =$	30.000	MPa	plocha přiřazeného obdélníka:	$A_1 =$	2.016	m ²
návrhová pevnost	$f_{cd}(t) =$	45.638	MPa	návrh. síla od ložiska:	$R_{Ed} =$	2.700	MN
				max. síla od ložiska:	$R_{Rd} =$	14.312	MN

NÁVRH VÝZTUŽE DLE ŘEZŮ V DESKOSTĚNOVÉM MODELU

Podélný řez mostem

Oblast výztuže	L	F	$\gamma_{p,unfav}$	f_{yd}	$A_{s,req}$	\emptyset	n
	[mm]	[kN]	[-]	[MPa]	[mm ²]	[mm]	[-]
Vodorovná pod lož	1300	350	1	435	805	12	8
Vodorovná u povrchu	200	55	1	435	126	12	2

Pohled na opěru

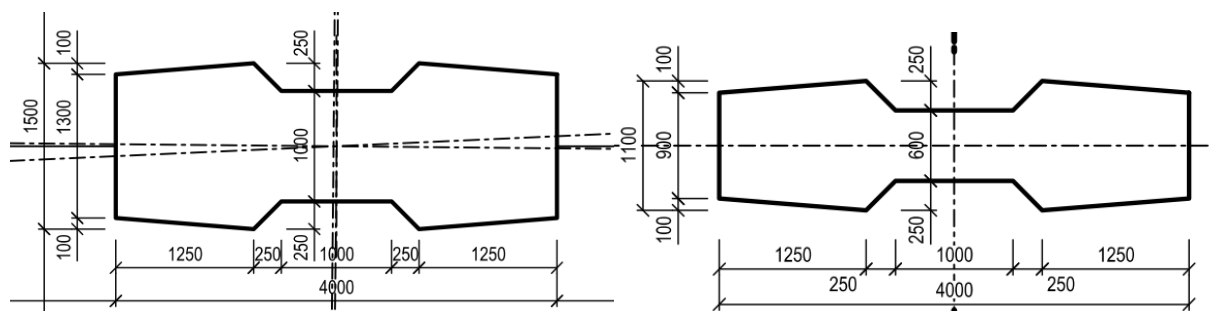
Oblast výztuže	L	F	$\gamma_{p,unfav}$	f_{yd}	$A_{s,req}$	\emptyset	n
	[mm]	[kN]	[-]	[MPa]	[mm ²]	[mm]	[-]
Vodorovná pod lož	1500	267	1	435	614	12	6
Povrchová mezi lož	350	110	1	435	253	12	3
Povrchová od lož	100	11	1	435	25	12	1

7.2 Pilíře

Pilíře byly modelovány společně s nosnou konstrukcí a vnitřní síly v kombinacích jsou získávány přímo z programu MIDAS Civil. Posouzení bylo provedeno v programu IDEA StatiCa. Dříky pilířů jsou ve tvaru činky s šířkou 4,0 m a délkou dle jejich pozice. Břehové pilíře jsou navrženy masivnějšího průřezu s maximální tloušťkou 1,5 m, kyvné stojky na oblouku jsou navrženy subtilní s maximální tl. 1,0 m.

Pilíře jsou v místě oblouku s ohledem na nutnost jeho revize oslabeny prostupem na výšku 2,5m a šířku propojovacího krčku (1,0 m). Průřez mimo toto oslabení zůstává zachován.

Obrázek 7-3: Půdorys břehových pilířů (vlevo), půdorys stojek oblouku (vpravo)



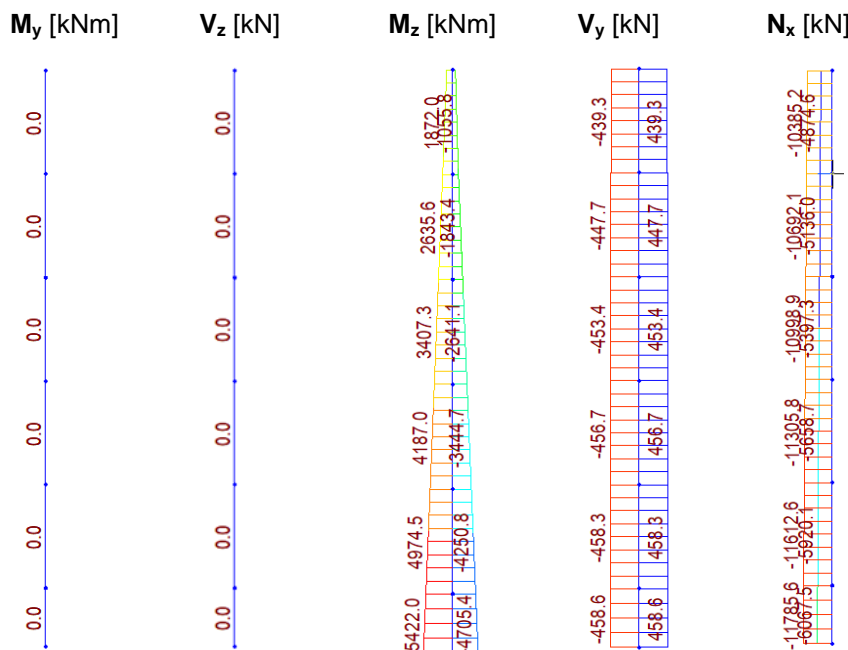
7.2.1 Vnitřní síly

Vnitřní síly stojek na oblouku jsou uvažovány na modelu se zahrnutím imperfekcí oblouku. Ostatní břehové pilíře P1-P3 a P9-P11 jsou s ohledem na jejich nezávislou výstavbu uvažovány bez těchto imperfekcí, pouze s případným zahrnutím účinku 2. řádu. Pilíře s ložisky jsou navíc doplněny o účinek tření v ložiskách, který není na grafice vyznačen (vodorovné síly jsou uvedeny v tabulce ložisek).

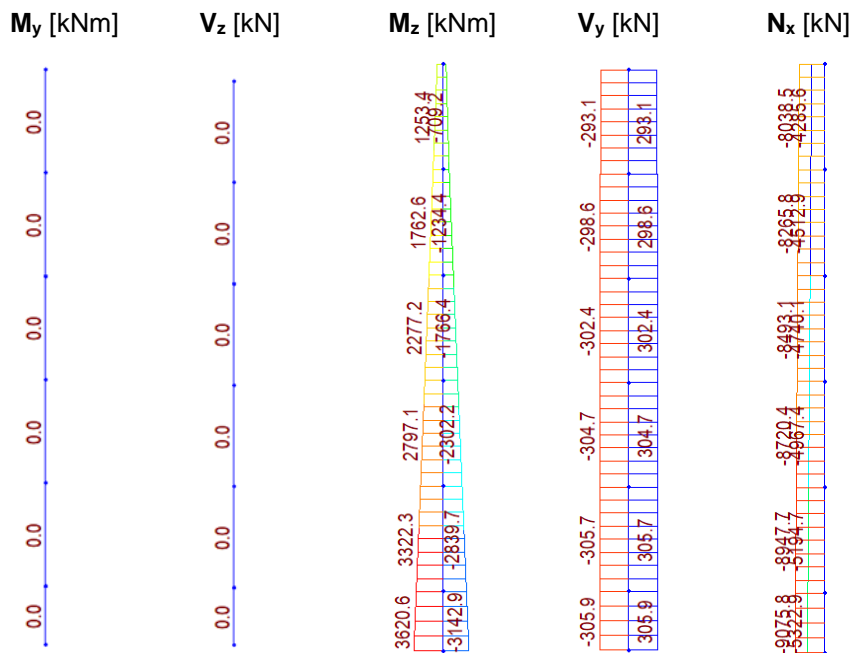
7.2.1.1 Pilíř P1

Nejnižší břehový pilíř s výškou 8,9 m k základu.

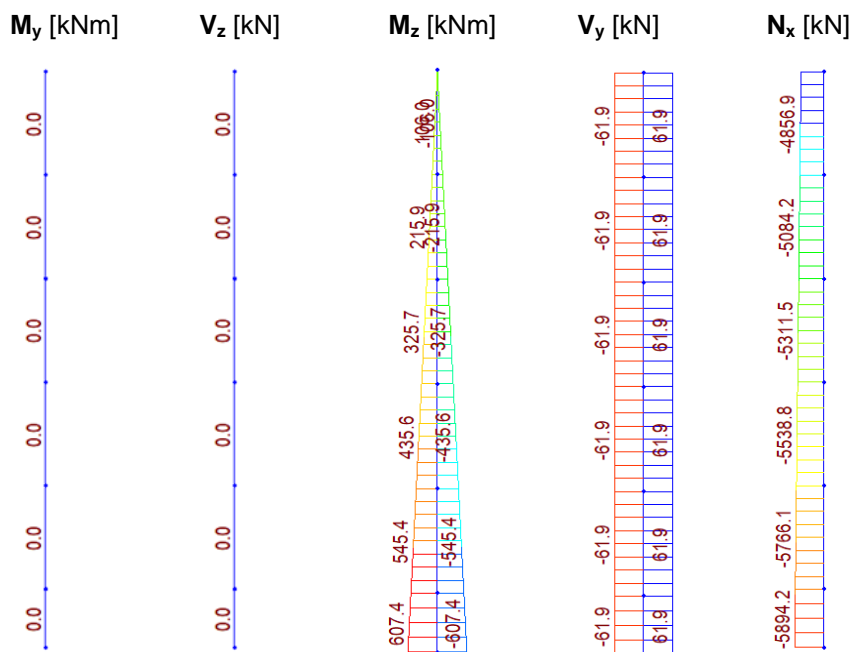
MSÚ (obálka)



Charakteristická kombinace (obálka)



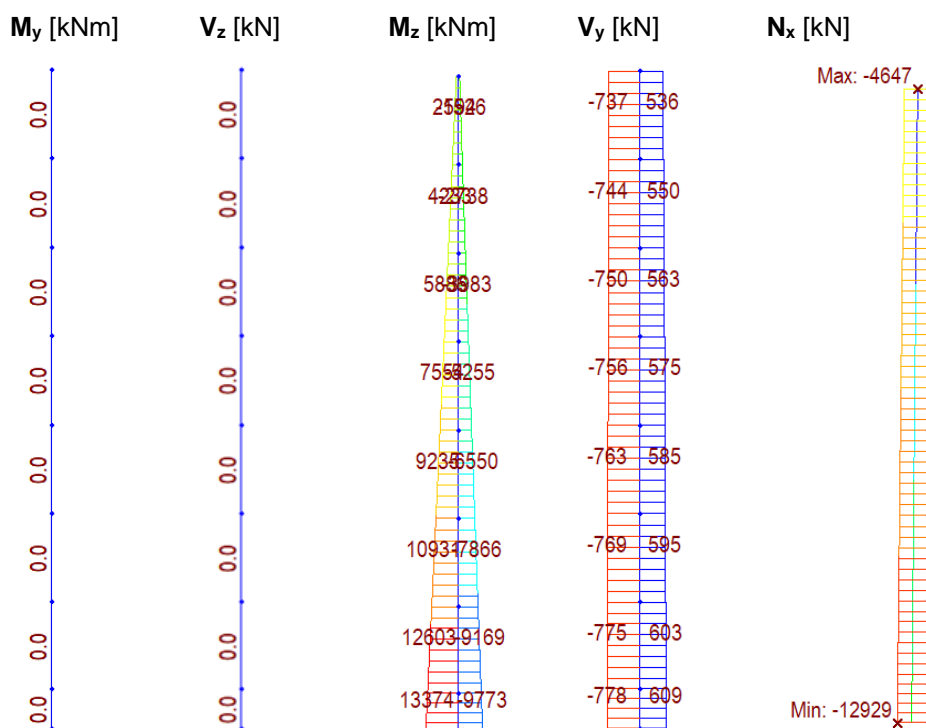
Kvazistálá kombinace (obálka)



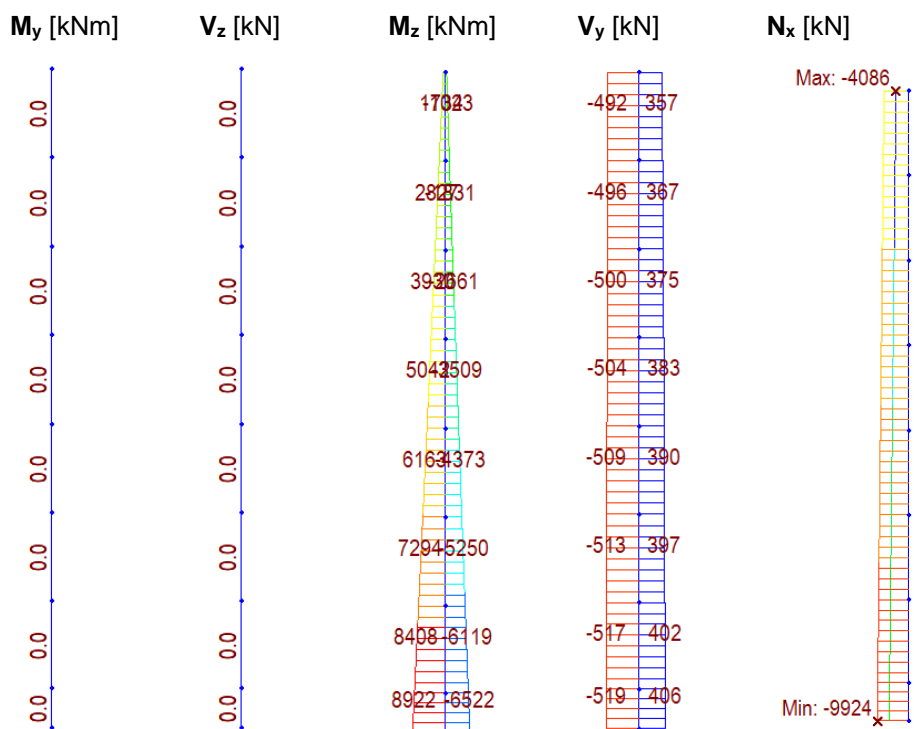
7.2.1.2 Pilíře P2, P11

S ohledem na jejich podobnou výšku nebylo uvažováno s upraveným vyztužením. Posouzen je pilíř P11 s výškou 15,65 m k základu.

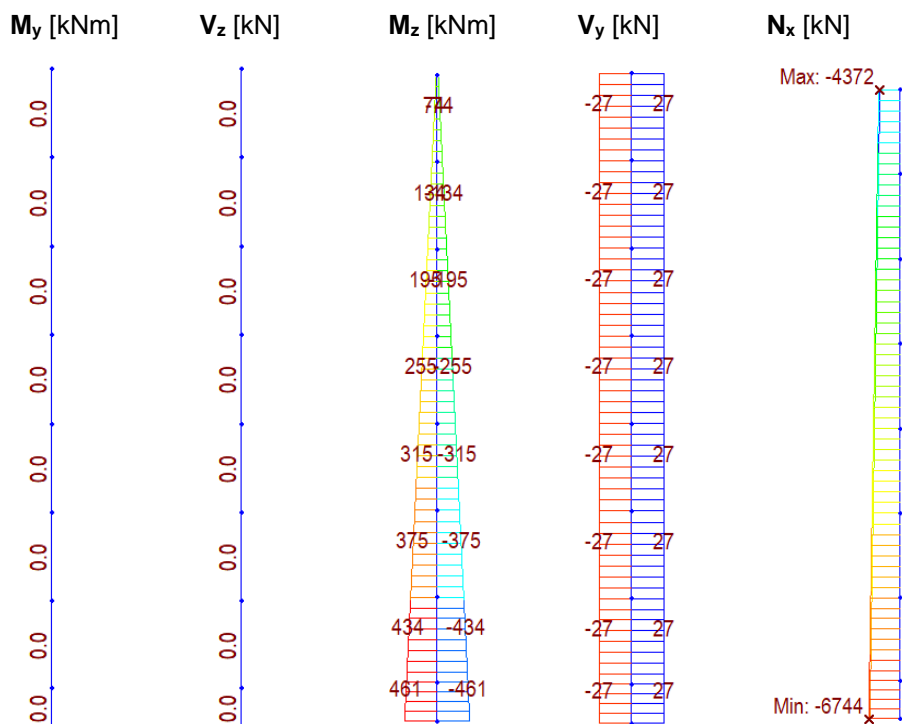
MSÚ (obálka)



Charakteristická kombinace (obálka)



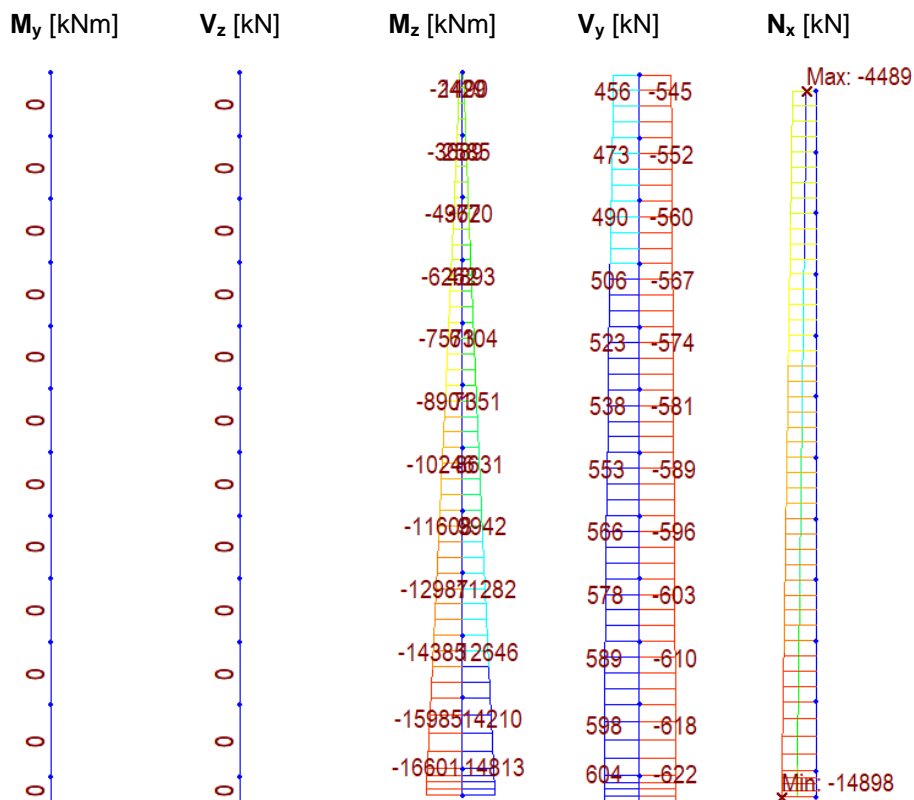
Kvazistálá kombinace (obálka)



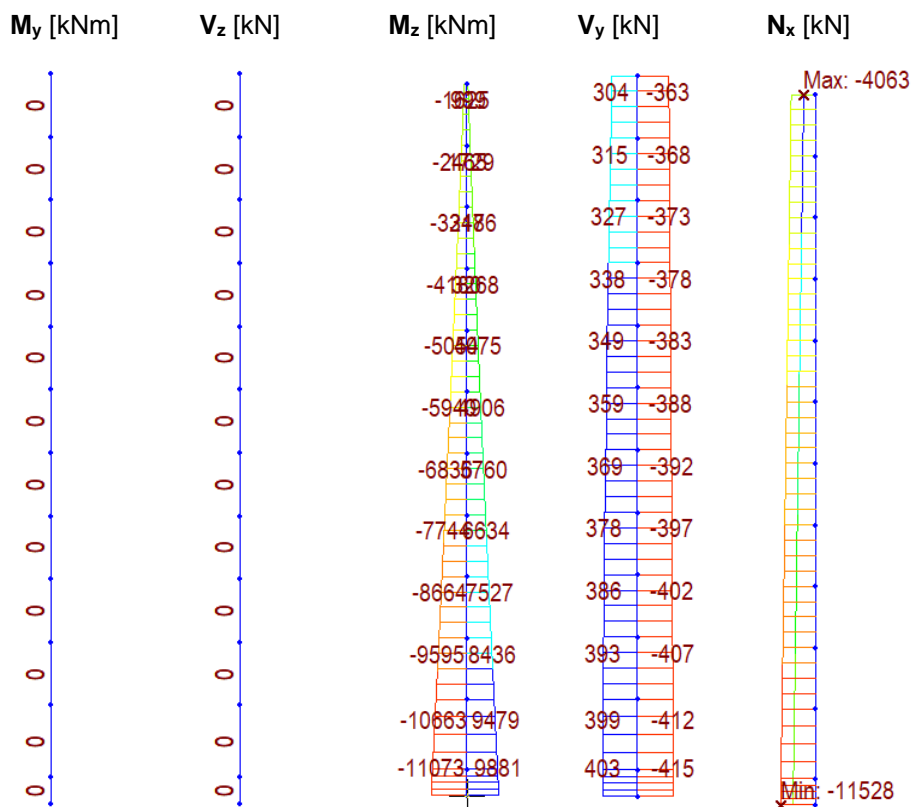
7.2.1.3 Pilíř P10

Břehový pilíř s výškou 25,9 m k základu.

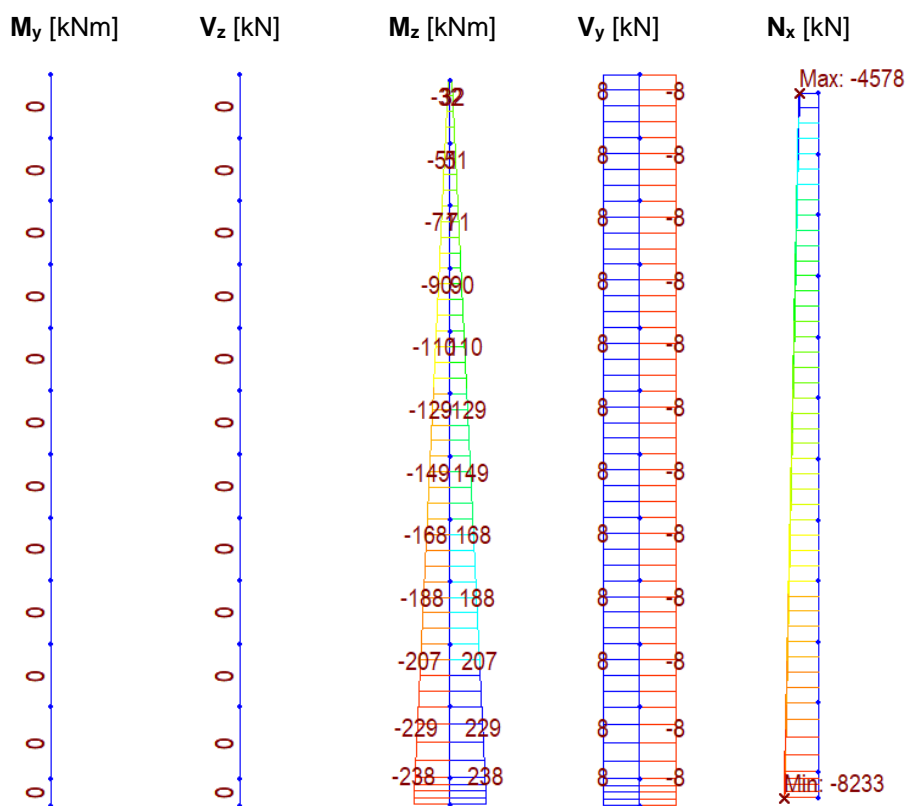
MSÚ (obálka)



Charakteristická kombinace (obálka)



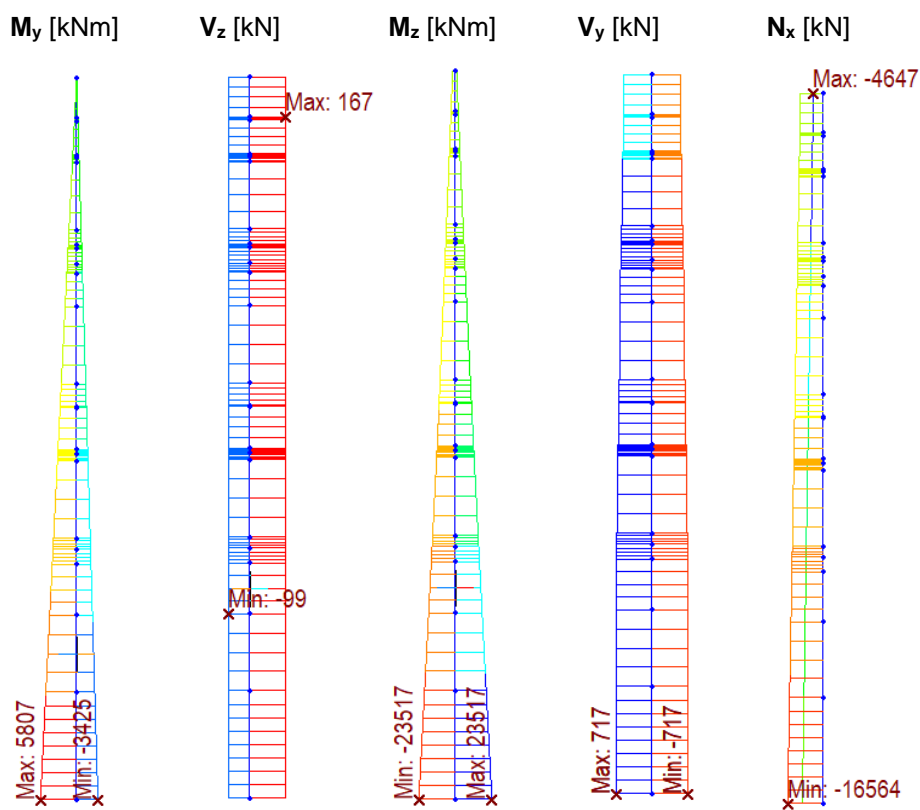
Kvazistálá kombinace (obálka)



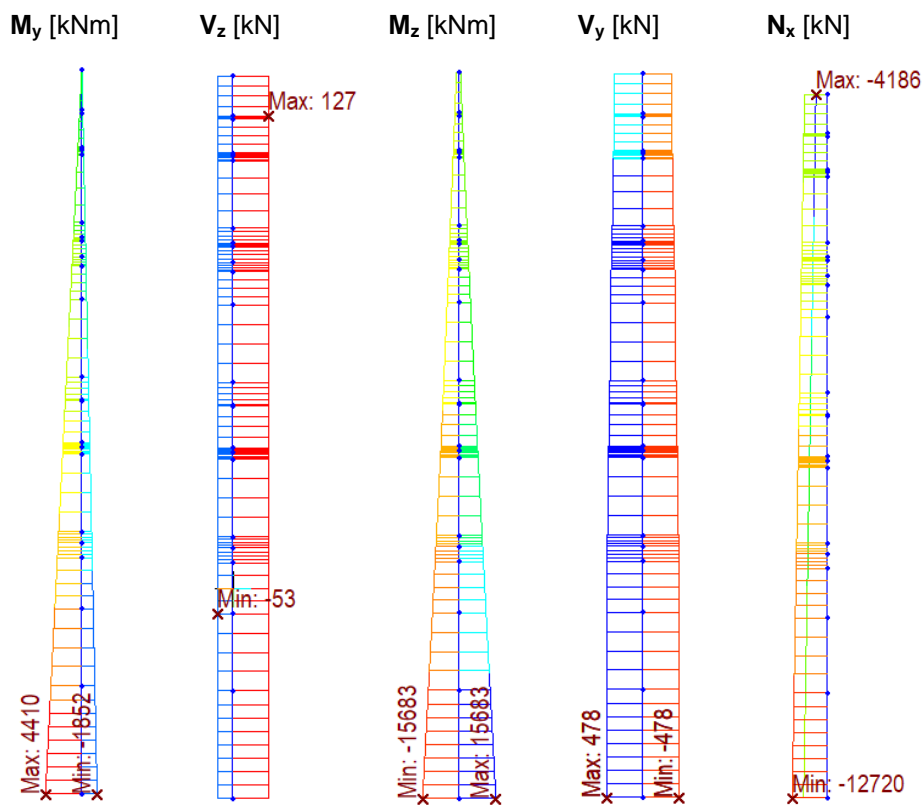
7.2.1.4 Pilíře P3, P9

Pilíře nad základem oblouku, spojené s trémovou mostovkou vrubovým kloubem. Výška pilíře k základu 34,7 m.

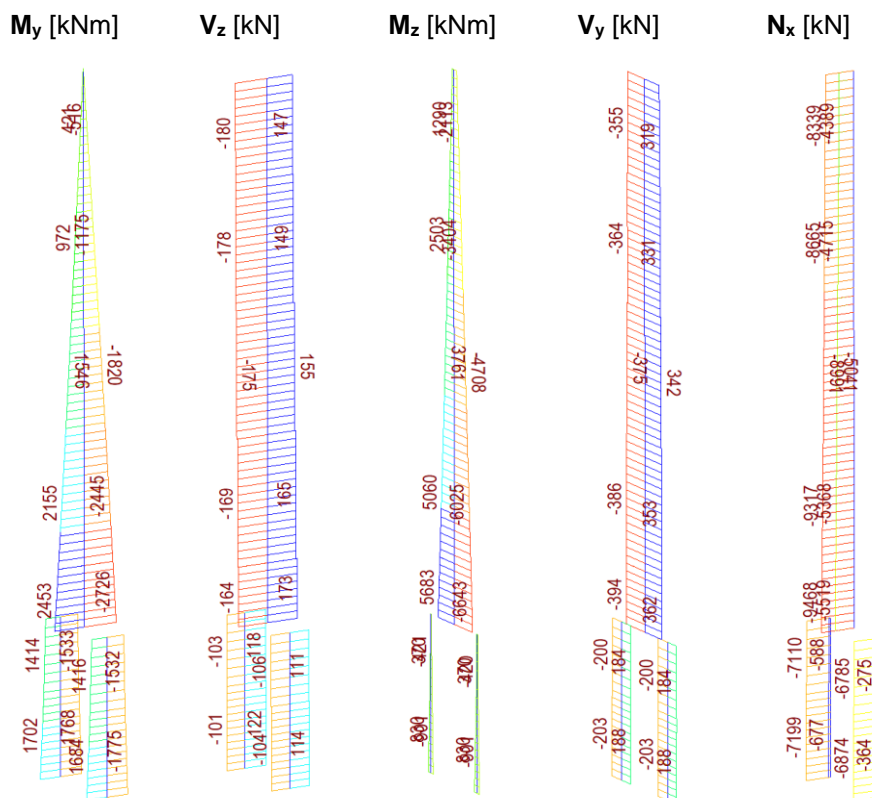
MSÚ (obálka)



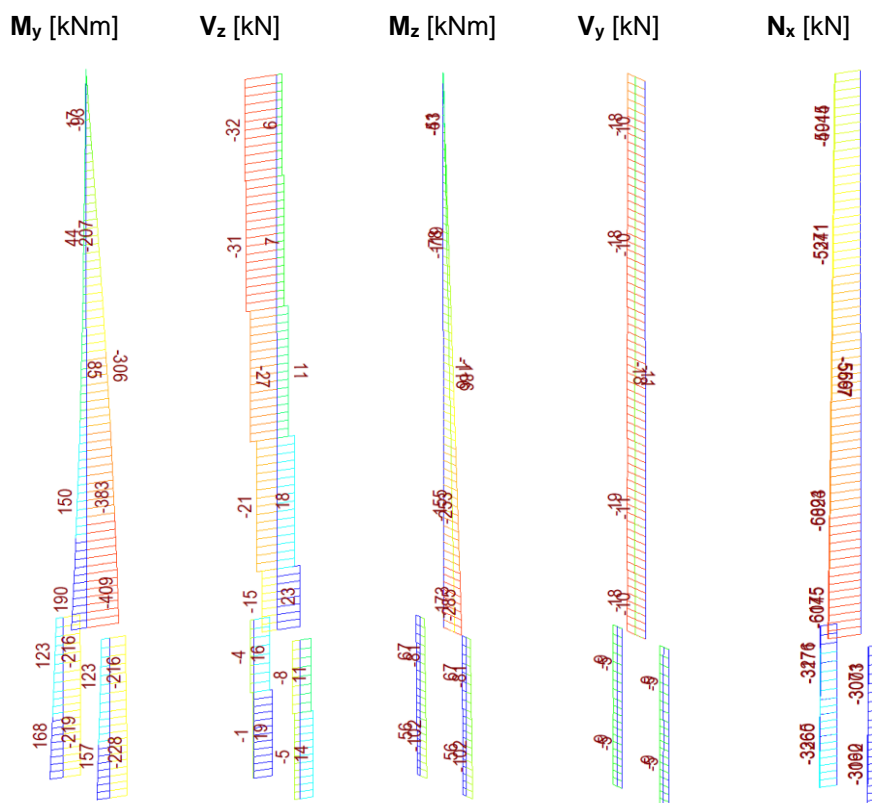
Charakteristická kombinace (obálka)



Charakteristická kombinace (obálka)



Kvazistálá kombinace (obálka)



7.2.2 Ověření účinků 2. řádu

Vnitřní síly získané z programu MIDAS Civil zohledňují vliv imperfekcí z výstavby oblouku, které jsou popsány v posouzení obloukové nosné konstrukce. Účinky druhého řádu vlivem štíhlosti stojek jsou dopočteny v programu IDEA StatiCa a porovnány s ručním výpočtem.

Účinky 2. řádu je nutné uvažovat pro pilíře z patek oblouku (P3 a P9), pro břehový pilíř P10 a dále pro vyšší stojky na oblouku P4 a P8. Ruční ověření štíhlosti pro stojky oblouky viz níže.

METODA JMENOVITÉ KŘIVOSTI - doplňkový moment od účinků 2. řádu a imperfekcí - pilíř P1, P2 a P11

geometrie a materiály					
plocha průřezu	$A_c =$	5.125	m ²	třída betonu	C35/45
moment setrvačnosti	$I_y =$	0.743	m ⁴	tlaková pevnost	$f_{c,k} = 35.0$ MPa
profil výztuže	$\varnothing =$	20	mm	součinitel materiálu betonu	$\gamma_c = 1.50$ -
počet profilů	$n_{\varnothing} =$	72	ks	součinitel LT účinků	$\alpha_{cc} = 0.9$ -
plocha výztuže	$A_s =$	22619	mm ²	mez kluzu oceli	$f_{y,k} = 500.0$ MPa
účinná výška průřezu	$d =$	1.400	m	modul pružnosti oceli	$E_s = 200.00$ GPa
				součinitel materiálu oceli	$\gamma_s = 1.15$ -
Účinky od lineárního výpočtu					
koncový moment 1 (MSÚ)	$M_{Ed1} =$	0.0	kNm	koncový moment 2 (MSÚ)	$M_{Ed2} = 3728.3$ kNm
koncový moment 1 (kvazi)	$M_{Ek1} =$	0.0	kNm	koncový moment 2 (kvazi)	$M_{Ek2} = 745.7$ kNm
normálová síla (MSÚ)	$N_{Ed} =$	14898.0	kN	<i>tlakové hodnoty s kladným znaménkem</i>	
koncový moment 1. řádu (1)	$M_{01} =$	0.0	kNm	koncový moment 1. řádu (2)	$M_{02} = 3728.3$ kNm
koncový moment 1. řádu (1)	$M_{01} =$	0.0	kNm	koncový moment 1. řádu (2)	$M_{02} = 745.7$ kNm
			ekvivaletní koncový moment	$M_{0Ed} = 2237.0$ kNm	
			ekvivaletní koncový moment	$M_{0Eqp} = 447.4$ kNm	
Přídavné účinky vlivem imperfekcí					
úhel vychýlení	$\theta_i =$	0.003	°	základní úhel vychýlení	$\theta_0 = 0.005$ °
			redukční souč. pro výšku	$\alpha_h = 0.667$ -	
počet prvků	$m =$	6	-	redukční souč. - počet prvků	$\alpha_m = 0.764$ -
excentricita imperfekcí	$e_i =$	0.015	m		
			moment od imperfekcí	$M_1 = 220.0$ kNm	
Ověření 2. řádu					
limitní štíhlost	$\lambda_{lim} =$	38.425	-	součinitel A	$A = 0.928$ -
poloměr setrvačnosti	$i =$	0.381	m	součinitel B	$B = 1.100$ -
štíhlost	$\lambda =$	30.473	-	součinitel C	$C = 0.700$ -
ÚČINKY 2. ŘÁDU MOŽNO ZANEDBAT					

METODA JMENOVITÉ KŘIVOSTI - doplňkový moment od účinků 2. řádu a imperfekcí - pilíř P3 + P9

geometrie a materiály							
plocha průřezu	$A_c =$	5.125	m ²	třída betonu		C35/45	
moment setrvačnosti	$I_y =$	0.743	m ⁴	tlaková pevnost	$f_{c,k} =$	35.0	MPa
profil výztuže	$\emptyset =$	20	mm	součinitel materiálu betonu	$\gamma_c =$	1.50	-
počet profilů	$n_{\emptyset} =$	72	ks	součinitel LT účinků	$\alpha_{cc} =$	0.9	-
plocha výztuže	$A_s =$	22619	mm ²	mez kluzu oceli	$f_{y,k} =$	500.0	MPa
účinná výška průřezu	$d =$	1.400	m	modul pružnosti oceli	$E_s =$	200.00	GPa
				součinitel materiálu oceli	$\gamma_s =$	1.15	-
Účinky od lineárního výpočtu							
koncový moment 1 (MSÚ)	$M_{Ed1} =$	0.0	kNm	koncový moment 2 (MSÚ)	$M_{Ed2} =$	5450.0	kNm
koncový moment 1 (kvazi)	$M_{Ek1} =$	0.0	kNm	koncový moment 2 (kvazi)	$M_{Ek2} =$	1818.0	kNm
normálová síla (MSÚ)	$N_{Ed} =$	16577.0	kN	<i>tlakové hodnoty s kladným znaménkem</i>			
koncový moment 1. řádu (1)	$M_{01} =$	0.0	kNm	koncový moment 1. řádu (2)	$M_{02} =$	5450.0	kNm
koncový moment 1. řádu (1)	$M_{01} =$	0.0	kNm	koncový moment 1. řádu (2)	$M_{02} =$	1818.0	kNm
				ekvivaletní koncový moment	$M_{0Ed} =$	3270.0	kNm
				ekvivaletní koncový moment	$M_{0Eqp} =$	1090.8	kNm
Přidavné účinky vlivem imperfekcí							
úhel vychýlení	$\theta_i =$	0.003	°	základní úhel vychýlení	$\theta_0 =$	0.005	°
				redukční souč. pro výšku	$\alpha_h =$	0.667	-
počet prvků	$m =$	6	-	redukční souč. - počet prvků	$\alpha_m =$	0.764	-
excentricita imperfekcí	$e_i =$	0.031	m				
				moment od imperfekcí	$M_i =$	511.8	kNm
Ověření 2. řádu							
limitní štíhlost	$\lambda_{lim} =$	34.763	-	součinitel A	$A =$	0.886	-
poloměr setrvačnosti	$i =$	0.381	m	součinitel B	$B =$	1.100	-
štíhlost	$\lambda =$	63.724	-	součinitel C	$C =$	0.700	-
ÚČINKY 2. ŘÁDU NENÍ MOŽNO ZANEDBAT							
Jmenovitý moment 2. řádu							
délka prvku	$L =$	34.7	m	ČSN EN 1992-1 obr. 5.7	c) vetknutí - kloub		
účinná délka	$l_0 =$	24.3	m				
součinitel křivosti	$c =$	9.87	-	5.8.8.2 v EN 92-1: pro konst. moment I. Řádu = 8, jinak $P_i()$ ²			
opr. souč. závislý na N_{Ed}	$K_r =$	1.000	-	poměrná normálová síla	$n =$	0.154	-
				balanční poměr. norm. síla	$n_{bal} =$	0.400	-
				maximální poměr. norm. síla	$n_u =$	1.082	-
opr. souč. dotvarování	$K_{\varphi} =$	1.064	-	součinitel beta	$\beta =$	0.100	-
				součinitel dotvarování	$\varphi_{(inf,t_0)} =$	1.930	-
				účinný součinitel dotvarování	$\varphi_{ef} =$	0.644	-
křivost	$1/r =$	3.67E-03	-	přetvoř. oceli na mezi kluzu	$\varepsilon_{yd} =$	2.174	‰
				náhradní křivost	$1/r_0 =$	3.45E-03	-
excentricita od účinků 2. řádu	$e_2 =$	0.219	m				
				jmenovitý moment 2. řádu	$M_2 =$	3629.6	kNm

METODA JMENOVITÉ KŘIVOSTI - doplňkový moment od účinků 2. řádu a imperfekcí - pilíř P10

geometrie a materiály							
plocha průřezu	$A_c =$	5.125	m ²	třída betonu		C35/45	
moment setrvačnosti	$I_y =$	0.743	m ⁴	tlaková pevnost	$f_{c,k} =$	35.0	MPa
profil výztuže	$\emptyset =$	20	mm	součinitel materiálu betonu	$\gamma_c =$	1.50	-
počet profilů	$n_{\emptyset} =$	72	ks	součinitel LT účinků	$\alpha_{cc} =$	0.9	-
plocha výztuže	$A_s =$	22619	mm ²	mez kluzu oceli	$f_{y,k} =$	500.0	MPa
účinná výška průřezu	$d =$	1.400	m	modul pružnosti oceli	$E_s =$	200.00	GPa
				součinitel materiálu oceli	$\gamma_s =$	1.15	-
Účinky od lineárního výpočtu							
koncový moment 1 (MSÚ)	$M_{Ed1} =$	0.0	kNm	koncový moment 2 (MSÚ)	$M_{Ed2} =$	6052.5	kNm
koncový moment 1 (kvazi)	$M_{Ek1} =$	0.0	kNm	koncový moment 2 (kvazi)	$M_{Ek2} =$	1210.5	kNm
normálová síla (MSÚ)	$N_{Ed} =$	14898.0	kN	<i>tlakové hodnoty s kladným znaménkem</i>			
koncový moment 1. řádu (1)	$M_{01} =$	0.0	kNm	koncový moment 1. řádu (2)	$M_{02} =$	6052.5	kNm
koncový moment 1. řádu (1)	$M_{01} =$	0.0	kNm	koncový moment 1. řádu (2)	$M_{02} =$	1210.5	kNm
				ekvivaletní koncový moment	$M_{0Ed} =$	3631.5	kNm
				ekvivaletní koncový moment	$M_{0Eq} =$	726.3	kNm
Přídavné účinky vlivem imperfekcí							
úhel vychýlení	$\theta_i =$	0.003	°	základní úhel vychýlení	$\theta_0 =$	0.005	°
				redukční souč. pro výšku	$\alpha_h =$	0.667	-
počet prvků	$m =$	6	-	redukční souč. - počet prvků	$\alpha_m =$	0.764	-
excentricita imperfekcí	$e_i =$	0.024	m				
				moment od imperfekcí	$M_i =$	356.7	kNm
Ověření 2. řádu							
limitní štíhlost	$\lambda_{lim} =$	38.425	-	součinitel A	$A =$	0.928	-
poloměr setrvačnosti	$i =$	0.381	m	součinitel B	$B =$	1.100	-
štíhlost	$\lambda =$	49.416	-	součinitel C	$C =$	0.700	-
ÚČINKY 2. ŘÁDU NENÍ MOŽNO ZANEDBAT							
Jmenovitý moment 2. řádu							
délka prvku	$L =$	26.9	m	ČSN EN 1992-1 obr. 5.7	c) vetknutí - kloub		
účinná délka	$l_0 =$	18.8	m				
součinitel křivosti	$c =$	9.87	-	5.8.8.2 v EN 92-1: pro konst. moment I. Řádu = 8, jinak $P_i()$ ²			
opr. souč. závislý na N_{Ed}	$K_r =$	1.000	-	poměrná normálová síla	$n =$	0.138	-
				balanční poměr. norm. síla	$n_{bal} =$	0.400	-
				maximální poměr. norm. síla	$n_u =$	1.082	-
opr. souč. dotvarování	$K_{\varphi} =$	1.075	-	součinitel beta	$\beta =$	0.196	-
				součinitel dotvarování	$\varphi_{(inf,t0)} =$	1.930	-
				účinný součinitel dotvarování	$\varphi_{ef} =$	0.386	-
křivost	$1/r =$	3.71E-03	-	přetvoř. oceli na mezi kluzu	$\varepsilon_{yd} =$	2.174	‰
				náhradní křivost	$1/r_0 =$	3.45E-03	-
excentricita od účinků 2. řádu	$e_2 =$	0.133	m				
				jmenovitý moment 2. řádu	$M_2 =$	1981.8	kNm

METODA JMENOVITÉ KŘIVOSTI - doplňkový moment od účinků 2. řádu a imperfekcí - vysoká stojka

geometrie a materiály							
plocha průřezu	$A_c =$	3.525	m ²	třída betonu		C35/45	
moment setrvačnosti	$I_y =$	0.256	m ⁴	tlaková pevnost	$f_{c,k} =$	35.0	MPa
profil výztuže	$\varnothing =$	16	mm	součinitel materiálu betonu	$\gamma_c =$	1.50	-
počet profilů	$n_{\varnothing} =$	72	ks	součinitel LT účinků	$\alpha_{cc} =$	0.9	-
plocha výztuže	$A_s =$	14476	mm ²	mez kluzu oceli	$f_{y,k} =$	500.0	MPa
účinná výška průřezu	$d =$	1.000	m	modul pružnosti oceli	$E_s =$	200.00	GPa
				součinitel materiálu oceli	$\gamma_s =$	1.15	-
Účinky od lineárního výpočtu							
koncový moment 1 (MSÚ)	$M_{Ed1} =$	0.0	kNm	koncový moment 2 (MSÚ)	$M_{Ed2} =$	3855.0	kNm
koncový moment 1 (kvazi)	$M_{Ek1} =$	0.0	kNm	koncový moment 2 (kvazi)	$M_{Ek2} =$	328.0	kNm
normálová síla (MSÚ)	$N_{Ed} =$	11412.0	kN	<i>tlakové hodnoty s kladným znaménkem</i>			
koncový moment 1. řádu (1)	$M_{01} =$	0.0	kNm	koncový moment 1. řádu (2)	$M_{02} =$	3855.0	kNm
koncový moment 1. řádu (1)	$M_{01} =$	0.0	kNm	koncový moment 1. řádu (2)	$M_{02} =$	328.0	kNm
				ekvivaletní koncový moment	$M_{0Ed} =$	2313.0	kNm
				ekvivaletní koncový moment	$M_{0Eqp} =$	196.8	kNm
Přídavné účinky vlivem imperfekcí							
úhel vychýlení	$\theta_i =$	0.003	°	základní úhel vychýlení	$\theta_0 =$	0.005	°
				redukční souč. pro výšku	$\alpha_h =$	0.667	-
počet prvků	$m =$	4	-	redukční souč. - počet prvků	$\alpha_m =$	0.791	-
excentricita imperfekcí	$e_i =$	0.014	m				
				moment od imperfekcí	$M_i =$	165.3	kNm
Ověření 2. řádu							
limitní štíhlost	$\lambda_{lim} =$	37.975	-	součinitel A	$A =$	0.968	-
poloměr setrvačnosti	$i =$	0.270	m	součinitel B	$B =$	1.100	-
štíhlost	$\lambda =$	40.764	-	součinitel C	$C =$	0.700	-
ÚČINKY 2. ŘÁDU NENÍ MOŽNO ZANEDBAT							
Jmenovitý moment 2. řádu							
délka prvku	$L =$	15.7	m	ČSN EN 1992-1 obr. 5.7	c) vetknutí - kloub		
účinná délka	$l_0 =$	11.0	m				
součinitel křivosti	$c =$	9.87	-	5.8.8.2 v EN 92-1: pro konst. moment I. Řádu = 8, jinak $P_i()^2$			
opr. souč. závislý na N_{Ed}	$K_r =$	1.000	-	poměrná normálová síla	$n =$	0.154	-
				balanční poměr. norm. síla	$n_{bal} =$	0.400	-
				maximální poměr. norm. síla	$n_u =$	1.077	-
opr. souč. dotvarování	$K_{\varphi} =$	1.042	-	součinitel beta	$\beta =$	0.253	-
				součinitel dotvarování	$\varphi_{(inf,t0)} =$	1.930	-
				účinný součinitel dotvarování	$\varphi_{ef} =$	0.164	-
křivost	$1/r =$	5.03E-03	-	přetvoř. oceli na mezi kluzu	$\varepsilon_{yd} =$	2.174	‰
				náhradní křivost	$1/r_0 =$	4.83E-03	-
excentricita od účinků 2. řádu	$e_2 =$	0.062	m				
				jmenovitý moment 2. řádu	$M_2 =$	702.7	kNm

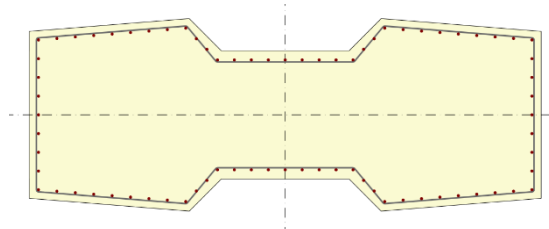
METODA JMENOVITÉ KŘIVOSTI - doplňkový moment od účinků 2. řádu a imperfekcí - nízká stojka

geometrie a materiály							
plocha průřezu	$A_c =$	3.525	m ²	třída betonu		C35/45	
moment setrvačnosti	$I_y =$	0.256	m ⁴	tlaková pevnost	$f_{c,k} =$	35.0	MPa
profil výztuže	$\emptyset =$	16	mm	součinitel materiálu betonu	$\gamma_c =$	1.50	-
počet profilů	$n_{\emptyset} =$	72	ks	součinitel LT účinků	$\alpha_{cc} =$	0.9	-
plocha výztuže	$A_s =$	14476	mm ²	mez kluzu oceli	$f_{y,k} =$	500.0	MPa
účinná výška průřezu	$d =$	1.000	m	modul pružnosti oceli	$E_s =$	200.00	GPa
				součinitel materiálu oceli	$\gamma_s =$	1.15	-
Účinky od lineárního výpočtu							
koncový moment 1 (MSÚ)	$M_{Ed1} =$	0.0	kNm	koncový moment 2 (MSÚ)	$M_{Ed2} =$	0.0	kNm
koncový moment 1 (kvazi)	$M_{Ek1} =$	0.0	kNm	koncový moment 2 (kvazi)	$M_{Ek2} =$	0.0	kNm
normálová síla (MSÚ)	$N_{Ed} =$	10753.0	kN	tlakové hodnoty s kladným znaménkem			
koncový moment 1. řádu (1)	$M_{01} =$	0.0	kNm	koncový moment 1. řádu (2)	$M_{02} =$	0.0	kNm
koncový moment 1. řádu (1)	$M_{01} =$	0.0	kNm	koncový moment 1. řádu (2)	$M_{02} =$	0.0	kNm
				ekvivaletní koncový moment	$M_{0Ed} =$	0.0	kNm
				ekvivaletní koncový moment	$M_{0Eqp} =$	0.0	kNm
Přídavné účinky vlivem imperfekcí							
úhel vychýlení	$\theta_i =$	0.004	°	základní úhel vychýlení	$\theta_0 =$	0.005	°
				redukční souč. pro výšku	$\alpha_h =$	1.000	-
počet prvků	$m =$	4	-	redukční souč. - počet prvků	$\alpha_m =$	0.791	-
excentricita imperfekcí	$e_i =$	0.008	m				
				moment od imperfekcí	$M_i =$	81.8	kNm
Ověření 2. řádu							
limitní štíhlost	$\lambda_{lim} =$	29.153	-	součinitel A	$A =$	0.722	-
poloměr setrvačnosti	$i =$	0.270	m	součinitel B	$B =$	1.100	-
štíhlost	$\lambda =$	14.280	-	součinitel C	$C =$	0.700	-
ÚČINKY 2. ŘÁDU MOŽNO ZANEDBAT							

7.2.3 Návrh výztuže – břehové pilíře

Posouzení pilířů proběhlo v programu IDEA StatiCa s vyhledáním nejhorších extrémů v konstrukci. Na základě metody mezních přetvoření byla navržena výztuž v patě Ø20, smyková výztuž 2 stříhy Ø12 po 150 mm v obou směrech. Na grafice a posouzení níže jsou uvedeny výsledky pro nejméně příznivou kombinaci namáhání.

Obrázek 7-4: Schéma vyztužení pilíře v patě



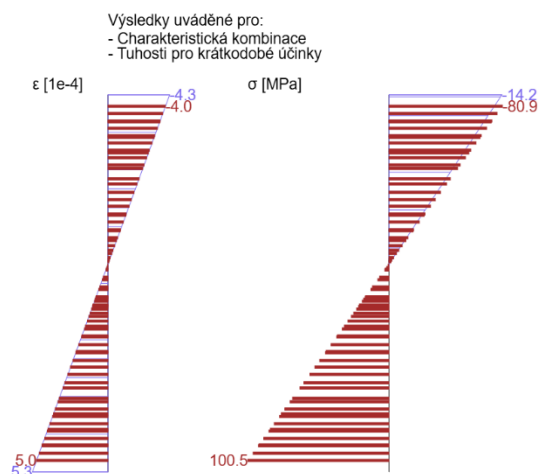
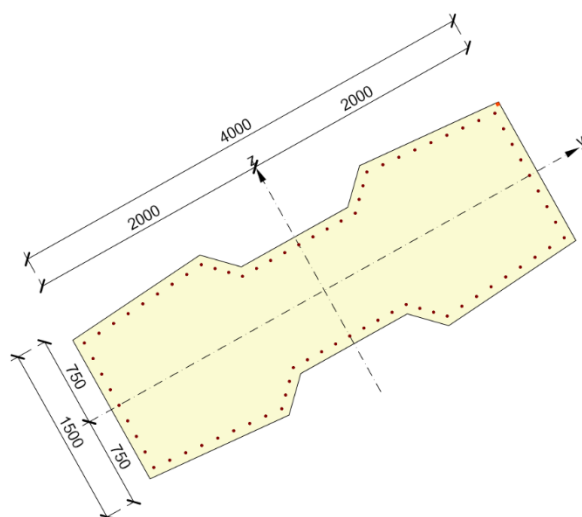
– standardní MSÚ, MSP

$M_{y,max}$

Rozhodující typ posudku	N_{Ed} [kN]	$M_{Ed,y}$ [kNm]	$M_{Ed,z}$ [kNm]	V_{Ed} [kN]	T_{Ed} [kNm]	Hodnota [%]	Posudek
Interakce	-12398.2	9135.5	-15282.4	484.2	691.1	93.4	OK
Typ posudku	N_{Ed} [kN]	$M_{Ed,y}$ [kNm]	$M_{Ed,z}$ [kNm]	V_{Ed} [kN]	T_{Ed} [kNm]	Hodnota [%]	Posudek
Únosnost N-M-M	-12398.2	9135.5	-15282.4			76.2	OK
Smyk	-12398.2			484.2	691.1	23.1	OK
Kroucení					691.1	20.7	OK
Interakce	-12398.2	9135.5	-15282.4	484.2	691.1	93.4	OK
Omezení napětí	-10469.6	4409.8	-10071.1			68.1	OK
Šířka trhliny	-9229.9	850.8	804.2			0.0	OK

$M_{z,max}$

Rozhodující typ posudku	N_{Ed} [kN]	$M_{Ed,y}$ [kNm]	$M_{Ed,z}$ [kNm]	V_{Ed} [kN]	T_{Ed} [kNm]	Hodnota [%]	Posudek
Interakce	-12431.4	7329.6	23618.1	719.4	-970.7	93.5	OK
Typ posudku	N_{Ed} [kN]	$M_{Ed,y}$ [kNm]	$M_{Ed,z}$ [kNm]	V_{Ed} [kN]	T_{Ed} [kNm]	Hodnota [%]	Posudek
Únosnost N-M-M	-12431.4	7329.6	23618.1			79.8	OK
Smyk	-12431.4			719.4	-970.7	32.5	OK
Kroucení					-970.7	29.1	OK
Interakce	-12431.4	7329.6	23618.1	719.4	-970.7	93.5	OK
Omezení napětí	-10491.7	3232.2	15628.8			79.1	OK
Šířka trhliny	0.0	0.0	0.0			0.0	Neprovedeno

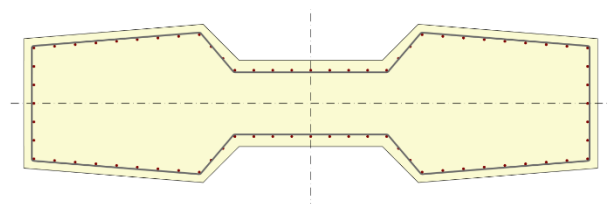


7.2.4 Návrh výztuže – obloukové stojky

Posouzení pilířů proběhlo v programu IDEA StatiCa s vyhledáním nejhorších extrémů v konstrukci.

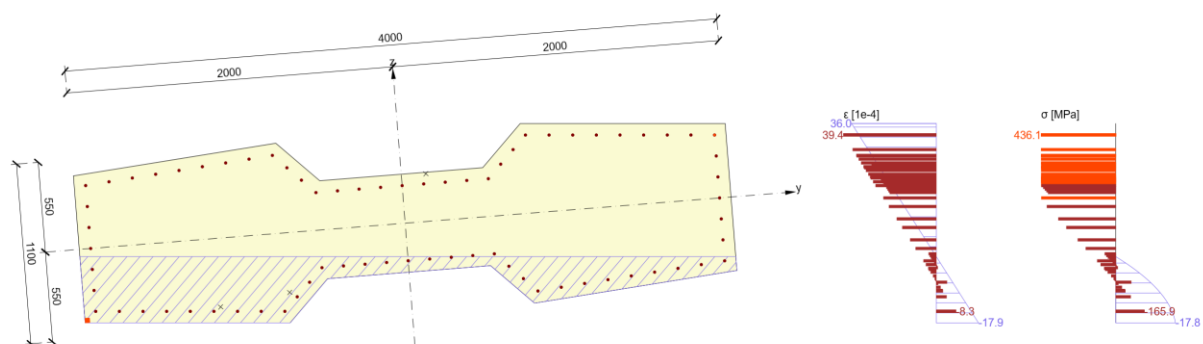
Na základě metody mezních přetvoření byla navržena výztuž Ø20, smyková výztuž 2 stříhů Ø12 po 150 mm v obou směrech. Na grafice a posouzení níže jsou uvedeny výsledky pro nejméně příznivou kombinaci namáhání.

Obrázek 7-5: Schéma vyztužení pilíře v patě



– standardní MSÚ, MSP

Rozhodující typ posudku	N_{Ed} [kN]	$M_{Ed,y}$ [kNm]	$M_{Ed,z}$ [kNm]	V_{Ed} [kN]	T_{Ed} [kNm]	Hodnota [%]	Posudek
Únosnost N-M-M	-6427.1	-4521.7	-7395.1			96.2	OK
Typ posudku	N_{Ed} [kN]	$M_{Ed,y}$ [kNm]	$M_{Ed,z}$ [kNm]	V_{Ed} [kN]	T_{Ed} [kNm]	Hodnota [%]	Posudek
Únosnost N-M-M	-6427.1	-4521.7	-7395.1			96.2	OK
Smyk	-6427.1			471.6	-210.7	45.5	OK
Kroucení					-210.7	13.5	OK
Interakce	-6427.1	-4521.7	-7395.1	471.6	-210.7	93.6	OK
Omezení napětí	-5696.8	-2726.5	-4950.8			60.3	OK
Šířka trhliny	-6050.9	-408.9	-231.6			0.0	OK



7.2.5 Základ pilířů

Základy pilířů byly posouzeny na základě dimenzačních vnitřních sil z deskostěnové náhrady použité v globálním výpočetním modelu konstrukce. Souhrnná tabulka extrémních vnitřních sil je uvedena níže. Jednotlivé posouzení v příčném a podélném směru na dalších stranách obdobně jako u příčného směru (tabulkový procesor MS EXCEL s využitím metody mezních přetvoření).

Vnitřní síly na základu											
Řez	Kombinace	Stav	N_x [kN]	Q_z [kN]	M_y [kNm]	Řez	Kombinace	Stav	N_x [kN]	Q_z [kN]	M_y [kNm]
Příčná výztuž pilíř	MSÚ	dolní	0.0	1021.0	1235.0	Podélná výztuž pilíř	MSÚ	dolní	0.0	1190.0	1135.0
		horní	0.0	1021.0	365.0			horní	0.0	1190.0	425.0
	Char	dolní	0.0	-	895.0		Char	dolní	0.0	-	909.0
		horní	0.0	-	350.0			horní	0.0	-	328.0
	Kvazi	dolní	0.0	-	550.0		Kvazi	dolní	0.0	-	496.0
		horní	0.0	-	150.0			horní	0.0	-	195.0

– příčný směr

Základ - příčná výztuž - dolní																														
Průřez																														
b _{bet} = 1000 mm	b _w = 1000 mm	H = 1500 mm																												
c ₁ = 50 mm	c ₂ = 50 mm	w _{k,max} = 0.30 mm																												
Materiály																														
ocel: B 500	B	beton: C30/37																												
f _{yk} = 500 MPa	f _y = 1.15	α _{cc} = 0.9	f _{ck} = 30.0 MPa																											
f _{yd} = 434.8 MPa	ε _{sd} /ε _{yk} = 0.9	V _c = 1.5	E _{cm} = 33.0 GPa																											
E _y = 200.0 GPa	k = f _y /f _{yk} = 1.08	α _e = 6.06	f _{ct,m} = 2.9 MPa																											
ε _{yk} = 50 [-10 ⁻³]	ε _{yk} = -1.75	ε _{yk3} = -3.5 [-10 ⁻³]																												
Ohybová výztuž																														
6.6667 Ø 32 mm	1. řada	A _{s1,1} = 5362 mm ²	(0.357%)																											
0 Ø 28 mm	2. řada	A _{s1,2} = mm ²	(0.000%)																											
0 Ø 28 mm	3. řada	A _{s1,3} = mm ²	(0.000%)																											
6.6667 Ø 16 mm	z=0.074	A _{s2} = 1340 mm ²	(0.089%)																											
Rozdělovací výztuž (minimální)																														
22.0 Ø 8 mm	A _{s,perp} = 1072 mm ²																													
(pro desky)																														
Smyková výztuž																														
3.3333 Ø 16 mm	A _{w,atrup} = 670 mm ²	α _w = 90																												
S _{w,at} = 300 mm	A _{w,atrup} = 2234 mm ² /m ²	P _{ws} = 0.22%																												
1 Ø 20 mm	A _{w,bend} = 314 mm ²	α _b = 45																												
S _{w,b} = 300 mm	P _{w,b} = 0.15%																													
Stupeň výztužení																														
P _{ws,min} < P _{ws} < P _{ws,max}																														
0.09% 0.37% 1.00% Vyhovuje																														
Vnitřní síly na průřezu																														
M _{Ed} = 1235 kNm	N _{Ed} = 0 kN	V _{Ed} = 1560 kN	(MSU)																											
Excentricita pro MSU:																														
M _{Ed,char} = 895 kNm	N _{Ed,char} = 0 kN	e _{char} = 0.000 m	(Charakteristická)																											
M _{Ed,kvazí} = 550 kNm	N _{Ed,kvazí} = 0 kN	e _{k,quazí} = 0.000 m	(Kvazistálá)																											
Štíhlostní kritérium																														
l ₀ = 0.7	0 = 0.000 m	veškerá kroub	L = 0.00 m																											
i = √(0.281 / 1.500)	= 0.433 m	λ = 0.000	λ = 0.000 / 0.433 = 0.000																											
Posouzení																														
λ _{lim} = 500.000 - > λ = 0.000 - Masivní prvek																														
Smyková únosnost - bez smykové výztuže																														
V _{Ed,c} = (0.12 * 1.376 * (0.378 * 30.0 * 0.15 * 0.000) * 1000	= 1418 = 0.526 MN																													
Posouzení																														
V _{Ed,c} = 0.526 MN	V _{Ed} = 1.560 MN	297%																												
Smyková únosnost - se smykovou výztuží																														
1 < cot θ = 1.428 < 2.5	θ = 35.00°																													
Sklon tlakových diagonál součinné redukce únosnosti tlak. diag.																														
Dodatečná tahová síla																														
ΔF _{td} = 1 * 1560 * (1.428 - 0.000)	= 2.228 MN																													
Únosnost tlakové diagonály																														
V _{Ed,max} = 0.528 * 18.0 * 1000 * 1278 / (0.70021 + 1.42815)	= 5.706 MN																													
Únosnost tlakůvek																														
V _{Ed,at} = 670 * 434.8 * 1.278 * 1.42815 / 300	= 1.773 MN																													
Únosnost ohybů																														
V _{Ed,b} = 314 * 434.8 * 0.707 * 1.278 * 2.42815 / 300	= 0.999 MN																													
Posouzení																														
V _{Ed,s} = 2.772 MN	V _{Ed} = 1.560 MN	56%																												

Stavení napjatosti průřezu na MSÚ (M+N+V)									
Přetvoření betonu v tlaku			Úprava polohy N.O.						
excentricita tlačných vláken			e _s = -0.394 [-10 ⁻³]			e _s = 0.432 m			
			e _s = 0.432 m						
			e _s = 1.068 m						
vzdálenost N.O. od spodních vláken			celkem			Silová podmínka vyhovuje			
Silová podmínka rovnováhy			-0.0003 MN			z = 1.278 m			
Momentová podm. rovnováhy			M _{Ed} = 1.235 MNm			rameno vnitřních sil			
Interakce ohybového a smykového namáhání									

- podélný směr

Základ - podélná výztuž - dolní									
Průřez									
b _{efl} = 1000 mm	b _w = 1000 mm	H = 1500 mm							
c ₁ = 50 mm	c ₂ = 50 mm	w _{k,max} = 0.30 mm							
Materiály									
beton: C30/37									
f _{yk} = 500 MPa	f _{ck} = 30.0 MPa								
f _{td} = 434.8 MPa	E _{cm} = 33.0 GPa								
E _y = 200.0 GPa	ν _c = 0.9								
ε _{yk} = 50 [-10 ⁻³]	ε _{td} /ε _{yk} = 0.9								
	V _c = 1.5								
	k = f _t /f _y = 1.08								
	α _e = 6.06								
	ε _{cu3} = -1.75								
Ohybová výztuž									
1. řada	A _{s1} = 3272 mm ²								
2. řada	A _{s2} = 2094 mm ²								
3. řada	A _{s3} = 2094 mm ²								
14.0 Ø 8 mm	A _{s,perp} = 654 mm ²								
(pro desky)									
Smyková výztuž									
3.33333 Ø 16 mm	A _{w,atrup} = 670 mm ²								
S _{w,at} = 300 mm	A _{w,atrup} = 2234 mm ² /m ²								
0 Ø 20 mm	A _{w,bend} = mm ²								
S _{w,b} = 300 mm	P _{w,b} = 0.00% < P _{w,s} = 0.22%								
Stupeň výztužení									
P _{w,s,min} < P _{w,s} < P _{w,s,max}									
0.09% 0.22% 1.00%									
Vnitřní síly na průřezu									
M _{Ed} = 1135 kNm	N _{Ed} = 0 kN	V _{Ed} = 1190 kN	(MSU)						
Excentricita pro MSU:	e _{MSU} = 0.000 m								
M _{Ed,char} = 909 kNm	N _{Ed,char} = 0 kN	e _{char} = 0.000 m	(Charakteristická)						
M _{Ed,kvazl} = 496 kNm	N _{Ed,kvazl} = 0 kN	e _{k,avz} = 0.000 m	(Kvazistálá)						
Štíhlostní kritérium									
i ₀ = 0.7	i = √(0.281 / 1.500) = 0.433 m	λ = 0.000	λ = 0.000	λ = 0.433	λ = 0.000	L = 0.00 m			
Posouzení									
V _{Ed,c} = (0.12 * 1.379 * (0.236 * 30.0 + 0.15 * 0.000) * 1000) * 1390 = 0.441 MN									
V _{Ed,c} = 0.441 MN	V _{Ed} = 1.190 MN	270% Nevýhovuje							
Smyková únosnost - se smykovou výztuží									
1 < cot θ = 1.428 < 2.5	θ = 35.00°	Vyhovuje							
Sklon tlakových diagonál									
součinitel redukce únosnosti tlak. diag.									
Dodatečná tahová síla									
ΔF _{td} = 1 * 1190 * (1.428 - 0.000)	= 1.699 MN								
Únosnost tlakové diagonály									
V _{Ed,max} = 0.528	18.0	1000	1279	(/ (0.70021 + 1.42815)) = 5.712 MN					
Únosnost třmínků									
V _{Ed,at} = 670	434.8	1.279	1.42815	300	1.775 MN				
Únosnost ohybů									
V _{Ed,b} = 0	434.8	0.707	1.279	2.42815 / 300 = 0.000 MN					
Posouzení	V _{Ed,s} = 1.775 MN	V _{Ed} = 1.190 MN	67% Vyhovuje						

Stavení napjatosti průřezu na MSU (M+N+V)									
Průřez									
Průřez									
Průřez									
Průřez									
Průřez									
Průřez									
Průřez									
Průřez									
Průřez									
Průřez									
Průřez									
Průřez									
Průřez									
Průřez									
Průřez									
Průřez									
Průřez									
Průřez									
Průřez									
Průřez									
Průřez									
Průřez									
Průřez									
Průřez									
Průřez									
Průřez									
Průřez									
Průřez									
Průřez									
Průřez									
Průřez									
Průřez									
Průřez									
Průřez									
Průřez									
Průřez									
Průřez									
Průřez									
Průřez									
Průřez									
Průřez									
Průřez									
Průřez									
Průřez									
Průřez									
Průřez									
Průřez									
Průřez									
Průřez									
Průřez									
Průřez									
Průřez									
Průřez									
Průřez									
Průřez									
Průřez									
Průřez									
Průřez									
Průřez									
Průřez									
Průřez									
Průřez									
Průřez									
Průřez									
Průřez									
Průřez									
Průřez									
Průřez									
Průřez									
Průřez									
Průřez									
Průřez									
Průřez									
Průřez									
Průřez									
Průřez									
Průřez									
Průřez									
Průřez									
Průřez									
Průřez									
Průřez									
Průřez									
Průřez									
Průřez									
Průřez									
Průřez									
Průřez									
Průřez									
Průřez									
Průřez									
Průřez									
Průřez									
Průřez									
Průřez									
Průřez									
Průřez									
Průřez									
Průřez									
Průřez									
Průřez									
Průřez									
Průřez									
Průřez									
Průřez									
Průřez									
Průřez									
Průřez									
Průřez									
Průřez									
Průřez									
Průřez									
Průřez									
Průřez									
Průřez									
Průřez									
Průřez									
Průřez									
Průřez									
Průřez									
Průřez									
Průřez									
Průřez									
Průřez									
Průřez									
Průřez									
Průřez									
Průřez									
Průřez									
Průřez									
Průřez									
Průřez									
Průřez									
Průřez									
Průřez									
Průřez									
Průřez									
Průřez									
Průřez									
Průřez									
Průřez									
Průřez									
Průřez									
Průřez									
Průřez									
Průřez									
Průřez									
Průřez									
Průřez									
Průřez									
Průřez									
Průřez									
Průřez									
Průřez									
Průřez									
Průřez									
Průřez									
Průřez									
Průřez									
Průřez									
Průřez									
Průřez									
Průřez									
Průřez									
Průřez									
Průřez									
Průřez									
Průřez									
Průřez									
Průřez									
Průřez									
Průřez									
Průřez									
Průřez									
Průřez									
Průřez									
Průřez									
Průřez									
Průřez									
Průřez									
Průřez									
Průřez									
Průřez									
Průřez									
Průřez									
Průřez									
Průřez									
Průřez									
Průřez									
Průřez									
Průřez									
Průřez									
Průřez									
Průřez									
Průřez									
Průřez									
Průřez									
Průřez									
Průřez									
Průřez									
Průřez									
Průřez									
Průřez									
Průřez									
Průřez									
Průřez									
Průřez									
Průřez									
Průřez									
Průřez									
Průřez									
Průřez									
Průřez									
Průřez									
Průřez									
Průřez									
Průřez									
Průřez									
Průřez									
Průřez									
Průřez									
Průřez									
Průřez									
Průřez									
Průřez									
Průřez									
Průřez									
Průřez									
Průřez									
Průřez									
Průřez									
Průřez									
Průřez									
Průřez									
Průřez									
Průřez									
Průřez									
Průřez									
Průřez									
Průřez									
Průřez									
Průřez									
Průřez									
Průřez									
Průřez									
Průřez									
Průřez									
Průřez									
Průřez									
Průřez									
Průřez									
Průřez									
Průřez									
Průřez									
Průřez									
Průřez									
Průřez									
Průřez									
Průřez									
Průřez									
Průřez									
Průřez									
Průřez									
Průřez									
Průřez									
Průřez									
Průřez									
Průřez									
Průřez									
Průřez									
Průřez									
Průřez									
Průřez									
Průřez									
Průřez									
Průřez									
Průřez									
Průřez									
Průřez									
Průřez									
Průřez									
Průřez									
Průřez									
Průřez									
Průřez									
Průřez									
Průřez									
Průřez									

8 Založení

Založení konstrukce je uvažováno plošné na vrstvách žuly. Plošné založení bylo ověřeno na základě reakcí získaných z prutového modelu. Uložení modelu bylo iterativně upravováno na základě výsledné tuhosti získané z SW GEO 5 – Patky. Posouzení únosnosti základové spáry proběhlo ve stejném SW.

S ohledem na kvalitu podloží bylo dosaženo velmi malých sedání základu. S ohledem na tuto skutečnost bylo aplikované nerovnoměrné sedání voleno hodnotou 2,5 mm.

8.1 Opěry

Základ opěry OP 1 je uložen na 12 ks pilot délky 7,0 m. Celkové vypočtené sedání piloty na základě IGP je 2,5 mm. Sednutí náhradního základu max. 0,1 mm. Celkové sedání pilot **2,6 mm**.

Trat' Tábor - Písek
SO 20-01

OP1

Posouzení piloty

Vstupní data

Nastavení

(zadané pro aktuální úlohu)

Materiály a normy

Betonové konstrukce :	EN 1992-1-1 (EC2)
Součinitele EN 1992-1-1 :	Česká republika
Ocelové konstrukce :	EN 1993-1-1 (EC3)
Dílčí součinitel únosnosti ocelového průřezu :	$\gamma_{M0} = 1,00$
Dřevěné konstrukce :	EN 1995-1-1 (EC5)
Dílčí součinitel vlastností dřeva :	$\gamma_M = 1,30$
Součinitel vlivu zatížení a vlhkosti (dřevo) :	$k_{mod} = 0,50$
Součinitel šířky průřezu ve smyku (dřevo) :	$k_{cr} = 0,67$

Piloty

Výpočet pro odvodněné podmínky :	ČSN 73 1002
Zatěžovací křivka :	nelineární (Masopust)
Vodorovná únosnost :	pružný poloprostor
Metodika posouzení :	výpočet podle EN 1997
Návrhový přístup :	2 - redukce zatížení a odporu

Parametry zemín

MR1

Objemová tíha :	$\gamma = 20,50 \text{ kN/m}^3$
Úhel vnitřního tření :	$\varphi_{ef} = 29,00^\circ$
Soudržnost zeminy :	$c_{ef} = 2,00 \text{ kPa}$
Poissonovo číslo :	$\nu = 0,32$
Modul přetvárnosti :	$E_{def} = 12,00 \text{ MPa}$
Obj.tíha sat.zeminy :	$\gamma_{sat} = 24,00 \text{ kN/m}^3$
Typ zeminy :	soudržná

MR2

Objemová tíha :	$\gamma = 24,00 \text{ kN/m}^3$
Úhel vnitřního tření :	$\varphi_{ef} = 30,00^\circ$
Soudržnost zeminy :	$c_{ef} = 20,00 \text{ kPa}$
Poissonovo číslo :	$\nu = 0,30$
Modul přetvárnosti :	$E_{def} = 65,00 \text{ MPa}$
Obj.tíha sat.zeminy :	$\gamma_{sat} = 24,00 \text{ kN/m}^3$
Typ zeminy :	soudržná

MR3

Objemová tíha :	$\gamma = 25,50 \text{ kN/m}^3$
Úhel vnitřního tření :	$\varphi_{ef} = 45,00^\circ$
Soudržnost zeminy :	$c_{ef} = 100,00 \text{ kPa}$
Poissonovo číslo :	$\nu = 0,26$
Modul přetvárnosti :	$E_{def} = 250,00 \text{ MPa}$
Obj.tíha sat.zeminy :	$\gamma_{sat} = 25,50 \text{ kN/m}^3$
Typ zeminy :	soudržná

Třída F4, konzistence tuhá

Objemová tíha :	γ	=	18,50 kN/m ³
Úhel vnitřního tření :	φ_{ef}	=	0,00 °
Soudržnost zeminy :	c_{ef}	=	0,00 kPa
Poissonovo číslo :	ν	=	0,35
Modul přetvárnosti :	E_{def}	=	5,00 MPa
Obj.tíha sat.zeminy :	γ_{sat}	=	18,50 kN/m ³

Typ zeminy :	nesoudržná
Modul horiz.stlačitelnosti :	n_h = 4,50 MN/m ³

Geometrie

Profil piloty: kruhová

Rozměry

Průměr d = 0,90 m

Délka l = 7,00 m

Spočtené průřezové charakteristiky

Plocha A = 6,36E-01 m²

Moment setrvačnosti I = 3,22E-02 m⁴

Umístění

Vysazení h = -2,00 m

Hloubka upraveného terénu h_z = 0,00 m

Typ technologie: Vrtané piloty

Modul reakce podloží uvažován podle ČSN 731004.

Materiál konstrukce

Objemová tíha γ = 23,00 kN/m³

Výpočet betonových konstrukcí proveden podle normy EN 1992-1-1 (EC2).

Beton : C 25/30

Válcová pevnost v tlaku f_{ck} = 25,00 MPa

Pevnost v tahu f_{ctm} = 2,60 MPa

Modul pružnosti E_{cm} = 31000,00 MPa

Modul pružnosti ve smyku G = 12917,00 MPa





Ocel podélná : B500

Mez kluzu f_{yk} = 500,00 MPa

Ocel příčná: B500

Mez kluzu f_{yk} = 500,00 MPa

Geologický profil a přiřazení zemín

Číslo	Mocnost vrstvy t [m]	Hloubka z [m]	Přiřazená zemina	Vzorek
1	5,50	0,00 .. 5,50	Třída F4, konzistence tuhá	
2	1,50	5,50 .. 7,00	MR1	
3	1,30	7,00 .. 8,30	MR2	
4	-	8,30 .. ∞	MR3	

Zatížení

Číslo	Zatížení		Název	Typ	N [kN]	M_x [kNm]	M_y [kNm]	H_x [kN]	H_y [kN]
	nové	změna							
1	Ano		Char	Užitné	885,50	0,00	-63,20	-127,78	0,00
2	Ano		MSU	Návrhové	1228,11	0,00	-211,50	-162,74	0,00

Celkové nastavení výpočtu

Výpočet svislé únosnosti : analytické řešení

Typ výpočtu : výpočet pro odvodněné podmínky

Nastavení výpočtu fáze

Návrhová situace : trvalá

Posouzení čís. 1

Posouzení svislé únosnosti piloty podle teorie MS - mezivýsledky

Výpočet únosnosti v patě:

Součinitel únosnosti	$N_c = 133,87$
Součinitel únosnosti	$N_d = 134,87$
Součinitel únosnosti	$N_b = 200,81$
Součinitel únosnosti	$K1 = 1,00$
Výpočtová únosnost na patě piloty	$R_{bd} = 59478,68 \text{ kPa}$
Plocha příčného řezu piloty	$A_p = 6,36E-01 \text{ m}^2$

Únosnost na plášti piloty:

Zkrácení účinné délky piloty $L_p = 5,92 \text{ m}$

Hloubka [m]	Mocnost [m]	φ_d [°]	c_{ud} [kPa]	γ [kN/m ³]	$\gamma R2$ [—]	f_s [kPa]	R_{si} [kN]
1,08	1,08	0,00	0,00	18,50	1,00	0,00	0,00

Posouzení svislé únosnosti piloty podle teorie MS - výsledky

Výpočet proveden s automatickým výběrem nejnepríznivějších zatěžovacích stavů.

Posouzení tlačené piloty:

Nejnepríznivější zatěžovací stav číslo 2. (MSU)

Únosnost piloty na plášti $R_s = 0,00 \text{ kN}$

Únosnost piloty v patě $R_b = 34398,82 \text{ kN}$

Únosnost piloty $R_c = 34398,82 \text{ kN}$

Extrémní svislá síla $V_d = 1228,11 \text{ kN}$

$R_c = 34398,82 \text{ kN} > 1228,11 \text{ kN} = V_d$

Svislá únosnost piloty VYHOVUJE

Posouzení čís. 1

Výpočet zatěžovací křivky piloty - vstupní data

Vrstva číslo	Počátek [m]	Konec [m]	Mocnost [m]	E_s [MPa]	Součinitel a	Součinitel b
1	0,00	5,50	5,50	0,10	10,10	10,10
2	5,50	7,00	1,50	34,52	91,00	48,00
3	7,00	8,30	1,30	65,40	131,00	94,00
4	8,30	9,00	0,70	139,00	246,00	225,00

Uvažovat zatížení : užité

Součinitel vlivu ochrany dřívku $m_2 = 1,00$

Limitní sedání piloty $s_{lim} = 25,0 \text{ mm}$

Regresní součinitel $e = 2840,00$

Regresní součinitel $f = 1298,00$

Výpočet zatěžovací křivky piloty - mezivýsledky

Mezní síla na plášti piloty $R_{sy} = 919,80 \text{ kN}$

Velikost napětí na patě při R_{sy} $q_0 = 2710,20 \text{ kPa}$

Průměrné plášťové tření $q_s = 66,39 \text{ kPa}$

Průměrný sečnový modul deformace $E_s = 33,49 \text{ MPa}$

Součinitel přenosu zatížení do paty $\beta = 0,51$

Výpočet zatěžovací křivky piloty - výsledky

Zatížení na mezi mobilizace plášť.tření $R_{yu} = 1858,51 \text{ kN}$

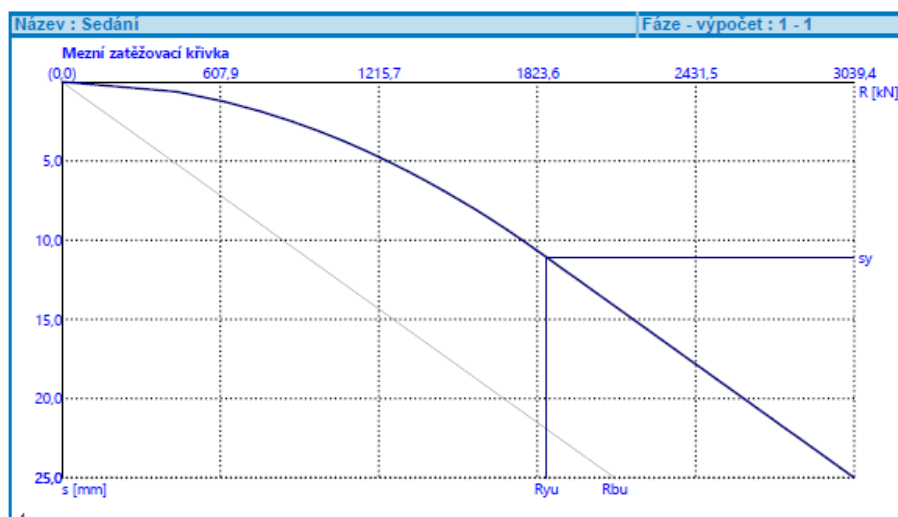
Velikost sedání odpovídající síle R_{yu} $s_y = 11,1 \text{ mm}$

Únosnosti odpovídající sednutí 25,0 mm :

Únosnost paty $R_{bu} = 2119,56 \text{ kN}$

Celková únosnost $R_c = 3039,36 \text{ kN}$

Pro zatížení $Q = 885,50 \text{ kN}$ je sednutí piloty 2,5 mm



Posouzení čís. 1

Vstupní data pro výpočet vodorovné únosnosti piloty

Výpočet proveden s automatickým výběrem nejnejpříznivějších zatěžovacích stavů.
Vodorovná únosnost posouzena ve směru maximálního účinku zatížení.

Maximální vnitřní síly a deformace:

Max.deformace piloty = 4,4 mm
Max.posouvající síla = 162,74 kN
Maximální moment = 211,50 kNm

Posouzení na tlak a ohyb

Vyztužení - 12 ks profil 20,0 mm; krytí 118,0 mm
Typ konstrukce (stupně vyztužení) : pilota
Stupeň vyztužení $\rho = 0,593 \% > 0,393 \% = \rho_{min}$
Zatížení : $N_{Ed} = -1228,11$ kN (tlak) ; $M_{Ed} = 211,50$ kNm
Únosnost : $N_{Rd} = -6243,24$ kN; $M_{Rd} = 1075,18$ kNm

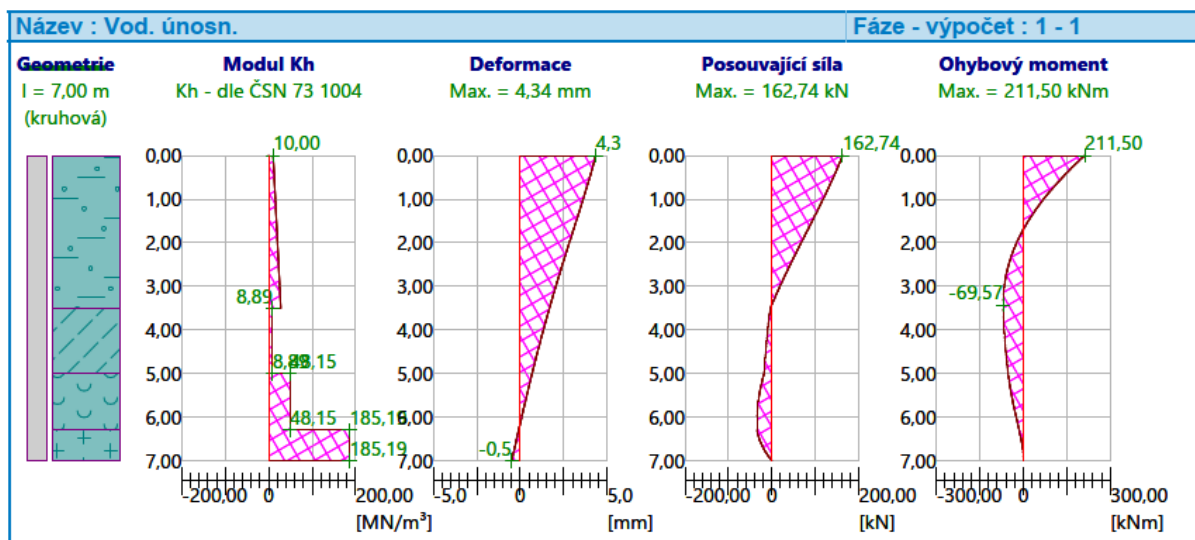
Navržená výztuž piloty VYHOVUJE

Posouzení na smyk

Smyková výztuž - 2 ks profil 8,0 mm; vzdálenost 150,0 mm
 $A_{sw} = 670,2$ mm²
Posouvající síla na mezi únosnosti: $V_{Rd} = 472,06$ kN $> 162,74$ kN = V_{Ed}

Průřez VYHOVUJE.

pouze konstrukční smyková výztuž



Posouzení plošného základu

Vstupní data

Nastavení

(zadané pro aktuální úlohu)

Materiály a normy

Betonové konstrukce : EN 1992-1-1 (EC2)

Součinitele EN 1992-1-1 : standardní

Sedání

Metoda výpočtu : ČSN 73 1001 (Výpočet pomocí edometrického modulu)

Omezení deformační zóny : pomocí strukturní pevnosti

Patky

Výpočet pro odvozené podmínky : EC 7-1 (EN 1997-1:2003)

Posouzení tažené patky : standardní postup

Dovolená excentricita : 0,333

Metodika posouzení : výpočet podle EN 1997

Návrhový přístup : 2 - redukce zatížení a odporu

Geometrie konstrukce

Typ základu: centrická patka

Délka patky $x = 2,60$ m

Šířka patky $y = 5,70$ m

Šířka sloupu ve směru x $c_x = 0,40$ m

Šířka sloupu ve směru y $c_y = 0,40$ m

Objem patky = 103,74 m³

Zatížení

Číslo	Zatížení		Název	Typ	N [kN]	M_x [kNm]	M_y [kNm]	H_x [kN]	H_y [kN]
	nové	změna							
1	Ano		Char (celkem 7396 kN, beta = 0,51)	Užitné	3772,00	0,00	0,00	0,00	0,00

Posouzení čís. 1

Sednutí středu hrany $x - 1 = 0,4$ mm

Sednutí středu hrany $x - 2 = 0,4$ mm

Sednutí středu hrany $y - 1 = 0,6$ mm

Sednutí středu hrany $y - 2 = 0,6$ mm

Sednutí středu základu = 1,2 mm

Sednutí charakterist. bodu = 0,7 mm

(1-hrana max.tlačená; 2-hrana min.tlačená)

Sednutí a natočení základu - výsledky

Tuhost základu:

Spočtený vážený průměrný modul přetvárnosti $E_{def} = 250,00$ MPa

Základ je ve směru délky tuhý ($k=2341,83$)

Základ je ve směru šířky tuhý ($k=222,25$)

Posouzení excentricity zatížení

Max. excentricita ve směru délky patky $e_x = 0,000 < 0,333$

Max. excentricita ve směru šířky patky $e_y = 0,000 < 0,333$

Max. prostorová excentricita $e_t = 0,000 < 0,333$

Excentricita zatížení základu VYHOVUJE

Celkové sednutí a natočení základu:

Sednutí základu = 0,7 mm

Hloubka deformační zóny = 3,01 m

Natočení ve směru $x = 0,000$ (tan*1000); (4,9E-18 °)

Natočení ve směru $y = 0,000$ (tan*1000); (2,2E-18 °)

8.2 Pilíře – samostatně stojící

Základ každého pilíře je založen plošně. Rozměry základů vycházejí z dispozičního řešení s ohledem na fáze výstavby – kotvení provizorních závěsů oblouku.

8.2.1 Pilíř P1 a P11

Velikost základu 6,0 x 11,0 m při tloušťce 1,8 m. Celkové sedání vypočteno 1,1 mm.

Rekonstrukce mostu v km 41,791 trati Tábor - Písek
SO 20-01

PROJEKT
P1 + P11

Posouzení plošného základu

Vstupní data

Nastavení

(zadané pro aktuální úlohu)

Materiály a normy

Betonové konstrukce : EN 1992-1-1 (EC2)

Součinitele EN 1992-1-1 : standardní

Sedání

Metoda výpočtu : ČSN 73 1001 (Výpočet pomocí edometrického modulu)

Omezení deformační zóny : pomocí strukturální pevnosti

Patky

Výpočet pro odvodněné podmínky : EC 7-1 (EN 1997-1:2003)

Posouzení tažené patky : standardní postup

Dovolená excentricita : 0,333

Metodika posouzení : výpočet podle EN 1997

Návrhový přístup : 2 - redukce zatížení a odporu

Parametry zemín

R1

Objemová tíha : $\gamma = 25,00 \text{ kN/m}^3$

Úhel vnitřního tření : $\varphi_{ef} = 57,00^\circ$

Soudržnost zeminy : $c_{ef} = 10000,00 \text{ kPa}$

Modul přetvárnosti : $E_{def} = 25000,00 \text{ MPa}$

Poissonovo číslo : $\nu = 0,20$

Koef. strukturální pevnosti : $m = 0,10$

Obj.tíha sat.zeminy : $\gamma_{sat} = 25,00 \text{ kN/m}^3$

R3 - Mikulášská

Objemová tíha : $\gamma = 25,00 \text{ kN/m}^3$

Úhel vnitřního tření : $\varphi_{ef} = 40,00^\circ$

Soudržnost zeminy : $c_{ef} = 250,00 \text{ kPa}$

Modul přetvárnosti : $E_{def} = 300,00 \text{ MPa}$

Poissonovo číslo : $\nu = 0,20$

Koef. strukturální pevnosti : $m = 0,20$

Obj.tíha sat.zeminy : $\gamma_{sat} = 25,00 \text{ kN/m}^3$

R3 - vlasák

Objemová tíha : $\gamma = 25,00 \text{ kN/m}^3$

Úhel vnitřního tření : $\varphi_{ef} = 40,00^\circ$

Soudržnost zeminy : $c_{ef} = 250,00 \text{ kPa}$

Modul přetvárnosti : $E_{def} = 1500,00 \text{ MPa}$

Poissonovo číslo : $\nu = 0,20$

Koef. strukturální pevnosti : $m = 0,20$

Obj.tíha sat.zeminy : $\gamma_{sat} = 25,00 \text{ kN/m}^3$

Založení

Typ základu: centrická patka

Hloubka od původního terénu $h_z = 3,00 \text{ m}$

Hloubka základové spáry $d = 3,00 \text{ m}$

Tloušťka základu $t = 1,80 \text{ m}$

Sklon upraveného terénu $s_1 = 0,00^\circ$

Sklon základové spáry $s_2 = 0,00^\circ$

Objemová tíha zeminy nad základem = $20,00 \text{ kN/m}^3$

Geometrie konstrukce

Typ základu: centrická patka

Délka patky $x = 6,00$ m
Šířka patky $y = 11,00$ m
Šířka sloupu ve směru x $c_x = 1,30$ m
Šířka sloupu ve směru y $c_y = 4,00$ m
Objem patky $= 118,80$ m³

Materiál konstrukce

Objemová tíha $\gamma = 23,00$ kN/m³

Výpočet betonových konstrukcí proveden podle normy EN 1992-1-1 (EC2).

Beton : C 30/37

Válcová pevnost v tlaku $f_{ck} = 30,00$ MPa
Pevnost v tahu $f_{ctm} = 2,90$ MPa
Modul pružnosti $E_{cm} = 33000,00$ MPa

Ocel podélná : B500

Mez kluzu $f_{yk} = 500,00$ MPa

Ocel příčná: B500

Mez kluzu $f_{yk} = 500,00$ MPa

Geologický profil a přiřazení zemin

Číslo	Vrstva [m]	Přiřazená zemina	Vzorek
1	-	R3 - Mikulášská	

Zatížení

Číslo	Zatížení		Název	Typ	N [kN]	M _x [kNm]	M _y [kNm]	H _x [kN]	H _y [kN]
	nové	změna							
1	Ano		MSU_N	Návrhové	11685,00	-2709,00	0,00	0,00	-305,00
2	Ano		MSU_Mx	Návrhové	6432,00	-4132,00	0,00	0,00	-395,00
3	Ano		Char_N	Užitné	8988,00	-192,00	0,00	0,00	-4,00
4	Ano		Char_Mx	Užitné	8973,00	-20000,00	0,00	0,00	-4,00
5	Ano		Char My vymysl	Užitné	8988,00	0,00	10000,00	0,00	0,00

Celkové nastavení výpočtu

Typ výpočtu : výpočet pro odvozené podmínky

Nastavení výpočtu fáze

Návrhová situace : trvalá

Posouzení čís. 1

Posouzení zatěžovacích stavů

Název	VL. tíha příznivě	e _x [m]	e _y [m]	σ [kPa]	R _d [kPa]	Využití [%]	Vyhovuje
MSU_N	Ano	0,00	0,21	249,88	27456,76	0,91	Ano
MSU_N	Ne	0,00	0,19	272,08	27455,64	0,99	Ano
MSU_Mx	Ano	0,00	0,46	175,51	27495,78	0,64	Ano
MSU_Mx	Ne	0,00	0,40	197,58	27470,39	0,72	Ano

Výpočet proveden s automatickým výběrem nejnepríznivějších zatěžovacích stavů.

Spočtená vlastní tíha patky $G = 3688,74$ kN

Spočtená tíha nadloží $Z = 1969,92$ kN

Posouzení svislé únosnosti

Tvar kontaktního napětí : obecný
Nejnepříznivější zatěžovací stav číslo 1. (MSU_N)

Parametry smykové plochy pod základem:
Hloubka smykové plochy $z_{sp} = 11,41$ m
Dosah smykové plochy $l_{sp} = 37,55$ m

Výpočtová únosnost zákl. půdy $R_d = 27455,64$ kPa
Extrémní kontaktní napětí $\sigma = 272,08$ kPa

Svislá únosnost VYHOVUJE

Posouzení excentricity zatížení

Max. excentricita ve směru délky patky $e_x = 0,000 < 0,333$
Max. excentricita ve směru šířky patky $e_y = 0,041 < 0,333$
Max. prostorová excentricita $e_t = 0,041 < 0,333$

Excentricita zatížení základu VYHOVUJE

Posouzení vodorovné únosnosti

Nejnepříznivější zatěžovací stav číslo 2. (MSU_Mx)
Zemní odpor: klidový
Výpočtová velikost zemního odporu $S_{pd} = 202,54$ kN
Horizontální únosnost základu $R_{dh} = 22044,71$ kN
Extrémní horizontální síla $H = 395,00$ kN

Vodorovná únosnost VYHOVUJE

Únosnost základu VYHOVUJE

Posouzení čís. 1

Sednutí a natočení základu - vstupní data

Výpočet proveden pro zatěžovací stav číslo 5. (Char_My_vymysl)
Výpočet proveden s uvažováním koeficientu κ_1 (vliv hloubky založení).
Napětí v základové spáře uvažováno od upraveného terénu.

Spočtená vlastní tíha patky $G = 2732,40$ kN
Spočtená tíha nadloží $Z = 1459,20$ kN

Sednutí středu hrany x - 1 = 0,3 mm
Sednutí středu hrany x - 2 = 0,3 mm
Sednutí středu hrany y - 1 = 1,0 mm
Sednutí středu hrany y - 2 = 0,0 mm
Sednutí středu základu = 1,1 mm
Sednutí charakterist. bodu = 0,6 mm

(1-hrana max.tlačená; 2-hrana min.tlačená)

Sednutí a natočení základu - výsledky

Tuhost základu:

Spočtený vážený průměrný modul přetvárnosti $E_{def} = 300,00$ MPa
Základ je ve směru délky tuhý ($k=2,97$)
Základ je ve směru šířky poddajný ($k=0,48$)

Posouzení excentricity zatížení

Max. excentricita ve směru délky patky $e_x = 0,126 < 0,333$
Max. excentricita ve směru šířky patky $e_y = 0,000 < 0,333$

Max. prostorová excentricita $e_t = 0,126 < 0,333$

Excentricita zatížení základu VYHOVUJE

Celkové sednutí a natočení základu:

Sednutí základu = 1,1 mm

Hloubka deformační zóny = 6,23 m

Natočení ve směru x = 0,162 (tan*1000); (9,3E-03 °)

Natočení ve směru y = 0,000 (tan*1000); (5,8E-19 °)

8.2.2 Pilíř P2 a P10

Velikost základu 6,0 x 10,0 m při tloušťce 1,8 m. Celkové sedání vypočteno **1,3 mm**.

Rekonstrukce mostu v km 41,791 trati Tábor - Písek
SO 20-01

PROJEKT
P2 + P10

Posouzení plošného základu

Vstupní data

Projekt

Datum : 30.11.2018

Nastavení

(zadané pro aktuální úlohu)

Materiály a normy

Betonové konstrukce : EN 1992-1-1 (EC2)

Součinitele EN 1992-1-1 : standardní

Sedání

Metoda výpočtu : ČSN 73 1001 (Výpočet pomocí edometrického modulu)

Omezení deformační zóny : pomocí strukturální pevnosti

Patky

Výpočet pro odvozené podmínky : EC 7-1 (EN 1997-1:2003)

Posouzení tažené patky : standardní postup

Dovolená excentricita : 0,333

Metodika posouzení : výpočet podle EN 1997

Návrhový přístup : 2 - redukce zatížení a odporu

Parametry zemin

R1

Objemová tíha : $\gamma = 25,00 \text{ kN/m}^3$

Uhel vnitřního tření : $\varphi_{ef} = 57,00^\circ$

Soudržnost zeminy : $c_{ef} = 10000,00 \text{ kPa}$

Modul přetvárnosti : $E_{def} = 25000,00 \text{ MPa}$

Poissonovo číslo : $\nu = 0,20$

Koef. strukturální pevnosti : $m = 0,10$

Obj.tíha sat.zeminy : $\gamma_{sat} = 25,00 \text{ kN/m}^3$

R3 - Mikulášská

Objemová tíha :	γ	=	25,00 kN/m ³
Úhel vnitřního tření :	φ_{ef}	=	40,00 °
Soudržnost zeminy :	c_{ef}	=	250,00 kPa
Modul přetvárnosti :	E_{def}	=	300,00 MPa
Poissonovo číslo :	ν	=	0,20
Koef. strukturní pevnosti :	m	=	0,20
Obj.tíha sat.zeminy :	γ_{sat}	=	25,00 kN/m ³

R3 - vlasák

Objemová tíha :	γ	=	25,00 kN/m ³
Úhel vnitřního tření :	φ_{ef}	=	40,00 °
Soudržnost zeminy :	c_{ef}	=	250,00 kPa
Modul přetvárnosti :	E_{def}	=	1500,00 MPa
Poissonovo číslo :	ν	=	0,20
Koef. strukturní pevnosti :	m	=	0,20
Obj.tíha sat.zeminy :	γ_{sat}	=	25,00 kN/m ³

Založení

Typ základu: centrická patka

Hloubka od původního terénu	h_z	=	3,00 m
Hloubka základové spáry	d	=	3,00 m
Tloušťka základu	t	=	1,80 m
Sklon upraveného terénu	s_1	=	0,00 °
Sklon základové spáry	s_2	=	0,00 °

Objemová tíha zeminy nad základem = 20,00 kN/m³

Geometrie konstrukce

Typ základu: centrická patka

Délka patky	x	=	6,00 m
Šířka patky	y	=	10,00 m
Šířka sloupu ve směru x	c_x	=	1,30 m
Šířka sloupu ve směru y	c_y	=	4,00 m
Objem patky		=	108,00 m ³

Materiál konstrukce

Objemová tíha γ = 23,00 kN/m³

Výpočet betonových konstrukcí proveden podle normy EN 1992-1-1 (EC2).

Beton : C 30/37

Válcová pevnost v tlaku	f_{ck}	=	30,00 MPa
Pevnost v tahu	f_{ctm}	=	2,90 MPa
Modul pružnosti	E_{cm}	=	33000,00 MPa

Ocel podélná : B500

Mez kluzu	f_{yk}	=	500,00 MPa
-----------	----------	---	------------

Ocel příčná: B500

Mez kluzu	f_{yk}	=	500,00 MPa
-----------	----------	---	------------

Geologický profil a přiřazení zemin

Číslo	Vrstva [m]	Přiřazená zemina	Vzorek
1	-	R3 - Mikulášská	

Zatížení

Číslo	Zatížení		Název	Typ	N [kN]	M _x [kNm]	M _y [kNm]	H _x [kN]	H _y [kN]
	nové	změna							
1	Ano		MSU_N	Návrhové	12477,00	-22503,00	0,00	0,00	-1768,00
2	Ano		MSU_Mx	Návrhové	6815,00	-31008,00	0,00	0,00	-2317,00
3	Ano		Char_N	Užitné	9713,00	-370,90	0,00	0,00	-14,96
4	Ano		Char_Mx	Užitné	6039,00	-20682,00	0,00	0,00	-1545,00

Celkové nastavení výpočtu

Typ výpočtu : výpočet pro odvozené podmínky

Nastavení výpočtu fáze

Návrhová situace : trvalá

Posouzení čís. 1

Posouzení zatěžovacích stavů

Název	VL. tíha příznivě	e_x [m]	e_y [m]	σ [kPa]	R_d [kPa]	Využití [%]	Vyhovuje
MSU_N	Ano	0,00	1,58	396,37	27700,99	1,43	Ano
MSU_N	Ne	0,00	1,46	414,32	27633,05	1,50	Ano
MSU_Mx	Ano	0,00	3,31	524,72	19777,72	2,65	Ano
MSU_Mx	Ne	0,00	2,95	484,42	22090,81	2,19	Ano

Výpočet proveden s automatickým výběrem nejnejpříznivějších zatěžovacích stavů.

Spočtená vlastní tíha patky $G = 2484,00$ kN

Spočtená tíha nadloží $Z = 1315,20$ kN

Posouzení svislé únosnosti

Tvar kontaktního napětí : obecný

Nejpříznivější zatěžovací stav číslo 2. (MSU_Mx)

Parametry smykové plochy pod základem:

Hloubka smykové plochy $z_{sp} = 11,41$ m

Dosah smykové plochy $l_{sp} = 37,55$ m

Výpočtová únosnost zákl. půdy $R_d = 19777,72$ kPa

Extrémní kontaktní napětí $\sigma = 524,72$ kPa

Svislá únosnost VYHOVUJE

Posouzení excentricity zatížení

Max. excentricita ve směru délky patky $e_x = 0,000 < 0,333$

Max. excentricita ve směru šířky patky $e_y = 0,331 < 0,333$

Max. prostorová excentricita $e_t = 0,331 < 0,333$

Excentricita zatížení základu VYHOVUJE

Posouzení vodorovné únosnosti

Nejpříznivější zatěžovací stav číslo 2. (MSU_Mx)

Zemní odpor: klidový

Výpočtová velikost zemního odporu $S_{pd} = 202,54$ kN

Horizontální únosnost základu $R_{dh} = 12878,20$ kN

Extrémní horizontální síla $H = 2317,00$ kN

Vodorovná únosnost VYHOVUJE

Únosnost základu VYHOVUJE

Posouzení čís. 1

Sednutí a natočení základu - vstupní data

Výpočet proveden pro zatěžovací stav číslo 3. (Char_N)

Výpočet proveden s uvažováním koeficientu κ_1 (vliv hloubky založení).

Napětí v základové spáře uvažováno od upraveného terénu.

Spočtená vlastní tíha patky $G = 2484,00$ kN

Spočtená tíha nadloží $Z = 1315,20$ kN

Sednutí středu hrany x - 1 = 0,5 mm

Sednutí středu hrany x - 2 = 0,4 mm

Sednutí středu hrany y - 1 = 0,6 mm

Sednutí středu hrany y - 2 = 0,6 mm

Sednutí středu základu = 1,3 mm

Sednutí charakterist. bodu = 0,7 mm

(1-hrana max.tlačená; 2-hrana min.tlačená)

Sednutí a natočení základu - výsledky

Tuhost základu:

Spočtený vážený průměrný modul přetvárnosti $E_{def} = 300,00 \text{ MPa}$

Základ je ve směru délky tuhý ($k=2,97$)

Základ je ve směru šířky poddajný ($k=0,64$)

Posouzení excentricity zatížení

Max. excentricita ve směru délky patky $e_x = 0,000 < 0,333$

Max. excentricita ve směru šířky patky $e_y = 0,003 < 0,333$

Max. prostorová excentricita $e_t = 0,003 < 0,333$

Excentricita zatížení základu VYHOVUJE

Celkové sednutí a natočení základu:

Sednutí základu = 1,3 mm

Hloubka deformační zóny = 6,51 m

Natočení ve směru x = 0,000 (tan*1000); (0,0E+00 °)

Natočení ve směru y = 0,003 (tan*1000); (1,9E-04 °)

8.3 Pilíře – základ oblouku

Základ oblouku je navržen rozměrů 12,0 x 8,0 m se zazubenou základovou spárou. Pro účely posouzení je základová spára uvažována vodorovná s průměrnou tloušťkou základu 5,4 m. Celkové sedání vypočteno 1,1 mm

Rekonstrukce mostu v km 41,791 trati Tábor - Písek
SO 20-01

PROJEKT
P3 + P9

Posouzení plošného základu

Vstupní data

Projekt

Datum : 30.11.2018

Nastavení

(zadané pro aktuální úlohu)

Materiály a normy

Betonové konstrukce : EN 1992-1-1 (EC2)

Součinitele EN 1992-1-1 : standardní

Sedání

Metoda výpočtu : ČSN 73 1001 (Výpočet pomocí edometrického modulu)

Omezení deformační zóny : pomocí strukturální pevnosti

Patky

Výpočet pro odvozněné podmínky : EC 7-1 (EN 1997-1:2003)

Posouzení tažené patky : standardní postup

Dovolená excentricita : 0,333

Metodika posouzení : výpočet podle EN 1997

Návrhový přístup : 2 - redukce zatížení a odporu

Parametry zemín

R1

Objemová tíha : $\gamma = 25,00 \text{ kN/m}^3$

Uhel vnitřního tření : $\varphi_{ef} = 57,00^\circ$

Soudržnost zeminy : $c_{ef} = 10000,00 \text{ kPa}$

Modul přetvárnosti : $E_{def} = 25000,00 \text{ MPa}$

Poissonovo číslo : $\nu = 0,20$

Koef. strukturální pevnosti : $m = 0,10$

Obj.tíha sat.zeminy : $\gamma_{sat} = 25,00 \text{ kN/m}^3$

R3 - Mikulášská

Objemová tíha :	γ	=	25,00 kN/m ³
Úhel vnitřního tření :	φ_{ef}	=	40,00 °
Soudržnost zeminy :	c_{ef}	=	250,00 kPa
Modul přetvárnosti :	E_{def}	=	300,00 MPa
Poissonovo číslo :	ν	=	0,20
Koef. strukturní pevnosti :	m	=	0,20
Obj.tíha sat.zeminy :	γ_{sat}	=	25,00 kN/m ³

R3 - vlasák

Objemová tíha :	γ	=	25,00 kN/m ³
Úhel vnitřního tření :	φ_{ef}	=	40,00 °
Soudržnost zeminy :	c_{ef}	=	250,00 kPa
Modul přetvárnosti :	E_{def}	=	1500,00 MPa
Poissonovo číslo :	ν	=	0,20
Koef. strukturní pevnosti :	m	=	0,20
Obj.tíha sat.zeminy :	γ_{sat}	=	25,00 kN/m ³

Založení

Typ základu: excentrická patka

Hloubka od původního terénu	h_z	=	8,30 m
Hloubka základové spáry	d	=	5,90 m
Tloušťka základu	t	=	5,40 m
Sklon upraveného terénu	s_1	=	0,00 °
Sklon základové spáry	s_2	=	0,00 °

Objemová tíha zeminy nad základem = 20,00 kN/m³

Geometrie konstrukce

Typ základu: excentrická patka

Délka patky	x	=	12,00 m
Šířka patky	y	=	8,00 m
Šířka sloupu ve směru x	c_x	=	1,30 m
Šířka sloupu ve směru y	c_y	=	4,00 m
Objem patky		=	518,40 m ³
Vzdál. osy sloupu od kraje patky ve směru x		=	6,50 m
Vzdál. osy sloupu od kraje patky ve směru y		=	4,00 m

Materiál konstrukce

Objemová tíha $\gamma = 23,00$ kN/m³

Výpočet betonových konstrukcí proveden podle normy EN 1992-1-1 (EC2).

Beton : C 30/37

Válcová pevnost v tlaku	f_{ck}	=	30,00 MPa
Pevnost v tahu	f_{ctm}	=	2,90 MPa
Modul pružnosti	E_{cm}	=	33000,00 MPa

Ocel podélná : B500

Mez kluzu	f_{yk}	=	500,00 MPa
-----------	----------	---	------------

Ocel příčná: B500

Mez kluzu	f_{yk}	=	500,00 MPa
-----------	----------	---	------------

Geologický profil a přiřazení zemin

Číslo	Vrstva [m]	Přiřazená zemina	Vzorek
1	-	R3 - vlasák	

Zatížení

Číslo	Zatížení nové změna	Název	Typ	N [kN]	M _x [kNm]	M _y [kNm]	H _x [kN]
1	Ano	MSU_T_Gmin-Tmax-MVL(Rmax)-W(LL)	Návrhové	54217,91	-84199,94	-166444,40	-49733,8
2	Ano	MSU_T_Gmin-Tmin-MVL(Rmax)-W(LL)	Návrhové	54619,46	85470,90	-302642,06	-43512,1
3	Ano	MSU_W_Gmin-T-MVL(Rmax)-Wmax(LL)	Návrhové	54778,93	-109463,68	-185706,23	-49796,1
4	Ano	MSU_W_Gmin-T-MVL(Rmax)-Wmin(LL)	Návrhové	54084,37	110734,64	-282842,70	-43492,5
5	Ano	MSU_T_Gmin-Tmax-W	Návrhové	41599,46	-35944,52	-142556,28	-36600,3
6	Ano	MSU_T_Gmin-Tmin-W	Návrhové	44339,76	35944,52	-240209,23	-36805,1
7	Ano	MSU_W_Gmin-T-Wmax	Návrhové	42160,49	-44911,30	-161818,11	-36662,6
8	Ano	MSU_W_Gmin-T-Wmin	Návrhové	43804,66	44911,30	-220409,88	-36785,5
9	Ano	MSU_T_Gmax-Tmax-W	Návrhové	48063,54	-35944,52	-167355,49	-42273,6
10	Ano	MSU_T_Gmax-Tmin-W	Návrhové	50803,84	35944,52	-265008,44	-42478,4
11	Ano	MSU_W_Gmax-T-Wmax	Návrhové	48624,57	-44911,30	-186617,31	-42335,9
12	Ano	MSU_W_Gmax-T-Wmin	Návrhové	50268,75	44911,30	-245209,08	-42458,8
13	Ano	MSU_MVL_Gmin-MVLmax-Tmax-W(LL)max	Návrhové	48258,91	-82739,91	-96250,83	-48581,6
14	Ano	MSU_T_Gmin-MVLmax-Tmax-W(LL)max	Návrhové	46478,20	-84474,53	-90102,46	-46135,5
15	Ano	MSU_W_Gmin-MVLmax-Tmax-W(LL)max	Návrhové	47039,23	-109738,27	-109364,28	-46197,8
16	Ano	MSU_MVL_Gmax-MVLmax-Tmax-W(LL)max	Návrhové	54722,99	-82739,91	-121050,03	-54254,9
17	Ano	MSU_T_Gmax-MVLmax-Tmax-W(LL)max	Návrhové	52942,28	-84474,53	-114901,66	-51808,8
18	Ano	MSU_W_Gmax-MVLmax-Tmax-W(LL)max	Návrhové	53503,31	-109738,27	-134163,49	-51871,1
19	Ano	MSU_MVL_Gmin-MVLmin-Tmin-W(LL)min	Návrhové	52065,25	83655,82	-340840,49	-38737,6

Číslo	Zatížení nové změna	Název	Typ	N [kN]	M _x [kNm]	M _y [kNm]	H _x [kN]
20	Ano	MSU_T_Gmin-MVLmin-Tmin-W(LL)min	Návrhové	50948,22	85207,26	-336553,73	-38366,8
21	Ano	MSU_W_Gmin-MVLmin-Tmin-W(LL)min	Návrhové	50413,13	110471,00	-316754,37	-38347,2
22	Ano	MSU_MVL_Gmax-MVLmin-Tmin-W(LL)min	Návrhové	58529,33	83655,82	-365639,70	-44411,0
23	Ano	MSU_T_Gmax-MVLmin-Tmin-W(LL)min	Návrhové	57412,31	85207,26	-361352,93	-44040,2
24	Ano	MSU_W_Gmax-MVLmin-Tmin-W(LL)min	Návrhové	56877,21	110471,00	-341553,57	-44020,5
25	Ano	MSU_MVL_Gmin-MVL-Tmax-W(LL)max	Návrhové	57627,25	-82298,04	-180308,20	-55042,3
26	Ano	MSU_T_Gmin-MVL-Tmax-W(LL)max	Návrhové	53972,87	-84121,03	-157348,36	-51304,1
27	Ano	MSU_W_Gmin-MVL-Tmax-W(LL)max	Návrhové	54533,90	-109384,78	-176610,18	-51366,4
28	Ano	MSU_MVL_Gmax-MVL-Tmax-W(LL)max	Návrhové	64091,34	-82298,04	-205107,40	-60715,7
29	Ano	MSU_T_Gmax-MVL-Tmax-W(LL)max	Návrhové	60436,96	-84121,03	-182147,56	-56977,4
30	Ano	MSU_W_Gmax-MVL-Tmax-W(LL)max	Návrhové	60997,98	-109384,78	-201409,39	-57039,7
31	Ano	Char_MVL_G-MVLmax-Tmax-W(LL)max	Užitné	46646,81	-55149,57	-126230,21	-44913,7
32	Ano	Char_T_G-MVLmax-Tmax-W(LL)max	Užitné	45431,63	-56308,06	-122432,75	-43228,2
33	Ano	Char_W_G-MVLmax-Tmax-W(LL)max	Užitné	45805,65	-73150,55	-135273,97	-43269,7

Celkové nastavení výpočtu

Typ výpočtu : výpočet pro odvozněné podmínky

Nastavení výpočtu fáze

Návrhová situace : trvalá

Posouzení čís. 1

Výpočet proveden s automatickým výběrem nejnepríznivějších zatěžovacích stavů.

Spočtená vlastní tíha patky G = 11923,20 kN

Spočtená tíha nadloží Z = 908,00 kN

Posouzení svislé únosnosti

Tvar kontaktního napětí : obecný

Nejnepríznivější zatěžovací stav číslo 15. (MSU_W_Gmin-MVLmax-Tmax-W(LL)max)

Parametry smykové plochy pod základem:

Hloubka smykové plochy $z_{sp} = 15,21$ m

Dosah smykové plochy $l_{sp} = 50,06$ m

Výpočtová únosnost zákl. půdy $R_d = 6134,70$ kPa

Extrémní kontaktní napětí $\sigma = 1967,46$ kPa

Svislá únosnost VYHOVUJE

Posouzení excentricity zatížení

Max. excentricita ve směru délky patky $e_x = 0,202 < 0,333$

Max. excentricita ve směru šířky patky $e_y = 0,265 < 0,333$

Max. prostorová excentricita $e_t = 0,311 < 0,333$

Excentricita zatížení základu VYHOVUJE

Posouzení vodorovné únosnosti

Nejnepříznivější zatěžovací stav číslo 16. (MSU_MVL_Gmax-MVLmax-Tmax-W(LL)max)

Zemní odpor: klidový

Výpočtová velikost zemního odporu $S_{pd} = 1234,53 \text{ kN}$

Horizontální únosnost základu $R_{dh} = 61709,45 \text{ kN}$

Extrémní horizontální síla $H = 54309,54 \text{ kN}$

Vodorovná únosnost VYHOVUJE

Únosnost základu VYHOVUJE

Posouzení čís. 1

Sednutí a natočení základu - vstupní data

Výpočet proveden s automatickým výběrem nejnepříznivějších zatěžovacích stavů.

Výpočet proveden s uvažováním koeficientu κ_1 (vliv hloubky založení).

Napětí v základové spáře neuvažováno.

Spočtená vlastní tíha patky $G = 11923,20 \text{ kN}$

Spočtená tíha nadloží $Z = 908,00 \text{ kN}$

Výpočet proveden za vyloučení tahu.

Rozměry patky po vyloučení tažených okrajů:

Délka patky (x) = 12,00 m

Šířka patky (y) = 7,67 m

Sednutí středu hrany x - 1 = 1,5 mm

Sednutí středu hrany x - 2 = -0,1 mm

Sednutí středu hrany y - 1 = 1,2 mm

Sednutí středu hrany y - 2 = 0,4 mm

Sednutí středu základu = 1,8 mm

Sednutí charakterist. bodu = 1,1 mm

(1-hrana max.tlačená; 2-hrana min.tlačená)

Sednutí a natočení základu - výsledky

Tuhost základu:

Spočtený vážený průměrný modul přetvárnosti $E_{def} = 1500,00 \text{ MPa}$

Základ je ve směru délky tuhý ($k=2,00$)

Základ je ve směru šířky tuhý ($k=6,77$)

Posouzení excentricity zatížení

Max. excentricita ve směru délky patky $e_x = 0,130 < 0,333$

Max. excentricita ve směru šířky patky $e_y = 0,181 < 0,333$

Max. prostorová excentricita $e_t = 0,210 < 0,333$

Excentricita zatížení základu VYHOVUJE

Celkové sednutí a natočení základu:

Sednutí základu = 1,1 mm

Hloubka deformační zóny = 10,98 m

Natočení ve směru x = 0,092 ($\tan^{-1}1000$); ($5,3E-03^\circ$)

Natočení ve směru y = 0,201 ($\tan^{-1}1000$); ($1,2E-02^\circ$)

9 Závěr

Mostní objekt byl posouzen ve smyslu platného souboru norem ČSN a ČSN EN. Veškeré posouzené prvky vyhověly požadavkům na mezní stavy únosnosti i použitelnosti.

Statický výpočet byl zpracován bez znalosti konkrétního zhotovitele SO 20-01. Případné změny, které by vyplynuly z realizační dokumentace zhotovitele, musí být odsouhlaseny odpovědným projektantem objektu a schváleny objednatelem.

!!! Projektová dokumentace neslouží k realizaci stavby !!!

V Praze, říjen '19

Vypracoval:

Ing. Jakub Göringer, Ph.D.

SUDOP PRAHA a.s, Olšanská 1a, 130 80 Praha 3

tel: 267 094 128

e-mail: jakub.goringer@sudop.cz

10 Předpisy, normy, použité podklady

10.1 Normy

[1.1]	ČSN EN 1990 ed.2	Eurokód: Zásady navrhování konstrukcí (02/2011),
[1.2]	ČSN EN 1991-1-1	Eurokód 1: Zatížení konstrukcí. Část 1-1: Obecná zatížení-Objemové tíhy, vlastní tíha a užitná zat. pozemních staveb (03/2004, vč. změn),
[1.3]	ČSN EN 1991-1-4 ed.2	Eurokód 1: Zatížení konstrukcí - Část 1-4: Obecná zatížení – Zatížení větrem (04/2013),
[1.4]	ČSN EN 1991-1-5	Eurokód 1: Zatížení konstrukcí. Část 1-5: Obecná zatížení – Zatížení teplotou (05/2005, včetně změn),
[1.5]	ČSN EN 1991-1-6	Eurokód 1: Zatížení konstrukcí. Část 1-6: Obecná zatížení – Zatížení během provádění (10/2006, včetně změn),
[1.6]	ČSN EN 1997-1	Eurokód 7: Navrhování geotechnických konstrukcí - Část 1: Obecná pravidla (09/2006, včetně změn)
[1.7]	ČSN EN 1991-2 ed.2	Eurokód 1: Zatížení konstrukcí - Část 2: Zatížení mostů dopravou (11/2015),
[1.8]	ČSN EN 1992-1-1 ed.2	Eurokód 2: Navrhování betonových konstrukcí. Část 1-1: Obecná pravidla a pravidla pro pozemní stavby (07/2011, včetně změn),
[1.9]	ČSN EN 1992-2	Navrhování betonových konstrukcí - Část 2: Betonové mosty (05/2007, včetně změn),
[1.10]	ČSN EN 1998-1 ed.2	Eurokód 8: Navrhování konstrukcí odolných proti zemětřesení – Část 1: Obecná pravidla, seizmická zatížení a pravidla pro pozemní stavby (09/2013, včetně změn),
[1.11]	ČSN EN 1998-2 ed.2	Eurokód 8: Navrhování konstrukcí odolných proti zemětřesení – Část 2: Mosty (06/2013),
[1.12]	ČSN 73 0037/1990	Zemní tlak na stavební konstrukce,
[1.13]	ČSN 73 1001/1988	Zakládání staveb. Základová půda pod plošnými základy,
[1.14]	ČSN 73 1002/1989	Pilotové základy
[1.15]	ČSN EN 1536+A1	Provádění speciálních geotechnických prací – Vrtané piloty (12/2016),
[1.16]	ČSN EN 206	Beton – Část 1: Specifikace, vlastnosti, výroba a shoda,
[1.17]	ČSN 73 6201	Projektování mostních objektů (10/2008, vč. změn),
[1.18]	ČSN EN 13670	Provádění betonových konstrukcí (06/2010, vč. změn),
[1.19]	ČSN EN 1337-1	Stavební ložiska - Část 1: Všeobecná pravidla navrhování (02/2002),
[1.20]	ČSN EN 1337-2	Stavební ložiska - Část 2: Kluzné prvky (06/2005),
[1.21]	ČSN EN 1337-5	Stavební ložiska - Část 5: Hrnková ložiska (12/2005),
[1.22]	TNI 73 6270	Mostní ložiska (02/2014),

10.2 Použitá literatura

LEONHARDT F., REINMANN H. *Heft 175: Betongelenke. Versuchsbericht, Vorschläge zur Bemessung und konstruktiven Ausbildung / Kritische Spannungszustände des Betons bei mehrachsiger, ruhender Kurzzeitbelastung.* Ernst & Sohn Verlag, 1965.

10.3 Použitý software

MIDAS Civil 2019 (v1.1) – prutový model

SCIA Engineer 2008.1 (v8.1.238) – deskostěnový model pro posudky kotevních oblastí

GEO5 Patky – posouzení sedání náhradního plošného základu skupiny pilot

MS Office EXCEL 365, Microsoft – tabulkové zpracování výpočtů

MS Office WORD 365, Microsoft – zpracování textové části statického výpočtu

